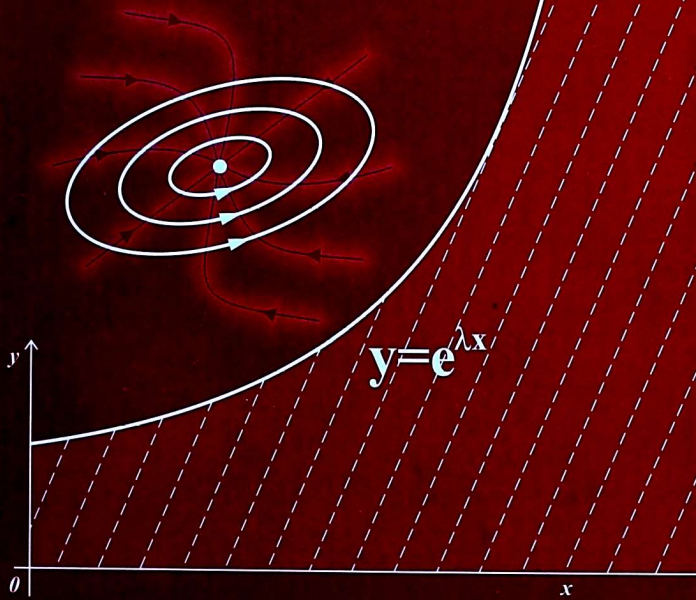


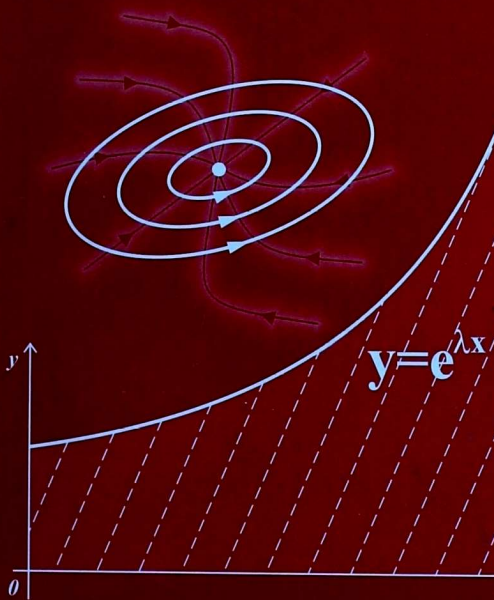
М.И. Иманалиев, А.Б. Байзаков,
Г.М. Кененбаева, М.Ж. Жураев.

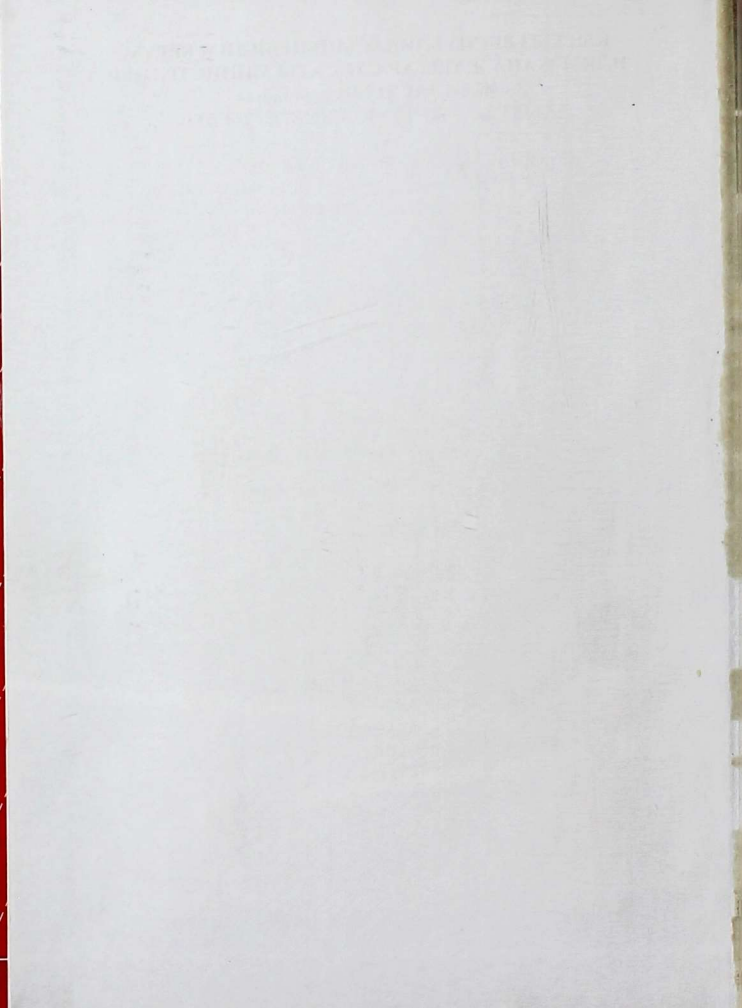
КАДИМКИ ДИФФЕРЕНЦИАЛДЫК ТЕҢДЕМЕЛЕР жана АЛАРДЫН КОЛДОНУЛУШУ



М.И. Иманалиев, А.Б. Байзаков,
Г.М. Кененбаева, М.Ж. Жураев.

КАДИМКИ ДИФФЕРЕНЦИАЛДЫК ТЕҢДЕМЕЛЕР жана АЛАРДЫН КОЛДОНУЛУШУ





КЫРГЫЗ РЕСПУБЛИКАСЫНЫН БИЛИМ БЕРҮҮ,
ИЛИМ ЖАНА ЖАШТАР САЯСАТЫ МИНИСТРЛИГИ
22.16 (бюл.) Ж.БАЛАСАГЫН атындағы
КЫРГЫЗ УЛУТТУК УНИВЕРСИТЕТИ
R13

КЫРГЫЗ РЕСПУБЛИКАСЫНЫН
ИЛИМДЕР УЛУТТУК АКАДЕМИЯСЫ
МАТЕМАТИКА ИНСТИТУТУ

М.И.Иманалиев, А.Б.Байзаков,
Г.М.Көненбаева, М.Ж.Жураев

Кадимки дифференциалдык тенденмелер
жана алардын колдонулушу

6824



КР Билим берүү,
илим жана жаштар саясаты
министрлиги тарабынан
ЖОЖдордун студенттери,
магистранттары үчүн окуу
куралы катары сунушталган
(Буйрук №570/1, 07 сентябрь 2006-ж.)

УДК 517.2
ББК 22.161.6
И 50

Рецензенттер: КР ИУА кор.-мүчөсү П.С. Панков,
физ.-мат.илимдеринин д-ру, проф. А.К. Керимбеков

Жооптуу редактор: жогорку категориядагы адис
Джээнбаева Г. А.

Иманалиев М.И. ж.б.

И 50 Кадимки дифференциалдык тенденмелер жана алардын
колдонулушу/ **М.И. Иманалиев, А.Б. Байзаков, Г.М.
Кененбаева, М.Ж. Жураев** -Б.: 2006. – 267б.: ил.

ISBN 9967 – 02 – 461 – 5

Окуу куралында кадимки дифференциалдык тенденмелер
багыты боюнча теориялык маалыматтар жана көп кездешкен
маселелерди чыгаруунун ықмалары, авторлордун өздөрүнүн
натыйжалары көлтирилген. Өз алдынча иштөө үчүн маселелер
берилген. Окуу куралындагы материалдар - студенттерге
табигый илимдердин ар түрдүү областтарында колдонулган
дифференциалдык тенденмелерди чыгаруунун жана изилдөөнүн
усулдук ықмаларын үйрөтөт.

Окуу куралы университеттердин математика, физика
адистигингидеги жана математика терендөттүп окутуулган жогорку
техникалык окуу жайларынын студенттерине,
магистранттарына жана окутуучуларына арналат.

И 1602070100 – 06
ISBN 9967 – 02 – 461 – 5

УДК 517.2
ББК 22.161.6

© Иманалиев М. И., Байзаев А. Б., Кененбаева Г. М., Жураев М.Ж.

Иманалиев М. И., Байзаков А. Б., Кененбаева Г. М., Жураев М. Ж.

Обыкновенные дифференциальные уравнения и их применение

В пособии приводятся теоретические сведения и методы решения традиционных задач в области обыкновенных диффе-ренциальных уравнений, а также личные разработки авторов. Приведены задачи для самостоятельного решения. Материалы пособия позволяют выработать у студентов методические навыки решения и исследования дифференциальных уравнений применительно к различным областям естествознания.

Пособие предназначено для студентов, магистрантов и преподавателей университетов по специальностям математика и физика, а также высших технических учебных заведений с углубленным изучением математики.

Imanaliev M.I., Baizakov A.B., Kenenbaeva G.M., Djuraev M.Dj.

Ordinary Differential Equations and Their Usage

Basic information, methods to solve traditional problems for ordinary differential equations and authors' own results are given in the text-book. Many tasks for independent work are included also. The text-book is intended to develop students' skills of investigating and solving of differential equations with applications to various branches of sciences.

Content:

Chapter I. Foundations.

Chapter II. Differential equations of the first order.

Chapter III. Differential equations of the second order and higher ones.

Chapter IV. Systems of differential equations.

Chapter V. Elements of stability theory.

Chapter VI. Numerical solving of ordinary differential equations (including methods of validating computations developed by the authors).

Chapter VII. Asymptotic of solutions of differential equations with small parameter (including the phenomenon of "practical bifurcation" of solutions of singularly perturbed differential equations discovered by the authors).

Appendix (Pascal program for numerical solving of initial value problem for differential equations of the first order by means of Euler, Cauchy-Euler and Runge-Kutta methods).

Chapter VIII. Differential equations with examples taken from social-economic investigations.

Answers to tasks.

References.

Кириш сөз

Бул окуу куралы кадимки дифференциалдык тенденциелер курсу боюнча маселелерди чыгаруу методдоруна арналган. Китептин максаты - табият илиминин ар кандай областарында пайда болгон дифференциалдык тенденциелерди изилдөөнүн жана чыгарылыштарды табуунун практикалык ыктарын өздөштүрүүдө студенттерге жардам берүү.

Окуу куралына кадимки дифференциалдык тенденциелер теориясындагы типтүү маселелерди чыгаруу методдору жана алардын колдонулуштары; теоретикалык фактылар, түшүнүктөр жана алардын практикалык колдонулуштары; дифференциалдык тенденциелерди чыгаруунун сандык методдору; студенттерге өз алдынча чыгаруу үчүн көнүгүүлөр киргизилген. Китептин аягында маселелерге жооптор берилген.

Авторлордун көп жылдык окутуу тажрыйбаларынын негизинде китептин мазмуну - университеттерде жана математика терендетилип окутулган жогорку техникалык окуу жайларда берилген кадимки дифференциалдык тенденциелер курсунун программасын толугу менен камтыйт.

Ошондой эле, авторлордун катышуусунда алынган бир нече илимий жыйынтыктар да келтирилген. Алар негизги курска кирбейт, бирок илимий изилдөөнү каалагандар үчүн кызыгууну жаратышы мүмкүн.

Бул окуу куралынын негизги бөлүгү жарыкка орусча чыгарылган [1].

Авторлор рецензенттер: КР ИУАнын кор.-мүчөсү П.С. Панковго, профессор А.К. Керимбековго бул окуу куралында орун алган кемчиликтерди көрсөтүп, анын сапатын жакшыртууга багытталган пикирлерин билгизгендери үчүн, ошондой эле, жогорку категорияндагы адис Г.А.Джээнбаевага, кол жазманы жарыкка чыгарууга даярдаган кызматы үчүн чоң ыраазычылыштарын билдиришет.

Төмөнкү стандарттуу белгилөөлөр колдонулат:

$I = (a, b)$ – интервал;

Z – бүтүн сандардын көптүгү;

$R = (-\infty, \infty)$ – анык сандардын көптүгү;

$\exp(z) = e^z$;

Кыстырма. Көпчүлүк адабият булактарында / бөлүү белгиси амалдарды аткаруунун приоритетинин жалпы эрежесине карабастан колдонулуп жүрөт. Бул окуу куралында приоритеттин жалпы эрежелери сакталат, б.а. a / b с амалдарын аткаруу: $(a / b) \cdot c$ боюнча жүргүзүлөт.

Азыркы убакытта кыргыз тилинде илимий-техникалык терминдер, ошонун ичинде дифференциалдык теңдемелер курсундагы терминдер да толук калыптана элек. Бул китеpte биз негизинен [2;3] китеpterиндеги терминдерди колдондук.

I Глава. Негизги жоболор

§ 1.1. Негизги түшүнүктөр

Белгисиз изделген функцияны, анын туундуларын же дифференциалдарын кармаган катнаш - дифференциалдык тендемеп деп аталат.

Бул тенденцииге киргендеги белгисиз функциянын туундуларын же дифференциалынын жогорку тартиби - дифференциалдык тенденциинин тартиби деп аталат.

Егерде белгисиз функция бир аргументтен көз каранды болсо, анда дифференциалдык тенденциинин кадимки деп аталат (бул сөз латын-английтик «*ordinary*» сөзүнен алынган, тескерисинче «*partial*» – «айрым туундулуу» дегенди түшүндүрөт). Бул китечте кадимки дифференциалдык тенденмелер гана каралат.

Егерде $y = \phi(x)$ анык функциясы I аралыгында аныкталип, тенденциинин тартибине чейинки баардык тартиптеп үзгүлтүксүз туундуларга ээ болсо жана берилген тенденциинин тенденшикке айланырса, анда ал функция кадимки дифференциалдык тенденциинин чыгарылышы деп аталат.

Мисал 1.1.1. $xy' = y$ дифференциалдык тенденмесинин чыгарылышы төмөнкү түргө ээ: $y = \phi(x) = cx$; мында c – каалагандай туралктуу сан. Чындыгында эле, $\phi'(x) = c$, $x\phi'(x) = \phi(x)$ же болбосо $xc = cx$.

Дифференциалдык тенденциинин чыгарылышын табуу дифференциалдык тенденциинин интегралдоо деп аталат.

Ар түрдүү процесстердин математикалык моделин түзгөндө келип чыккан закон бир дифференциалдык тенденции менен жазылып калат жана ал дал келген ар түрдүү чыгарылыштардын көптүгүнө ээ болот. Ушундай мааниде түшүнсөк жогорку келтирилген мисал типтүү болот. Ошондуктан, процесс- чыгарылыштарды табуу үчүн изделген функция канааттандыра турган кошумча шарттарды берүү зарыл. Эгерде бардык шарттар аргументтин бир эле маанисинде каралса, анда аларды баштапкы шарттар деп атасат, ал эми андай болбосо чектик шарттар деп аталат. Баштапкы жана чектик шарттар биригип четки шарттар деп аталат. Дифференциалдык тенденции

чектик шарт менен бирдикте четки маселени аныктайт (баштапкы жана чектик маселе).

Кадимки дифференциалдык тенденции менен кошо дифференциалдык тенденциилер системасы да каралат. Дифференциалдык тенденциилер системасына тишиштүү негизги түшүнүктөр жогоруда бир тенденцииге берилген түшүнүктөрдүн өзүндөй эле.

Мисал 1.1.2. $y = 5 \sin 2x + \cos 2x$ функциясы

$$y'' + 4y = 0, \quad x \in R \quad (1.1.1)$$

тенденциинин чыгарылышы болоорун көрсөткүлө.

Чыгаруу. Берилген функцияны дифференциалласак

$$y' = 10 \cos 2x - 2 \sin 2x, \quad y'' = -20 \sin 2x - 4 \cos 2x.$$

Анда (1.1.1) тенденции тенденцияларкке айланат:

$$-20 \sin 2x - 4 \cos 2x + 4(5 \sin 2x + \cos 2x) = 0, \quad 0 = 0.$$

Ошондой эле, $y = c_1 \cos 2x + c_2 \sin 2x$ (мында c_1, c_2 – каалагандай сандар), функциясы да (1.1.1) дифференциалдык тенденциин канаттандыраарын көрсөтүүгө болот.

Өз алдынча иштөө үчүн көнүгүүлөр

№ 1. Төмөнкү дифференциалдык тенденциилердин тартибин аныктагыла

a) $3x y' + y^2 = 4$; б) $2(y')^3 - y' e^{2x} = 0$;

в) $x^2 y'' = (y')^2$; г) $4y y''' + 3y'y'' = 0$;

д) $y^4 y''' = (y')^4$; е) $y^{(IV)} + 5y'' + 4y = \cos x$.

№ 2. Төмөнкү берилген функциялар тиешелүү дифференциалдык тенденциилердин чыгарылыштары болоорун аныктагыла:

а) $y(x) = x^3 + c, \quad c - \text{const}; \quad y'(x) = 3x^2,$

б) $y(x) = c e^x, \quad c - \text{const}; \quad y'(x) = y(x),$

в) $y(x) = c x^{-2}, \quad c - \text{const}; \quad x y'(x) = -2 y(x),$

г) $y(x) = c_1 \cos 3x + c_2 \sin 3x, \quad c_1, c_2 - \text{const}; \quad y''(x) + 9y(x) = 0,$

д) $y(x) = c_1 e^{2x} + c_2 e^{-x}, \quad c_1, c_2 - \text{const}; \quad y''(x) - y(x) - 2y(x) = 0,$

е) $y(x) = x \ln x + c x, \quad c - \text{const}; \quad x y'(x) = y(x) + x.$

§1.2. Дифференциалдык тенденцияларға алып келүүчү табигый-техникалык маселелер

Ар кандай табигый-техникалык маселелерди математикалык модель түзүү методу менен окуп үйрөнгөндө - дифференциалдык тенденциялар пайда болушу бул параграфта көлтирилди.

Мисал 1.2.1. Радиоактивдүү ажыралыш.

Радиоактивдүү элементтин ажыралыш закону төмөнкүдөй айтылат: ажыралыштың ылдамдыгы терс жана ажырала зек элементтин санына пропорциялаш. Жарым ажыралыштың мезгили T ны, б.а. алгачкы сандын жарымы ажыраган убакытты билип, ажыралыш законун, б.а. дифференциалдык формада эмес, алгебралык түрүндө табуу керек.

Чыгаруу. Убакыттын t моментинде ажыралбаган элементтердин саны у болсун, ал эми $t = 0$ болгондо элементтердин алгачкы саны y_0 болсун. Ажыралыш ылдамдыгы, б.а. $y'(t) \equiv dy / dt$ ажыралбаган элементтердин у санына пропорциялаш.

Ушул маселенин үлгүсүндө кадимки дифференциалдык тенденциялардин ар түрдүү жазылышын көргөзөбүз:

1) у ти t дан функция катары карал, функция жана анын туундусу ортосундагы байланышты жазалы:

$$y'(t) = -ky(t); \quad (1.2.1)$$

2) туунду у жана t чондуктарынын «чексиз кичине өзгөрүүлөрүнүн» катышы катары жазылат:

$$\frac{dy}{dt} = -ky; \quad (1.2.1'')$$

3) «чексиз кичине өзгөрүүлөр» же өз ара байланышкан эки чондуктун дифференциалдары пропорциялаш:

$$dy = -ky \cdot dt \text{ же}$$

$$dy + ky \cdot dt = 0. \quad (1.2.1''')$$

(1.2.1') - (1.2.1'') - (1.2.1''') формулаларында k - азырынча белгисиз он турактуу чондук, минус белгиси $dy / dt < 0$ болгондуктан коюлду, анткени у убакыттын өтүшү менен азаят.

Жалпы чыгарылышы $y = c e^{-kt}$, (мында $c = \text{const}$) түрдө болот.

$y(0) = y_0$ баштапкы шартын колдонуп, $c = y_0$ экенин алабыз.

Демек

$$y = y_0 e^{-kt}. \quad (1.2.2)$$

k ны табуу үчүн жарым ажыралыш шартын б.а. $y(T) = y_0 / 2$ экенин колдонолуу. $t = T$, $y = y_0 / 2$ маанилерин (1.2.2) ге коёлуу: $y_0 / 2 = y_0 e^{-kT}$, мындан $k = \ln 2 / T$, k ны (1.2.2) барабардыгына коюп, жыйынтыгында: $y = y_0 2^{-t/T}$ экенин алабыз.

Ар бир y_c үчүн бул барабардык ажыралыштын конкреттүү законун туондурат, ал эми y_c дүн мүмкүн болгон бардык маанилери үчүн мындай закондордун классын берет.

Бул жөнөкөй тенденциин үлгүсүндө дагы бир нече кыстырмаларды келтирили.

Кыстырма 1. Бир эле тенденциин ар түрдүү формада: (1.2.1), (1.2.1'), (1.2.1'') жазылышы, ал тенденции чыгаруунун ыкмаларын колдонуу үчүн ынгайлуу болоорун кийинчөрээк көрөбүз.

Кыстырма 2. Ар түрдүү колдонулуштарда аргумент адатта «убакыт» (t) деп белгиленген) же «узундук» (x) деп белгиленген) маанисин алат. Тиешелүү түрдө бул аргумент боюнча алынган биринчи туунду «ылдамдык (убакыттын берилген учурундагы)» же «функциянын графигинин жантаюсу (берилген чекиттеги)» деп аталат.

Эми төмөндөгүдөй маселе койсо болот: $(0, y_0)$ чекитинен башталып, $(T, y_0 / 2)$ аркылуу өткөн жана онду көздөй төмөнкү эреже менен анын ар бир чекитиндеги x огуна болгон жантаюусу (жантаю бурчунун тангенси), ушул чекиттен x огуна чейинки аралыкка пропорционалдуу ылдыйлаган ийри сзыякты тапкыла.

Бул жерде (1.2.1') тенденциин өзүндөй эле болгон тенденции алабыз.

Мисал 1.2.2. Эркин түшүү.

Массасы m болгон материялдык чекит оордук күчүнүн таасири менен эркин түшөт. Абанын каршылыгын эсепке алbastan, чекиттин кыймылышын законун табуу зарыл.

Чыгаруу. Чекит түшкөн вертикалдык окто эсептөөнү баштоо чекити 0 ду тандап алалы жана анын он багытын чекиттен төмөндү каратып аныктайлы. Чекиттин абалы, t убакыт менен өзгөрө турган $y(t)$ координатасы менен аныкталат. Чекит $F = m g$ оордук күчүнүн

таасири менен түшөт. Ошондуктан, Ньютондун экинчи закону боюнча, $m \ddot{y} = F(y - \dot{y})$ (а - ылдамдануу). Төмөнкүлөргө ээ болобуз:

$$m \frac{d^2 y}{dt^2} = mg \text{ же } y''(t) \equiv \frac{d^2 y}{dt^2} = g. \quad (1.2.3)$$

(ылдамдануу ылдамдыктын туундусу же жолдон алынган экинчи туунду болуп саналат).

(1.2.3) ту эки жолу интегралдан, төмөнкүлөрдү табабыз:

$$\frac{dy}{dt} = gt + c_1, \quad y(t) = \frac{gt^2}{2} + c_1 t + c_2. \quad (1.2.4)$$

(1.2.4) формуласы материалдык чекиттин кыймылымынын законун аныктайт, бирок ал интегралдоонун туралтууларын кармап турат, бул учурда алардын саны экиге барабар. Түшүү чекитинин 0 чекитине салыштырмалуу $y(0) = y_0$ баштапкы абалын жана анын $y'(0) = y'_0$ баштапкы ылдамдыгын билип, (1.2.4) функциялар жыйындысынын ичинен чекиттин кыймылымын сүрөттөгөн бирин тандап алабыз.

Кыстырма 3. (1.2.3) тенденмесин жана жогорку тартиптеги тенденмелерди (1.2.1^{III}) сияктуу жазууга мүмкүн эмес.

Кыстырма 4. Эгерде аргумент «узундуктун» маанисин түшүндүрсө, анда экинчи туунду «графиктин ийрилигин» түшүндүрөт.

Мисал 1.2.3. Популяциянын өсүшү.

Өзгөрбөгөн чөйрөдө айбанаттардын кандайдыр бир түрү обочолонуп жашасын. Убакыттын кичине интервалында, табигый өсүшүнүн dN саны анын N санына пропорционалдуу экени белгилүү. Айбанаттардын бул түрүнүн өсүү законун аныктагыла.

Чыгаруу. Индивидуумдардын санын көрсөткөн үзгүлтүктүү бүтүн сандык функциялардын ордуна үзгүлтүксүз дифференциалдануучу функцияларды төмөнкү эреже боюнча киргизебиз. Убакыттын ар бир маанинде үзгүлтүксүз дифференциалдануучу функциялардын бүтүн бөлүгү үзгүлтүктүү сандык функциялардын мааниси менен барабар. Үзгүлтүксүз катары караптган функциянын ушул касиети боюнча: $dN = a N dt$ катышын алабыз, мында a -пропорционалдуулуктун туралтуу коэффициенти жана ал өсүүнүн dN / dt ылдамдыгынын N санына болгон катышын туюнат. Аны

өсүү коэффициенти деп атайдыз. $dN/dt = a N$ тенденциясын интегралдан, $N = N_0 e^{a(t-t_0)}$ экенин алабыз.

Бул түрлөрдүн өсүшүнүн жакшы белгилүү болгон экспоненциалдуу закону: эгерде убакыт арифметикалык прогрессия боюнча өссе, анда индивидуумдардын саны геометриялык прогрессия боюнча өзгөрөт. Эгерде $a > 0$ болсо, түр өсүп көбөйөт, $a < 0$ болсо азаят, $a = 0$ болсо, түрдүн саны турактуу бойдон калат, төрөлгөндөрдүн саны өлгөндөрдүн санын компенсациялайт.

Түрдүн өсүшүн мүнөздөгөн a санын практикада оной эле аныктаса болот. Чындыгында эле, T убакыттын ичинде индивидуумдардын саны $\exp(aT)$ эссе көбөйөт жана популяциясынын санынын өсүшүнө, кемишине же турактуу калышына жараша бул сан бирден чон, кичине же ага барабар болот.

Биринчи учурда, T – убакыттын ичинде индивидуумдардын саны эки көбөйсүн дейли, б.а.

$$e^{aT} = 2, \text{ анда } a = \frac{\ln 2}{T} = \frac{0.694}{T}.$$

Экинчи учурда, T убакыттын ичинде алардын саны эки эссе азайды десек, $a = -\frac{0.694}{T}$ экенин алабыз.

Үчүнчү учурда, $a = 0$.

Убакыттын бул аралыктарын өлчөө кыйын эмес болгондуктан, биз a ны түздөн түз эле табабыз. a баштапкы моменттен көз каранды эмес экени көрүнүп түрат.

Мисал 1.2.4. Телонун муздаши.

Ньютон аныктаган законго ылайык, телонун муздоо ылдамдыгы, телонун температурасы менен курчап турган чөйрөнүн температурасынын айырмасына пропорционалдуу. Тело T_0 температурасына чейин ысытылган дейли, курчап турган чөйрөнүн температурасын турактуу деп эсептейбиз жана T_c га барабар болсун ($T_c < T_0$). Телонун өзгөрүүчү температурасы T менен анын муздаши убактысынын көз карандылыгын тапкыла.

Чыгаруу. Убакыттын t моментинде телонун температурасы T га барабар болсун, температуралык өзгөрүү ылдамдыгы dT/dt , Ньютондун закону боюнча $(T - T_c)$ га пропорционалдуу. Демек

$dT/dt = -k(T - T_c)$ болот. Минус белгиси t нын өсүшү менен телонун температурасы T нын азайгандыгы үчүн коюлду. Пропорционалдуулук коэффициент k телонун физикалык касиетинен жана да геометриялык формасынан көз каранды (томолок түрүндөгүсүнө караганда жайылтылып бет түрүндө жасалгынынан муздоо ылдамдыгы жогору экени көрүнүп турат).

Өзгөрмөлөрдү ажыратып, төмөнкүнү алабыз:

$$dT/(T - T_c) = -k dt,$$

$$\text{мындан } \ln(T - T_c) = -kt + \ln c \text{ жана } T = T_c + ce^{-kt}.$$

$T > T_c$ болгондуктан, $\ln|T - T_c|$ дебестен эле, $\ln(T - T_c)$ деп жазсак болот.

Окурмандарга, $T_c > T_0$, б.а. тело муздабай эле, ысый турган учурду өз алдынча карап чыгышын сунуш кылабыз.

Баштапкы шарттарды б.а. $T = T_0$, $t = 0$ коуп, c ны табабыз:

$$T_0 = T_c + c, c = T_0 - T_c$$

Жыйынтыгында муздоо закону:

$$T = T_c + (T_0 - T_c) e^{-kt} \text{ түрүндө жазылат.}$$

Пропорционалдуулук коэффициент k нын мааниси берилиши керек же эксперименталдык жол менен телонун температурасын убакыттын кандайдыр бир t моментинде өлчөө жолу аркылуу табылат. Мисалы, эгерде $t = t_1$ убактысында $T = T_1$ болсо, анда

$$k = \frac{1}{t_1} \ln \frac{T_0 - T_c}{T_1 - T_c}.$$

Теория боюнча, телонун температурасы $t \rightarrow \infty$ болгондо гана чөйрөнүн температурасы менен бирдей болоорун эскерте кетели.

Мисал 1.2.5. Түюк көлмөлөрдүн денгээлинин термелүүсү.

Түюк суу көлмөлөрдүн денгээлинин өзгөрүшүнө таасир берүүчү эки фактор бар. Биринчиси - активдүү фактор, ал климаттык шарттардын өзгөрүүсү менен мүнөздөлөт, б.а. дарыялардагы суулардын ағып келиши менен жана суунун бууланышынын интенсивдүүлүгү менен аныкталат. Экинчиси - реактивдүү фактор, ал денгээлдин термелүүсүн жылмалаганга аракет кылат. Реактивдүү фактордун таасиригинин механизми төмөндөгүдөй: термелүүнүн амплитудасы өсө баштаганда суу көлмөсүнүн бетинин күзгүсүнүн аянытты чоноёт жана менен

кошо буулануучу аяңт да чоноет. Буулануу өскөндүктөн денгээлдин өсүшү басандайт. Денгээлдин түшүшү тескери картинаға алып келет. Ошентип, денгээлдин термелүүсү берилген тен салмактуу денгээлден алыстабаганга аракет кылат. Бул тен салмактуу денгээл көп жылдардагы буулануунун, жаан-чачындын, агып келген суулардын орточо санынан көз каранды болот.

Суу балансынын дифференциалдык тенденмеси

$$v(t) dt - e(t) F(h) dt = F(h) dh, \quad (1.2.5)$$

түрүндө жазылат, мында t – убакыт, $v(t)$ - көлмөгө агып келген суу, $e(t)$ - көрүнгөн буулануу (буулануу минус көлмөнү бетине түшкөн жаан-чачын). $F(h)$ көлмөнүн күзгүсүнүн h дәңгээлиндеги аяңты. $F(h) = a + b h$, мында a жана b көлмөнүн күзгүсүнүн аяңтынын анын дәңгээлинен болгон көз карандылыгынын параметрлери (Ысыккөл үчүн $a = 6179$, $b = 32,3$, h – дениз дәңгээлинен 1606м белгиден эсептеле баштаган көлдүн дәңгээли) деп эсептеп, (1.2.5) дифференциалдык тенденмесин төмөнкү түрдө жазуу мүмкүн:

$$\frac{dh(t)}{dt} = \frac{v(t)}{a + b h(t)} - e(t). \quad (1.2.6)$$

(1.2.6) тенденmesи сыйыктуу эмес болгондуктан аны биз сыйыктуу тенденмеге стандарттык түрдө өзгөртөлу. $1 / (a + b h)$ түюнтмасын $h=0$ чекитинин аймагында Тейлордун катарына ажыраталы

$$\frac{1}{a + b h} = \frac{1}{a} - \frac{b}{a^2} h + \dots \quad (1.2.7)$$

(1.2.7) ажыратылышында үчүнчү мүчөсүнөн башталган бардык мүчөлөрүн кичине чондук деп эсептеп, алып салса болот.

(1.2.7) ни (1.2.6) га коюп,

$$\frac{dh(t)}{dt} = -\frac{b v(t)}{a^2} h(t) + \frac{v(t)}{a} - e(t) \quad (1.2.8)$$

тенденмесин алабыз, б.а. $h(t)$ га карата сыйыктуу тенденмеге ээ болобуз. $v(t)$, $e(t)$ ларды убакыттын кандайдыр бир аралыгында турактуу деп эсептеп, анын төмөнкү чыгарылышын алабыз:

$$h(t) = h(0) \exp(-b v/a^2 t) + g a^2/(b v) (1 - \exp(-b v/a^2 t)), \quad (1.2.9)$$

мында $g = v/a - e$.

(1.2.9) тенденеси туюк суу көлмөсүнүн дөнгөэлинин термелүү кыймылынын закон ченемдүүлүгүн берет. (1.2.9) тенденесинен дөнгөэлдин төң салмактуу абалынан кыйшаюсу экспоненциалдык законго ээ экени келип чыгат. Бул формуланы ағып келген суунун жана буулануунун орточо мааниси анча көп өзгөрүлбөйт деп, көлмөдөгү суунун дөнгөэлин 5 жана андан ашык жылга алдын ала прогноз жасаганга колдонсо болот. Ысыккөлдүн дөнгөэлинин режими боюнча теориялык көрсөтүлүш [32] эмгегинде берилген.

Мисал 1.2.6. Экономикалык динамиканын мөдели.

$y(t)$ - кандайдыр бир чарбанын убакыттын t моментинде сатылган продукциясынын көлөмү дейли. Чарбада өндүрүлгөн бардык продукциялар кандайдыр бир туруктуу баа p менен сатылат дейли, б.а. каныга элек базардын шарты аткарылат. Анда t моментиндеги киреше $y(0) = py(t)$ болот.

$I(t)$ менен чарбаны көнөйтүү үчүн кетирилген инвестициянын чондугун белгилейли. Табигый өсүү моделинде продукциянын чыгаруу ылдамдыгы (акселерация) анын инвестициясынын чондугуна пропорциялуу деп эсептешет:

$$y' = qI(t). \quad (1.2.10)$$

Инвестициялардын $I(t)$ чондугу кирешенин турактуу бөлүгүн түзөт деп эсептейли, анда

$$I(t) = mY(t) = mp y(t), \quad (1.2.11)$$

мында m - пропорциялуулуктун коэффициенти (инвестициянын нормасы деп аталган) – турактуу чондук, $0 < m < 1$.

$I(t)$ үчүн жазылган акыркы түйнімта (1.2.11) ди (1.2.10) го коюп

$$y'(t) = ky \quad (1.2.12)$$

дифференциалдык тенденесине келебиз, мында $k = mq$.

Аны чыгарып, $y(t) = y_0 \exp(k(t - t_0))$ функциясын алабыз, мында $y(t_0) = y_0$.

(1.2.12) тенденеси популяциянын өсүшүн, радиоактивдик ажыралыш процессин ж.б. процесстерди жазып сурөттөөрүн айта кетели.

Ошондуктан А. Пуанкаре «Математика – бул ар түрдүү нерселерди бир эле ысым менен атай турган искуство» деп айткан.

Жаратылыштын процесстеринин жана кубулуштарынын көп түрдүүлүгүнүн бардыгы тенденциелердин бир нече түрүнө эле келтирилип жазылбашы белгилүү. Дифференциалдык тенденциелер чыныгы дүйнөнүн математикалык чагылдырылышы болгондуктан, чыныгы дүйнө канчалык ар түрдүү болсо, тенденциелердин дүйнөсү да ошончолук бай болот.

Өз алдынча иштөө үчүн көнүгүүлөр

№3 Жанымасы менен Ох огуунун оң багыты түзгөн бурчтун тангенси жасының өттүү чекитинин ординатасына түз пропорциялуу болгон ийри сзыктарды тапкыла.

№4 Эгерде абанын температурасы 20°C ге барабар болсо жаса тело 20 мин. ичинде 100°C тан 60°C ге чейин муздаста, анда телонун муздоо законун тапкыла. Муздагандан баштап канча убакыттан кийин анын температурасы 30°C ге чейин төмөндөйт?

№5. Вертикалдык аба мамычасынын ар бир деңгээлиндеги басым ага жасын жайланашикан катмарлардын басымы аркылуу шартталат деп эсептеп, P басымынын h бийиктигинен болгон көз карандылыгын тапкыла. Мында төмөнкүлөр белгилүү деп эсептегиле: деңиз деңгээлиндеги ($h=0$) бул басым $1\text{kg}/\text{cm}^2$ ка барабар, ал эми 500 м бийиктиктө $0,92\text{kg}/\text{cm}^2$ ка барабар.

Көрсөтмө. Абанын басымынын h бийиктиктеги катмардан $h+d-h$ бийиктигиндеги катмарга өткөндөгү өзгөрүшүн Бойл-Мариоттун законун колдонуп, б.а. абанын q тыгыздыгынын чоңдугу P басымына пропорционалдуу деп эсептегиле.

№6. Тажрыйбаларга ылайык 1 жылдын ичинде ар бир грамм радиийден $0,44\text{mg}$ ажырайт. Канча жылдан кийин радиийдин берилген санынын жарымы ажырайт?

**§ 2.1. Биринчи тартиптеги дифференциалдык теңдеме үчүн
Коши маселесинин чыгарылышынын жашашы жана
жалғыздығы жөнүндөгү теорема**

Туундусуна карата чечилген биринчи тартиптеги дифференциалдык теңдеменин жалпы түрү төмөнкүчө жазылат:

$$\frac{dy}{dx} = f(x, y), \quad (2.1.1)$$

мында $f(x, y)$ – берилген функция.

f функциясынын аныктамасы боюнча x жана y өзгөрмөлөрү өз ара көз каранды эмес, ал эми (2.1.1) теңдемесинде y ти x тен көз каранды функция деп түшүнөөрүбүздү баса айта кетели. Көпчүлүк теоретикалық жана практикалық мааниси бар маселелерде (2.1.1) дифференциалдык теңдемесинин бардык чыгарылышынын ичинен $x = x_0$ болгондо $y = y_0$ боло турган, б.а.

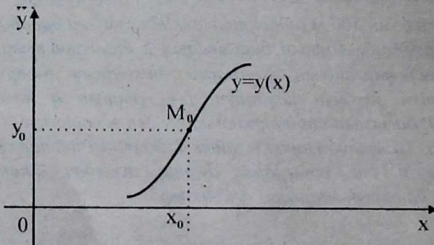
$$y(x_0) = y_0, \quad (2.1.2)$$

(мында x_0 жана y_0 – берилген сандар) шартын канааттандырган

$$y = y(x) \quad (2.1.3)$$

чыгарылышын табуу талап кылышат.

Мындаиды маселенин геометриялык мааниси төмөнкүчө: адын-ала берилген $M_0(x_0, y_0)$ чекити аркылуу өткөн интегралдык ийри сызыкты издең табуу талап кылышат (1-сүрөт.).



1-сүрөт

(2.1.2) шарты (2.1.3) чыгарылышынын баштапкы шарты, ал эми x_0 жана y_0 сандары ушул чыгарылыштын баштапкы маанилери деп аталышат. Берилген (2.1.2) баштапкы шартты канааттандырган чыгарылышты табуу маселеси Коши маселеси деп аталац.

Теорема 2.1.1 (Пеано). Эгерде $f(x,y)$ функциясы $M_0(x_0, y_0)$ чекитин камтыгын областта үзгүлтүксүз болсо, анда (2.1.1) тенденеси x_0 го жетишээрлик жакын x тер үчүн, (2.1.2) шартын канааттандырган эч болбогондо бир $y = y(x)$ чыгарылышына ээ болот.

(2.1.1) - (2.1.2) Коши маселесинин чыгарылышынын жашашы жана жалгыздыгынын жетиштүү шартын көрсөтөбүз. Бул үчүн төмөнкүдөй аныктамаларды киргизели.

Аныктама. Эгерде каалагандай x_1 жана x_2 чекиттери үчүн $[a,b]$ кесиндинде жаткан f функциясынын өсүндүсү $|f(x_1) - f(x_2)| \leq L|x_1 - x_2|$, барабарсыздыгын канааттандырса (мында $L > 0$ – кандайдыр бир турактуу сан), анда $f(x)$ функциясы $[a,b]$ кесиндинде Липшиц шартын канааттандырат деп айтабыз.

$[a,b]$ кесиндинде чектелген туундуга ээ болгон ар бир функция бул кесиндиде Липшицтин шартын канааттандырары көрүнүп турат. Бул Лагранждын чектүү өсүндү жөнүндөгү теоремасынан келип чыгат (текшергиле!).

Теорема 2.1.2 (Пикар). $f(x,y)$ функциясы

$\Pi = \{(x, y) : |x - x_0| \leq a, |y - y_0| \leq b\}$, $a > 0, b > 0$ тик бучтугунда үзгүлтүксүз болсун дейли жана бардык $x : |x - x_0| \leq a$ жана $y_1, y_2 : |y_1 - y_2| \leq b$ үчүн $|f(x, y_1) - f(x, y_2)| \leq L|y_1 - y_2|$ шартын канааттандырысын. $(x, y) \in \Pi$ үчүн $M = \max_{(x, y) \in \Pi} |f(x, y)|, h = \min(a, b/M)$ болсун.

Анда (2.1.1) - (2.1.2) Коши маселеси $[x_0 - h, x_0 + h]$ аралыгында жалгыз гана чыгарылышка ээ болот.

Далилдөө. Пикар методун колдонообуз. (2.1.1) - (2.1.2) Коши маселеси

$$y(x) = y_0 + \int_{x_0}^x f(s, y(s)) ds \quad (2.1.4)$$

интегралдык тенденесине эквиваленттүү. Чындыгында эле (2.1.1) - (2.1.2) маселесинин чыгарылышын $y = \phi(x)$ дейли, ба.

БИБЛИОТЕКА №2
Ошского государственного
17 Университета
ИНВ № 897402

$$\frac{d\varphi}{dx} \equiv f(x, \varphi(x)), \quad \varphi(x_0) = y_0.$$

Ақыркы тендешилтиң еки жағын dx ке көбөйтүп, x_0 дон x ке чейин интегралдан анат баштапкы шартты колдонуп төмөнкүнү алабыз

$$\varphi(x) \equiv y_0 + \int_{x_0}^x f(s, \varphi(s)) ds,$$

б.а. $\varphi(x)$ (2.1.4) интегралдык тендемесинин чыгарылышы болот. Тескеңесинче, $\varphi(x)$ (2.1.4) тендемесин канаттандырысын

$$\varphi(x) \equiv y_0 + \int_{x_0}^x f(s, \varphi(s)) ds.$$

Эгерде бул тендешилтиң еки жағына $x = x_0$ маанисін койсок: $\varphi(x_0) = y_0$, б.а. $\varphi(x)$ (2.1.2) баштапкы шартын канаттандырат. Ушул эле тендешилтиң еки жағын x бойонча туундуласак, (2.1.1) тендемесине келебиз.

Демек, (2.1.4) интегралдык тендемесинин чыгарылышынын жашашы жана жалғыздығын далилдесек, теореманын далилдөөсү келип чыгат. (2.1.4) интегралдык тендемесинин чыгарылышынын жашашын удаалаш жакыннатуу методу менен далилдейбиз. (2.1.4) интегралдык тендемесине кысып чагылтуу принципин колдонууга да болот ([12] карагыла).

Нөлүнчү жакыннатуу функция үчүн $y_0(x) \equiv y_0$ ду алабыз, ал эми калган жакыннатууларды төмөнкү формула менен аныктайбыз:

$$y_n(x) = y_0 + \int_{x_0}^x f(s, y_{n-1}(s)) ds, \quad n=1, 2, \dots \quad (2.1.5)$$

$y_n(x)$ функцияларын ушундай түзүү процессин – удаалаш жакыннатуу деп атайбыз, аны чексиз улантууга болот, б.а. $n = 1, 2, \dots$. Ошентип, биз функциялардын чексиз удаалаштыгын алабыз:

$$y_0(x), y_1(x), y_2(x), \dots, y_n(x), \dots \quad (2.1.6)$$

Эгерде $|x - x_0| \leq h$ болсо, (2.1.6) удаалаштыгынын бардык мүчөлөрү P тик бурчтукунда жата тургандыгын көрсөтөлу. Чындыгында эле, (2.1.5) дөн төмөнкүнү алабыз:

$$|y_n(x) - y_0| = \left| \int_{x_0}^x f(s, y_{n-1}(s)) ds \right| \leq \left| \int_{x_0}^x |f(s, y_{n-1}(s))| ds \right|.$$

Мындан, $n=1$ болгондо:

$$|y_1(x) - y_0| \leq M|x - x_0| \leq Mh = M \min(a, b/M) \leq b \quad \text{б.а.}$$

$y_1(x) \in P$ ге ээ болобуз.

Математикалык индукция методун пайдаланып, $y_n(x) \in P$ деген $y_{n+1}(x) \in P$ келип чыгарын көрсөтөлү:

$$\begin{aligned} |y_{n+1}(x) - y_0| &\leq \left| \int_{x_0}^x |f(s, y_n(s))| ds \right| < M|x - x_0| \leq Mh = \\ &= M \min(a, b/M) \leq b. \end{aligned}$$

Ошентип, бардык n үчүн $y_n(x) \in P$.

Эми (2.1.6) удаалаштыгы $[x_0 - h, x_0 + h]$ туюк интервалында (2.1.4) тендересинин үзгүлтүксүз чыгарылышына бир калыпта жыйнала тургандыгын көрсөтөлү. Чындыгында эле, $y_n(x)$ ди төмөнкүчө жазса болот:

$$\begin{aligned} y_n(x) &= y_1(x) + [y_2(x) - y_1(x)] + [y_3(x) - y_2(x)] + \dots + \\ &\quad + \dots + [y_n(x) - y_{n-1}(x)] \end{aligned}$$

Ошондуктан (2.1.6) удаалаштыгынын бир калыпта жыйнала тургандыгын далилдөө үчүн төмөндөгү чексиз катардын:

$$y_1 + (y_2 - y_1) + (y_3 - y_2) + \dots + (y_n - y_{n-1}) + \dots \quad (2.1.7)$$

бир калыпта жыйналуучулуугун далилдөө жетиштүү болот.

Бул үчүн $y_n(x) - y_{n-1}(x)$ айырмасын баалайлы.

$n = 1$ болгондо, (2.1.5) тен төмөнкүнү алабыз:

$$|y_1 - y_0| \leq M|x - x_0|. \quad (2.1.8)$$

Андан ары, $n = 2, 3, \dots$ болгондо ушунун өзүндөй эле (2.1.5) тен төмөнкүнү алабыз:

$$\begin{aligned} |y_2(x) - y_1(x)| &= \left| \int_{x_0}^x [f(s, y_1(s)) - f(s, y_0(s))] ds \right| \leq \\ &\leq L \left| \int_{x_0}^x |y_1(s) - y_0(s)| ds \right| \leq L M \left| \int_{x_0}^x |s - x_0| ds \right| \leq M L \frac{|x - x_0|^2}{2}; \end{aligned}$$

$$|y_3(x) - y_2(x)| \leq L \left| \int_{x_0}^x [y_2(s) - y_1(s)] ds \right| \leq M L^2 \frac{|x - x_0|^3}{3!};$$

Жалпысынан

$$|y_n(x) - y_{n-1}(x)| \leq M L^{n-1} \frac{|x - x_0|^n}{n!} \quad (x_0 - h \leq x \leq x_0 + h).$$

Ошондуктан,

$$M|x - x_0| + L M \frac{|x - x_0|^2}{2!} + \dots + L^{n-1} M \frac{|x - x_0|^n}{n!} + \dots \quad (2.1.7')$$

катарапы $|x - x_0|$ дун бардык маанилеринде жыйналат. (Анткени жалпы мүчесү $L^{n-1} M \frac{h^n}{n!}$ болгон жыйналуучу сан катарапы менен мажорантталат. Ошондуктан (2.1.7) катарапы да бир калыпта жыйналат жана анын суммасы $y(x)$ функциясы $[x_0 - h, x_0 + h]$ жабык интервалында үзгүлтүксүз функция болот. Анын графиги Π тик бурчтугунан чыкпайт. Демек, $\int_{x_0}^x f(s, y(s)) ds$ интегралы мааниге

$$\text{ээ. } \left| \int_{x_0}^x [f(s, y(s)) - f(s, y_{n-1}(s))] ds \right| \leq L \left| \int_{x_0}^x |y(s) - y_{n-1}(s)| ds \right|$$

болгондуктан, (2.1.5) барабардыгында $n \rightarrow \infty$ үчүн пределге он жагынан да, сол жагынан да өтсөк болот, ошондуктан $y(x)$ функциясы (2.1.4) тенденмесин канааттандырат. $[x_0 + h, x_0 - h]$ туюк интервалында интегралдык тенденме жалгыз, үзгүлтүксүз, ошол себептүү чектүү чыгарылышка ээ экендигин далилдейли. Карама-каршылыкка келүү методун колдонолу. Тескерисинче, (2.1.4) тенденмесинин $y(x)$ тен айырмаланган, $|x - x_0| \leq h$ сегментинде аныктаалган үзгүлтүксүз $z = z(x)$ деген дагы бир чыгарылыши бар болсун дейли:

$$z(x) = y_0 + \int_{x_0}^x f(s, z(s)) ds. \quad (2.1.9)$$

$z(x_0) = y_0 = y(x_0)$ экени анык. $z(x) - y(x)$ айырмасы $|x - x_0| \leq \theta$ (мында θ – жетишээрлик кичине сан) сегментинде нөлгө барабар эмес деп болжолдойлу. Анда (2.1.9) дан (2.1.4) туу мүчөлөп кемитип төмөнкүгө ээ болобуз:

$$|z(x) - y(x)| = \left| \int_{x_0}^x [f(s, z(s)) - f(s, y(s))] ds \right| \leq L\theta \max |z(x) - y(x)|,$$

$$|x - x_0| \leq \theta.$$

Ошондуктан $\max |z(x) - y(x)| \leq L\theta \max |z(x) - y(x)|$, $|x - x_0| \leq \theta$.

θ – жетишшээрлик кичине сан болгондуктан, акыркы барабардык $\max_{|x-x_0| \leq \theta} |z(x) - y(x)| = 0$, шарты аткарылганда гана туура болот, б.а. $z(x)$ чыгарылыши $y(x)$ менен дал келет. Алынган $z(x_0 + \theta) \equiv y(x_0 + \theta)$ барабардыгын дагы колдонуп, $x_0 + \theta \leq x \leq x_0 + 2\theta$ учун $z(x) \equiv y(x)$ экендигин далилдесек болот. ж.б.у.с. Теорема далилденди.

$y(x)$ так чыгарылысын n -жакыннатуусу $y_n(x)$ менен алмаштырганда келип чыккан каталыктын баалоосу төмөнкү барабарсыздык менен берилет:

$$|y(x) - y_n(x)| \leq \frac{M L^{n-1}}{n!} h^n.$$

Удаалаш жакыннатуу методун колдонуп эсептегенде $|y_{n-1} - y_n|$ чондугу берилген каталыктан ашпай калган n де токтоо керек.

Мисал 2.1.1. $f(x, y) = y^2 \cos x + x$ функциясы

$\Pi = \{(x, y) : |y| \leq b\}$ тилкесинде у боюнча Липшиц шартын x ке ($x \in R$) салыштырмалуу, бир калыпта канаттандырарын текшергиле. Липшиц туректүүларынын арасынан эң кичинесин тапкыла. Чыгаруу. $y_1, y_2 \in \Pi$ дейли. Төмөнкү айырманы баалайлы:

$$|f(x, y_1) - f(x, y_2)| = |y_1^2 \cos x - y_2^2 \cos x| = |\cos x| \cdot |y_1 + y_2| \cdot |y_1 - y_2|.$$

$$\sup_{(x, y) \in \Pi} |\cos x| \cdot |y_1 + y_2| = 2b \text{ болгондуктан, } |f(x, y_1) - f(x, y_2)| \leq 2b |y_1 - y_2|.$$

Бул болсо $f(x, y)$ функциясы Π тилкесинде у боюнча Липшиц шартын $x \in R$ ге салыштырмалуу бир калыпта канаттандырарын билдирет. Липшиц туректүүларынын ичинен эң кичинеси $L = 2b$.

Мисал 2.1.2. $f(x, y) = (3 + \sin x)y^{1/2}$ функциясы $\Pi = \{(x, y) : 0 \leq y \leq b\}$ тилкесинде у боюнча Липшиц шартын канаттандырбай турганын көрсөткүлө.

Чыгаруу. Карама-каршысын болжолдойлу. $f(x, y)$ функциясы Липшиц шартын канааттандырат дейли, б.а. бардык $x, y_1, y_2 \in \Pi$ үчүн төмөнкү шартты канааттандырган L оң саны жашасын:

$$|f(x, y_1) - f(x, y_2)| = (3 + \sin x) |y_1^{1/2} - y_2^{1/2}| \leq L |y_1 - y_2|.$$

$y_2 = 0, y_1 \neq 0$ десек, $x \in R$ жана $y_1 \in [0, b]$ үчүн $(3 + \sin x)y_1^{1/2} \leq Ly_1$ же $(3 + \sin x)y_1^{-1/2} \leq L$ экенин алабыз. Акыркы барабарсыздык болсо, y_1 маанисинин абсолюттук чоңдугу боюнча жетишээрлик кичинелери үчүн аткарылбайт. Демек, берилген функция Π тилкесинде Липшиц шартын канааттандырат деген болжолдообуз туура эмес.

Мисал 2.1.3. $\Omega = \{(x, y) : |x| \leq 1, |y| \leq 1\}$ квадратында төмөнкү тендемени карайлы: $y' = x + y^2, y(0) = 0$. Удаалаш жакыннаттуу методу менен Коши маселесинин чыгарылышынын үчүнчү жакыннаттуусун тапкыла. Кандай аралыкта Пикардын теоремасы удаалаш жакыннаттуулардын жыйналуучулугуна гарантия берет? Берилген Коши маселесинин так чыгарылышы менен табылган үчүнчү жакыннаттуусунун ортосундагы кетирилген каталыкты баалагыла.

Чыгаруу. $f(x, y) = x + y^2$ функциясы у боюнча үзгүлтүк-сүз дифференциалдана турганы көрүнүп турат жана анын у боюнча айрым туундусу $\partial f / \partial y = 2y$. Ошондуктан $f(x, y)$ функциясы Липшиц шартын канааттандырат жана анын турактуу саны $L = \max_{|x| \leq 1, |y| \leq 1} |\partial f / \partial y| = 2$.

$$M = \max_{x \in \Omega} |f(x, y)| = \max_{|x| \leq 1, |y| \leq 1} |x + y^2| = 2 \text{ болгондуктан,}$$

$$h = \min(a, b/M) = \min(1; 1/2) = 1/2.$$

Демек, берилген Коши маселесинин чыгарылышынын Пикар жакыннаттуулары $[-1/2, 1/2]$ аралыгында жыйналат. Жакыннаттууларды

$$y_{n+1}(x) = \int_0^x (s + y_n^2(s)) ds, n = 0, 1, 2, \dots$$

формуласы менен эсептейли:

$$y_1(x) = \int_0^x (s+0) ds = \frac{x^2}{2}, \quad y_2(x) = \int_0^x \left(s + \frac{s^4}{4} \right) ds = \frac{x^2}{2} + \frac{x^5}{20},$$

$$y_3(x) = \int_0^x \left(s + \left(\frac{s^2}{2} + \frac{s^5}{20} \right)^2 \right) ds = \frac{x^2}{2} + \frac{x^5}{20} + \frac{x^8}{160} + \frac{x^{12}}{4400}.$$

$y(x)$ чыгарылышы менен табылган үчүнчү жакындатуунун айырмасын (2.1.10) формуласы менен бааланат:

$$|y(x) - y_3(x)| \leq \frac{M L^2}{3!} h^3 = \frac{2 \cdot 2^2}{6} \cdot \frac{1}{2^3} = \frac{1}{6}.$$

Пикардын теоремасы удаалаш жакындатуулардын $[-1/2, 1/2]$ аралыгында жыйналуучулугуна гарантия берет. Үчүнчү жакындатуунун абсолюттук каталығы $1/6$ ден ашпайт.

Өз алдынча иштөө үчүн көнүгүүлөр

№ 7. Коши маселесинин чыгарылышын удаалаш жакындатуу методу менен тапкыра:

а) $y' = y, \quad y(0) = 1$, б) $y' = x + y, \quad y(0) = 1$.

№ 8. Төмөнкү Коши маселесинин чыгарылышынын $y_0(x), y_1(x)$ жана $y_2(x)$ удаалаши жакындатууларын түзгүлө:

а) $y' = 1 - (1+x)y + y^2, \quad y(0) = 1$, б) $y' = y^2 + 3x^2 - 1, \quad y(1) = 1$,

в) $y' = x - y^2, \quad y(0) = 0$, г) $y' = 1 + x \sin y, \quad y(\pi) = 2\pi$.

№ 9. $f(x, y) = y^{2/3} \cos x$ функциясы $\Pi = \{(x, y) : |y| \leq b\}$ тилкесинде y боюнча Литшиц шарттын канадаттандырыбасын далилдегиле.

§2.2. Өзгөрмөлөрү ажыралуучу тенденмелер

$$f_1(y)dy = f_2(x)dx \quad (2.2.1)$$

түрүндөгү тенденмени карайлы, мында $f_1(y)$ жана $f_2(x)$ – берилген функциялар. Бул дифференциалдык тенденмемде өзгөрмөлөрү ажыраган, б.а. ар бир өзгөрмө өзүнүн дифференциалы турган жагында жайгашкан. $dy = f(x)dx$ тенденмеси - каралған тенденменин айрым учуру болуп саналат.

(2.2.1) ди интегралдан, төмөнкүгө ээ болобуз:

$$\int f_1(y)dy = \int f_2(x)dx + c, \quad c \equiv const.$$

Мында \int символу арқылуу баштапкы функциянын бирин түшүнөбүз. Эркин турактуу c ны барабардыктын каалаган бөлүгүнө жазууга болоору түшүнүктүү.

Эгерде (2.1.3) баштапкы шарты берилсе, анда турактуу c ны аныктап, берилген шартты канааттандырган айрым чыгарылышты алабыз. Аныкталган интегралдарды пайдаланып, изделген айрым чыгарылышты төмөнкүчө жазууга болот:

$$\int_{y_0}^y f_1(y)dy = \int_{x_0}^x f_2(x)dx.$$

Мында x_0 жана y_0 дун маанилери бири-бири менен тиешелүү болот, анткени барабардыкта у жана x_0 жогорку пределдерге, б.а ти, y_0 жана x_0 го алмаштырганда, барабардыктын эки жагы төң нөлгө айланат.

Интегралдоону түздөн түз аткарып, адатта у белгисиз функциясын айкын эмес түрдө алабыз. Эгерде (2.2.1) тенденмесинин чыгарылышы $\phi(x, y) = 0$ айкын эмес түрүндө берилсе, анда аны (2.2.1) тенденмесинин интегралы деп аташат.

Мисал 2.2.1. $\frac{dy}{y} = 2x dx$ тенденмесинин $y|_{x=0} = 3$ баштапкы

шартын канааттандырган чыгарылышын тапкыла.

Чыгаруу. Тенденменин эки жагын төң түздөн түз интегралдан жана потенцирлекенге ынгайллуу болсун үчүн турактууну $\ln C$ түрүндө жазып, төмөнкүгө ээ болобуз:

Эгерде тұрактууны $\ln C$ түрүндө алсак $\ln|y| = x^2 + \ln C$,
 $|y| = Ce^{x^2}$. Анда $C > 0$ болмок да, жалпы чыгарылышын төмөнкү түрдө жазууга туура келет эле: $y = \pm C \exp(x^2)$. Жалпы чыгарылышка баштапкы шартты коюп C ны табабыз: $3 = C$.

Ошентип, $y = 3 \exp(x^2)$ функциясы берилген тенденциин айрым чыгарылышы болот. Эгерде аныкталган интегралдарды колдонсок, төмөнкүгө ээ болмокпуз:

$$\int_3^y \frac{dy}{y} = \int_0^x 2x \, dx, \text{ б.а. } \ln y \Big|_3^y = x^2 \Big|_0^x \Rightarrow \ln y - \ln 3 = x^2.$$

Потенцирлеп, ошол эле $y = 3e^{x^2}$ айрым чыгарылышын алабыз.

Көпчүлүк тенденмелер өзгөрмөлөрү ажырабаган түрдө кездешет, бирок жөнөкөй алгебралык операцияларды жүргүзүп, алардын кәэ бирлеринин өзгөрмөлөрүн ажыратууга болот.

Өзгөрмөлөрү ажыралуучу тенденмелер деп

$$p_1(x)p_2(y)dx + q_1(x)q_2(y)dy = 0 \quad (2.2.2)$$

түрүндөгү тенденмени айтабыз. $p_2(y) \neq 0, q_1(x) \neq 0$ деп эсептеп, (2.2.2) нин еки жағын $[p_2(y)q_2(x)]^{-1}$ ге көбөйтүп, төмөнкүнү алабыз:

$$\frac{p_1(x)}{q_1(x)} dx + \frac{q_2(y)}{p_2(y)} dy = 0.$$

Мындан, интегралдап, (2.2.2)нин

$$\int_{x_0}^x \frac{p_1(s)}{q_1(s)} ds + \int_{y_0}^y \frac{q_2(\eta)}{p_2(\eta)} d\eta = C$$

жалпы чыгарылышына ээ болобуз. (2.2.2) ни $[p_2(y)q_1(x)]^{-1}$ ге көбөйткөндө кәэ бир айрым чыгарылыштарды жоготуп алышибыз ыктымал. Мисалы, $y = y_0$ болгондо, $p_2(y_0) = 0$ болсун. Анда $y = y_0$ тұрактуу функциясы тенденмени чыгарылышы болот. Чыннында эле, $dy = 0$ жана (2.2.2) тенденмесине $p_2(y_0) = 0$ ду койсок, тенденшикке ээ болобуз. x жана y ти тен укуктуу деп карап, ушунун өзүндөй эле, эгерде $q_2(x_0) = 0$ болсо, $x = x_0$ дагы (2.2.2)нин чыгарылышы болот.

Мисал 2.2.2. $x(y+2)dx - (x^2 + 1)ydy = 0$ тендеңесин чыгаргыла.

Чыгаруу. Өзгөрмөлөрдү ажыратып, төмөнкүгө ээ болобуз:

$$\frac{x \, dx}{x^2 + 1} - \frac{y \, dy}{y + 2} = 0.$$

Интегралдан, $\frac{1}{2} \ln(x^2 + 1) - y + 2 \ln|y + 2| = C$ ны алабыз.

Бул жалпы чыгарылыш, анын үстүнө у өзгөрмөсү x тен көз каранды болгон функция болот. Андан башка, $y = -2$ деген айрым чыгарылышы да бар. Анын графиги $y = -2$ горизонталдуу түз сызыгы болот.

Өз алдынча иштөө үчүн көнүгүүлөр

Дифференциалдык тендеңелерди чыгаргыла:

№ 10. $y' = x / y.$

№ 11. $y^2 y' + x^2 = 1.$

№ 12. $yy' + x = 0.$

№ 13. $xy' - 2y = 0.$

№ 14. $(x + 1)y' + xy = 0.$

№ 15. $y' = e^{x+y}.$

№ 16. $(1 + y^2)x \, dx + (1 + x^2) \, dy = 0.$

№ 17. $xy \, dx + \sqrt{1 - x^2} \, dy = 0.$

§2.3. Бир тектүү тендеңелер

Эгерде 1-тартыптеги дифференциалдык тендеңеме

$$y' = f\left(\frac{y}{x}\right) \quad (2.3.1)$$

түрүнө же

$$P(x,y) \, dx + Q(x,y) \, dy = 0 \quad (2.3.2)$$

түрүнө алынып келине турган болсо, анда ал бир тектүү дифференциалдык тендеңеме деп аталат, мында $P(x,y)$ жана $Q(x,y) - k -$ даражадагы бир тектүү функциялар, б.а. бардык t үчүн $P(tx,ty) = t^k P(x,y)$, $Q(tx,ty) = t^k Q(x,y)$ тендештиги аткарылат.

$$y = ux, dy = x du + u dx \quad (2.3.3)$$

ордуна коюунун жардамы менен (2.3.1) жана (2.3.2) бир тектүү тенденмелери өзгөрмөлөрү ажыралуучу тенденмелерге өзгөртүп түзүлөт.

Мисал 2.3.1. $(x y - y^2) dx - (x^2 - 2 x y) dy = 0$ тенденмесин чыгарыла.

Чыгаруу. Бул тенденемени

$$\frac{dy}{dx} = \frac{xy - y^2}{x^2 - 2xy} = \frac{(y/x) - (y/x)^2}{1 - 2(y/x)}.$$

Түрүндө жазууга болот. (2.3.3) ордуна коюусу төмөнкү тенденемеге алып келет

$$u + xu' = \frac{u - u^2}{1 - 2u} \text{ же } \frac{du}{dx} = \frac{1}{x} \left(\frac{u - u^2}{1 - 2u} - u \right), \frac{du}{dx} = \frac{1}{x} \frac{u^2}{1 - 2u}.$$

$$\Theta\zeta\text{гөрмөлөрүн ажыратып, } \frac{1 - 2u}{u^2} du = \frac{du}{dx} \text{ ти табабыз, мындан}$$

$$\frac{1}{u} + 2 \ln|u| = \ln \left| \frac{c}{x} \right| \text{ же } \ln(\exp(1/u) u^2) = \ln|c/x|, \text{ демек } u^2 \exp(1/u) = c/x.$$

У өзгөрмөсүнө кайрылып келип, алгачкы тенденеменин айкын эмес түрдөгү

$$y^2 \exp(x/y) = c x \Leftrightarrow$$

жалпы чыгарылышын алабыз.

Мисал 2.3.2.

$$(x + y) dx - x dy = 0 \quad (2.3.4)$$

тенденмесин чыгарыла.

Чыгаруу. $y' = (x+y)/x$ ке ээ болобуз. (2.3.3) ордуна коюусу төмөнкү тенденемеге алып келет

$$u'x + u = 1 + u, u'x = 1.$$

өзгөрмөлөрүн ажыраталы: $du = dx/x, u = \ln|x| + c$ экенин табабыз. У өзгөрмөсүнө кайрылып келсек $y = x u(x) = x(\ln|x| + c)$, $c=const$. (2.3.4) тенденеси $x = 0$ деген чыгарылышка да ээ (мында x өзгөрмөсү у тен көз каранды функция, бул болсо §1.1 дагы жалпы аныктамага туура келбейт).

Өз алдынча иштөө үчүн көнүгүүлөр

Төмөнкү дифференциалдык төндемелерди чыгарыла:

$$\text{№ 18. } y' = \frac{y}{x} + \frac{x}{y}.$$

$$\text{№ 19. } y' = \frac{y}{x} + \cos \frac{y}{x}.$$

$$\text{№ 20. } y' = \frac{x-y}{x+y}.$$

$$\text{№ 21. } (x^2 + xy)y' = x\sqrt{x^2 - y^2} + xy - y^2.$$

$$\text{№ 22. } (x-y)dx + xdy = 0.$$

$$\text{№ 23. } y^2 dx + x^2 dy = xy dy.$$

$$\text{№ 24. } x(y' + \exp(y/x)) = y.$$

$$\text{№ 25. } xy' = y + x \cdot \operatorname{tg} \frac{y}{x}.$$

$$\text{№ 26. } xy' - y = \sqrt{x^2 - y^2}.$$

$$\text{№ 27. } (x^2 + y^2)dy - 2xydx = 0.$$

§ 2.4. Биринчи тартилтеги сзықтуу тенденмелер

Бернулли жана Риккати тенденмелери

1⁰. Биринчи тартилтеги сзықтуу тенденмелер

Эгерде биринчи тартилтеги дифференциалдык тенденме у жана y' ке карата сзықтуу болсо, б.а.

$$y' = p(x) y + q(x) \quad (2.4.1)$$

түргө ээ болсо, анда ал сзықтуу деп аталат, мында $p(x)$ жана $q(x) - x$ өзгөрмөсүнөн көз каранды болгон белгилүү функциялар. Эгерде $q(x) \equiv 0$ болсо, анда (2.4.1) тенденмеси $y' = p(x)$ у түрүн алат жана бир тектүү сзықтуу тенденме деп аталат. Ал өзгөрмөлөрү ажыралуучу тенденме болуп саналат жана анын жалпы чыгарылыши

$$y = c \exp(\int p(x) dx) \quad (2.4.2)$$

түрүнө ээ болот, мында c – каалагандай турактуу сан, $\int p(x) dx$ – болсо $\rho(x)$ тин баштапкы функцияларынын бири.

(2.4.1) бир тектүү эмес сзықтуу тенденмени интегралдоону төмөнкү методдордун бири менен жүргүзсө болот.

а) каалагандай турактуу чоңдукту вариациялоо методу (Лагранж методу).

(2.4.1) дин чыгарылышины

$$y = c(x) \exp(\int p(x) dx) \quad (2.4.3)$$

түрдө издейли. (2.4.2) деги c турактуусун $c(x)$ функциясы менен алмаштырганда алынуучу (2.4.3) туюнтыасын (2.4.1) тенденмесине кооп, $c(x)$ белгисиз функциясы үчүн өзгөрмөлөрү ажыралуучу $c'(x) = q(x) \exp(-\int p(x) dx)$ тенденмесин алабыз.

Бул тенденменин жалпы чыгарылыши

$$c(x) = \int q(x) \exp(-\int p(x) dx) dx + c$$

Түрүндө жазылат, мында c – каалагандай турактуу сан, ал эми $\int q(x) \exp(-\int p(x) dx) dx$ баштапкы функциялардын бири. $c(x)$ үчүн алынган туюнтыманы (2.4.3) формуласына кооп, (2.4.1) тенденмесинин

$y = \exp(\int p(x) dx) (c + \int q(x) \exp(-\int p(x) dx) dx)$
жалпы чыгарылышины табабыз.

б) Ордуна коюу методу. $y(x) = u(x) v(x)$ деп коёлу.

Анда (2.4.1) тенденмеси

$$v \left(\frac{du}{dx} - p(x)u \right) + \left(\frac{dv}{dx}u - q(x) \right) = 0 \quad (2.4.4)$$

түрүнө келет.

$u(x)$ функциясын (2.4.4) тендересинин сол жағындағы бириңчи кашаа нөлгө барабар болғандай кылыш таңдап алабыз. Бул үчүн өзгөрмөлөрү ажыралуучу $\frac{du}{dx} - p(x)u = 0$ тендересин интегралдап, анын кандайлыр бир айрым чыгарылышын мисалы $u = u_1(x)$ ти таңдап алабыз. (2.4.4) тендересинин сол жағындағы u нун ордуна $u_1(x)$ функциясын коюп, $v(x)$ функциясына карата өзгөрмөлөрү ажыралуучу $\frac{dv}{dx}u_1(x) - q(x) = 0$ тендеремени алабыз.

Ақыркы тендеременин $v = v(x, c)$ жалпы чыгарылышын табаңыз. Табылган $u_1(x)$ жана $v(x, c)$ функцияларын көбөйтүп, төмөнкүдей жалпы чыгарылышты алабыз:

$$y = u_1(x)v(x, c).$$

Мисал 2.4.1. $y' + 2y = \exp(x)$ тендересин чыгаргыла.

Чыгаруу. Каалагандай туралтуу чондукту варияциялоо методун колдонообуз. Адегенде тиешелүү бир тектүү сыйыктуу

$$y' + 2y = 0.$$

тендеремени карайлы. Анын жалпы чыгарылышы $y = c \exp(-2x)$ көрүнүшкө ээ болот. Ошондуктан алгачкы тендеременин жалпы чыгарылышын $y = c(x) \exp(-2x)$ түрүндө издейбиз. y жана $y' = c'(x) e^{-2x} - 2c(x) e^{-2x}$ ди берилген тендеремеге коюп, төмөнкүнү алабыз:

$$c'(x) e^{-2x} - 2c(x) e^{-2x} + 2c(x) e^{-2x} = e^x, c'(x) e^{-2x} = e^x,$$

$$c(x) = \int e^{3x} dx + c = \frac{1}{3} e^{3x} + c.$$

Мындан тендеременин

$$y(x) = \left(\frac{1}{3} e^{3x} + c \right) e^{-2x} = ce^{-2x} + \frac{1}{3} e^x$$

жалпы чыгарылышы келип чыгат.

Мисал 2.4.2. $y' + \frac{1}{x}y = \frac{\sin x}{x}$ тендеңесин чыгарыла.

Чыгаруу. Ордуна коюу методу менен чыгарабыз.

$y = u v$ десек, анда $y' = u'v + uv'$. Төмөнкүлөрдү алабыз:

$$u'v + uv' + \frac{1}{x}uv = \frac{\sin x}{x} \text{ же } u'v + u\left(v' + \frac{v}{x}\right) = \sin x.$$

$v' + \frac{v}{x} = 0$ болсун дейли. Мындан $\frac{dv}{v} = -\frac{dx}{x}$, демек, $\ln v = -$

$\ln x$, б.а. $v = \frac{1}{x}$. Ошондуктан $u'\frac{1}{x} = \frac{\sin x}{x}$, мындан $u' = \sin x$, $u = -\cos x + c$ келип чыгат. Жыйынтыгында $y = uv = \frac{1}{x}(-\cos x + c)$ га ээ болобуз.

2⁰. Бернулли тендеңеси

$$\frac{dy}{dx} = p(x)y + q(x)y^m \quad (2.4.5)$$

түрүндөгү биринчи тартиптеги дифференциалдык тендеңем Бернулли тендеңеси деп аталат, мында $m \neq 0$, $m \neq 1$ ($m = 0$ болсо, (2.4.5) тендеңеси сзыяктуу, ал эми $m = 1$ болгондо өзгөрмөлөрү ажыралуучу тендеңем болот).

Сзыяктуу тендеңелердей эле, Бернуллинин тендеңесин $y = u v$ ордуна коюу жолу менен чыгарсак болот же төмөнкү ордуна коюу менен

$$z = y^{1-m} \quad (2.4.6)$$

сзыяктуу тендеңесине алыш келебиз. (2.4.5) тендеңесинин эки жагын y^m ге бөлөлүү: $y^{-m}y' = p(x)y^{1-m} + q(x)$, $z' = (1-m)y^{-m}y'$ болгондуктан, акыркы тендеңем

$$z' = (1-m)p(x)z + (1-m)q(x).$$

түрүндө жазылат. Бул сзыяктуу тендеңем. Аны чыгарып, кайран z тен y ке өтүп, алгачкы тендеңемин чыгарылышын алабыз.

Мындан татаалыраак тендеңеми – Риккати тендеңесин карайлыш:

$$\frac{dy}{dx} + p(x)y + q(x)y^2 = f(x).$$

Бул тенденце, жалпы учурда, $p(x)$, $q(x)$, $f(x)$ деген түзүлгөн элементардуу функциялардын жана интегралдардын жардамы менен интегралданбоочу тенденце. Бирок, бул тенденце төмөнкү маанилүү касиетке ээ: эгерде Риккати тенденесинин кандайдыр бир $y = y_1(x)$ айрым чыгарылышы белгилүү болсо, анда анын жалпы чыгарылышын табуу – сыйыктуу тенденемени чыгарууга алыш келинет. Чындыгында эле, $z(x) = y(x) - y_1(x)$ жаны белгисиз функцияны киргизүү менен ал үчүн Бернулли тенденесин алабыз:

$$\frac{dz}{dx} + [p(x) + 2q(x)y_1(x)]z(x) + q(x)z^2(x) = 0,$$

бул болсо жогоруда айтылган ыраствоону далилдейт.

Мисал 2.4.3. $y' = \frac{y}{2x} - \frac{1}{2y}$ тенденесин чыгаргыла.

Чыгаруу. Бул $m = -1$ болгондогу Бернуллинин тенденеси. $z = y^2$ деп алсак, $z' = (z/x) - 1$ тенденесине келебиз. $z' = z/x$ бир тектүү тенденесин чыгарып, төмөнкүнү табабыз: $z = c/x$. Мындан туралктуу чондукту вариациялоо менен б.а. $z = x c(x)$ деп,

$$z = x \ln(c/x)$$

түрдөгү жалпы чыгарылышка же жыйынтыгында $y^2 = x \ln(c/x) = x(c_1 - \ln x)$ ке ээ болобуз.

Эскертуү. Төмөнкү сыйыктуу эмес тенденемени карайлышы: $(xp(y) + x^m q(y)) \frac{dy}{dx} = r(y)$, $m \neq 0$, $m \neq 1$. Эгерде x ти у тен көз каранды функция деп эсептесек, анда мындан Бернулли тенденесин алабыз: $r(y) \frac{dx}{dy} = xp(y) + q(y)x^m$.

Өз алдынча иштөө үчүн көнүгүүлөр

Берилген дифференциалдык тенденмелерди чыгаргыла:

№ 28. $y' + \lambda y = a$, $\lambda, a = \text{const.}$

№ 29. $y' - \frac{2x}{1+x^2} y = 0$.

№ 30. $y' + \frac{1}{x} y = 3x$, ($x \neq 0$).

$$\text{№ 31. } xdy + (x^2 - y) \cdot dx = 0.$$

$$\text{№ 32. } x^2y' + xy + 1 = 0.$$

$$\text{№ 33. } y' - 2xy = 1.$$

$$\text{№ 34. } y' + 2y = e^{3x}.$$

$$\text{№ 35. } y' + y/x = 2 \ln x + 1.$$

$$\text{№ 36. } y' + 2y = v^2 e^v.$$

$$\text{№ 37. } y' + \frac{x}{1-x^2} y = x\sqrt{y}.$$

$$\text{№ 38. } (xy + x^2y^2)y' = 1.$$

§2.5. Толук дифференциалдардагы тенденме Интегралдоочу көбөйтүүчү

1⁰. Толук дифференциалдардагы тенденме

Биринчи тартиптеги

$$P(x, y)dx + Q(x, y)dy = 0 \quad (2.5.1)$$

дифференциалдык тенденмесин карайлы. Эгерде (2.5.1) дин сол жагы кандайдыр бир $V(x, y)$ функциясынын толук дифференциалы болсо, б.а. $P(x, y) = \frac{\partial V}{\partial x}$, $Q(x, y) = \frac{\partial V}{\partial y}$ барабардыгы орун алса, анда (2.5.1) толук дифференциалдардагы тенденме деп атаплат.

(2.5.1) тенденмеси толук дифференциалдардагы тенденме болжуу үчүн

$$\frac{\partial P}{\partial y} = \frac{\partial Q}{\partial x} \quad (2.5.2)$$

шартынын аткарылышы зарыл жана жетиштүү. Эгерде (2.5.1) - толук дифференциалдардагы тенденме болсо, анда аны $dV(x, y) = 0$ түрүндө жазууга болот.

Акыркы тенденменин жалпы интегралы: $V(x, y) = c$, мында c - каалагандай туралтуу сан.

$V(x,y)$ функциясын төмөнкү жол менен табуу мүмкүн. $\partial V / \partial x = P(x, y)$ барабардыгын у ти турактуу деп эсептеп, x боюнча интегралдасак жана бул учурда каалагандай турактуу у ке көз каранды болуусу мүмкүн деп эсептесек, төмөнкүгө ээ болобуз:

$$V(x, y) = \int P(x, y) dx + \varphi(y). \quad (2.5.3)$$

$$\frac{\partial V(x, y)}{\partial y} = \frac{\partial}{\partial y} \int P(x, y) dx + \varphi'(y) = Q(x, y)$$

барабардыгын пайдаланып, $\varphi(y)$ функциясын табабыз жана (2.5.3) көрүп, $V(x, y)$ функциясын алабыз.

Изделүүчү функция $V(x, y)$ аддитивдүү турактууга чейин так аныкталгандыгы көрүнүп турат. Алгачкы тенденциин жалпы интегралын жазуу үчүн алынган функциялардын түркүмүнүн ичинен бирөөсүн тандап алуу жетиштүү.

Мисал 2.5.1.

$$(3x^2 + 6xy^2)dx + (6x^2y + 4y^3)dy = 0$$

тенденмесин чыгаргыла.

Чыгаруу. Мында

$$\frac{\partial P}{\partial y} = 12xy, \quad \frac{\partial Q}{\partial x} = 12xy,$$

(2.5.2) шарты аткарылат жана (2.5.4) тенденеси толук дифференциалдардагы тенденме. $V(x, y)$ функциясын табалы. $\frac{\partial V}{\partial x} = P(x, y) = 3x^2 + 6xy^2$ барабардыгын, y ти турактуу деп эсептеп, x боюнча интегралдап

$$V(x, y) = \int (3x^2 + 6xy^2) dx + \varphi(y) = x^3 + 3x^2y^2 + \varphi(y) \quad (2.5.5)$$

барабардыгын алабыз. $\partial V / \partial y = Q(x, y) = 6x^2y + 4y^3$ барабардыгына (2.5.5) ти коюп

$$6x^2y + \varphi'(y) = 6x^2y + 4y^3, \quad \varphi(y) = y^4 - c$$

барабардыктарына ээ болобуз.

Анда (2.5.5) ден (2.5.4) түн жалпы интегралын

$$x^3 + 3x^2y^2 + y^4 = c$$

түрүндө алабыз.

2⁰. Интегралдоочу көбөйтүүчү

(2.5.1) тендемеси толук дифференциалдардагы тендеме болуп саналбаса, бирок (2.5.1) тендемесинин эки жагын тен көбөйткөндө толук дифференциалдардагы тендеме

$$\mu(P dx + Q dy) = 0 \quad (2.5.6)$$

пайда боло турган, б.а.

$$\frac{\partial(\mu P)}{\partial y} \equiv \frac{\partial(\mu Q)}{\partial x} \quad (2.5.7)$$

шарты аткарыла турган дифференциалдануучу $\mu = \mu(x, y)$ функциясы жашаса, анда бул функция (2.5.1) тендемесинин интегралдоочу көбөйтүүчүсү деп аталат.

Кыстырма. (2.5.1) тендемеси толук дифференциалдардагы тендеме болгон учурда $\mu = 1$ деп эсептөө мүмкүн.

(2.5.7) ден μ интегралдоочу көбөйтүүчү биринчи тартилтеги айрым туундулуу

$$Q \frac{\partial \mu}{\partial x} - P \frac{\partial \mu}{\partial y} = \mu \left(\frac{\partial P}{\partial y} - \frac{\partial Q}{\partial x} \right) \quad (2.5.8)$$

тендемени канааттандырары келип чыгат.

Эгерде $\mu(x, y)$ акыркы тендеменин чыгарылышы болсо, анда (2.5.6) тендемеси толук дифференциалдардагы тендеме болуп саналат. Жалпы алганда, (2.5.8) тендемесинин чыгарылышын табуу алгачкы (2.5.1) тендемесинин чыгарылышын табуудан эч кандай женил эмес.

Кээ бир жекече учурларда (2.5.8) тендемеси жөнөкөйлөнүп, (2.5.1) тендемеси үчүн интегралдоочу көбөйтүүчүнү табуу женилдейт. Бир нече мындай учурларды карайлыш:

1) Эгерде (2.5.1) тендемеси x тен гана көз каранды интегралдоочу көбөйтүүчүгө ээ деп алсак, б.а. $\mu(x, y) = \mu(x)$, анда (2.5.8) ден

$$\frac{1}{\mu} \frac{d\mu}{dx} = \frac{(\partial P / \partial y) - (\partial Q / \partial x)}{Q}$$

тендемесин алабыз.

2) Ошондой эле, эгерде (2.5.1) тенденеси, у өзгөрмөсүн гана көз каранды функция катары каралган интегралдоочу көбөйтүүчүгө ээ болсо, б.а. $\mu(x, y) = \mu(y)$, анда

$$\frac{1}{\mu} \frac{d\mu}{dy} = \frac{(\partial P / \partial y) - (\partial Q / \partial x)}{-P}$$

булуусу тийиш.

3) Эгерде (2.5.1) тенденеси

$$\mu(x, y) = \mu_1(w(x, y))$$

түрүндөгү интегралдоочу көбөйтүүчүгө ээ болсо, мында $w(x, y)$ – белгилүү функция, анда

$$\frac{1}{\mu} \frac{d\mu}{dw} = \frac{(\partial P / \partial y) - (\partial Q / \partial x)}{Q(\partial w / \partial x) - P(\partial w / \partial y)}. \quad (2.5.9)$$

Мисал 2.5.2.

$$(1 - x^2 y) dx + x^2 (y - x) dy = 0 \quad (2.5.10)$$

тенденесин чыгаргыла.

Чыгаруу. Берилген тенденеме x тен гана көз каранды болгон интегралдоочу көбөйтүүчүгө ээ болоорун текшеребиз.

$$\frac{\frac{\partial P}{\partial y} - \frac{\partial Q}{\partial x}}{Q} = \frac{-x^2 - 2xy + 3x^2}{x^2(y - x)} = -\frac{2}{x}$$

гэ ээ болобуз.

Демек, интегралдоочу көбөйтүүчүнү $(1/\mu) (d\mu / dx) = -2/x$ тенденесинен табабыз. Ошондуктан $\mu = \exp(\int(2/x) dx) = 1/x^2$. (2.5.10) тенденесинин эки жагын $1/x^2$ ка көбөйтүп, $\left(\frac{1}{x^2} - y\right) dx + (y - x) dy = 0$ дү алабыз:

Бул - толук дифференциалдардагы тенденеме (Текшергиле!). Акыркы тенденени интегралдап, $y^2 - 2xy - \frac{2}{x} = c$ табабыз.

Мисал 2.5.3. Эгерде

$$\left(\sqrt{x^2 - y} + 2x\right)dx - dy = 0 \quad (2.5.11)$$

тендемеси $\mu = \mu_1(x^2 - y)$ түрүндөгү интегралдоочу көбөйтүүчүгө ээ болсо, анда аны интегралдагыла.

Чыгаруу. (2.5.9) да $w = x^2 - y$ деп алсак:

$$\frac{\frac{\partial P}{\partial y} - \frac{\partial Q}{\partial x}}{Q} = \frac{-1}{2\sqrt{x^2 - y}} = -\frac{1}{2x + (\sqrt{x^2 - y} + 2x)} = -\frac{1}{2(x^2 - y)} = -\frac{1}{2w}$$

га ээ болобуз.

$$\text{Ошондуктан, } \mu = \exp(\int(1/(2w)) dw) = 1/\sqrt{w} = 1/\sqrt{(x^2 - y)}.$$

(2.5.11) тендемесинин эки жағын $\mu_1(x)$ ке көбөйтүп жана интегралдап, $x + 2\sqrt{x^2 - y} = c$ ны табабыз. Мында μ_1 функциясы $y = x^2$ ийри сыйзыгынын чекиттеринде чексизге айланат. $y = x^2$ функциясы (2.5.11) дин чыгарылышы болуп саналат.

Өз алдынча иштөө үчүн көнүгүүлөр

Төмөнкү дифференциалдык тендемелерди алдын ала толук дифференциалдардагы тендемелер экенине ишенип, анан чыгарыла:

$$\text{№ 39. } (2x + y)dx + (x + 2y)dy = 0.$$

$$\text{№ 40. } (10xy - 8y + 1)dx + (5x^2 - 8x + 3)dy = 0.$$

$$\text{№ 41. } \left(y + \frac{2}{x^2}\right)dx + \left(x - \frac{3}{y^2}\right)dy = 0.$$

$$\text{№ 42. } (2x - ye^{-x})dx + e^{-x}dy = 0.$$

$\mu = \mu_1(x)$ же $\mu = \mu_2(y)$ түрлөрүндөгү интегралдоочу көбөйтүүчүү тандап алып, төмөнкү тенденмелерди интегралдаңыла:

$$\text{№ 43. } \left(\frac{x}{y} + 1 \right) dx + \left(\frac{x}{y} - 1 \right) dy = 0.$$

$$\text{№ 44. } (x^2 + y) dx - x dy = 0.$$

$$\text{№ 45. } (xy^2 + y) dx - x dy = 0.$$

$$\text{№ 46. } x^2 y^2 + y + (x^3 y^2 - x) y' = 0.$$

$$\text{№ 47. } (x^2 + y^2 + 1) dx - 2xy dy = 0.$$

$$\text{№ 48. } (y + x^2) dy + (x - xy) dx = 0.$$

$$\text{№ 49. } \left[2y + \frac{1}{(x + y)^2} \right] dx + \left[3y + x + \frac{1}{(x + y)^2} \right] dy = 0.$$

2.6. Туундусуна карата чечилбegen тенденмелер

Туундусуна карата чечилбegen бириңчи тартиптеги жалпы дифференциалдык тенденме

$$F(x, y, \frac{dy}{dx}) = 0 \quad (2.6.1)$$

түрүндө жазылат.

1⁰. Өзгөрмөлөрүнө карата чечилген тенденмелер

(2.6.1) тенденмеси y же x ке карата онай чечилет дейли. Мисалы аны

$$y = f(x, y') \quad (2.6.2)$$

түрүндө жазууга болсун. Анда ал тенденме $p = \frac{dy}{dx}$ параметрин киргизүү жолу менен интегралданат. $y = f(x, p)$ га ээ болобуз.

Акыркы барабардыктын эки жагынан толук дифференциал алып жана dy ти $p dx$ ке алмаштырып

$$p dx = \frac{\partial f(x, p)}{\partial x} dp, \text{ б.а. } P(x, p) dx + Q(x, p) dp = 0$$

тенденмесин алабыз.

Эгерде бул тенденциин $x = \phi(p, c)$ чыгарылышын тапсак, анда алгачкы тенденциин чыгарылышын $\begin{cases} x = \phi(p, c), \\ y = f(x, p). \end{cases}$ параллелендирилген түрдө жазууга болот.

Мисал 2.6.1. $y = (y')^2 + xy' - x$ тенденмесин чыгарыла.

Чыгаруу. $p = y'$ параметрин киргизебиз. Анда

$$y = p^2 + x(p - 1) \quad (2.6.3)$$

пайда болот. Бул барабардыкты x боюнча дифференциалдан

$p = 2p(dp/dx) + p - 1 + x(dp/dx)$ же $(dp/dx) = 1/(2p + x)$ барабардыктарын алабыз.

Акыркы тенденми $(dx/dp) = 2p + x$ жазабыз.

Бул сыйыктуу тенденме, анын жалпы чыгарылышы төмөнкүчө:

$$x = c \exp(p) + 2(p + 1). \quad (2.6.4)$$

(2.6.4) туунтмасын (2.6.3) формуласына кооп, төмөнкүнү алабыз:

$$y = c \exp(p)(p - 1) + 3p^2 - 2. \quad (2.6.5)$$

(2.6.4) жана (2.6.5) системалары алгачкы тенденциин жалпы чыгарылышынын параметрдик түрүн берет.

(2.6.2) түрүндөгү тенденциин айрым учурду болуп саналган Лагранж тенденмеси

$$y = xf(y') + \varphi(y') \quad (2.6.6)$$

түрүндө берилет. Эгерде $f(y') = y'$ болсо, Клеро тенденмеси деп аталат. $p = y'$ параметрин киргизүү аркылуу (2.6.6) тенденмеси Лагранждын жалпы тенденмеси учурунда $y = xf(p) + \varphi(p)$ түрүнө жана Клеронун тенденмеси учурунда $y = xp + \varphi(p)$ түрүнө келитирилет. Андан башка Лагранж тенденмеси өзгөчө чыгарылышка ээ: $y = xf(p_0) + \varphi(p_0)$, мында p_0 чондугу $f(p) = p$ тенденмесинин каалаган тамыры.

Клеро тенденмеси

$$y = cx + \varphi(c) \quad (2.6.7)$$

жалпы чыгарылышка жана

$$x = -\varphi'(p), \quad y = -\varphi'(p)p + \varphi(p) \quad (2.6.8)$$

өзгөчө чыгарылышка ээ.

Ошентип, төмөнкү практикалык эрежени келтирсек болот. Клеро тенденесинде y' символун c га алмаштырып, түз эле (2.6.7) нин жалпы чыгарылышын алабыз. Аны c боюнча дифференциалдал жана алынган эки тенденеден турган системадан c ны чыгарып салып (толук чыгарылышынан жана дифференциялдоонун жыйынтыгынан) (2.6.8) дин өзгөчө чыгарылышын алабыз.

Мисал 2.6.2.

$$y = 2xy' - y^2 \quad (2.6.9)$$

Лагранж тенденесин чыгаргыла.

Чыгаруу. Жогоруда көрсөтүлгөн методго таянып төмөнкүнү алабыз: $y' = p$, $y = 2xp - p^2$, $dy = y'dx$,

$2p dx + (2x - 2p) dp = p dx$, $p dx + (2x - 2p) dp = 0$, $dx/p + (2/p)x = 2$, $x = c/p^2 + (2/3)p$, $y = 2c/p + p^2/3$. $p = 0$ ду $y = 2xp - p^2$ барабардыгына кооп, $y = 0$ ду табабыз. Бул (2.6.9) тенденесинин чыгарылышы, болгондо да өзгөчө чыгарылышы.

Мисал 2.6.3.

$$y = xy' + y'^2 \quad (2.6.10)$$

Клеронун тенденесин интегралдагыла.

Чыгаруу. y' ти c га алмаштырып

$$y = cx + c^2 \quad (2.6.11)$$

жалпы чыгарылышты алабыз. Тендененин өзгөчө чыгарылышын, б.а. (2.6.11) ийри сыйыктар түркүмүнүн жандашуучусун табабыз, б.а. $\begin{cases} y = cx + c^2 \\ 0 = x + 2c. \end{cases}$

с параметрин чыгарып салып, төмөнкүгө ээ болобуз: $y = -x^2/4$. Бул (2.6.11) түркүмүнүн жандашуучусу жана ошондуктан (2.6.10) тенденесинин өзгөчө чыгарылышы болот.

Мындан ары толук эмес тенденелерди карайбыз.

2⁰. y' ти гана камтыган тенденеме:

$$F(y') = 0. \quad (2.6.12)$$

Бул тенденеме $F\left(\frac{y - c}{x}\right) = 0$ жалпы интегралына ээ болот.

Мисал 2.6.4. $\exp(y) + y' = 1$ тендеңесин чыгаргыла.

Чыгаруу: Бул тендеңеме (2.6.12) түрүндөгү тендеңеме. Анын жалпы интегралы төмөндөгүдөй болот:

$$\exp((y - c)/x) + (y - c)/x = 1.$$

3⁰. Изделүүчү функцияны камтыбаган тендеңеме:

$$F(x, y') = 0. \quad (2.6.13)$$

Эки учурду карап көрөлү:

а) (2.6.13) тендеңеси y' ке карата чыгарылган тендеңеме.

Тендеңеме y' тин маанисин m аныктасын дейли:

$$y' = f_k(x), \quad (k = 1, \dots, m),$$

мындан төмөнкүнү алабыз:

$$y = \int f_k(x) dx + c, \quad (k = 1, \dots, m).$$

б) (2.6.13) тендеңеси y' ке карата (элементардык функцияларда) чыгарылбасын, бирок $x = \phi(t)$, $y' = \psi(t)$ параметрдик көрүнүштү бере алсын. Бул учурда жалпы чыгарылышты параметрдик формада таба алабыз:

$$dy = y' dx,$$

$$dy = \psi(t) \phi'(t) dt,$$

$$y = \int \psi(t) \phi'(t) dt + c.$$

Буларга $x = \phi(t)$ ты кошуп, (2.6.13) тендеңесинин жалпы чыгарылышын параметрдик формада алабыз:

$$\begin{cases} x = \phi(t), \\ y = \int \psi(t) \phi'(t) dt + c. \end{cases}$$

4⁰. Көз каранды эмес өзгөрмөнү камтыбаган тендеңеме:

$$F(y, y') = 0. \quad (2.6.14)$$

Бул жерде да эки учур орун алышы мүмкүн.

а) (2.6.14) тендеңеси y' ке карата чыгарылган: $y' = f_k(y)$,
 $(k = 1, \dots, m)$.

Анда $\int \frac{dy}{f_k(y)} = x + c$, ($k = 1, \dots, m$).

б) (2.6.14) тендермеси параметрдик көрүнгүштү бере алат:

$$y = \phi(t), y' = \psi(t).$$

Анда $dy = y' dx$, $\phi'(t) dt = \phi(t) dx$, $dx = \frac{\phi'(t)}{\psi(t)} dt$, ошон-

дуктан
$$\begin{cases} y = \int \frac{\phi'(t) dt}{\psi(t)} + c \\ y = \phi(t). \end{cases}$$

Мисал 2.6.5. $\exp(y) + y' = x$ тендермени интегралдагыла:

(2.6.15)

Чыгаруу. Бул (2.6.13) түрүндөгү тендерме, бирок x ке карата чыгарылган. Мындай учурда, параметрдин ордуна адатта y' ти кабыл алышат, б.а. $y' = t$ десек, анда $x = e^t + t$.

Жыйынтыгында (2.6.15) тендермесинин параметрдик көрүнгүшүн төмөнкү түрдө алабыз:

$$\begin{cases} x = e^t + t \\ y' = t. \end{cases}$$

Андан кийин

$$dy = y' dx = t(e^t + 1) dt, y = \int t(e^t + 1) dt + c = e^t(t - 1) + t^2/2 + c.$$

Демек,
$$\begin{cases} x = e^t + t \\ y = e^t(t - 1) + \frac{t^2}{2} + c. \end{cases}$$

Өз алдынча иштөө үчүн көнүгүүлөр

Төмөнкү дифференциалдык тендермелерди чыгарыла:

$$\text{№50. } y = (y')^2 + 4(y')^3; \quad \text{№51. } y = y' \sqrt{1 + (y')^2};$$

$$\text{№52. } x = (y')^3 - y' + 2; \quad \text{№53. } x = y' + \sin y';$$

$$\text{№54. } 2y' + (y')^2 - x = 0; \quad \text{№55. } x = y' \cos y';$$

$$\text{№56. } y = x(y')^2 + y'; \quad \text{№57. } 2yy' = x((y')^2 + 4);$$

$$\text{№58. } y = xy' - (y')^2;$$

$$\text{№59. } y = -xy' + (y')^2;$$

$$\text{№60. } y = xy' + y' + e^{y'}.$$

§ 2.7. Дифференциалдык теңдемелердин өзгөчө чыгарылыштары

Эгерде

$$F(x, y, y') = 0 \quad (2.7.1)$$

теңдемесинин чыгарылышынын ар бир чекитинде анын жалгызылык касиети бузулса, б.а. анын ар бир (x_0, y_0) чекити аркылуу бул чыгарылыштан башка, (x_0, y_0) чекитинде $y = \varphi(x)$ чыгарылышыныңдай эле жанымага ээ болгон, бирок аны менен (x_0, y_0) дун жетишээрлик кичине аймагында дал келбegen башка чыгарылыш да өтсө, анда $y = \varphi(x)$ өзгөчө деп аталат. Өзгөчө чыгарылыштын графигин (2.7.1) теңдемесинин өзгөчө интегралдык ийри сыйыгы деп атайбыз.

Эгерде төмөнкү теңдемени карасак:

$$y' = f(x, y(x)), \quad (2.7.2)$$

анды Пикардын теоремасы (§ 2.1ди карагыла) - өзгөчө чыгарылыштардын табылбастыгынын жетиштүү шарттарын берет. Демек, өзгөчө чыгарылыш Липшицтин шарты аткарылбаган чекиттерде жашоосу мүмкүн. Ал эми Липшиц шарты $\frac{\partial}{\partial y}$ чексизге барабар болгон же жашабаган чекиттерде аткарылбайт.

Мисал 2.7.1. Төмөнкү теңдемени карайлы:

$$y' = y^{2/3} \quad (2.7.3)$$

Чыгаруу. Бул теңдеменин оң жагы y тин бардык маанилеринде үзгүлтүксүз жана аныкталган. Бирок $y = 0$ маанисинде $\frac{d(y^{2/3})}{dy} = \frac{2}{3}y^{-1/3}$ чектелбеген. (2.7.3) теңдемесинин өзгөрмөлөрүн ажыратып жана интегралдап, төмөнкүгө ээ болобуз:

$$\int y^{-2/3} dy = \int dx + c, \quad 3y^{1/3} = x + c.$$

Мындан $27y = (x + c)^3$. Бул кубдук парабола (2.7.3) тенденесинин жалпы чыгарылышы болуп саналат. Ошондой эле $y = 0$ дагы (2.7.3) тенденесинин чыгарылышы экендигин көрүүгө болот. Демек, Ox огу аркылуу эки чыгарылыш өтөт: $y = 0$ жана $27y = (x + c)^3$. Ошондуктан $y = 0$ (2.7.3) тенденесинин өзгөчө чыгарылышы болот. Демек, дифференциалдык тендененин өзгөчө чыгарылышын табуу үчүн $\frac{df}{dy} = \infty$ болгон же ал жашабаган чекиттердин жайлыш ордун аныктоо зарыл.

Туундусуна карата чечилбеген (2.7.1) тенденеси үчүн Липшиц шарты

$$\frac{\partial F(x, y, y')}{\partial y'} = 0 \quad (2.7.4)$$

болгон чекиттерде чынында да аткарылбайт. Акыркы барабардык (2.7.1) тенденесинин y' ти $y' = f(x, y)$, деп чыгаргандан жана да айкын эмес функциянын туундусун табуунун

$$\frac{\partial y'}{\partial y} = -\frac{\partial F}{\partial y} \Big/ \frac{\partial F}{\partial y'}, \text{ мында } \frac{\partial y'}{\partial y} = \frac{\partial f}{\partial y}$$

формуласынан келип чыгат. Туундусуна карата чечилбеген (2.7.1) тенденесинин өзгөчө чыгарылышын табуу үчүн (2.7.1) жана (2.7.4) тенденмелеринен y' ти мүмкүн болсо чыгарып салуу керек.

$$\Psi(x, y) = 0 \quad (2.7.5)$$

Чыгарып салгандан кийин алынган тенденесин - (2.7.1) тенденесинин p – дискриминанты, ал эми (2.7.5) тенденесинен аныктаалган ийри сызық p – дискриминанттык ийри сызық деп аталат (кыскача ПДИ).

Көбүнчө ПДИ бир нече тармактарга ажырайт. Анда анын ар бир тармагы ез өзүнчө (2.7.1)дин чыгарылышы болоорун аныкташ керек. Эгерде чыгарылыш болсо, анда ал өзгөчө чыгарылыш экенин, б.а. анын ар бир чекитинде жалгыздык бузулаа-рын аныкташ керек.

Мисал 2.7.2.

$$(y')^2 - xy' + y = 0 \quad (2.7.6)$$

тендененин өзгөчө чыгарылыштарын тапкыла.

Чыгаруу. а) ПДИ ни табабыз. Бул учурда $F(x, y, y') = (y')^2 - xy + y$ жана (2.7.4) шарты төмөнкү түрдө жазылат: $\frac{dF}{dy'} = 2y' - x = 0$, мында $y' = \frac{x}{2}$. Бул туюнтыны (2.7.6) тенденесине y' тин ордуна кооп, төмөнкүгө ээ болобуз

$$y(x) = \frac{x^2}{4}. \quad (2.7.7)$$

(2.7.7) ийри сыйыгы (2.7.6) тенденесинин ПДИ си: ал бир тармактан-парabolадан турат.

б) ПДИ (2.7.6) тенденесинин чыгарылышы болоорун текшерели. (2.7.7) ни жана анын туундусун (2.7.6) га кооп, (2.7.7) функциясы (2.7.6) нын чыгарылышы экенине ишенебиз.

в) (2.7.7) чыгарылышы (2.7.6) нын өзгөчө чыгарылышы экенин текшеребиз. Бул үчүн (2.7.6) нын жалпы чыгарылышын табабыз. (2.7.6) ны $y = xy' - (y')^2$ түрдө жазып алабыз. Бул Клеронун тенденеси. Анын жалпы чыгарылышы

$$y = cx - c^2. \quad (2.7.8)$$

$y = y_1(x)$ жана $y = y_2(x)$ эки ийри сыйыктын абциссасы $x = x_0$ чекитиндеги жанышуу шарттарын төмөнкүчө жазабыз:

$$y_1(x_0) = y_2(x_0), \quad y'_1(x_0) = y'_2(x_0). \quad (2.7.9)$$

Биринчи барабардык - ийри сыйыктын ординаталарынын дал келүүсүн, ал эми экинчи барабардык абциссасы $x = x_0$ чекитинде ушул ийри сыйыктардын жанымаларынын бурчтук коэффициенттеринин дал келүүсүн туюнтайт. $y_1 = x^2 / 4$, $y_2 = cx - c^2$ деп, (2.7.9) шарты

$$\frac{x_0^2}{4} = cx_0 - c^2, \quad \frac{x_0}{2} = c \quad (2.7.10)$$

түрүндө болоорун табабыз.

(2.7.10) барабардыктардын биринчисине $c = \frac{x_0^2}{2}$ кооп,

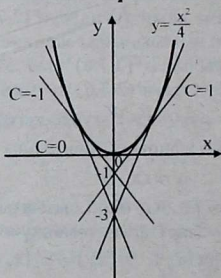
төмөнкүгө ээ болобуз: $\frac{x_0^2}{4} = \frac{x_0^2}{2} - \frac{x_0^2}{4}$, $\frac{x_0^2}{4} = \frac{x_0^2}{4}$, б.а. $c = \frac{x_0^2}{2}$

учурунда x_0 эркин чекиттин абциссасы болгондуктан, биринчи барабардык тенденеш түрдө аткарылат.

Ошентип, (2.7.7) ийри сызығынын ар бир чекитинде, аны (2.7.9) башка түркүмүнүн ийри сызығы тағыраак айтканда, $c = \frac{x_0}{2}$ барабардыгы аткарылган ийри сызық жанып өтөт.

Демек, $y = \frac{x^2}{4}$ (2.7.6) нын өзгөчө чыгарылышы.

г) Геометриялық талдоо. (2.7.6) тенденесинин жалпы чыгарылышы (2.7.8) түз сызыктардын түркүмү, ал эми (2.7.7) өзгөчө чыгарылышы болу түз сызыктардын түркүмүнүн жандашуучусу болуп саналат (2-сүрөт.).



2-сүрөт

Адатта, (2.7.1) чыгарылыштарынын көптүгү төмөнкү бир параметрдик түркүм түрүндө жазылышы мүмкүн

$$\varphi(x, y, c) = 0, \quad (2.7.11)$$

мында c турактуусунун маанилери ар кандай интегралдык ийри сызыктарды аныктайт. Эгерде (2.7.11) функциялар түркүмүнүн жандашуучусу $y = y(x)$ болсо, анда бул жандашуучу дагы (2.7.1) тенденесинин интегралдык ийри сызығы болот жана жандашуучусунун ар бир чекитинде жандашуучу менен жалпы жанымага ээ болгон интегралдык ийри сызыктын (2.7.11) түркүмү өтөт. Ошентип (2.7.11) интегралдык ийри сызық түркүмүнүн жандашуучусу (2.7.1) дин өзгөчө чыгарылышы болот. Математикалық анализ курсунан белгилүү болгондой бир

параметрдик түркүмдүн жандашуучусу с параметрин төмөнкү катыштардан чыгарып салуу менен табылышы мүмкүн

$$\phi(x, y, c) = 0, \frac{\partial \phi}{\partial c}(x, y, c) = 0.$$

Мындан пайда болгон $\Psi(x, y) = 0$ ийри сыйыктын с -дис-
криминанттуу ийри сыйыгы деп аталат. Жыйынтыгында белгилеп кетели, (2.7.11) түркүмдүн жандашуучусунун ошону менен бирге (2.7.1) тендемесинин өзгөчө чыгарылышынын жашоо шарты болуп: $\left(\frac{\partial \phi}{\partial x}\right)^2 + \left(\frac{\partial \phi}{\partial y}\right)^2 \neq 0$ шартын канааттандырган $\frac{\partial \phi}{\partial x}$ жана $\frac{\partial \phi}{\partial y}$ чектелген айрым туундулардын жашашы саналат.

Өз алдынча иштөө үчүн көнүгүүлөр

Төмөнкү дифференциалдык тендемелердин өзгөчө чыгарылыштарын тапкыла:

$$\text{№ 61. } xy' + (y')^2 - y = 0;$$

№ 62. $xy' - 2yy' + 4x = 0, x > 0$, анын жалпы интегралы $x^2 = c(y - c)$ экенин билит туруп;

$$\text{№ 63. } (y')^2 - 4y = 0.$$

§ 2.8. Изогоналдуу траекториялар үчүн дифференциалдык тендемелер

1⁰. Декарттык координаталгр

Аныктама.

$$\phi(x, y, a) = 0 \quad (2.8.1)$$

(a – бурчтук параметр) тендемеси менен аныкталган L_1 сыйкылардын бир параметрдүү түркүмүнүн изогоналдуу траекториясы деп, берилген биринчи түркүмдүн сыйкыларын бир эле турактуу a бурчу менен кесип откөн экинчи L_2 сыйкылардын

түркүмүн айтабыз. Эгерде $\alpha = \pi / 2$ болсо, анда изогоналдуу траектория ортогоналдуу деп аталат.

(2.8.1) түркүмдүн изогоналдуу (ортогоналдуу) траекториялары кандайдыр бир дифференциалдык тенденмелерди канааттандырышат. Бул тенденмелерди табуу үчүн төмөнкүлөр зарыл:

а) (2.8.1) түркүмдүн дифференциалдык тенденмесин түзүү;

б) пайдаланып тенденмеде: $\alpha \neq \frac{\pi}{2}$ ($k = \operatorname{tg} \alpha$) болсо, анда y'

ти $\frac{y' - k}{1 + ky}$ ке, же $\alpha = \frac{\pi}{2}$ болсо, $-\frac{1}{y}$ ке алмаштыруу;

2⁰. Полярдык координаталар

Эгерде ийри сыйыктардын

$$\phi(r, \theta, a) = 0 \quad (2.8.2)$$

түркүмүн полярдык (r, θ) координаталарда берилсе, анда изогоналдуу (ортогоналдуу) траекториялар түркүмүнүн дифференциалдык тенденмесин табуу үчүн төмөнкүлөр керек:

а) (2.8.2) тенденмесин түзүү;

б) алынган тенденмеде $\alpha \neq \frac{\pi}{2}$ ($k = \operatorname{tg} \alpha$) болсо, $r = \frac{dr}{d\theta}$ ди

$((1 + k r/r) / (r/r - k))r$ га, же

$\alpha = \frac{\pi}{2}$ болсо, $-\frac{r^2}{r}$ ге алмаштыруу;

Мисал 2.8.1. $y = ax^3$ кубдук параболалар түркүмүнүн ортогоналдуу траекториясын тапкыла.

Чыгаруу. $\begin{cases} y = ax^3 \\ y' = 3ax^2 \end{cases}$ системадан a ны чыгарып салып, беш

рилген түркүмдүн дифференциалдык тенденмесин табабыз. $y' = 3y/x$ ти алабыз. Ортогоналдуу траектория түркүмүнүн дифференциалдык тенденмөсү: $y' = -x/(3y)$. Анын жалпы интегралы $x^2 + 3y^2 = c^2$ ортогоналдуу траекториялардын (элементтердин)

түркүмүнүн тенденеси болуп саналат. Мында бул - эллипстер түркүмү.

Мисал 2.8.2. $r = 2 a \sin \theta$ түркүмүнүн ортогоналдуу траекторияларын тапкыла.

Чыгаруу. Адегенде бул түркүмдүн

$$\begin{cases} r = 2a \sin \theta, \\ r = 2a \cos \theta \end{cases}$$

дифференциалдык тенденесин табабыз. Бул системадан a ны чыгарып салып, $\dot{r} = r \operatorname{ctg} \theta$ ны алабыз. \dot{r} ди $- \frac{\dot{r}^2}{r}$ ге алмаштырыбайыз.

$-\frac{\dot{r}^2}{r} = r \operatorname{ctg} \theta$ же $\frac{\dot{r}}{r} = -\operatorname{tg} \theta$ ны алабыз. Бул тенденемин интегралдан, изделүүчү ортогоналдуу траекториялардын $r = 2c \cos \theta$ түркүмүн табабыз.

Өз алдынча иштөө үчүн көнүгүүлөр

№ 64. Борбору координаталар башталышы болгон $x^2 + y^2 = R^2$ айланалар түркүмүнүн ортогоналдуу траекториясын тапкыла.

№ 65. $y = ax^2$ параболалар түркүмүн ортогоналдуу траекториясын тапкыла.

№ 66. Координаталар башталышынан $\frac{\pi}{4}$ бурчу астында

чиликкан жарым түз сыйыктардын баарын кесит өткөн ийри сыйыктарды тапкыла (полярдык координаталарды колдонгула).

№ 67. $r = ae^\theta$ логарифмдик спиралдар түркүмүнүн бардык ийри сыйыктарын $\frac{\pi}{4}$ бурчу астында кесит өткөн ийри сыйыктарды тапкыла.

№ 68. $xy = a$ гиперболалар түркүмүнүн сыйыктарына ортогоналдуу болгон сыйыктарды тапкыла.

№ 69. Потенциалга ээ болгон күчтөр түзгөн талаанын күч сзыктары деңгээл сзыктарынын түркүмүнө ортогональдуу траектория болуп саналарын далилдегише.

Көрсөтмө: Эгерде F күчтөрдүн координаталар окторуна болгон проекциялары V дан алынган айрым туундуларга $F_x = \frac{\partial V}{\partial x}, F_y = \frac{\partial V}{\partial y}$ тиешелүү түрдө барабар болушса, анда күч талаасы $V = V(x, y)$ потенциалга ээ болгон F күчтөрү аркылуу түзүлгөн деп айтышат (\S 2.5 ди карагыла). $V = c$ сзыгы деңгээлдер сзыгы деп аталат. Жанышуу чекитинде күчтүн багыты менен жсанымалары дал келген сзыктар **күч сзыктары** деп атальшат.

№ 70. $V = x^2 + y^2$ потенциалына ээ болгон күчтөр түзгөн талаанын күч сзыктарын тапкыла.

№ 71. Ошол эле маселе, эгерде $V = \frac{x^2}{2} + y^2$ болсо.

III Глава. Экинчи жана жогорку тартилтеги дифференциалдык тендемелер

§ 3.1. Экинчи тартилтеги дифференциалдык тендемелер

Тендеменин сол жагына белгисиз функциянын экинчи туундусу кирген $F(x, y, y', y'') = 0$ түрүндөгү дифференциалдык тендемени караганга өтөлү. Мындаидар тендемер экинчи тартилтеги дифференциалдык тендемелер деп аталат.

Адатта, экинчи туундусуна карата чечилген

$$y'' = f(x, y, y'). \quad (3.1.1)$$

тендемелер караганда. (3.1.1) тендемеси үчүн төмөнкү натыйжа туура.

Экинчи тартилтеги (3.1.1) дифференциалдык тендемеси $y = \varphi(x, c_1, c_2)$ формуласы менен берилген, эки каалагандай тұрактууну камтыган чыгарылыштардың чексиз көптүгүнө ээ. Бул чыгарылыштардың жыйындысы жалпы чыгарылышы деп аталат.

Тендеменин айрым чыгарылышы

$$y|_{x=x_0} = y_0 \text{ жана } y'|_{x=x_0} = y'_0 \quad (3.1.2)$$

баштапкы шарттардың жардамы менен табылат.

Мисал 3.1.1. $y'' = x^2$ тендемесинин айрым чыгарылышын $y|_{x=1}=1$, $y'|_{x=1}=2$ баштапкы шарттары менен бирге тапкыла.

Чыгаруу. 1.2.2. мисалына оқшоштуруп чыгарып, $y = x^4/12 + c_1x + c_2$ ге ээ болобуз. Баштапкы шарттарды коюп, төмөнкүнү алабыз:

$$1 = 1/12 + c_1 + c_2, 2 + 1/3 + c_1, \text{ мындан } c_1 = 5/3 \text{ жана } c_2 = -9/12.$$

Демек, $y = x^4/12 + (5/3)x - 9/12$ түрүндөгү функция изделген айрым чыгарылыш болот.

Баштапкы шарттардың геометриялык мааниси мындаича: интегралдык ийри сызық өткөн (x_0, y_0) чекиттөн башка дагы бол ийри сызыкка (y'_0) бурчтук коэффициентти да беребиз. Экинчи тартилтеги тендеменин жалпы чыгарылышы эки тұрактуудан

көз каранды болгондуктан, берилген чекиттен интегралдык ийри сыйыктардын чексиз көптүгү өтөт, бирок булардын бири гана берилген бурчтук коэффициентке ээ болот. Эгерде жогоруда караталган мисалда, жалпы чыгарылышта $c_2 = 11/12 - c_1$ деп алсак, анда $y = x^2/12 + c_1 x + (11/12 - c_1)$ функциясынын графиги c_1 дин каалагандай мааниси үчүн берилген (1,1) чекити аркылуу өтөөрүн оной эле көрсөтүүгө болот. Бардык ийри сыйыктардын ичинен бурчтук коэффициенти 2 ге барабар болгонун тандасак, изделген айрым чыгарылышка келебиз.

Теорема 3.1.1 (Пeano). Эгерде $f(x, y, y')$ функциясы (x_0, y_0, y'_0) чекиттеринин аймагында үзгүлтүксүз болсо, анда (3.1.1) тенденеси $x = x_0$ чекитинин аймагында $y(x_0) = y_0$ жана $y'(x_0) = y'_0$ шарттарын канааттандырган $y = y(x)$ чыгарылышына ээ.

Теорема 3.1.2 (Пикар). Эгерде (x_0, y_0, y'_0) баштапкы маанилеринин аймагында f функциясы өзүнүн бардык аргументтери боюнча үзгүлтүксүз функция болсо жана Липшицтин

$$|f(x, \bar{y}, \bar{y}') - f(x, y, y')| \leq L(|\bar{y} - y| + |\bar{y}' - y'|)$$

шартын канааттандырса, анда (3.1.1) тенденесинин (3.1.2) шартын канааттандырган жалгыз чыгарылышы жашайт. Липшиц шарты андан катураак шарт менен б.а. ошол эле аймакта функциянын 1-тартылтеги чектелген айрым туундуларынын: $\partial f / \partial y$, $\partial f / \partial y'$ жашоо шарты менен алмаштырылышы мүмкүн.

Теореманын далилдөөсү **2.1.2.** теоремасынын далилденгенине окшош жүргүзүлөт.

Келтирилген теореманы пайдаланып, маселен, $y'' = 2y' + y/x$ тенденеси $y|_{x=1} = 1$ жана $y'|_{x=1} = -1$ баштапкы шарттарында жалгыз чыгарылышка ээ деп дароо эле айтууга болот. Мында бул чыгарылышты кандай жол менен табууга болот деген суроо ачык бойдон калат. Эгерде $x=0$ деген баштапкы шартты ушул эле тенденеге койсок, анда жашоо теоремасы эч кандай жыйынтык чыгарууга мүмкүндүк бербейт, анткени тенденеменин он жагы бул баштапкы шарттарда аныкталган эмес.

Биринчи тартылтеги тенденелердегидей эле, баштапкы шарттар боюнча айрым чыгарылышты табуу маселеси - **Коши маселеси** деп аталат.

Мисал 3.1.2. $y'' = y' \sqrt{y/x}$ тенденесинин чыгарылышынын локалдуу жашаган жана жалгыз болгон аймагын тапкыла.

Чыгаруу. $f(x, y, y') = y' \sqrt{y/x}$ функциясы жана анын $\frac{\partial f}{\partial y} = \frac{y'}{2x\sqrt{y}}$ айрым туундусу $x \neq 0, y > 0$ болгондо үзгүлтүксүз;

$\frac{\partial f}{\partial y'} = \frac{\sqrt{y}}{x}$ айрым туундусу $x \neq 0, y > 0$ болгондо үзгүлтүксүз.

Демек, изделүүчү аймак: $\{x \neq 0, y > 0\}$.

Экинчи тартилтеги тенденме үчүн айрым чыгарылышты чектик шарттарды берүү менен да тапса болот. Мында функциянын маанилери эки ар түрдүү чекитте $y|_{x_1} = y_1, y|_{x_2} = y_2$ берилет.

Мындай типтеги жалпы маселелер айрым туундулуу дифференциалдык тенденмелерди изилдөөдө (математикалык физика тенденмелери) кездешет.

Мисал 3.1.3. $y'' = x^2$ тенденесинин чыгарылышын $y|_{x_1} = 0, y|_{x_2} = 0$ чектик шарттарында тапкыла.

Чыгаруу. Жогоруда тенденменин жалпы чыгарылышы $y = x^4/4 + c_1x + c_2$ түрүндө болоору көрсөтүлгөн. Берилген шарттарды жалпы чыгарылышка коюп, c_1 жана c_2 каалагандай турактууларды табуу үчүн эки тенденменин

$$1/12 + c_1 + c_2 = 0, \quad 4/3 + 2c_1 + c_2 = 0$$

системасын түзөбүз.

Мындан $c_1 = -15/12, c_2 = 7/6$, жана айрым чыгарылыш:

$$y = x^4/12 - 15/12x + 7/6.$$

Көрсөтүлгөн мисалда берилген чектик шарттарды канааттандырган жалгыз айрым чыгарылыш табылды. 2-тартилтеги тенденмелер - чектик шарттарды канааттандырган чыгарылышка ээ болбой калышы да мүмкүн, же башка кээ бир учурда мындай чыгарылыштын чексиз көптүгүнө ээ болушу мүмкүн (мындай мисал кийинчөрөк көрсөтүлөт (мисал 3.8.4, §3.8)). Ушул айтылгандар чектик шарттардын берилиши, баштапкы шарттардын берилишинен түп тамырынан бери айырмаланаарын көрсөтөт. Эгерде баштапкы шарттар берилсе, анда жашоо жана жалгыздык теоремасы (анын колдонулушу мүмкүн болгон учурда) коюлган

маселе жалғыз чыгарылышка ээ болорун түз эле гарантиялайт. Эгерде чектик шарттар берилсе, анда жалпы чыгарылышын тапкандан кийин гана чектик маселе чыгарылышка ээ болорун, болсо канча экендигин чыныгытай алабыз.

Өз алдынча иштөө үчүн көнүгүүлөр

Төмөнкү төндемелердин чыгарылышы кандай аймакта ло-
кальдуу жашаит жана жалғыз:

$$\text{№ 72. } y'' = x + \sqrt{x^2 - y'}.$$

$$\text{№ 73. } y'' = y' \ln y'.$$

Төмөндө берилген туюнталар, аларга кирген параметр-
лердин (c_1 жана c_2) каалагандай чыныгы маанилеринде
тиешелүү дифференциалдык төндемелердин чыгарылышын
аныктаарын көрсөткүлө:

$$\text{№ 74. } y = x \int_0^x \frac{\sin t}{t} dt + \cos x + c_1 x + c_2; \quad xy'' = \sin x.$$

$$\text{№ 75. } c_1 y = \sin(c_1 x + c_2); \quad yy'' + 1 = (y')^2.$$

Төмөндө берилген функциялар тиешелүү дифференциал-
дык төндемелердин айрым чыгарылыштары болоорун
көрсөткүлө:

$$\text{№ 76. } y = \frac{1}{2}(x^2 + 1); \quad 1 + (y')^2 = 2yy'',$$

$$\text{№ 77. } y = e^x; \quad y^2 + (y')^2 = 2yy''.$$

§ 3.2. Экинчи тартиптеги төндемелердин айрым учурлары

Эгерде (3.1.1) төндемесинин жалпы чыгарылышы (жалпы интегралы) берилген функциялардан алынган интегралдар жана элементардық функциялар түрүндө көрсөтүлсө, анда төндеме квадратурада интегралданган деп айтылат. Экинчи тартиптеги төндемени көпчүлүк учурларда биринчи тартиптеги төндемеге алып келүү жолу менен (мындаи төндеменин чыгарылышын II главадан карагыла) же чыгарууда пайда болгон интегралдарды табуу жолу менен квадратурада интегралданганга мүмкүн болот. Элементардық функцияларда же квадратурада интегралдана тур-
ган (3.1.1) төндемесинин айрым учурларын карайбыз:

1⁰. Тенденцииң оң жагы y и y' ти камтыбайт:

$$y'' = f(x). \quad (3.2.1)$$

$y'' = (y')$ болгондуктан, $y' = \int f(x)dx + c_1$,

$$y = \int \left[\int f(x)dx \right] dx + c_1 x + c_2,$$

мында c_1 жана c_2 – каалагандай турактуу сан. **3.1.1** мисалында мындай тенденциин айрым учурүү карапган.

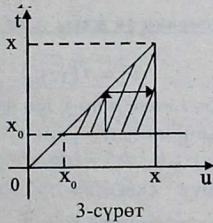
(3.2.1) тенденесинин жалпы чыгарылышы төмөнкү түргө ээ:

$$y = \int_{x_0}^x \int_{x_0}^u f(t) dt du + y'_0 \cdot (x - x_0) + y_0, \quad (3.2.2)$$

мында x_0, y_0, y'_0 – каалагандай сандар.

(3.2.2) деги кош интегралды өзгөртөбүз. Муну кайталанган интеграл катары

$\int_{x_0}^x \int_{x_0}^u f(t) dt du = \int_{x_0}^x du \int_{x_0}^u f(t) dt$ карайбыз жана үч бурчтук-та интегралдоонун тартибин Дирихленин формуласы боюнча алмаштырабыз (3-сүрөт.).



3-сүрөт

Анда

$$\int_{x_0}^x du \int_{x_0}^u f(t) dt = \int_{x_0}^x f(t) dt \int_t^x du = \int_{x_0}^x f(t)(x-t)dt.$$

Бул интегралды эсептөөдө x кыймылсыз чекит катары ка-
ралып жатканы көрүнүп турат. Анда (3.2.2) төмөнкү түрдү алат:

$$y = \int_{x_0}^x (x-t)f(t)dt + (x-x_0)y'_0 + y_0.$$

2⁰. Тенденцииң оң жағы үти камтыбайт:

$$y'' = f(x, y'). \quad (3.2.3)$$

$y' = z$ деп алабыз. Анда $y'' = z'$ болот жана (3.2.3) тенденмеси (2.1.1) түрүндөгү z ке карата биринчи тартиптеги тенденемеге айланат:

$$z' = f(x, z).$$

Эгерде $z = \varphi(x, c_1)$ тенденесинин чыгарылышын тапсак, анда изделген чыгарылышты $y' = z$ барабардыгын интегралдоодон алабыз, б.а. $y = \int \varphi(x, c_1) dx + c_2$.

Мисал 3.2.1. $y'' + y'/x = x$ тенденесин чыгарыла.

Чыгаруу. $y' = z$, $y'' = z'$ деп эсептеп, сзыктуу биринчи тартиптеги $z' + z/x = x$ тенденесине келебиз. Аны чыгарып, төмөнкүнү табабыз: $z = x^2/3 + c_1 x^{-1}$. Анда $y' = x^2/3 + c_1 x^{-1}$ жана $y = x^3/9 + c_1 \ln x + c_2$ болот.

3⁰. Тенденцииң оң жағы x ти камтыбайт:

$$y'' = f(y, y'). \quad (3.2.4)$$

$y' = p$ деп алабыз жана p ны у тен функция деп эсептейбиз, x ти кароодон чыгарып салуу үчүн

$dp/dx = (dp/dy) \cdot (dy/dx) = (dp/dy)p$ өзгөртүүнү жүргүзөбүз. Ошентип $y'' = (dp/dy)p$. Биздин өзгөртүүлөрдү (3.2.4) тенденесине койсек, $p(dp/dy) = f(y, p)$ ны алабыз, б.а. у тен функция катары p га карата биринчи тартиптеги тенденеми алдык. Эгерде анын $p = \varphi(y, c_1)$ чыгарылышын тапсак, анда изделүүчү чыгарылышты өзгөрмөлөрү ажыралуучу төмөнкү тенденеден алабыз:

$$dy/dx = p = \varphi(y, c_1), dy/\varphi(y, c_1) = dx, \int dy/\varphi(y, c_1) = x + c_2.$$

Мисал 3.2.2. $2yy'' + (y')^2 = 0$ тенденции чыгаргыла.

Чыгаруу. $y' = p$, $y'' = (dp/dy)p$ десек, төмөнкүгө ээ болбуз: $2yp(dp/dy) + p^2 = 0$,

$$dp/p = -dy/(2y), \ln p = (-1/2)\ln y + \ln c, p = c_1/\sqrt{y}.$$

Эми $dy/dx = c_1/\sqrt{y}$ тенденмесинен y ти аныктап, изделген

$$y^{3/2} = c_1 x + c_2 \text{ же } y = (c_1 x + c_2)^{2/3}$$

чыгарылышка келебиз. (p га кыскартканда тендененин $p \equiv y' = 0$ чыгарылышын жоготушубуз мүмкүн, б.а. $y = \text{const}$, бирок бул жерде ал жоголгон жок).

Эскертуу. Эгерде (3.1.1) тенденеси $y'' = f(y')$ түргө ээ, б.а. ал бир убакта 2^0 жана 3^0 тибине кирсе, анда тенденени чыгарууга кайсынысы ыңгайллуу болсо, ошол чыгарылыш ыкмасын тандап алабыз.

Мисал 3.2.3. $y'' = k\sqrt{1 + (y')^2}$, $k = \text{const}$, $k \neq 0$ тенденмесин

$$y(0) = 1/k, y'(0) = 0 \quad (3.2.6)$$

баштапкы шарттары менен чыгаргыла.

Чыгаруу. $y' = z$ жана $y'' = z'$ десек, биринчи тартиптеги тенденеге келебиз $z' = k\sqrt{1+z^2}$ же $dz/\sqrt{1+z^2} = k dx$, мында $\ln(z + \sqrt{1+z^2}) = kx + c_1$.

$$(3.2.6) \text{ шартынын негизинде } z(0) = y'(0) = 0, \text{ мындан } c_1 = 0.$$

Анда $z + \sqrt{1+z^2} = e^{kx}$. Оң жагына z ти алтып өтүп, квадратка көтөрүп, төмөнкү барабардыкты алабыз:

$$z = y' = (1/2)(e^{kx} + e^{-kx}) \equiv \sinh kx.$$

Интегралдап төмөнкүнү табабыз

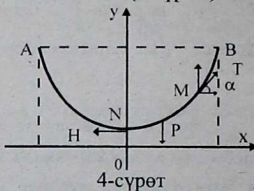
$$y + c_2 = (1/2/k)(e^{kx} + e^{-kx}) \equiv (1/k)\sinh kx.$$

(3.2.6) нын негизинде $c_2 = 0$ жана биз изделген чыгарылышты алабыз:

$$y = (1/2/k)(e^{kx} + e^{-kx}) \equiv (1/k)\sinh kx. \quad (3.2.7)$$

Мисал 3.2.4. Чынжырсызыгынын математикалық модели.

Эки учунан кадалып бекитилген жана өз салмагынын таасири астында болгон бир тектүү созулбас, ийилчээк жиптин (чынжырдын) формасын табабыз (4-сүрөт.).



Oy огу деп сзыктын төмөнкү N чекитинен өткөн вертикальдуу түз сзыкты алабыз; Ox огун N чекитинен, азырынча аныктала элек аралыкта горизонталдуу жүргүзөбүз.

Сзыктын каалаган M чекитин алалы. Тен салмактуулук шарты аткарылган учурда NM жиптин бөлүгүн катуу нерсе катары кароого болот. Бул бөлүккө үч күч таасир этет:

Жиптин горизонталдуу керилүү күчтөрү H , M чекитинде сзыктын жанымасы боюнча багытталган керилүү күчтөрү T жана P өздүк салмагынын $S\delta$ га барабар болгон чондугуу, мында NM жаасынын узундугу S , ал эми δ – жиптин узундугунун бирдик салмагы.

Тен салмактуулук шартына ылайык төмөнкүгө ээ болобуз:

$$T \sin \alpha = S\delta, \quad T \cos \alpha = H.$$

Биринчи барабардыкты экинчиге мүчөлөп бөлүп төмөнкүнү алабыз: $\operatorname{tg} \alpha = (\delta/H)S$. Демек, эгерде $y = \varphi(x)$ - ANB сзыгынын изделген тенденеси болсо, анда $y' = kS$ болот, мында $k = \delta / H = \operatorname{const}$. Бул барабардыкты x боюнча дифференциалдал, төмөнкүгө ээ болобуз: $y'' = kS' = k\sqrt{1 + y'^2}$.

Бул тенденме 3.2.3. мисалында каралган (3.2.5) тенденеси.

Ошентип, бир тектүү оор чынжыр (чынжыр сзыгы) (3.2.7) түрүндөгү тен салмактуу формага ээ.

§ 3.3. Жогорку тартилтеги дифференциалдык тенде- менин интегралдык ийри сыйыгы деп аталат.

Интегралдын графиги берилген дифференциалдык тенде-
менин интегралдык ийри сыйыгы деп аталат.
Тенде-
менин сол жагына улам жогорку тартилтеги туунду-
лар кире баштаган сайын дифференциалдык тенде-
менин чыгаруу татаалданышы табигый нерсе. Жогорку туундусуна карата чы-
гарылган n -тартилтеги тенде-
менин карайлы

$$y^{(n)} = f(x, y, y', \dots, y^{(n-1)}), \quad (3.3.1)$$

мында f функциясы өз аргументтеринин өзгөрүүсүнүн кандай-
дыры бир $D \subset R^{n+1}$ областында үзгүлтүксүз функция деп бол-
жолдонот. (3.3.1) тенде-
месинин жалпы чыгарылышы n каала-
гандай туралтуу сандан көз каранды: $y = \phi(x, c_1, c_2, \dots, c_n)$.

Эгерде (3.3.1) тенде-
месинин оң жагы $y, y', \dots, y^{(n-1)}$ чондуктарына карата сыйыктуу функция болсо, анда бул тенде-
мында деп аталат.

Жалпы чыгарылыштан c_1, c_2, \dots, c_n туралтуулардын конкрет-
түү маанилеринде алынган каалагандай чыгарылыш (3.3.1) диф-
ференциалдык тенде-
менин айрым чыгарылышы деп аталат.

(3.3.1) дин айкын эмес жалпы чыгарылышын берген
 $\Phi(x, y, c_1, c_2, \dots, c_n) = 0$ түрүндөгү тенде-
месинин жалпы интегралы деп аталат. c_1, c_2, \dots, c_n туралтууларына мүмкүн
болжон конкреттүү сандык маанилерин берип, дифференциалдык
тенде-
менин айрым интегралын алабыз.

Маселенин конкреттүү шарттарына жооп берген айрым
чыгарылышты бөлүп алуу үчүн баштапкы шарттарды берүү ке-
рек. Алар төмөнкү түрдө болот

$$y|_{x=x_0} = y_0, \quad y'|_{x=x_0} = y'_0, \dots, \quad y^{(n-1)}|_{x=x_0} = y_0^{(n-1)}, \quad (3.3.2)$$

б.а. $x = x_0 \in I$ болгондо, функциянын өзүнө жана анын алгач-
кы ($n - 1$) туундуларына маанилер берилет (Коши маселеси).
Жалпы чыгарылышты ($n - 1$) жолу дифференциалдап жана баш-
тапкы шарттарды кооп, n белгисизи c_1, c_2, \dots, c_n бар системаны
алабыз.

Айрым чыгарылыштын жашашы жана жалғыздығы жөнүндө суроого $n = 1$ жана $n = 2$ болгон учурларында келтирилгендерге оқшош теорема жооп берет.

Теорема 3.3.1 (Пикар). Эгерде $(x_0, y_0, y'_0, \dots, y_0^{(n-1)})$ баштапкы шарттарында f функциясы бардык өзүнүн аргументтегинен үзгүлтүксүз функция жана экинчи аргументинен баштап бардык аргументтери боюнча Липшиц шартын канааттандырса, анда (3.3.2) баштапкы шарттарын канаатандырган (3.3.1) тенденесинин чыгарылышы жашайт жана жалғыз.

Тартибин төмөндөтүүгө мүмкүн болгон дифференциалдык тендененин кәэ бир түрлөрүн көрсөтөбүз.

$$1^0. \quad y^{(n)} = f(x) \text{ түрүндөгү тенденме} \quad (3.3.3)$$

n жолу интегралдагандан кийин төмөнкү жалпы чыгарылыш келип чыгат

$$\begin{aligned} y &= \int_{\substack{\dots \\ n \text{ жолу}}} \int_{x_0}^x f(x) dx \dots dx + c_1 \left(x^{n-1} / (n-1)! \right) + \\ &\quad + c_2 \left(x^{n-2} / (n-2)! \right) + \dots + c_{n-1} x + c_n. \end{aligned}$$

Жалпы чыгарылышты Коши формасында жазууга болот

$$\begin{aligned} &\int_{x_0}^x \dots \int_{x_0}^x f(x) dx \dots dx + (y_0^{(n-1)} / (n-1)!) (x - x_0) + \\ &\quad + (y_0^{(n-2)} / (n-2)!) (x - x_0) + \dots + y'_0 (x - x_0) + y_0. \quad (3.3.4) \end{aligned}$$

$$\int_{x_0}^x \dots \int_{x_0}^x f(x) dx \dots dx = (1 / (n-1)!) \int_{x_0}^x f(t) (x - t)^{n-1} dt$$

болгондуктан (**§ 3.2 (3.2.1)** карагыла), (3.3.4) жалпы чыгарылышын төмөнкү түрдө жазууга болот

$$\begin{aligned} y &= 1 / (n-1)! \int_{x_0}^x f(t) (x - t)^{n-1} dt + y_0^{(n-1)} (x - x_0)^{n-1} + \\ &\quad + y_0^{(n-2)} (x - x_0)^{n-2} + \dots + y'_0 (x - x_0) + y_0. \quad (3.3.5) \end{aligned}$$

Айрым учур үчүн б.а. изделген функциянын жана анын туундуларынын нөлдүк баштапкы маанилери менен, б.а. $y_0 = y'_0 = \dots = y_0^{(n-1)} = 0$ чыгарылыш төмөнкү түрдө болот:

$$y_1 = 1 / (n-1)! \int_{x_0}^x f(t) (x - t)^{n-1} dt.$$

Эгерде y_l функциясы (3.3.3) тенденесинин кандайдыр бир айрым чыгарылышы болсо, анда $y = y_l + z$ деп, z үчүн $z^{(n)} = 0$ дифференциалдык тенденеми алабыз. Андан

$$z = c_1 x^{n-l} + c_2 x^{n-l-1} + \dots + c_{n-l} x + c_n.$$

Ошондуктан, (3.3.3) тенденесинин жалпы чыгарылышы:
 $y = y_l + c_1 x^{n-l} + c_2 x^{n-l-1} + \dots + c_{n-l} x + c_n$ болот.

2⁰. Түүндүсүна карата чечилбеген n - тергиптеги тенденмелер

Төмөнкү тенденме берилсін:

$$F(x, y^{(n)}) = 0. \quad (3.3.6)$$

Эгерде бул тенденеми $y^{(n)}$ ге карата (элементардык функцияларда) чыгарууга мүмкүн болсо, анда жогоруда карапган бир же бир нече тенденмелерди алабыз (1⁰ пунктү карагыла). Бардык ушул тенденмелерди интегралдап, (3.3.6) нын жалпы интегралын табабыз.

(3.3.6) тенденеси $y^{(n)}$ ге карата чечилбеген болсун, бирок төмөнкү параметрдик көрүнүштү бере алат дейли:

$$x = \phi(t), \quad y^{(n)} = \phi'(t). \quad (3.3.7)$$

Бул учурда параметрдик формада жалпы чыгарылышты табууга болот. x чоңдугу t параметри арқылуу туюнтулгандыктан, маселе y ти t арқылуу туюнтууга келтирилет.

Төмөнкүнү алабыз:

$$dy^{(n-l)} = y^{(n)} dx, \quad dy^{(n-l)} = \phi(t) \phi'(t) dt, \text{ андан}$$

$y^{(n-l)} = \int \phi(t) \phi'(t) dt \equiv \phi_l(t, c_l)$. Ушунун өзүндөй эле $y^{(n-2)}$ үчүн туюнтулушту табабыз ж.б.. Акырында y үчүн

$$y = \phi_n(t, c_1, c_2, \dots, c_n).$$

Демек,

$$\begin{cases} x = \phi(t), \\ y = \phi_n(t, c_1, c_2, \dots, c_n). \end{cases} \quad (3.3.8)$$

(3.3.8) тенденесин (3.3.6) тенденесинин параметрдик формада жалпы чыгарылышы деп атайды.

3⁰. Изделүүчү функцияны жана алгачкы бир нече туундуларды камтыбаган тенденмелер

$$F\left(x, y^{(k)}, y^{(k+1)}, \dots, y^{(n)}\right) = 0, \quad (1 < k \leq n) \quad (3.3.9)$$

түрдөгү тенденмени карайлы.

$y^{(k)} = u$ (мында u – жаңы белгисиз функция) алмаштыруу-ну киргизүүнүн жардамы менен (3.3.9) тенденмесин $(n - k)$ тар-тибиндеги тенденмеге алып келебиз:

$$F\left(x, u, u', \dots, u^{(n-k)}\right) = 0. \quad (3.3.10)$$

Эгерде (3.3.10) тенденмеси квадратурада интегралданса, ан-да у өзгөрмөсүнө кайтып келип, (3.3.9) тенденмесинин ортодогу интегралын алабыз:

$$\begin{aligned} y^{(k)} &= \varphi(x, c_1, c_2, \dots, c_{n-k}) \text{ же} \\ \Phi\left(x, y^{(k)}, c_1, c_2, \dots, c_{n-k}\right) &= 0. \end{aligned} \quad (3.3.11)$$

(3.3.11) тенденмеси (3.3.6) тибиндеги тенденме.

4⁰. Көз каранды эмес өзгөрмөнү камтыбаган тенденмелер

$$F\left(y, y', y'', \dots, y^{(n)}\right) = 0 \quad (3.3.12)$$

$y' = p$ өзгөртүүсү тенденменин тартибин бирге төмөндөтө алат. Мында p чондугу у тен жаңы белгисиз функция катары ка-ралат: $p = p(y)$. Бардык $y, y', y'', \dots, y^{(n)}$ туундуларды p белги-сиз функциянын у боюнча болгон туундулары аркылуу туюнту-лат:

$$\begin{aligned} y' &= dp / dy = p, \\ y'' &= dp / dx = dp / dy(dy / dx) = pdp / dy, \\ y''' &= d / dx(pdp / dy) = d / dy(pdp / dy)dy / dx = \\ &= p^2 d^2 p / dy^2 + p(dp / dy)^2, \end{aligned} \quad \text{ж.б.}$$

Бул туюнтуларды (3.3.12) тенденмесиндеги $y, y', y'', \dots, y^{(n)}$ дин ордуна кооп, $(n-1)$ -тартиптеги дифферен-циалдык тенденмени алабыз.

5⁰. $y, y', y'', \dots, y^{(n)}$ аргументтерине карата бир тектүү

$$F(x, y, y', y'', \dots, y^{(n)}) = 0 \text{ тенденме, б.а.}$$

$$F(x, ty, ty', ty'', \dots, ty^{(n)}) = t^k F(x, y, y', y'', \dots, y^{(n)})$$

Мындаи тенденменинин тартибин $y = \exp(\int z \, dx)$ ордуна коюусу менен (мында z чоңдугу x тен жаңы белгисиз функция: $z = z(x)$) биргө төмөндөтүүгө болот.

Мисал 3.3.1. $xy'' - y''' = 0$ тенденмесин чыгаргыла.

Чыгаруу. Тенденме изделүүчүү функцияны жана анын үчүнчү тартипке чейинки туундуларын камтыбайт. Ошондуктан, $y''' = p$ деп, $x \frac{dp}{dx} - p = 0$ ду алабыз, мындан $p = c_1 x$, $y''' = c_1 x$.

Андан ары дагы интегралдап, төмөнкүлөрдү табабыз:

$$y'' = c_1 (x^3 / 3!) + c_2 x + c_3,$$

$$y' = c_1 (x^4 / 4!) + c_2 (x^2 / 2) + c_3 x + c_4,$$

$$y = c_1 (x^5 / 5!) + c_2 (x^3 / 3!) + c_3 (x^2 / 2) + c_4 x + c_5.$$

Өз алдынча иштөө үчүн көнүгүүлөр

Тартипти төмөндөтүүчүү методдорду колдонуп, дифференциалдык тенденмелерди чыгаргыла:

$$\text{№ 78. } y'' = x + \sin x. \quad \text{№ 79. } x^2 y'' = (y')^2.$$

$$\text{№ 80. } x - \exp(y'') + (y'')^2 = 0. \quad \text{№ 81. } y''' = -1/2 (y')^3.$$

$$\text{№ 82. } y'' = f(y). \quad \text{№ 83. } xyy'' - x(y')^2 + yy' = 0.$$

§ 3.4. Экинчи тартиптеги сыйыктуу дифференциалдык тенденмелер

1⁰. Аныктамалар жана жалпы касиеттер

Аныктама. Белгисиз функция жана анын туундуларына карата бириңчи даражадагы (сыйыктуу) тенденме:

$$L(y) \equiv y'' + a_1(x)y' + a_2(x)y = f(x) \quad (3.4.1)$$

Экинчи тартиптеги сыйыктуу дифференциалдык тенденме деп аталаат.

$f(x)$ функциясы тенденциин он жагы деп аталац. Эгерде x тин бардык карапан маанилеринде $f(x)$ функциясы нөлгө бара-бар болсо, анда (3.4.1) тенденции бир текүү сыйыктуу тенденцие деп аталац. Андай болбосо, (3.4.1) тенденции бир текүү эмес сыйыктуу тенденцие деп аталац.

Эгерде кандайдыр бир $a \leq x \leq b$ интервалында $a_1(x), a_2(x)$ жана $f(x)$ функциялары үзгүлтүксүз болушса, анда (3.4.1) тенденции каалагандай баштапкы шарттарда: $y|_{x=x_0} = y_0, y'|_{x=x_0} = y'_0$ (мында $x_0 \in (a, b)$) жалгыз чыгарылыши ээ болот, анткени $y'' = -a_1(x)y' - a_2(x)y + f(x)$ түрүндө жазылган (3.4.1) тенденциеге чыгарылыштын жашашы жана жалгыз болушу жөнүндөгү теореманын шарттары орундалат (**п.3.1** карағыла); мында он жагы жана анын y боюнча (бул $-a_2(x)$) жана y' (бул $-a_2(x)$) боюнча айрым туундулары үзгүлтүксүз.

$p_0(x)y'' + p_1(x)y' + p_2(x)y = f(x)$ сыйыктуу тенденциинин эки жагын $p_0(x)$ ке бөлүп, (3.4.1) түрүнө формалдуу алып келүүгө болоорун белгилей кетели. Мында $p_0(x) = 0$ чекиттеринде чыгарылыштын жашаш теоремасынын шарттары бузулушу мүмкүн; мындай чекиттер - өзгөчө деп аталац.

а) Адегенде төмөндөгүдөй бир текүү тенденции карайлы:

$$L(y) \equiv y'' + a_1y' + a_2y = 0, \quad (3.4.2)$$

мында, кыскача, $a_1 = a_1(x)$ жана $a_2 = a_2(x)$ деп белгilenген. Айрым учурда a_1 жана a_2 турактуу болушу мүмкүн.

Теорема 3.4.1. Эгерде $y_1(x)$ жана $y_2(x)$ функциялары - (3.4.2) тенденциинин чыгарылыштары болсо, анда $y(x) = c_1y_1(x) + c_2y_2(x)$ функциясы (c_1, c_2 - каалагандай турактуулар) дагы (3.4.2) тенденциинин чыгарылыши болот.

Кыскалык үчүн мындан ары чыгарылышты y_1 жана y_2 түрүндө жазабыз жана $c_1y_1 + c_2y_2$ тууютmasын алардын сыйыктуу комбинациясы деп атайбыз.

Далилдөө. $y = c_1y_1 + c_2y_2$ функциясын эки жолу диффе-ренциалдайбыз

$$y' = c_1 y'_1 + c_2 y'_2, \quad y'' = c_1 y''_1 + c_2 y''_2.$$

y, y' , жана y'' ти (3.4.2)нин сол жагына кооп, төмөнкүнү алабыз

$$\begin{aligned} c_1 y''_1 + c_2 y''_2 + a_1(c_1 y'_1 + c_2 y'_2) + a_2(c_1 y_1 + c_2 y_2) = \\ = c_1(y''_1 + a_1 y'_1 + a_2 y_2) + c_2(y''_2 + a_1 y'_2 + a_2 y_2) \end{aligned}$$

y_1 жана y_2 чыгарылыш болгондуктан, эки кашаа тең нөлгө тендеш барабар болот. Демек, $y(x)$ функциясы (3.4.2) ни канааттандырат, так ушуну далилдөө керек болчу.

Далилденген теореманын негизинде бир тектүү сыйыктуу тендеменин жалпы чыгарылышынын структурасы жөнүндө төмөнкүдөй корутунду чыгарууга болот.

Теорема 3.4.2. Эгерде (3.4.2) тендемесинин y_1, y_2 -чыгарылыштарынын катышы турактуу $y_1 / y_2 \neq const$ чондукка барабар болбосо анда бул функциялардын сыйыктуу комбинациясы

$$y = c_1 y_1 + c_2 y_2 \quad (3.4.3)$$

тендеменин жалпы чыгарылышы болот.

Жогорудагы теорема боюнча (3.4.3) туюнтымасы (3.4.2) нин чыгарылышы. Демек, (3.4.3) формуласы эки турактууну камтыган учурда гана жалпы чыгарылыш боло алат, ошондуктан $y_1 / y_2 = k = const$ болгон учурун кароодон чыгарып салабыз. Себеби, $y_2 = k y_1$ десек, $c_1 y_1 + c_2 y_2 = (c_1 k + c_2) y_1$ туюнтымасы эки турактууну эмес, накта бир гана турактууну камтып калат. (3.4.2) тендемеси $y = 0$ деген айрым чыгарылышка ээ. Бул чыгарылыш нөлдүк же тривиалдык деп аталаат.

Жалпы чыгарылыштын негизги касиетин далилдейбиз;

(3.4.3) жалпы чыгарылышынын ичинен, баштапкы шарттар кандай гана берилбесин: $y|_{x=x_0} = y_0, \quad y'|_{x=x_0} = y'_0$ (мында $x_0 \in (a, b)$) ушул шарттарды канааттандырган айрым чыгарылышты табууга мүмкүн болот.

(3.4.3)кө баштапкы маанилерди жана анын туундуларын кооп, c_1, c_2 ге карата сыйыктуу алгебралык тендемелер системасын алабыз:

$$\begin{cases} c_1 y_{10} + c_2 y_{20} = y_0, \\ c_1 y'_{10} + c_2 y'_{20} = y'_0, \end{cases} \quad (3.4.4)$$

мында $y_{i0} = y_i(x_0)$, $y'_{i0} = y'_i(x_0)$, ($i = 1, 2$) – белгилүү сандар.

(3.4.4) системасы, оң жагынын каалагандай маанисинде чыгарылышка ээ болушу үчүн системанын аныктағычынын нөлгө барабар эмес болушу:

$$\Delta = \begin{vmatrix} y_{10} & y_{20} \\ y'_{10} & y'_{20} \end{vmatrix} \neq 0 \quad (3.4.5)$$

зарыл жана жетиштүү болот. Анда (3.4.4) системасынын чыгарылышы жашайт, жалғыз жана Крамердин формуласы менен табылат

$$c_1 = \Delta_{c_1} / \Delta, \quad c_2 = \Delta_{c_2} / \Delta,$$

мында $\Delta_{c_1} = \begin{vmatrix} y_0 & y_{20} \\ y'_0 & y'_{20} \end{vmatrix}$, $\Delta_{c_2} = \begin{vmatrix} y_{10} & y_0 \\ y'_{10} & y'_0 \end{vmatrix}$. (Эгерде аныктағыч

$\Delta = 0$ болсо, анда чыгарылышы жок же болбосо тенденце $y_{10} / y'_{10} = y_{20} / y'_{20} = y_0 / y'_0$ шарттарда гана чыгарылышка ээ, б.а. y_0, y'_0 баштапкы шарттардын каалагандай маанилери үчүн эмес). Эми теореманын акыркы бөлүгүн карама-каршылыкка келүү методу менен далилдейли. (3.4.5) деги Δ аныктағычты нөлгө барабар деп алалы. Анда $y_0 = 0, y'_0 = 0$ нөлдүк баштапкы шарттардан келип чыккан

$$\begin{cases} c_1 y_{10} + c_2 y_{20} = 0 \\ c_1 y_{10}' + c_2 y_{20}' = 0, \end{cases}$$

бир тектүү сыйыктуу тенденмелер системасы $c_i = 0$ ($i=1, 2$) нөлдүк чыгарылыштан башка чексиз көп нөлдүк эмес чыгарылыштар көптүгүнө ээ. c_{10}, c_{20} – ошолордун бири болсун. Анда $c_{10} y_1 + c_{20} y_2$ нөлдүк баштапкы шарттарда (3.4.2) тенденменин чыгарылышы болот. Бирок тривиалдык чыгарылыш $y \equiv 0$ дагы ушул шарттарды канааттандырат, ал эми жалғыздык теоремасы боюнча чыгарылыш бирөө гана болушу керек, анда

$$c_{10} y_1 + c_{20} y_2 \equiv 0.$$

Мындан $y_2 / y_1 = -c_{10} / c_{20} = \text{const}$. Бул болсо $y_2 / y_1 \neq \text{const}$ шартына карама-каршы (эгерде $c_{20} = 0$, анда $y_1 \equiv 0$ бул болсо, шарт боюнча мүмкүн эмес). Ошентип, x_0 чекитинде $\Delta = 0$ деп алсак, биз карама-каршылыкка келдик. Так ушуну далилдөө көрек болчу.

б) бир тектүү эмес (3.4.1)төндөмөсүнө кайрылалы.

Ушул төндөмөсүнин жалпы чыгарылышынын структурасы жөнүндөгү теореманы далилдейли.

Теорема 3.4.3. (3.4.1)төндөмөсүнин жалпы чыгарылышы төмөнкү формула менен табылат

$$y = \bar{y} + \tilde{y}, \quad (3.4.6)$$

мында \bar{y} - (3.4.1) төндөмөсүнө дал келген (3.4.2) сыйыктуу бир тектүү төндөмөсүнин жалпы чыгарылышы, ал эми \tilde{y} - (3.4.1) бир тектүү эмес төндөмөсүнин кандайдыр бир, айрым чыгарылышы.

Далилдөө. (3.4.6) дан төмөнкүгө ээ болобуз

$$y' = \bar{y}' + \tilde{y}', \quad y'' = \bar{y}'' + \tilde{y}''.$$

(3.4.1)дин сол жагына y, y', y'' ди коёлу:

$$L(\bar{y} + \tilde{y}) = [\bar{y}'' + a_1 \bar{y}' + a_2 \bar{y}] + [\tilde{y}'' + a_1 \tilde{y}' + a_2 \tilde{y}].$$

Биринчи квадраттык кашаадагы туюнтаа нөлгө барабар, себеби \bar{y} - (3.4.2) нин чыгарылышы, ал эми экинчи квадраттык кашаадагы туюнтаа $f(x)$ ке барабар, себеби \tilde{y} - (3.4.1) төндөмөсүнин чыгарылышы.

Демек, эгерде (3.4.6) чыгарылышы эки каалагандай турактуу сандан көз каранды болсо (алардан \bar{y} функциясы көз каранды), анда ал жалпы чыгарылыштын өзү болот. Чындыгында теорема далилденди.

Ошентип, бир тектүү эмес төндөмөсүнин чыгарылышын табуу үчүн, ага дал келген бир тектүү төндөмөсүнин жалпы чыгарылышын жана берилген төндөмөсүнин кандайдыр бир эле айрым чыгарылышын табуу керек. Муну мындай түрдө жазса болот: $y = c_1 y_1 + c_2 y_2 + \tilde{y}(x)$, мында y_1, y_2 - дал келген бир тектүү төндөмөсүнин чыгарылыштары, ал эми $\tilde{y}(x)$ - бир тектүү эмес төндөмөсүнин айрым чыгарылышы.

2°. Турактуу коэффициенттүү экинчи тартилтеги бир тектүү тенденмелер

Адегенде турактуу коэффициенттүү бир тектүү сыйыктуу тенденмени карайлы

$$y'' + a_1 y' + a_2 y = 0, \quad (3.4.7)$$

мында a_1, a_2 – турактуу чыныгы сандар. (3.4.7) нин жалпы чыгарылышын табалы. Жалпы чыгарылышты тургузу үчүн Эйлердин методун колдонообуз:

(3.4.7) нин айрым чыгарылышын

$$y = e^{\lambda x} \quad (3.4.8)$$

түрүндө издейбиз, мында λ – кандайдыр бир турактуу сан (чыныгы же комплекстүү), λ ны табуу үчүн (3.4.8) функциясынын $y' = \lambda e^{\lambda x}, y'' = \lambda^2 e^{\lambda x}$ туундуларын эсептеп (3.4.7) тенденмесине көбүз.

$(\lambda^2 + a_1 \lambda + a_2) e^{\lambda x} = 0$ тенденстиги орун алышы керек же $e^{\lambda x} \neq 0$ болгондуктан, λ саны төмөнкү квадраттык тенденмени канааттандырышы керек:

$$Q(\lambda) = \lambda^2 + a_1 \lambda + a_2 = 0. \quad (3.4.9)$$

Мындан көрүнүп тургандай, λ саны (3.4.9) квадраттык тенденменин тамыры болсо, анда $e^{\lambda x}$ (3.4.7) дифференциалдык тенденменин чыгарылышы болот.

(3.4.9) тенденмеси (3.4.7) тенденмесинин мүнөздөгүч тенденмеси, ал эми анын тамырлары – (3.4.7) тенденмесинин мүнөздөгүч сандары деп аталат.

Жалпы чыгарылыштын структурасы (3.4.9) мүнөздөгүч тенденмесинин тамырларынын түрлөрүнөн көз каранды. Төмөнкүдөй үч учурду карайбыз:

- 1) λ_1, λ_2 – чыныгы жана ар түрдүү сандар: $\lambda_1 \neq \lambda_2$;
- 2) λ_1, λ_2 – чыныгы жана барабар сандар: $\lambda_1 = \lambda_2$ (λ_1 – (3.4.9) тенденмесинин эки эселүү тамыры);
- 3) λ_1, λ_2 – комплекстүү түйүндөш сандар: $\lambda_1 = \alpha + \beta i, \lambda_2 = \alpha - \beta i, \beta \neq 0$.

Ушул учурларды өз өзүнчө карап чыгалы.

1) Мұнәздөгүч тенденциин тамырлары – чынығы жана ар түрдүү, демек, $\lambda_1 \neq \lambda_2$. Бул учурда (3.4.8) формуласы боюнча еки чыгарылышты алабыз. Булардың тийиндиси турактуу чондук эмес: $e^{\lambda_1 x} / e^{\lambda_2 x} = e^{(\lambda_1 - \lambda_2)x} \neq const.$

Мұнәздөгүч тенденциин чынығы жана ар түрдүү тамырлары учурунда жалпы чыгарылыш төмөнкүдөй формула арқылуу берилет: $y = c_1 e^{\lambda_1 x} + c_2 e^{\lambda_2 x}$, мында c_1, c_2 – каалагандай турактуу сандар.

Бул учурда (3.4.5) аныктагычы нөлгө барабар эместигин оной эле текшерүүгө болот. Кандайдыр бир x_0 маанисин берип төмөнкү аныктагычты түзөбүз:

$$\begin{vmatrix} e^{\lambda_1 x_0} & e^{\lambda_2 x_0} \\ \lambda_1 e^{\lambda_1 x_0} & \lambda_2 e^{\lambda_2 x_0} \end{vmatrix} = e^{(\lambda_1 + \lambda_2)x_0} (\lambda_1 - \lambda_2) \neq 0,$$

себеби $\lambda_1 \neq \lambda_2$

2) Мұнәздөгүч тенденциин тамырлары - чынығы жана барабар: $\lambda_1 = \lambda_2$. Бул учурда $y_1 = e^{\lambda_1 x}$ деген бир эле чыгарылышты табууга болот. Экинчи чыгарылыштын ордуна $y_2 = xe^{\lambda_1 x}$ функциясын алууга мүмкүн экендигин көрсөтөбүз.

y_2 функциясын еки жолу дифференциялдан төмөнкүгө ээ болобуз:

$$y'_2 = e^{\lambda_1 x} + \lambda_1 x e^{\lambda_1 x},$$

$$y''_2 = 2\lambda_1 e^{\lambda_1 x} + \lambda_1^2 x e^{\lambda_1 x}.$$

Табылгандарды (3.4.7) тенденциинин сол жагына коёлу:

$$2\lambda_1 e^{\lambda_1 x} + \lambda_1^2 x e^{\lambda_1 x} + a_1 (e^{\lambda_1 x} + \lambda_1 x e^{\lambda_1 x}) + a_2 x e^{\lambda_1 x} =$$

$$= e^{\lambda_1 x} [x(\lambda_1^2 + a_1 \lambda_1 + a_2) + (2\lambda_1 + a_1)].$$

λ_1 -мұнәздөгүч тенденциин тамыры, анда $\lambda_1^2 + a_1 \lambda_1 + a_2 = 0$. λ_1 – квадраттык тенденциин еки эселүү тамыры болгондуктан, Виетта формуласы боюнча $\lambda_1 + \lambda_1 = -a_1$ болот, б.а. $2\lambda_1 + a_1 = 0$. Демек, квадраттык кашаадагы түйнім нөлгө барабар жана $y = xe^{\lambda_1 x}$ функциясы чын эле (3.4.7) тенденциин чыгарылышы болот. Мұнәздөгүч тенденциин

чыныгы жана барабар тамырлары болгон учурда жалпы чыгарылыш төмөнкү түрдө жазылат:

$$y = (c_1 + c_2 x) e^{\lambda_1 x}.$$

Мында (3.4.5) аныктагычы x_0 дун эч кандай маанилеринде нөлгө барабар эместигин текшерүү кыйын эмес:

$$\begin{vmatrix} e^{\lambda_1 x_0} & x_0 e^{\lambda_2 x_0} \\ \lambda_1 e^{\lambda_1 x_0} & e^{\lambda_1 x_0} + \lambda_1 x_0 e^{\lambda_2 x_0} \end{vmatrix} = e^{2\lambda_1 x_0} \neq 0.$$

3) Мұнәздөгүч тенденциин тамырлары - комплекстүү түйүндөш сандар: $\lambda_1 = \alpha + i\beta$, $\lambda_2 = \alpha - i\beta$, $\beta \neq 0$. Ушул эки тамырга тенденциин эки айрым чыгарылышы дал келет: $y_1 = e^{\alpha x} \cos \beta x$, $y_2 = e^{\alpha x} \sin \beta x$.

Булардын тийиндиси туралктуу эмес экени ачык көрүнүп турат. Эгерде λ_1 , λ_2 тамырлары таза мнимый болушса, б.а. $\lambda_1 = \beta i$, $\lambda_2 = -\beta i$, анда дал келген айрым чыгарылыштар төмөнкүдөй болот:

$$y_1 = \cos \beta x, y_2 = \sin \beta x.$$

Демек, мұнәздөгүч тенденциин комплекстүү түйүндөш тамырлар учурунда жалпы чыгарылыш $y = e^{\alpha x} (c_1 \cos \beta x + c_2 \sin \beta x)$ түргө ээ болот. Мында да (3.4.5) аныктагычы нөлгө барабар эместигин оной эле көрсөтүүгө болот.

Мисал 3.4.1. $y'' - 2y' - 3y = 0$ тенденесинин жалпы чыгарылышын тапкыла.

Чыгаруу. Мұнәздөгүч тенденции түзөбүз:

$$\lambda^2 - 2\lambda - 3 = 0.$$

Анын тамырларын табабыз: $\lambda_1 = -1$, $\lambda_2 = 3$. Алар чыныгы жана ар түрдүү болгондуктан, жалпы чыгарылыш $y = c_1 e^{-x} + c_2 e^{3x}$ түрүндө жазылат.

Мисал 3.4.2. $y'' + 2y' + y = 0$ тенденесинин жалпы чыгарылышын тапкыла.

Чыгаруу. Мүнөздөгүч тенденция: $\lambda^2 + 2\lambda + 1 = 0$.

Анын тамырлары: $\lambda_1 = \lambda_2 = -1$. Тамырлар чыныгы жана барабар, ошондуктан жалпы чыгарылыш төмөнкү түрдө болот:

$$y = c_1 e^{-x} + c_2 x e^{-x}.$$

Мисал 3.4.3. Берилген тенденцияның жалпы чыгарылышын тапкыла $y'' + 4y' + 13y = 0$.

Чыгаруу. $\lambda^2 + 4\lambda + 13 = 0$ мүнөздөгүч тенденцияның тамырлары $\lambda_1 = -2 + 3i, \lambda_2 = -2 - 3i$. Жалпы чыгарылышы:

$$y = e^{-2x} (c_1 \cos 3x + c_2 \sin 3x).$$

Мисал 3.4.4. Берилген тенденцияның жалпы чыгарылышын тапкыла:

$$y'' + \omega^2 y = 0, (\omega = \text{const}).$$

Чыгаруу. $\lambda^2 + \omega^2 = 0$ мүнөздөгүч тенденциядан $\lambda_1 = \omega i, \lambda_2 = -\omega i$ экенин табабыз. Ошондуктан $y = c_1 \cos \omega x + c_2 \sin \omega x$.

Алынган чыгарылышты (синус жана косинустун суммасы) аргументи жылдырылган синус түрүнө өзгөртүүгө мүмкүн:

$$y = c_1 \cos \omega x + c_2 \sin \omega x = A((c_1/A) \cos \omega x + (c_2/A) \sin \omega x),$$

мында $A = \sqrt{c_1^2 + c_2^2}$.

Жардамчы ϕ бурчту киргизебиз:

$c_1/A = \sin \phi, c_2/A = \cos \phi$. ϕ бурчу төмөнкү формулааркылуу табылат $\phi = \arctg c_1/c_2$. Анда

$$y = A(\sin \phi \cos \omega x + \cos \phi \sin \omega x) = A \sin(\omega x + \phi).$$

Каалагандай баштапкы шартты берип, c_1, c_2 турактуу сандарынын же A, ϕ нин жалгыз маанилерин табабыз.

Өз алдынча иштөө үчүн көнүгүүлөр

Турактуу коэффициенттүү сзыыктуу бир тектүү дифференциалдык тенденциин мүнөздөгүч тенденциин берилген тамырлары аркылуу дифференциалдык тенденции түзгүлө жана анын жалты чыгарылышын жазыла:

$$\text{№ 84. } \lambda_1 = 3, \lambda_2 = -2.$$

$$\text{№ 85. } \lambda_1 = \lambda_2 = 1.$$

$$\text{№ 86. } \lambda_{1,2} = 3 \pm 2i.$$

Төмөнкү дифференциалдык тенденмелердин жалты чыгарылышын тапкыла:

$$\text{№ 87. } y'' - 6y' + 8y = 0. \quad \text{№ 88. } y'' - y' - 2y = 0.$$

$$\text{№ 89. } y'' - y' + y = 0. \quad \text{№ 90. } y'' + 2y' + 2y = 0.$$

$$\text{№ 91. } y'' + 4y' = 0. \quad \text{№ 92. } y'' - 6y' + 9y = 0.$$

$$\text{№ 93. } 3y'' - 2y' - 8y = 0. \quad \text{№ 94. } 4y'' - 8y' + 5y = 0.$$

Берилген баштапкы шарттар аркылуу тенденмелердин айрым чыгарылыштарын тапкыла:

$$\text{№ 95. } y'' - 5y' + 4y = 0, \quad y(0) = y'(0) = 1.$$

$$\text{№ 96. } y'' - 2y' + y = 0, \quad y(2) = 1, \quad y'(2) = -2.$$

3°. Турактуу коэффициенттүү экинчи тартилтеги бир тектүү эмес тенденмелер

Турактуу коэффициенттери a_1, a_2 болгон бир тектүү эмес сзыыктуу тенденмени карайлыш:

$$y'' + a_1 y' + a_2 y = f(x). \quad (3.4.10)$$

Бизге белгилүү болгондой, мындаи тенденменин жалпы чыгарылышы (3.4.6) түрүндө болот. Бир тектүү тенденменин жалпы чыгарылышын табууну билген сон, (3.4.10) тенденесинин айрым чыгарылышын гана табуу калат.

Кээ бир учурда (3.4.10) тенденеси үчүн айрым чыгарылышын аныкталбаган коэффициенттер методу аркылуу табууга болот.

Ушул учурларды жана аларга туура келген айрым чыгарылыштын түрлөрүн көрсөтөбүз.

а) (3.4.10) тенденесинин оң жагы $f(x) = P(x)e^{\alpha x}$ түрүндө болсун дейли: мында $P(x)$ – x тен полином (айрым учурда – нөлдөн айырмалуу турактуу сан). Анда (3.4.10) тенденеси $\tilde{y} = x^k Q(x)e^{\alpha x}$ түрдөгү айрым чыгарылышка ээ, мында $Q(x)$ көп мүчөсүнүн даражасы $P(x)$ тин даражасына барабар жана дагы α саны $\lambda^2 + a_1 \lambda + a_2 = 0$ мүнөздөгүч тенденесинин тамыры болбосо, $k = 0$, ал эми тамыры болсо, анда k – ушул тамырдын эселигин көрсөтөт.

Эскертуу. Эреже $\alpha = 0$ болгон учурда күчүн сактай берет, б.а. оң жагында бир гана полином турат; бул учурда 0 саны мүнөздөгүч тенденменин тамыры эместигин текшерүү керек.

б) (3.4.10) тенденесинин оң жагы төмөнкү түрдө болсун:

$$f(x) = a \cos \beta x + b \sin \beta x.$$

Эгерде $\pm i\beta$ саны мүнөздөгүч тенденменин тамырлары болбосо, анда тенденме $\tilde{y} = A \cos \beta x + B \sin \beta x$ түрдөгү айрым чыгарылышка ээ.

Эгерде $\pm i\beta$ саны мүнөздөгүч тенденменин тамырлары болсо, анда айрым чыгарылыш $y = x(A \cos \beta x + B \sin \beta x)$ түрүндө болот.

Айрым учурларда, б.а. $a = 0$ же $b = 0$ болсо деле чыгарылышты толук түрдө издең керек.

Эми аныкталбаган коэффициенттер методун колдонуп, чыгарылышты табууга мүмкүн болгон тенденциин оң жагынын эң жалпы түрүнө өтөлү.

в) $f(x) = e^{\alpha x} [P_1(x) \cos \beta x + P_2(x) \sin \beta x]$ болсун дейли, мында $P_1(x), P_2(x)$ – x тен полином, ал эми $\alpha \pm i\beta$ саны мүнөздөгүч тенденциин тамыры эмес. Анда айрым чыгарылышты $\tilde{y} = e^{\alpha x} [Q_1(x) \cos \beta x + Q_2(x) \sin \beta x]$ түрүндө издең керек. Мында $Q_1(x), Q_2(x)$ полиномдорунун даражалары $P_1(x), P_2(x)$ полиномдорунун эң чон даражасына барабар.

$\alpha \pm i\beta$ саны мүнөздөгүч тенденциин тамыры болсо, анда айрым чыгарылыштын жогоруда көрсөтүлгөн формасына x ти көбөйтүү керек. Биз талкуулаган

а) учуру, $\beta = 0$ болгондогу келтирилген жалпы чыгарылыштан алышат, ал эми

б) учуру, $\alpha = 0$ жана $P_1(x) = a, P_2(x) = b$ болгондо келип чыгат.

г) (3.4.10) тенденесинин оң жагы $f(x) = f_1(x) + f_2(x) + \dots + f_q(x)$ ке барабар болсун, мында $f_1(x), f_2(x), \dots, f_q(x)$ – а)-в) дагы каралган функциялар. Эгерде $f_1(x), f_2(x), \dots, f_q(x)$ функциясына дал келген y_1, y_2, \dots, y_q айрым чыгарылыштары болсо, анда $Y_i = y_1 + y_2 + \dots + y_q$ (3.4.10) тенденесинин айрым чыгарылышы болот (чыгарылыштардын суперпозиция принциби).

Айрым чыгарылыштарды издеңдө көрсөтүлгөн методдорду колдонууну окурманга жеткилең жеткирүү максатында төмөнкү иллюстративдик мисалдарды келтиreibиз.

Мисал 3.4.5. Төмөнкү тенденциин

$$y'' + y = 4xe^x \quad (3.4.11)$$

жалпы чыгарылышын тапкыла.

Чыгаруу. $\lambda^2 + 1 = 0$ мүнөздөгүч тенденеси ар түрдүү тамырларга ээ: $\lambda_1 = -i$, $\lambda_2 = i$, ошондуктан тиешелүү бир тектүү тенденеменин дал келген жалпы чыгарылышы төмөнкүдөй болот

$$\bar{y} = c_1 \cos x + c_2 \sin x.$$

$\alpha = 1$ мүнөздөгүч тенденеменин тамыры болуп саналбайт, ошондуктан \tilde{y} айрым чыгарылышын $\tilde{y} = (A_1 x + A_0) e^x$ түрүндө издеө керек, мында A_0, A_1 – аныкталуусу керек болгон азырынча белгисиз коэффициенттер. \tilde{y} үчүн туюнтыманы (3.4.11) тенденесине коюп, төмөнкүнү алабыз:

$$\tilde{y}' = A_1 e^x + (A_1 x + A_0) e^x.$$

$$\tilde{y}'' = A_1 e^x + A_1 e^x + (A_1 x + A_0) e^x.$$

$$2A_1 e^x + (A_1 x + A_0) e^x + (A_1 x + A_0) e^x = 4x e^x.$$

Мындан x тин бирдей даражаларынын коэффициенттерин салыштырып, төмөнкүгө ээ болобуз:

$$\begin{array}{l|l} x^0: & 2A_1 + 2A_0 = 0 \\ x^1: & 2A_1 = 4. \end{array}$$

Бул системаны чыгарып, $A_1 = 2$, $A_0 = -2$ ни табабыз. Ошентип, берилген тенденеменин айрым чыгарылышы $\tilde{y} = 2(x-1)e^x$ болот жана (3.4.11) бир тектүү эмес тенденеменин жалпы чыгарылышы төмөнкү түрдө болот:

$$y = \bar{y}(x) + \tilde{y}(x) = c_1 \cos x + c_2 \sin x + 2(x-1)e^x.$$

Мисал 3.4.6.

$$y'' + y' - 2y = 3x e^x \quad (3.4.12)$$

тенденеменин жалпы чыгарылышы тапкыла.

Чыгаруу. $\lambda^2 + \lambda - 2 = 0$ мүнөздөгүч тенденеси $\lambda_1 = 1$, $\lambda_2 = -2$ тамырларына ээ, ошондуктан тиешелүү бир тектүү тенденеменин жалпы чыгарылышы $\bar{y} = c_1 e^x + c_2 e^{-2x}$ болот. $\alpha = 1$ мүнөздөгүч тенденеменин жөнөкөй тамыры болгондуктан, (3.4.12) бир тектүү эмес тенденесинин \tilde{y} айрым чыгарылышын $\tilde{y} = x(A_1 x + A_0) e^x$ түрүндө издейбиз. Аны (3.4.12) тенденесине коюп, тенденеменин эки жагын e^x ке кыскартып жана топтолп төмөнкүнү алабыз:

$3(2A_1x + A_0)e^x + 2A_1 = 3x$. Эми x тин бирдей даражаларынын алдындагы коэффициенттерди барабарлап:

$$\begin{array}{l} x^0: \quad 3A_1 + 2A_0 = 0 \\ x': \quad 6A_1 = 3. \end{array}$$

тендемелер системасын алабыз. Мындан $A_1 = 1/2$, $A_0 = -1/3$. Ошентип $\tilde{y} = x(1/2x - 1/3)e^x$ жана (3.4.12) тенденесинин жалпы чыгарылышы төмөнкүдөй түрдө болот

$$y = \bar{y}(x) + \tilde{y}(x) = c_1e^x + c_2e^{-2x} + x(1/2x - 1/3)e^x.$$

Мисал 3.4.7.

$$y'' - y = x \sin x \quad (3.4.13)$$

тенденесинин жалпы чыгарылышын тапкыла.

Чыгаруу. Тиешелүү бир тектүү тендененин жалпы чыгарылышы

$$\bar{y} = c_1e^x + c_2e^{-x}.$$

i мүнөздөгүч тендененин тамыры болбогондуктан, бир тектүү эмес тендененин айрым чыгарылышын төмөнкү түрдө издейбиз

$$\tilde{y} = (A_1x + A_2)\cos x + (B_1x + B_2)\sin x.$$

Анда

$$\tilde{y}' = (A_1 + B_2 + B_1x)\cos x + (B_1 - A_2 - A_1x)\sin x,$$

$$\tilde{y}'' = (2B_1 - A_2 - A_1x)\cos x - (2A_1 + B_2 + B_1x)\sin x.$$

Аларды (3.4.13) тенденесине койсок, төмөнкүлөрдү алабыз

$$(2B_1 - A_2 - A_1x)\cos x - (2A_1 + B_2 + B_1x)\sin x -$$

$$-(A_1x + A_2)\cos x - (B_1x + B_2)\sin x = x \sin x$$

же болбосо

$$\begin{aligned} & (2B_1 - A_2 - A_1x - A_2)\cos x + \\ & + (-2A_1 - B_2 - B_1x - B_1x - B_2)\sin x = x \sin x \end{aligned}$$

Мындан $\cos x$, $\sin x$ тердин алдындагы коэффициенттерди барабарлап, A_1, A_2, B_1, B_2 ге салыштырмалуу тенденелер системасын алабыз:

$$\cos x: \begin{array}{l} x^0: 2B_1 - 2A_2 = 0 \\ x': -2A_1 = 0, \end{array}$$

$$\sin x: \begin{array}{l} x^0: 2A_1 - 2B_2 = 0 \\ x': -2B_1 = 1. \end{array}$$

Бул системаны чыгарып,
 $A_1 = 0, A_2 = -1/2, B_1 = -1/2, B_2 = 0$ экенин табабыз. Ый айрым чыгарылышы

$$\tilde{y} = -(1/2) \cos x - (1/2)x \sin x$$

түрүндө жазылат. (3.4.13) тенденесинин жалпы чыгарылышы

$$y = \bar{y}(x) + \tilde{y}(x) = c_1 e^x + c_2 e^{-x} - (1/2) \cos x - (1/2)x \sin x$$

көрүнүштө болот.

Мисал 3.4.8.

$$y'' + 2y' + 5y = e^{-x} \cos 2x \quad (3.4.14)$$

тенденесинин жалпы чыгарылышын тапкыла.

Чыгаруу. $\lambda^2 + 2\lambda + 5 = 0$ мүнөздөгүч тенденеси $\lambda_{1,2} = -1 + 2i$ тамырларына ээ, демек $\bar{y} = (c_1 \cos 2x + c_2 \sin 2x)e^{-x}$ болот. Мүнөздөгүч тенденеменин тамыры $\alpha + i\beta = -1 + 2i$ болгондуктан, (3.4.14) тенденесинин айрым чыгарылышын төмөнкү түрдө издейбиз

$$\tilde{y} = x(A \cos 2x + B \sin 2x)e^{-x}.$$

Анда

$$\tilde{y}' = e^{-x} [(A - Ax + 2Bx) \cos 2x + (B - Bx - 2Ax) \sin 2x],$$

$$\tilde{y}'' = e^{-x} [(-2A - 3Ax + 4B - 4Bx) \cos 2x + (-2B - 3Bx - 4A + 4Ax) \sin 2x].$$

(3.4.14) тенденесине \tilde{y} үчүн туюнтыны жана анын туундуларын кооп жана e^{-x} ке кыскартып, $-4A \sin 2x + 4B \cos 2x = \cos 2x$ ти алабыз. Мындан $A = 0, B = 1/4$, демек, төмөнкүнү алабыз

$$\tilde{y} = \frac{1}{4} x e^{-x} \sin 2x.$$

(3.4.14) тенденесинин жалпы чыгарылышы төмөнкү түрдө жазылат

$$y = \bar{y}(x) + \tilde{y}(x) = (c_1 \cos 2x + c_2 \sin 2x)e^{-x} + (1/4)x e^{-x} \sin 2x.$$

Мисал 3.4.9.

$$y'' - y' = e^x + e^{2x} + x \quad (3.4.15)$$

тенденесинин жалпы чыгарылышын тапкыла.

Чыгаруу. Ага тиешелүү бир тектүү тенденеме $y'' - y' = 0$. $\lambda^2 - \lambda = 0$ мүнөздөгүч тенденеси $\lambda_1 = 0, \lambda_2 = 1$ та-

мырларына ээ. Тенденциин жалпы чыгарылышы төмөнкүчө болот

$$\bar{y} = c_1 + c_2 e^x.$$

Эми (3.4.15) тенденесинин айрым чыгарылышын табуу кепек. Адегенде $y'' - y' = e^x$, $y'' - y' = e^{2x}$, $y'' - y' = x$ үч тенденциин ар бири үчүн айрым чыгарылышын табабыз.

$$y'' - y' = e^x \quad (3.4.16)$$

тенденеси $\tilde{y}_1 = Axe^x$ түрдөгү айрым чыгарылышка ээ, анткени (3.4.16) тенденесинин он жагында турган e^x көрсөткүчтүү функциясында x тин алдында турган коэффициент мүнөздөгүч тендененин тамыры болот. $\tilde{y}_1' = Ae^x + Axe^x$, $\tilde{y}_1'' = 2Ae^x + Axe^x$ ти (3.4.16) га коюп, $Ae^x = e^x$ ти алабыз, мындан $A = 1$. Демек

$$\tilde{y}_1 = xe^x. \quad (3.4.17)$$

$$y'' - y' = e^{2x} \quad (3.4.18)$$

тенденеси төмөнкү түрдөгү айрым чыгарылышка ээ:

$$\tilde{y}_2 = Ae^{2x}. \quad (3.4.19)$$

(3.4.19)ду (3.4.18) ге коюп, $A = 1/2$ ди табабыз, демек

$$\tilde{y}_2 = (1/2)e^{2x}. \quad (3.4.20)$$

$$y'' - y' = x \quad (3.4.21)$$

тенденеси

$$\tilde{y}_3 = x(Ax + B), \quad (3.4.22)$$

түрүндөгү айрым чыгарылышка ээ, анткени 0 саны мүнөздөгүч тендененин тамыры болуп саналат. (3.4.22) ни (3.4.21)ге койсок, төмөнкүнү алабыз: $2A - 2Ax - B = x$, мындан $A = 1/2$, $B = -1$, ошондуктан

$$\tilde{y}_3 = -x((1/2)x + 1). \quad (3.4.23)$$

Эми (3.4.17), (3.4.20), (3.4.23) айрым чыгарылыштарын кошуп, бүт тендененин y_1 айрым чыгарылышын табабыз:

$$y_1 = xe^x + (1/2)e^{2x} - x((1/2)x + 1).$$

Анда (3.4.15) тенденциясынин жалпы чыгарылышы төмөнкүчө болот

$$y = \bar{y} + Y_1 = c_1 + c_2 e^x + x e^x + (1/2)e^{2x} - x((1/2)x + 1).$$

Өз алдынча иштөө үчүн көнүгүүлөр

Аныкталбаган коэффициенттер методу менен төмөнкү бир тектүү эмес сызыктую тенденмелердин айрым чыгарылыштарын алдын ала таап, интегралдагыла:

$$\text{№ 97. } y'' - y = x^2 - x + 1 \quad \text{№ 98. } y'' + 5y' + 6y = 3$$

$$\text{№ 99. } y'' + y' = 3 \quad \text{№ 100. } y'' - y = 2 \sin x - 4 \cos x$$

$$\text{№ 101. } y'' + 4y = \sin 2x \quad \text{№ 102. } y'' + y = \cos x + \cos 2x$$

$$\text{№ 103. } y'' - 4y = e^x [(-4x + 4)\cos x - (2x + 6)\sin x].$$

Берилген дифференциалдык тенденмелердин ар бири үчүн коэффициенттери аныкталбаган айрым чыгарылыштарынын түрүн жазыла (коэффициенттердин сандык маанилерин табуунун кажети жок):

$$\text{№ 104. } y'' + y' + ky = x \quad \text{№ 105. } y'' + ky = e^{ax}$$

$$\text{№ 106. } y'' + k^2 y = \cos ax \quad \text{№ 107. } y'' + y' = e^{-x} + 2x + 1$$

$$\text{№ 108. } y'' - y' = e^x x \sin x \quad \text{№ 109. } y'' - 7y' = (x - 1)^2.$$

Тенденмелердин баштапкы шарттарды канаттандырган айрым чыгарылыштарын тапкыла:

$$\text{№ 110. } y'' - 2y' = 2e^x; \quad y(1) = -1, \quad y'(1) = 0$$

$$\text{№ 111. } y'' + 4y' = 4e^x; \quad y(0) = 4, \quad y'(0) = -3$$

$$\text{№ 112. } y'' - 2y' + 2y = 4e^x \cos x; \quad y(\pi) = \pi e^\pi, \quad y'(\pi) = e^\pi.$$

4º. Лагранждын каалагандай турактуу чоңдуктарды вариациялоо методу

Эгерде бир тектүү (3.4.2) тенденциясынин жалпы чыгарылышы (3.4.3) түрүндө (мында c_1, c_2 – каалагандай турактуу сандар) бизге белгилүү болсо, анда (3.4.1) бир тектүү эмес (мында $f(x)$ – каалагандай берилген функция) тенденциин айрым чыгарылышын табуудагы Лагранждын методун баяндайбыз.

Каалагандай туралтуу чондуктарды вариациялоо методу туралтуу коэффициенттүү тенденциелерге да, ошондой эле a_1 , a_2 коэффициенттери x тен көз каранды болгон тенденциелерге да бирдей колдонуларын белгилейбиз. Турактуу коэффициенттүү бир тектүү сыйыктуу тенденциин жалпы чыгарылышын табуу жолу бизге белгилүү болгондуктан, Лагранждын методун биз негизинен ушундай гана тенденциелерге колдонобуз.

(3.4.1) тенденциинин чыгарылышын төмөнкү түрдө издейбиз

$$y = c_1(x)y_1 + c_2(x)y_2, \quad (3.4.24)$$

мында $c_1(x)$, $c_2(x)$ – кандайдыр бир азырынча белгисиз функциялар, ал эми y_1, y_2 (3.4.2) бир тектүү тенденциин белгилүү айрым чыгарылыштары. (3.4.24) барабардыгын дифференциалдайбыз:

$$y' = c'_1 y_1 + c_1 y'_1 + c'_2 y_2 + c_2 y'_2.$$

$$y_1 c'_1 + y_2 c'_2 = 0 \quad (3.4.25)$$

деп эсептейли.

$$\text{Анда } y = c_1 y'_1 + c_2 y'_2.$$

Дагы бир жолу дифференциалдайбыз:

$$y'' = c'_1 y'_1 + c_1 y''_1 + c'_2 y'_2 + c_2 y''_2.$$

y, y', y'' ди (3.4.1) дин сол жагына коюп жана топтол, төмөнкүнү алабыз

$$c'_1 y'_1 + c'_2 y'_2 + c_1(y'_1 + a_1 y'_1 + a_1 y_1) + c_2(y'_2 + a_1 y'_2 + a_2 y'_2) = f(x).$$

y_1, y_2 (3.4.2) бир тектүү тенденциин чыгарылыштары болгондуктан, эки кашаадагы туунтмалар нөлгө барабар. Демек, $y = c_1 y_1 + c_2 y_2$ функциясы (3.4.1) дин чыгарылышы болусу учун, (3.4.25) шартынан башка $c'_1 y'_1 + c'_2 y'_2 = f(x)$ шарты да аткарылышы керек. Ошентип,

$$\begin{cases} c'_1 y_1 + c'_2 y_2 = 0 \\ c'_1 y'_1 + c'_2 y'_2 = f(x) \end{cases}$$

тенденциелер системасына келебиз. Бул системанын аныктагычы нөлгө айланбайт (3.4.5) карагыла:

$$\begin{vmatrix} y_1 & y_2 \\ y'_1 & y'_2 \end{vmatrix} \neq 0.$$

Ошондуктан системадан c'_1, c'_2 лерди, андан кийин интегралдап c_1, c_2 функцияларынын өздөрүн таба алабыз. Эгерде c'_1, c'_2 туундуларды интегралдооду туралктуу чондуктарды киргизсек, анда биз (3.4.1) дин жалпы чыгарылышын алабыз.

Мисал 3.4.10.

$$y'' - y' = e^x / (e^x + 1) \quad (3.4.26)$$

тендемесин чыгаргыла.

Чыгаруу. Мында аныкталбаган коэффициенттер методу аркылуу айрым чыгарылышты табуу мүмкүн эмес. Ошондуктан (3.4.26) тендемесинин жалпы чыгарылышын табуу үчүн туралктуу чондуктарды вариациялоо методун колдонобуз. Тиешелүү $y'' - y = 0$ бир тектүү тендемеси $y = c_1 e^x + c_2 e^{-x}$ жалпы чыгарылышка ээ болгондуктан, (3.4.25)тин жалпы чыгарылышын

$$y = c_1(x) e^x + c_2(x) e^{-x} \quad (3.4.27)$$

түрдө издейбиз.

$$\begin{cases} c'_1(x) e^x + c'_2(x) e^{-x} = 0 \\ c'_1(x) e^x - c'_2(x) e^{-x} = e^x / (e^x + 1) \end{cases}$$

системасын түзөбүз. Аны чыгарып, төмөнкүнү табабыз

$$c'_1(x) = (1/2)(1/(e^x + 1)), \quad c'_2(x) = (-1/2)(e^{2x} / (e^x + 1)).$$

Интегралдап, төмөнкүгө ээ болобуз:

$$\begin{cases} c_1(x) = x/2 + (-1/2) \ln(e^x + 1) + c_1 \\ c_2(x) = (-1/2)e^x + (1/2) \ln(e^x + 1) + c_2 \end{cases}$$

$c_1(x), c_2(x)$ үчүн алынган туонтмаларды (3.4.27) формуласына кооп, (3.4.26) тендемесинин жалпы чыгарылышын төмөнкү түрдө алабыз:

$$y = (1/2) \left\{ [x - \ln(e^x + 1)] e^x - 1 + \ln(e^x + 1) e^{-x} \right\} + c_1 e^x + c_2 e^{-x}.$$

Өз алдынча иштөө үчүн көнүгүүлөр

Төмөнкү тенденмелерди тұрактуу чондуктарды вариациялоо методу арқылуу интегралдагыла:

$$\text{№ 113. } y'' + y = \operatorname{tg} x.$$

$$\text{№ 114. } y'' + 4y = 1 / \cos 2x.$$

$$\text{№ 115. } y'' - y = 1/x.$$

$$\text{№ 116. } y'' - 2y' + y = (x^2 + 2x + 2) / x^3.$$

$$\text{№ 117. } y'' - y' = ((2 - x) / x^3) e^x.$$

§ 3.5. n -тартылғансызықтуу дифференциалдык тенденмелер

§ 3.4 да баяндалған экинчи тартылған дифференциалдык тенденмелер теориясы кээ бир жалпылануучу маалыматтар менен n -тартылғансызықтуу тенденмелерге да көчүрүлөт.

n -тартылғансызықтуу тенденме

$$y^{(n)} + a_1 y^{(n-1)} + a_2 y^{(n-2)} + \dots + a_{n-1} y' + a_n y = f(x) \quad (3.5.1)$$

түргө әэ болот, мында $a_1, a_2, \dots, a_{n-1}, a_n$ коэффициенттери x өзгөрмөсүнөн көз каранды функциялар же тұрактуу чондуктар.

(3.5.1) тенденмеси менен катар ага тиешелүү болгон бир тектүү

$$y^{(n)} + a_1 y^{(n-1)} + a_2 y^{(n-2)} + \dots + a_{n-1} y' + a_n y = 0 \quad (3.5.2)$$

тенденме дайыма каралат.

(3.5.1) тенденмесинин жалпы чыгарылышынын структурасы жөнүндөгү негизги теореманы формулировкалоо үчүн функциялар системасынын сызықтуу көз каранды эместиғи түшүнүгүн киргизүү зарыл.

Аныктама. $I = (a, b)$ интервалында аныкталған n функциянын $\varphi_1(x), \varphi_2(x), \dots, \varphi_n(x)$ чектүү системасы бар болсун. Эгерде I интервалында x тин бардык маанилеринде

$$\alpha_1 \varphi_1(x) + \alpha_2 \varphi_2(x) + \dots + \alpha_n \varphi_n(x) \equiv 0 \quad (3.5.3)$$

тенденстиги аткарыла турғандай бардығы нөлгө барабар болбогон $\alpha_1, \alpha_2, \dots, \alpha_n$ тұрактуулары табылса, анда $\varphi_1(x), \varphi_2(x), \dots, \varphi_n(x)$ функциялары I интервалында сызықтуу көз каранды деп аталат.

Эгерде бул тенденштик $\alpha_1 = \alpha_2 = \dots = \alpha_n = 0$, болгондо жана аткарылса, анда $\varphi_1(x), \varphi_2(x), \dots, \varphi_n(x)$ функциялары I интервалында сызыктуу көз каранды эмес деп аталат.

Б.а., эгерде $\varphi_1(x), \varphi_2(x), \dots, \varphi_n(x)$ функцияларынын бирин да башкаларынын сызыктуу комбинациясы түрүндө көрсөтүү мүмкүн болбосо, анда функциялар системасы сызыктуу көз каранды эмес деп аталат. Бул болсо

$$\varphi_1 = k_2 \varphi_2(x) + \dots + k_n \varphi_n(x) \quad (3.5.4)$$

(мында k_2, \dots, k_n – турактуу чондуктар) барабардыгы мүмкүн эмес экендигин түшүндүрөт. Мындан сызыктуу көз каранды эмес функциялардын бири да нөлгө тенденш барабар эместиги келип чыгат. Эгерде, маселен, $\varphi_1(x) = 0$ болсо, анда (3.5.4) барабардыгы $k_2 = \dots = k_n = 0$ болгондо аткарылмак. Айрым учурда, $\varphi_1(x)$ жана $\varphi_2(x)$ функцияларынын катышы турактуу чондук эмес болсо:

$$\varphi_1(x)/\varphi_2(x) \neq \text{const},$$

анда алар сызыктуу көз каранды эмес болушат. Эгерде I интервалында $\varphi_1(x)/\varphi_2(x) = \text{const}$ болсо, анда $\varphi_1(x)$ жана $\varphi_2(x)$ функциялары I интервалында сызыктуу көз каранды болору түшүнүктүү.

$$\varphi_1(x) = x, \varphi_2(x) = x^2, \varphi_3(x) = x^3, \varphi_4(x) = 3x - x^2$$

функциялардын системасы сызыктуу көз каранды функциялардын системасынын мисалы болот.

Чындыгында эле, $\varphi_1(x)$ функциясы калгандарынын сызыктуу комбинациясы болот:

$$\varphi_4(x) = 3\varphi_1(x) - \varphi_2(x).$$

Мында $\varphi_4(x)$ калган бардыгы аркылуу сөзсүз туюнтулушу керек эмес, б.а. бул учурда (3.5.4.) барабардыгы

$$3\varphi_1(x) + (-1)\varphi_2(x) + 0 \cdot \varphi_3(x) + (-1)\varphi_4(x) \equiv 0$$

түрүндө болот.

Мисал 3.5.1. Төмөнкү функциялар системаларын сызыктуу көз карандылыкка изилдегиле:

a) $1, x, x^2, x^3$;

b) $\exp(\lambda_1 x), \exp(\lambda_2 x), \exp(\lambda_3 x)$, мында $\lambda_1, \lambda_2, \lambda_3$ – эки экиден ар башка;

c) $1, \ln x$;

d) $4 - x, 2x + 3, 6x + 8$.

Функциялар өзүлөрү аныкташылган областтарда каралышат.
Чыгаруу.

а) $1, x, x^2, x^3$ функциялар системасы $I = (-\infty, \infty)$ интервалында сыйыктуу көз каранды болсун дейли. Анда I интервалында төмөнкү тенденциалар орун алат:

$$\alpha_1 \cdot 1 + \alpha_2 \cdot x + \alpha_3 \cdot x^2 + \alpha_4 \cdot x^3 = 0, \quad (3.5.5)$$

мында α_i лердин бардыгы деле $\alpha_i \neq 0, i = 1..4$. Бирок (3.5.5) барабардыгынын сол жагында үчүнчү даражадагы көп мүчө. Ал-гебрадан белгилүү болгондой, (3.5.5) барабардыгы I аралыгында үчтөн көп эмес чекитте гана аткарылышы мүмкүн. Демек, $1, x, x^2, x^3$ функциялары I интервалында сыйыктуу көз каранды эмес. Бул чыгарылыштан $1, x, x^2, x^3$ функциялары $I_1 = (a, b)$ каалаган аралыкта сыйыктуу көз каранды эмес экендиги келип чыгат.

б) $\exp(\lambda_1 x), \exp(\lambda_2 x), \exp(\lambda_3 x)$ системасы $I = (-\infty, \infty)$ интервалында сыйыктуу көз каранды дейли. Анда

$$\alpha_1 e^{\lambda_1 x} + \alpha_2 e^{\lambda_2 x} + \alpha_3 e^{\lambda_3 x} \equiv 0 \quad (3.5.6)$$

тенденцисти $\alpha_1, \alpha_2, \alpha_3$ сандарынын жок дегенде бири нөлдөн айырмалуу болгондо аткарылат, мисалы $\alpha_3 \neq 0$ болсун дейли.

(3.5.6) тенденциктин эки жагын $e^{\lambda_1 x}$ ке бөлүп: $\alpha_1 + \alpha_2 e^{(\lambda_2 - \lambda_1)x} + \alpha_3 e^{(\lambda_3 - \lambda_1)x} = 0$ гө ээ болобуз. Тенденцикти дифференциалдалап, $\alpha_2 (\lambda_2 - \lambda_1) e^{(\lambda_2 - \lambda_1)x} + \alpha_3 (\lambda_3 - \lambda_1) e^{(\lambda_3 - \lambda_1)x} = 0$ барабардыгын алабыз. Акыркы тенденциктин эки жагын $e^{(\lambda_2 - \lambda_1)x}$ ке бөлүп, төмөнкүнү алабыз:

$$\alpha_2 (\lambda_2 - \lambda_1) + \alpha_3 (\lambda_3 - \lambda_1) e^{(\lambda_3 - \lambda_2)x} \equiv 0. \quad (3.5.7)$$

(3.5.7) ни дифференциалдалап,

$\alpha_3 (\lambda_3 - \lambda_1) (\lambda_3 - \lambda_2) e^{(\lambda_3 - \lambda_2)x} \equiv 0$ гө ээ болобуз. Мындай болушу мүмкүн эмес, анткени болжолдоо боюнча $\alpha_3 \neq 0$, шарт боюнча $\lambda_3 \neq \lambda_1, \lambda_3 \neq \lambda_2$, ал эми $e^{(\lambda_3 - \lambda_2)x} \neq 0$. Демек, (3.5.6) тенденцисти $\alpha_1 = \alpha_2 = \alpha_3 = 0$ болгондо гана аткарылат, ошондук-

тан берилген система $(-\infty, \infty)$ интервалында сзықтуу көз каранды эмес.

c) $x > 0$, $\frac{\ln x}{1} = \ln x \neq const$ болгондуктан, берилген функциялар $I = (0, +\infty)$ интервалында сзықтуу көз каранды эмес.

$$d) \alpha_1(4-x) + \alpha_2(2x+3) + \alpha_3(6x+8) \equiv 0 \quad (3.5.8)$$

тендештиги $I = (-\infty, \infty)$ аралыгында орун алғандай жана бардыгы нөлгө барабар эмес $\alpha_1, \alpha_2, \alpha_3$ турактууларды табууга мүмкүн боло турганын көрсөтөлүү. (3.5.8)ден төмөнкүнү алабыз

$$(-\alpha_1 + 2\alpha_2 + 6\alpha_3)x + (4\alpha_1 + 3\alpha_2 + 8\alpha_3) \cdot 1 \equiv 0. \quad (3.5.9)$$

I жана x функциялары I де сзықтуу көз каранды эмес болгондуктан, (3.5.9) тендештиги төмөнкү шарттарда аткарылат:

$$\begin{cases} -\alpha_1 + 2\alpha_2 + 6\alpha_3 = 0 \\ 4\alpha_1 + 3\alpha_2 + 8\alpha_3 = 0 \end{cases}$$

жана

$$\begin{cases} \alpha_1 - 2\alpha_2 = 6\alpha_3 \\ 4\alpha_1 + 3\alpha_2 = -8\alpha_3 \end{cases}. \quad (3.5.10)$$

α_1, α_2 ге карата (3.5.10) системасынын аныктагычы төмөнкүчө:

$$\begin{vmatrix} 1 & -2 \\ 4 & 3 \end{vmatrix} = 11 \neq 0.$$

Демек, (3.5.10) системасы каалагандай $\alpha_3 \neq 0$ үчүн тривиалдуу эмес чыгарылышка ээ. Ошондуктан берилген функциялар I де сзықтуу көз каранды болушат.

Эми (3.5.2) тенденесинин жалпы чыгарылышынын структурасы жөнүндөгү теореманы келтирели.

Теорема 3.5.1. Эгерде y_1, y_2, \dots, y_n (3.5.2) тенденесинин n айрым сзықтуу көз каранды эмес чыгарылыштары болушса, анда алардын сзықтуу комбинациясы

$$y = c_1 y_1 + c_2 y_2 + \dots + c_n y_n \quad (3.5.11)$$

бул тендененин жалпы чыгарылышы болот.

Бул теореманын далилдөөсү экинчи тартиптеги тенденме үчүн келтирилген теореманын далилдөөсүнө окшош (§3.4.1⁰ди карагыла) жана биз аны кээ бир жаңы түшүнүктөрдү киргизүүдөн кийин жүргүзөбүз.

Эскертуу. Эгерде y_1, y_2, \dots, y_n чыгарылыштары сызыктуу көз каранды болушса, анда жок дегенде алардын бирөөсү калган $n - 1$ аркылуу сызыктуу туонтулат жана (3.5.11) функциясы чындыгында n эмес, андан кичине сандагы турактуу чондуктардан көз каранды болот. Ал жалпы чыгарылышты бере албайт.

y_1, y_2, \dots, y_n айрым чыгарылыштарынын сызыктуу көз каранды эместигинин жөнөкөй шарты бар. y_1, y_2, \dots, y_n функцияларынан жана алардын туундуларынан түзүлгөн Вронскийдин аныктағычы (же вронскиан) деп аталган аныктағычтын нөлгө барабар эместиги:

$$W(y_1, y_2, \dots, y_n) = \begin{vmatrix} y_1 & y_2 & \dots & y_n \\ y'_1 & y'_2 & \dots & y'_n \\ \dots & \dots & \dots & \dots \\ y_1^{(n-1)} & y_2^{(n-1)} & \dots & y_n^{(n-1)} \end{vmatrix} \neq 0 \quad (3.5.12)$$

бул шарттын өзүн берет. Барабарсыздык белгиси, аныктағыч $I = (a, b)$ интервалындагы x тин эч кандай маанилеринде нөлгө барабар эмес дегенди билдирет. n - тартиптеги сызыктуу тендененин сызыктуу көз каранды эмес чыгарылыштарын чыгарылыштардын фундаменталдык системасын түзөт деп дагы айтылат.

y_1, y_2, \dots, y_n - төмөнкү тендененин фундаменталдык системасы болсун дейли

$$y^{(n)} + a_1(x)y^{(n-1)} + \dots + a_n(x)y = 0.$$

Анда Остроградский-Лиувиллдин формуласы орун алат [13]

$$W(x) = W(x_0) \exp\left(-\int_{x_0}^x a_1(t) dt\right), \quad (3.5.13)$$

мында $W(x) = W(y_1, y_2, \dots, y_n)$ - Вронскийдин аныктағычы, ал эми x_0 -тендененин $a_1(x), a_2(x), \dots, a_n(x)$ коэффициенттери

үзгүлтүксүз болгон $[a, b]$ кесиндиндеги x тин каалагандай мааниси.

Остроградский-Лиувиллдин формуласынан Вронскийдин аныктагычы $[a, b]$ кесиндинде же нөлгө тендеш барабар же эч бир чекитте нөлгө айланбайт деген келип чыгат. Ошондой эле төмөнкү ырастоо да туура. (3.5.2) тенденесинин y_1, y_2, \dots, y_n чыгарылыштары $I = (a, b)$ да сзызкуу көз каранды эмес болусу үчүн $W(x) = W(y_1, y_2, \dots, y_n)$ вронскианы $I = (a, b)$ интервалынын жок дегенде бир x_0 чекитинде нөлгө айланбашы зарыл жана жетиштүү.

Вронскийдин аныктагычы берилген баштапкы шарттар боюнча айрым чыгарылышты табууда маанилүү орунду ээлейт.

Жалпы чыгарылыштын структурасы жөнүндөгү теорема 3.5.1 ди далилдөө.

(3.5.2) тенденесинин каалагандай айрым чыгарылышын (3.5.11) формуласынан c_1, c_2, \dots, c_n турактуу чондуктарынын кандайдыр бир маанилеринде аныктаалган жалпы чыгарылышынан алууга мүмкүн болоорун далилдейли.

(3.5.2) тенденесинин

$$y|_{x=x_0} = y_0, \quad y'|_{x=x_0} = y'_0, \dots, \quad y^{(n-1)}|_{x=x_0} = y_0^{(n-1)} \quad (3.5.14)$$

баштапкы шартты канааттандырган $y = y(x)$ айрым чыгарылышын табуу керек. $y = y(x)$ функциясы (3.5.14) шартын канааттандыра тургандай c_1, c_2, \dots, c_n турактуу чондуктарды тандап алабыз

$$\left\{ \begin{array}{l} y_0 = c_1 y_{10} + c_2 y_{20} + \dots + c_n y_{n0} \\ y'_0 = c_1 y'_{10} + c_2 y'_{20} + \dots + c_n y'_{n0} \\ \dots \\ y_0^{(n-1)} = c_1 y_{10}^{(n-1)} + c_2 y_{20}^{(n-1)} + \dots + c_n y_{n0}^{(n-1)} \end{array} \right. \quad (3.5.15)$$

Мында x_0 чекитинде y_i айрым чыгарылышынын k -туундусунун мааниси $y_{i0}^{(k)}$ аркылуу белгиленген.

Бул системанын аныктагычы

$$W = \begin{vmatrix} y_{10} & y_{20} & \dots & y_{n0} \\ y'_{10} & y'_{20} & \dots & y'_{n0} \\ \dots & \dots & \dots & \dots \\ y_{10}^{(n-1)} & y_{20}^{(n-1)} & \dots & y_{n0}^{(n-1)} \end{vmatrix}$$

$x = x_0$ чекитиндеги Вронскийдин аныктагычынын маанисин берет. y_1, y_2, \dots, y_n айрым чыгарылыштар фундаменталдык системаны түзгөндүктөн, бул аныктагыч каалаган x_0 чекитинде нөлдөн айырмалуу. Демек, (3.5.15) системасы жалгыз чыгарылышка ээ: $\tilde{c}_1, \tilde{c}_2, \dots, \tilde{c}_n$. Түзүү боюнча $y(x) = \tilde{c}_1 y_1 + \tilde{c}_2 y_2 + \dots + \tilde{c}_n y_n$ чыгарылышы (3.5.14) баштапкы шарттарды канааттандырат, так ушуну далилдөө керек болчу.

Эскертүү. Талдоонун айрым учурун карайлы. $y_0 = y'_0 = \dots = y_0^{(n-1)} = 0$ нөлдүк баштапкы шартына $c_1 = c_2 = \dots = c_n = 0$ системанын нөлдүк (тривиалдык) чыгарылыш дал келет, б.а. (3.5.2) тенденесин жана нөлдүк баштапкы шартын канааттандырган функция нөлгө тендеш барабар.

n -тартиптеги сзықтуу бир тектүү эмес (3.5.1) тендененин жалпы чыгарылышы-(3.5.1) тенденесинин кандайдыр бир айрым чыгарылышы жана ага дал келген (3.5.2) бир тектүү тенденесинин жалпы чыгарылышынын суммасынан турат. Бул ырастоонун далилдөөсү, экинчи тартиптеги тенденмелер үчүн жүргүзүлгөнгө окшош.

Турактуу чондуктарды вариациялоо методу (§3.4.4⁰) n дин каалаган тартибиндеги сзықтуу тенденмелер үчүн да колдонулат. Аны колдонуу үчүн дал келген бир тектүү тендененин фундаменталдык системасын гана билүү керек.

Мисал 3.5.2. Остроградский-Лиувиллдин формуласы колдонулган мисалды карайлы. Сзықтуу бир тектүү экинчи тартиптеги тенденме берилсін

$$y'' + a_1(x)y' + a_2(x)y = 0,$$

y_1 – ушул тендененин тривиалдуу эмес айрым чыгарылышы болсун дейли (мында $a_1(x), a_2(x)$ функциялары $I=(a, b)$ да үзгүлтүксүз жана каалагандай $x \in I$ үчүн $y_1 \neq 0$). Тендененин

$$y = c_1 y_1 + c_2 y_1 \int \frac{1}{y_1^2(x)} \exp\left(-\int_{x_0}^x a_1(s) ds\right) dx$$

жалпы чыгарылышын Абелдин формуласы аркылуу табууга болоорун далалдегиле. Мында c_1 жана c_2 – турактуу чондуктар.

Чыгаруу. $y_2(x)$ экинчи чыгарылышты табуу үчүн (3.5.13) формуласын колдонобуз:

$$\begin{vmatrix} y_1 & y_2 \\ y'_1 & y'_2 \end{vmatrix} = c_1 \exp\left(-\int_{x_0}^x a_1(s) ds\right).$$

Мындан $y_1 y'_2 - y_2 y'_1 = c_1 \exp\left(-\int_{x_0}^x a_1(s) ds\right)$. Акыркы барабардыктын эки жагын y_1^2 ($y_1 \neq 0$ I де) ке бөлүп, төмөнкүнү алабыз

$$\frac{y_1 y'_2 - y_2 y'_1}{y_1^2} = \frac{c_1}{y_1^2} \exp\left(-\int_{x_0}^x a_1(s) ds\right).$$

$$\left(\frac{y_1}{y_2}\right)' = \frac{y_1 y'_2 - y_2 y'_1}{y_1^2} \quad \text{екенин эске алып жана интегралдан}$$

$$\frac{y_2}{y_1} = c_1 \int \frac{1}{y_1^2(x)} \exp\left(-\int_{x_0}^x a_1(s) ds\right) dx + c_2$$

ге ээ болобуз. Мындан Абелдин формуласын алабыз

$$y_2 = c_2 y_1 + c_1 y_1 \int \frac{1}{y_1^2(x)} \exp\left(-\int_{x_0}^x a_1(s) ds\right) dx, \quad (3.5.16)$$

мында c_1 жана c_2 – турактуу чондуктар. y_1 жана y_2 чыгарылыштары сыйыктуу көз каранды эмес болгондуктан, Абелдин формуласы аркылуу чынында жалпы чыгарылыш аныкталат.

Мисал 3.5.3. $y'' + \frac{2}{x} y' - \frac{6}{x^2} y = 0$ төндемеси $y_1 = x^2$ айрым

чыгарылышка ээ экени белгилүү.

$$y(1) = 1, \quad y'(1) = 0 \quad (3.5.17)$$

Коши маселесинин чыгарылышын тапкыла.

Чыгаруу. (3.5.2) маселесинин натыйжасын колдонуп, берилген төндеменин чыгарылыштарынын фундаменталдык системе-

масын табабыз. Тенденциин y_1 менен сыйыктуу көз каранды эмес чыгарылышы y_2 ни Абелдин формуласы аркылуу табабыз ($c_1 = 1$, $c_2 = 0$, $x_0 = 1$):

$$y_2 = y_1 \int \frac{1}{y_1^2(x)} \exp\left(-\int_{x_0}^x \frac{2}{s} ds\right) dx = x^2 \int \frac{1}{x^4} x^{-2} ds = x^2 \left(\frac{x^{-5}}{-5} + \tilde{c} \right) = \frac{1}{-5x^3},$$

мында $\tilde{c} = 0$ деп тандадык.

Анда $y_1 = x^2$, $y_2 = -\frac{1}{5}x^{-3}$ функциялары чыгарылыштардын фундаменталдуу системасын түзүштөт. Тенденциин $(0, +\infty)$ аралыгындагы жалпы чыгарылышы

$$y = c_1 x^2 + c_2 x^{-3}$$

түрүнө ээ, (мында c_1 , c_2 – турактуу чондуктар). c_1 жана c_2 нин маанилерин (3.5.17) баштапкы шарттарды колдонуп табабыз: $c_1 + c_2 = 1$, $2c_1 - 3c_2 = 0$.

Мындан $c_1 = \frac{3}{5}$, $c_2 = \frac{2}{5}$. Демек, (3.5.17) баштапкы шарттарды менен берилген Коши маселесинин чыгарылышы төмөнкү түрдө болот

$$y = \frac{3}{5}x^2 + \frac{2}{5}x^{-3}.$$

Эми берилген чыгарылыштардын фундаменталдык системааркылуу дифференциалдык тенденции түзүү маселесин чечели. $I = (a, b)$ кесиндицинде сыйыктуу көз каранды эмес n -тартипке чейин кошо бардык туундуларга ээ болгон

$$y_1(x), y_2(x), \dots, y_n(x), \quad (3.5.18)$$

функциялардын системасын карайлы. Анда

$$\begin{vmatrix} y_1(x) & y_2(x) & \dots & y_n(x) & y(x) \\ y'_1(x) & y'_2(x) & \dots & y'_n(x) & y'(x) \\ \vdots & \vdots & \ddots & \vdots & \vdots \\ y_1^{(n)}(x) & y_2^{(n)}(x) & \dots & y_n^{(n)}(x) & y^{(n)}(x) \end{vmatrix} = 0, \quad (3.5.19)$$

(мында $y(x)$ – белгисиз функция) тенденеси сзыктуу дифференциалдык тенденеме болот жана $y_1(x), y_2(x), \dots, y_n(x)$ функциялары анын чыгарылыштарынын фундаменталдык системасын түзөт. Эгерде аныктагычты ақыркы мамычанын элементтери боюнча ажыратсақ, анда (3.5.19) тенденесиндеги $y^{(n)}(x)$ тин алдындагы коэффициент (3.5.18) системасынын $W(y_1, y_2, \dots, y_n)$ Вронскийдин аныктагычы болот жана ал нөлдөн айырмалуу. Алынган тенденеменин эки жагын Вронскиянга бөлүп, (3.5.2) түрүндөгү тенденемени алабыз.

Мисал 3.5.4. $y_1(x) = e^x, y_2(x) = e^{-x}$ функциялары чыгарылыштарынын фундаменталдык системасы болгон дифференциалдык тенденемени түзгүлө.

Чыгаруу. (3.5.19) формуласын колдонобуз.

$$\begin{vmatrix} e^x & e^{-x} & y \\ e^x & -e^{-x} & y' \\ e^x & e^{-x} & y'' \end{vmatrix} = 0 \quad \text{же} \quad \begin{vmatrix} 1 & 1 & y \\ 1 & -1 & y' \\ 1 & 1 & y'' \end{vmatrix} = 0.$$

Аныктагычты ачып, $y'' - y = 0$ гө ээ болобуз. Бул изделген дифференциалдык тенденеме.

Мисал 3.5.5. $y_1 = x, y_2 = x^3$ функциялары кандайдыр бир экинчи тартиптеги бир тектүү тенденеменин чыгарылыштарынын фундаменталдык системасын түзөөрүн текшергиле жана $y(1) = 2, y'(1) = 1$ баштапкы шарттары менен ушул тенденеме үчүн Коши маселесинин чыгарылышын тапкыла.

Чыгаруу. Вронскийдин аныктагычын табалы

$$W(y_1, y_2) = \begin{vmatrix} x & x^3 \\ 1 & 3x^2 \end{vmatrix} = 3x^3 - x^3 = 2x^3.$$

Демек, $y_1 = x, y_2 = x^3$ функциялары коэффициенттери $x \neq 0$ болгондо үзгүлтүксүз функциялар болгон экинчи тартиптеги бир тектүү сзыктуу тенденеменин чыгарылышынын фундаменталдык система-сын түзүшөт. Бул тенденеменин жалпы чыгарылышы төмөнкү түрдө болот:

$y = c_1 x + c_2 x^3$, мында c_1, c_2 – турактуу чондуктар.

Коюлган Коши маселесин чыгарыш үчүн $y(1) = 2$, $y'(1) = 1$ баштапкы шарты аткарыла тургандай c_1 жана c_2 тұрактуулардың маанилерин аныктоо зарыл.

$$c_1 + c_2 = 2, \quad c_1 + 3c_2 = 1 \text{ болғанда, } c_1 = \frac{5}{2}, \quad c_2 = -\frac{1}{2} \text{ алабыз.}$$

Ошондуктан берилген Коши маселесинин чыгарылышы төмөнкү түргө ээ

$$y = \frac{5}{2}x - \frac{1}{2}x^3.$$

Мисал 3.5.6. $y_1 = x$, $y_2 = x^2$, $y_3 = e^x$ функциялары кандайдыр бир үчүнчү тартиптеги бир тектүү сзықтуу тенденциин чыгарылыштарынын фундаменталдық системасын түзөөрүн көрсөткүло.

Решение. $W(y_1, y_2, y_3)$ тү табабыз:

$$W(y_1, y_2, y_3) = \begin{vmatrix} x & x^2 & e^x \\ 1 & 2x & e^x \\ 0 & 2 & e^x \end{vmatrix} = -2 \begin{vmatrix} x & e^x \\ 1 & e^x \end{vmatrix} + e^x \begin{vmatrix} x & x^2 \\ 1 & 2x \end{vmatrix} =$$

$$= -2(xe^x - e^x) + e^x(2x^2 - x^2) = e^x[(x-1)^2 + 1] \neq 0, \forall x \in R.$$

Демек, берилген функциялар төмөнкү үчүнчү тартиптеги кандайдыр бир сзықтуу тенденциин чыгарылыштарынын фундаменталдық системасын түзөт:

$$y''' + a_1(x)y'' + a_2(x)y' + a_3(x)y = 0.$$

Мисал 3.5.7.

$$\frac{d^2y}{dx^2} + k^2y = f(x), \quad k \neq 0 \quad (3.5.20)$$

тенденесинин $x = 0$ болғанда изделген функциянын жана анын туундусунун нөлдүк баштапкы маанилериндеги чыгарылышы:

$$y(x) = \frac{1}{k} \int_0^x f(s) \sin k(x-s) ds$$

түрүндө болоорун далилдегиле.

Чыгаруу. $\sin kx$ жана $\cos kx$ тиешелүү бир тектүү тенденциин чыгарылыштарынын фундаменталдуу системасы болғондуктан, (3.5.20) бир тектүү эмес тендененин чыгарылышын

$$y(x) = c_1(x) \cos kx + c_2(x) \sin kx \quad (3.5.21)$$

түрүндө издейбиз.

Турактуу чондуктарды вариациялоо методу боюнча c_1 жана c_2 белгисиз функцияларды аныктоо үчүн төмөнкү сиситеманы алаңыз

$$\begin{cases} c'_1(x) \cos kx + c'_2(x) \sin kx = 0, \\ -k c'_1(x) \sin kx + k c'_2(x) \cos kx = f(x). \end{cases}$$

Бул системанын аныктагычы

$$W(\cos kx, \sin kx) = \begin{vmatrix} \cos kx & \sin kx \\ -k \sin kx & k \cos kx \end{vmatrix} = k, \quad k \neq 0.$$

Крамердин эрежеси боюнча:

$$\begin{cases} c'_1(x) = \frac{1}{k} \begin{vmatrix} 0 & \sin kx \\ f(x)k & \cos kx \end{vmatrix} = -\frac{1}{k} f(x) \sin kx \\ c'_2(x) = \frac{1}{k} \begin{vmatrix} \cos kx & 0 \\ -k \sin kx & f(x) \end{vmatrix} = \frac{1}{k} f(x) \cos kx. \end{cases}$$

Интегралдан, төмөнкүгө ээ болобуз:

$$\begin{cases} c_1(x) = -\frac{1}{k} \int_0^x f(s) \sin ks ds + \tilde{c}_1 \\ c_2(x) = \frac{1}{k} \int_0^x f(s) \cos ks ds + \tilde{c}_2. \end{cases} \quad (3.5.22)$$

(3.5.22) ни (3.5.21)ге коюп, төмөнкүнү алабыз

$$\begin{aligned} y(x) &= \tilde{c}_1 \cos kx + \tilde{c}_2 \sin kx + \frac{1}{k} \int_0^x (\sin ks \cos ks - \cos ks \sin ks) f(s) ds = \\ &= \tilde{c}_1 \cos kx + \tilde{c}_2 \sin kx + \frac{1}{k} \int_0^x \sin k(x-s) f(s) ds. \end{aligned}$$

Бул (3.5.20) тенденесинин жалпы чыгарылышы.

$y(0) = 0$ шартынан $0 = \tilde{c}_1 \cdot 1$ ди алабыз, б.а. $\tilde{c}_1 = 0$. Алынган жалпы чыгарылышты дифференциалдан, $y'(x) = -k \tilde{c}_2 \sin kx + k c'_2 \cos kx$ ке ээ болобуз. $y'(0) = 0$ шартынан $\tilde{c}_2 = 0$ келип чыгат. Анда изделген чыгарылыш төмөнкүчө болот

$$y(x) = \frac{1}{k} \int_0^x f(s) \sin k(x-s) ds.$$

Өз алдынча иштөө үчүн көнүгүүлөр

№ 118. Берилген функциялар өзүлөрү аныктаалган областта сыйыктуу көз каранды болоорун изилдегиle:

- | | |
|----------------------|--------------------------|
| а) $4, x.$ | г) $x, 2x, x^2.$ |
| б) $\cos x, \sin x.$ | д) $e^x, xe^x, x^2 e^x.$ |
| в) $1, \cos x.$ | |

№ 119. Көрсөтүлгөн функциялар системасы үчүн Вронскийдин аныктаагычын тапкыла.

- | | |
|----------------------|-----------------------|
| а) $1, x;$ | б) $1, 2, x^2.$ |
| б) $x, \frac{1}{x}.$ | г) $e^{-x}, xe^{-x}.$ |

Берилген функциялар системасы чыгарылыштарынын фундаменталдык системасын түзө турган дифференциалдык тенденмелерди түзгүлө.

№ 120. $y_1(x) = x, y_2(x) = e^x.$

№ 121. $y_1(x) = shx, y_2(x) = chx,$ мында $chx = \frac{e^x + e^{-x}}{2}, shx = \frac{e^x - e^{-x}}{2}.$

№ 122. $y_1(x) = 1, y_2(x) = x, y_3(x) = x^2.$

№ 123. $y_1(x) = x, y_2(x) = \sin x, y_3(x) = \cos x.$

№ 124. $y_1(x), y_2(x)$ – экинчи тартиптеги бир тектүү дифференциалдык $a_0(x)y'' + a_1(x)y' + a_2(x)y = 0$ тенденменин чыгарылыштарынын фундаменталдык системасы болсун. $a_0(x), a_1(x), a_2(x)$ коэффициенттерин $y_1(x)$ жана $y_2(x)$ аркылуу туюнтула.

№ 125. w га карата кандай шартта $\frac{d^2y}{dx^2} + y = \cos wx$ тенденесинин жалпы чыгарылышы кылымдык мүчөгө ээ болбойт?

Аныктама. Мезгилдүү функция менен көз каранды эмес өзгөрмөнүн даражасынын көбөйтүндүсү түрүнө ээ болгон мүчө кылымдык мүчө деп аталат.

№ 126. k нын кандай маанилеринде

$$\frac{d^2y}{dx^2} + k^2 y = \cos 2x$$

тенденесинин жалпы чыгарылышы кылымдык мүчөгө ээ болбойт?

$$y'' - \frac{y'}{2x} - \frac{1}{x^2} y = 0$$

тендемеси $y_1 = x^2$ чыгарылышка ээ. Бул тенденциин жалпы чыгарылышын тапкыла.

§3.6. Турактуу коэффициенттүү n -тартиптеги сыйыктуу дифференциалдык тенденмелер

Турактуу коэффициенттүү n -тартиптеги сыйыктуу тендененин чыгарылышы экинчи тартиптеги тендененин чыгарылышына окшош табылат. Ошондуктан биз кыскача гана көрсөтмөлөргө токтолуп кетебиз.

n -тартиптеги бир тектүү тенденми карайлы:

$$y^{(n)} + a_1 y^{(n-1)} + a_2 y^{(n-2)} + \dots + a_{n-1} y' + a_n y = 0, \quad (3.6.1)$$

мында $a_1, a_2, \dots, a_{n-1}, a_n$ – чыныгы турактуу сандар.

n - даражадагы

$$\lambda^n + a_1 \lambda^{n-1} + a_2 \lambda^{n-2} + \dots + a_{n-1} \lambda + a_n = 0$$

алгебралык тенденме n - тартиптеги бир тектүү тенденме үчүн мүнөздөгүч тенденме деп аталат. Каалаган n тартип үчүн $n = 2$ болгондо алынган сүйлөмдү жалпылоочу төмөнкү сүйлөм орун алат

- 1) Мүнөздөгүч тендененин ар бир k - эселүү λ чыныгы тамырына $e^{\lambda x}, x e^{\lambda x}, \dots, x^{k-1} e^{\lambda x}$ көрүнүштөгү k айрым чыгарылыш туура келет;
- 2) Мүнөздөгүч тендененин ар бир t эселүү комплекстүү - түйүндөш $\lambda_1 = \alpha + i\beta, \lambda_2 = \alpha - i\beta, \beta \neq 0$ тамырларына төмөнкү түрдөгү $2t$ айрым чыгарылыштар туура келет:

$$e^{\beta x} \cos \beta x, x e^{\alpha x} \cos \beta x, \dots, x^{t-1} e^{\alpha x} \cos \beta x,$$

$$e^{\alpha x} \sin \beta x, x e^{\alpha x} \sin \beta x, \dots, x^{t-1} e^{\alpha x} \sin \beta x.$$

Бардык тамырлардын эселиринин жалпы суммасы мүнөздөгүч тендененин даражасы n ге барабар болушу керек,

ошондуктан бардык айрым чыгарылыштардын саны тенденциин тартиби менен дал келет.

Көрсөтүлгөн айрым чыгарылыштар сыйыктуу көз каранды эмес экендигин, б.а. бул чыгарылыштар фундаменталдык системаны түзөөрүн биз далилдебейбиз. Берилген тенденциин жалпы чыгарылышын табуу үчүн көрсөтүлгөн айрым чыгарылыштардын сыйыктуу комбинациясын алуу керек.

Мисал 3.6.1. $y^{(IV)} + 2y'' + y = 0$.

Чыгаруу. Мүнөздөгүч тенденции $\lambda^4 + 2\lambda^2 + 1 = 0$ же $(\lambda^2 + 1)^2 = 0$ түрүнө ээ.

Мындан $\lambda_1 = \lambda_2 = i$, $\lambda_3 = \lambda_4 = -i$. Ошондуктан берилген тенденциин жалпы чыгарылышы мындайча жазылат:

$$y = (c_1 + c_2 x) \cos x + (c_3 + c_4 x) \sin x.$$

Бир тектүү эмес

$$y^{(n)} + a_1 y^{(n-1)} + \dots + a_{n-1} y' + a_n y = f(x), \quad (3.6.2)$$

тенденциин айрым чыгарылышын табуу, мында $f(x) = e^{\alpha x} [p_1(x) \cos \beta x + p_2(x) \sin \beta x]$, бир тектүү эмес экинчи тартиптеги тенденции үчүн колдонулган эрежелер буюнча жүргүзүлөт (§ 3.3.3⁰).

Демек, (3.6.2) тенденеси төмөнкү түрдөгү айрым чыгарылышка ээ экен:

$$y = x^k e^{\alpha x} [R_1(x) \cos \beta x + R_2(x) \sin \beta x]$$

мында $R_1(x)$, $R_2(x)$ көп мүчөлөрү даражалары $p_1(x)$, $p_2(x)$ көп мүчөлөрүнүн жогорку даражасына барабар болгон көп мүчөлөр, ал эми k болсо $\alpha \pm i\beta$ нын мүнөздөгүч тенденциин тамырларына кирген эселиги. Эгерде $\alpha \pm i\beta$ мүнөздөгүч тенденциин тамырлары болбосо, анда k ны нөлгө барабар деп алабыз. Эгерде тенденциин он жагы $f(x)$ көрсөтүлгөн түрдөгү функция болбосо, анда турактуу чондуктарды вариациялоо методун колдонуу керек.

Өз алдынча иштөө үчүн көнүгүүлөр

Төмөнкү тенденмелердин жалпы чыгарылышын тапкыла:

$$\text{№ 128. } y^{(V)} + y^{(IV)} + 2y''' + 2y'' + y' + y = 0.$$

$$\text{№ 129. } y''' - 5y'' + 6y' = 0.$$

№ 130. $y''' - 2y'' + 4y' - 8y = 0$, ($\lambda_1 = 2$).

№ 131. $y''' + y'' = 0$.

№ 132. Айрым чыгарылыштардын түрүн аныктагыла (коэффициенттердин сандык маанилерин табуунун кажети жок):

a) $y''' + y'' + y' + qy = 2$.

б) $y''' + 2y'' + y' = (2x + 12) \sin x + (x^2 - 4x) \cos x$.

в) $y''' - y' = e^x \sin x + 2x^2$.

§ 3.7. Эйлердин дифференциалдык теңдемелери

$$x^n y^{(n)} + a_1 x^{n-1} y^{(n-1)} + \dots + a_{n-1} x y' + a_n y = f(x), \quad x \neq 0, \quad (3.7.1)$$

(мында a_i ($i=1, 2, \dots, n$) – турактуу сандар), түрүндөгү теңдеме Эйлердин теңдемеси деп аталаат жана ал өзгөрмөлүү коэффициенттүү сыйкытуу дифференциалдык теңдеменин айрым учуро болот. $x = e^t$ (эгерде $x > 0$) же болбосо $x = e^{-t}$ (эгерде $x < 0$) ордуна коюунун жардамы менен жаңы t көз каранды эмес өзгөрмөнү киргизебиз. Тактык үчүн $x > 0$ болсун дейли. Анда

$$\begin{aligned} y' &= \frac{dy}{dx} = \frac{\frac{dy}{dt}}{\frac{dx}{dt}} = e^{-t} \frac{dy}{dt}, \\ y'' &= \frac{dy'}{dx} = \frac{\frac{dy'}{dt}}{\frac{dx}{dt}} = \frac{\left(\frac{d^2 y}{dt^2} - \frac{dy}{dt}\right)e^t}{e^t} = e^{-2t} \left(\frac{d^2 y}{dt^2} - \frac{dy}{dt}\right) \end{aligned}$$

ж.б., Эйлердин теңдемеси турактуу коэффициенттүү сыйкытуу теңдемеге айланат.

Эскертуү.

$$(ax + b)^n y^{(n)} + a_1 (ax + b)^{n-1} y^{(n-1)} + \dots + a_{n-1} (ax + b) y' + a_n y = f(x)$$

(мында a, b, a_i ($i = 1, 2, \dots, n$) – турактуу сандар) түрүндөгү теңдеме да Эйлердин теңдемеси деп аталаат жана $ax + b = e^t$ ($ax + b > 0$ областында) өзгөрмөсүн алмаштыруу менен турактуу

коэффициенттүү бир тектүү сыйыктуу тенденциине алыш келинет. Эйлердин бир тектүү

$$x'' y^{(n)} + a_1 x^{n-1} y^{(n-1)} + \dots + a_{n-1} x y' + a_n y = 0$$

тенденесинин айрым чыгарылышын $y = x^{\lambda}$ түрүндө издеөгө болот. $y', y'', \dots, y^{(n)}$ үчүн туонтмаларды Эйлердин бир тектүү тенденесине кооп, λ нын даражасынын көрсөткүчтөрүн аныктоо үчүн мүнөздөгүч тенденени табабыз. Мында, эгерде $\lambda -$ мүнөздөгүч тендененин k эселүү чыныгы тамыры болсо, анда ага k сыйыктуу көз каранды эмес чыгарылыштары $x^{\lambda}, x^{\lambda} \ln x, x^{\lambda} (\ln x)^2, \dots, x^{\lambda} (\ln x)^{k-1}$ туура келет, эгерде $\lambda_{1,2} = \alpha \pm i\beta - t$ эселүү комплекстүү түйүндөш болсо, анда ага t түгөй сыйыктуу көз каранды эмес чыгарылыштар дал келет

$$x^{\alpha} \cos(\beta \ln x), x^{\alpha} \ln x \cos(\beta \ln x), \dots, x^{\alpha} (\ln x)^{t-1} \cos(\beta \ln x),$$

$$x^{\alpha} \sin(\beta \ln x), x^{\alpha} \ln x \sin(\beta \ln x), \dots, x^{\alpha} (\ln x)^{t-1} \sin(\beta \ln x),$$

Мисал 3.7.1. Эйлердин

$$x^2 y'' - 3xy' + 5y = 0 \quad (3.7.2)$$

тенденесинин жалпы чыгарылышын тапкыла.

Чыгаруу. Биринчи ыкма. $x = e^t, x > 0$ дейли. Анда

$$y'_x = e^{-t} y'_t, y''_x = e^{-2t} (y''_t - y'_t).$$

(3.7.2) тенденесинен төмөнкүнү алабыз

$$e^{2t} e^{-2t} (y''_t - y'_t) - 3e^t e^{-t} \cdot y'_t + 5y = 0 \text{ же } y''_t - 4y'_t + 5y = 0.$$

Мүнөздөгүч тендененин тамырлары $\lambda_{1,2} = 2 \pm i$ жана тендененин жалпы чыгарылышы $y = e^{2t} (c_1 \cos t + c_2 \sin t)$ түрдө болот. Бирок, $x = e^t$ болгондуктан, $y = x^2 (c_1 \cos \ln x + c_2 \sin \ln x)$ болот.

Эгерде $x < 0$ учурун эсепке алсак, анда жалпы чыгарылышты

$$y = x^2 (c_1 \cos \ln |x| + c_2 \sin \ln |x|)$$

түрүндө жазууга болот.

Экинчи ыкма. Берилген тендененин жалпы чыгарылышын $y = x^{\lambda}$, мында λ – белгисиз сан, түрүндө издейли. $y' = \lambda x^{\lambda-1}$, $y'' = \lambda(\lambda-1)x^{\lambda-2}$ ни табабыз. Анда тенденеге кооп,

$$x^2 \lambda(\lambda-1)x^{\lambda-2} - 3x \lambda x^{\lambda-1} + 5x^{\lambda} = 0$$

$$\text{же } x^{\lambda} [\lambda(\lambda-1) - 3\lambda + 5] = 0 \text{ ду алабыз.}$$

Бирок, $x^{\lambda} \neq 0$ болгондуктан, $\lambda(\lambda - 1) - 3\lambda + 5 = 0$, же $\lambda^2 - 4\lambda + 5 = 0$ болот. Бул тенденциин тамырлары: $\lambda_1 = 2 + i$, $\lambda_2 = 2 - i$. Аларга төмөнкү чыгарылыштардың фундаменталдық системасы туура келет:

$$y_1 = x^{\lambda_1} = x^2 \cos \ln |x|; \quad y_2 = x^{\lambda_2} = x^2 \sin \ln |x|.$$

Демек, жалпы чыгарылыш төмөнкү түрдө болот:

$$y = x^2 (c_1 \cos \ln |x| + c_2 \sin \ln |x|).$$

Мисал 3.7.2. Берилген

$$(x+2)^2 y'' - 4(x+2) y' + 6y = 0$$

тенденесинин жалпы чыгарылышинын тапкыла.

Чыгаруу. $y = (x+2)^{\lambda}$ десек, анда $y' = \lambda(x+2)^{\lambda-1}$, $y'' = \lambda(\lambda-1)(x+2)^{\lambda-2}$. y , y' , y'' туюнталарды берилген тенденеге коюп, тамырлары $\lambda_1 = 2$, $\lambda_2 = 3$ болгон $\lambda^2 - 5\lambda + 6 = 0$ мүнөздөгүч тенденени алабыз. Демек, жалпы чыгарылыш $y = c_1(x+2)^2 + c_2(x+2)^3$ функциясы болот.

$$y^{(n)} + a_1 x^{n-1} y^{(n-1)} + \dots + a_{n-1} x y' + a_n y = x^\alpha p_m(\ln x),$$

(мында $p_m(u)$ – даражасы m болгон көп мүчө), түрүндөгү Эйлердин бир тектүү эмес тенденесин он жагы $e^{\alpha x} p_m(x)$ түрдө болгон тураттуу коэффициенттүү бир тектүү эмес сзызктуу дифференциалдык тендененин чыгарылышинын тандоо методуна оқшош чыгарса болот.

Мисал 3.7.3. Эйлердин

$$x^2 y'' + xy' - 4y = x \ln x$$

тенденесинин жалпы чыгарылышинын тапкыла.

Чыгаруу. Мүнөздөгүч $\lambda(\lambda-1) + \lambda - 4 = 0$, $\lambda^2 - 4 = 0$, $\lambda_1 = 2$, $\lambda_2 = -2$ тенденеси тамырларына ээ. Ошондуктан тиешелүү бир тектүү тендененин жалпы чыгарылыши $\tilde{y} = c_1 x^2 + c_2 x^{-2}$ болот. Айрым чыгарылышты $\tilde{y} = x(A \ln x + B)$ түрүндө издейли.

Төмөнкүнү алабыз

$$\tilde{y}' = A \ln x + B + A, \quad \tilde{y}'' = A/x.$$

Баштапкы тенденеге коюп,

$$A x^2 + x(A \ln x + B + A) - 4x(A \ln x + B) = x \ln x, \quad \text{же} \quad -3A x \ln x + 2A x - 3B x = x \ln x \quad \text{ти алабыз. Мындан} \quad A = -1/3, B = -2/9.$$

Демек, $\tilde{y} = -x((1/3)\ln x + 2/9)$. Жалпы чыгарылышы
 $y = c_1 x^2 + c_2 x^{-2} - (1/9) \times (3 \ln x + 2)$ болот.

Өз алдынча иштөө үчүн көнүгүүлөр

Эйлердин сзыяктуу тенденесинин жалты чыгарылышын тапкыла:

$$\text{№ 133. } x^2 y'' - 3xy' + 3y = 0.$$

$$\text{№ 134. } x^2 y'' + xy' - (1/4)y = 0.$$

$$\text{№ 135. } x^2 y'' + xy' + 4y = 0.$$

$$\text{№ 136. } x^2 y'' + y = 0.$$

$$\text{№ 137. } x^2 y'' - xy' + y = 6x \ln x.$$

$$\text{№ 138. } x^2 y'' - xy' + 2y = x \ln x.$$

§3.8. Четтик маселелер

Жөнөкөйлүк үчүн экинчи тартиптеги тенденемени карайлышы
 $y'' + a_1(x) y' + a_2(x) y = f(x)$. (3.8.1)

$a_1(x)$ жана $a_2(x)$ коэффициенттерин кандайдыр бир (a, b) интервалында үзгүлтүксүз деп эсептейбиз. Анда (3.8.1) тенденесинин ар бир чыгарылышы бардык бул интервалда аныкталат.

Баштапкы шарттын берилиши (3.8.1) тенденесинин чыгарылышынын чексиз көптүгүнөн керектүү айрым чыгарылышты тандаап алууга мүмкүндүк берет (Коши маселеси) (§3.1 карагыла).

(3.8.1) тенденмелер үчүн $y|_{x=x_1} = y_1$, $y|_{x=x_2} = y_2$ четтик (четкитик) шартты берүү жолу менен айрым чыгарылыш ажыратылат.

Математикалык физикадагы тенденмелер курсунда мындан жалпы маселелер кездешет.

Мисал 3.8.1. $y|_{x=1} = 0$, $y|_{x=2} = 1$ четтик шарттарда

$y'' = x$ тенденесин чыгарыла.

Чыгаруу. Тендененин жалпы чыгарылышы: $y = x^2/6 + c_1 x + c_2$ (§3.1ди кара).

Берилген шарттарды коюп, турактуу чондуктарды табуу үчүн эки тенденеден турган системаны түзөбүз

$$\begin{cases} \frac{1}{6} + c_1 + c_2 = 0 \\ \frac{4}{3} + 2c_1 + c_2 = 1. \end{cases}$$

Мындан, $c_1 = -1/6$, $c_2 = 0$ жана айрым чыгарылышы мындай:
 $y = x^2/6 - x/6$.

Мындан ары (3.8.1) тенденесинин ордуна

$$[p(x)y']' + q(x)y = f(x), \quad p(x) > 0. \quad (3.8.2)$$

тенденесин карайбыз. (3.8.1) жана (3.8.2) тенденелерин бири-бирине өзгөртүп түзсө болот. (3.8.2) түрүндөгү тенденелер өзүнө-өзү түйүндөш деп аталашат.

(3.8.2) тенденеси жана (a, b) интервалы үчүн четтик шарттарынын жалпы көрүнүшү төмөнкүчө:

$$\begin{cases} \alpha_0 y(a) + \alpha_1 y'(a) = A \\ \beta_0 y(b) + \beta_1 y'(b) = B, \end{cases} \quad (3.8.3)$$

мында $\alpha_0, \alpha_1, \beta_0, \beta_1$ – бир убакытта нөлгө барабар эмес, берилген түрактуу сандар. Эгерде $A=B=0$ болсо, анда четтик шарттар бир тектүү деп аталаат. Мисалы

- 1) $y(a) = y(b) = 0,$
- 2) $\alpha_0 y(a) = y'(a), \quad y'(b) = -\beta y(b), \quad \alpha_0 \beta > 0.$
- 3) $y'(a) = y'(b) = 0.$
- 4) $y(a) = y(b), \quad y'(a) = y'(b).$

Мисал 3.8.2. Четтик $y''=0, \quad y(0)-y(\pi)=1, \quad y'(0)+y'(\pi)=0$ маселесин чыгаргыла.

Чыгаруу. Берилген тендененин жалпы чыгарылышы төмөнкү түргө ээ

$$y(x) = c_1 x + c_2,$$

мында c_1 жана c_2 – каалагандай түрактуу сандар. Жалпы чыгарылыштан четтик шарттарды канаттандырган айрым чыгарылышты бөлүп алабыз:

$$\begin{cases} c_2 - (c_1 \pi + c_2) = 1 \\ c_1 + c_1 = 0. \end{cases}$$

Бул система чыгарылышка ээ эмес. Демек, коюлган четтик маселе бир да чыгарылышка ээ эмес.

Мисал 3.8.3. Четтик маселени чыгаргыла

$$y'' - \lambda y = 0, \quad y(0) = y(\pi) = 0 \quad (\lambda - \text{параметр}).$$

Чыгаруу. Эгерде $\lambda = 0$ болсо, анда $y = c_1 x + c_2$ жана четтик шартты тривиалдуу чыгарылыш гана канааттандырат.

Эгерде $\lambda < 0$ болсо, анда $y'' - \lambda y = 0$ тенденесинин жалпы чыгарылышы $y = c_1 e^{\sqrt{-\lambda}x} + c_2 e^{-\sqrt{-\lambda}x}$. Ушул функциялардын ичинен берилген четтик шарттарды $y = 0$ канааттандырат.

Эгерде $\lambda > 0$ болсо, анда $y'' - \lambda y = 0$ тенденесинин жалпы чыгарылышы

$$y = c_1 \sin \sqrt{-\lambda} x + c_2 \cos \sqrt{-\lambda} x.$$

Буларды четтик шарттарга коюп, $c_2 = 0$, $c_1 \sin(\sqrt{-\lambda}\pi) = 0$ ду алаңыз.

Ошентип, берилген четтик маселе, эгерде $\sqrt{-\lambda}\pi = k\pi$, б.а.

$\lambda = -k^2$, $k = 1, 2, \dots$ болсо нөлдүк эмес чыгарылышка ээ болот, б.а. λ тесkeri белгиси менен алынган k бүтүн санынын квадраты: $\lambda = -k^2$ болгон учурда гана четтик шарттар аткарылат. Тиешелүү чыгарылыштар $y_k = \sin kx$ функциялары болуп саналат.

3.8.3 мисалда көрсөткөндөй, эгерде q (3.8.2) тенденесинде x тен эле эмес, λ параметринен да функция болсо, анда кандайдыр бир шарттарда (3.8.2) тенденеси үчүн бир тектүү четтик маселе - нөлдүк эмес чыгарылышка ээ болгон параметрдин маанилери табылат. λ нын бул маанилери - өздүк маанилөр деп аталат, ал эми четтик маселени аларга туура келген чыгарылыштары - өздүк функциялар деп аталат. Бул өздүк функциялар турактуу чондук болгон көбөйтүүчүсүнө чейинки тактыкта аныкталат.

$y'' - \lambda y = 0, \quad y(0) = y(\pi) = 0$ четтик маселе үчүн $-1^2, -2^2, -3^2, \dots$ сандары жана $\sin x, \sin 2x, \dots$ функциялары маселенин өздүк маанилери жана өздүк функциялары болуп саналышат.

Качан гана λ_0 өздүк мааниге эки же андан көп сыйыктуу көз каранды эмес өздүк функциялар жооп бергенде жөнөкөй өздүк маа-

нилер менен катар (б.а. бир өздүк мааниге бир өздүк функция (туркестанда көбөйтүүчүсүнө чейинки тактыкта) жооп бергенде) эселүү өздүк маанилер жашайт.

Мисал 3.8.4. Төмөнкү четтик маселенин өздүк маанилерин жана өздүк функцияларын тапкыла

$$y'' + \lambda^2 y = 0 \quad (\lambda \neq 0), \quad (3.8.4)$$

$$y'(0) = 0, \quad y(\pi) = 0. \quad (3.8.5)$$

Чыгаруу. (3.8.4)төндөмөсинин жалпы чыгарылышы:

$$y(x) = c_1 \cos \lambda x + c_2 \sin \lambda x. \quad (3.8.6)$$

Мындан

$$y'(x) = -c_1 \lambda \sin \lambda x + c_2 \lambda \cos \lambda x. \quad (3.8.7)$$

(3.8.6) да $x = \pi$ жана (3.8.7)де $x = 0$ деп жана (3.8.5) шарттарын эске алып, c_1 жана c_2 ни табуу үчүн төмөнкү бир тектүү сыйыктуу системаны алабыз

$$\begin{cases} c_1 \cos \lambda \pi + c_2 \sin \lambda \pi = 0 \\ c_2 \lambda = 0. \end{cases} \quad (3.8.8)$$

(3.8.8) системасы анын аныктагычы нөлгө барабар болгондо

$$\begin{vmatrix} \cos \lambda \pi & \sin \lambda \pi \\ 0 & \lambda \end{vmatrix} = 0 \quad \text{же} \quad \lambda \cos(\lambda \pi) = 0$$

жана так ошондо гана нөлдүк эмес чыгарылышка ээ болот.

Шарт боюнча $\lambda \neq 0$, анда $\lambda \cos(\lambda \pi) = 0$ болот. Демек, өздүк маанилер төмөнкүгө барабар: $\lambda = \lambda_k = \frac{2k+1}{2}\pi$, $k = 0, 1, 2, \dots$

Аларга турактуу чондугу биргэ барабар деп алган көбөйтүүчүсүнө чейин тактыкта өздүк маанилер туура келет:

$$y_k(x) = \cos \frac{2k+1}{2} x,$$

жана алар (3.8.4)–(3.8.5) четтик маселенин чыгарылыштары болот.

Мисал 3.8.5. Четтик «пределдик» маселени чыгарыла:

$$x^2 y'' + xy' - 4y = 0; \quad y(1) = 1;$$

$x \rightarrow 0$ да $y(x)$ функциясы чектелет.

Чыгаруу. Берилген тенденце Эйлердин тенденмеси болуп саналат. Анын жалпы чыгарылышы төмөнкү түрдө болот

$$y(x) = c_1 x^2 + c_2 x^{-2}$$

(3.7.3 мисалды карагыла). $x \rightarrow 0$ да $y(x)$ чыгарылышы шарт боюнча чектелген болушу керек. Эгерде жалпы чыгарылышта $c_2 = 0$ деп алсак, бул талап аткарылат. Анда $y(x) = c_1 x^2$ ны алабыз. $y(1) = 1$ четтик шарты $c_2 = 0$ экенин берет. Демек, изделген чыгарылыш: $y(x) = x^2$.

Аныктама. $x \in [a, b]$, $s \in (a, b)$ болгондо аныкталган жана ар бир фиксиленген $s \in (a, b)$ үчүн төмөнкү касиеттерге ээ болгон $G(x, s)$ функциясын (3.8.2), (3.8.3) бир тектүү чектик маселесинин Грин функциясы деп атайдыз:

1) $x \neq s$ болгондо, $G(x, s)$ функциясы төмөнкү тенденени канааттандырат

$$[p(x)y']' + q(x)y = 0; \quad (3.8.9)$$

2) $x = a$, $x = b$ чекиттеринде $G(x, s)$ функциясы (3.8.3) четтик шарттарды канааттандырат;

3) $x = s$ болгондо, $G(x, s)$ функциясы x боюнча үзгүлтүксүз, ал эми анын туундусу биринчи түрдөгү үзгүлтүккө учурдай жана анын секириими $\frac{1}{p(s)}$ ге барабар, б.а.

$$G(s+0, s) = G(s-0, s), G'_x(s+0, s) - G'_x(s-0, s) = \frac{1}{p(s)}. \quad (3.8.10)$$

(3.8.2), (3.8.3) четтик маселенин Грин функциясын табуу үчүн тиешелүү түрдө биринчи жана экинчи (3.8.3) четтик шартын канааттандырган (3.8.9) бир тектүү тендененин ($y(x) = 0$ дон айырмалуу) $y_1(x)$, $y_2(x)$ эки чыгарылышын табуу керек.

Эгерде $y_1(x)$ бир убакта эки четтик шартты канааттандырбаса, анда Грин функциясы $G(x, s)$ жашайт жана аны төмөнкү түрдө издеөөгө болот:

$$G(x,s) = \begin{cases} \varphi(s)y_1(x), & a \leq x \leq s, \\ \psi(s)y_2(x), & s \leq x \leq b, \end{cases} \quad (3.8.11)$$

мында $\varphi(s)$ жана $\psi(s)$ функциялары (3.8.10) шарттын канааттандыргандай тандалат, б.а.

$$\psi(s)y_2(s) = \varphi(s)y_1(s), \quad \psi(s)y_2'(s) - \varphi(s)y_1'(s) = \frac{I}{p(s)}.$$

Эгерде Грин функциясы $G(x,s)$ табылса, анда (3.8.2), (3.8.3) четтик маселенин чыгарылышы төмөнкү формула аркылуу аныкталат [14]:

$$y(x) = \int_a^b G(x,s)f(s)ds.$$

Мисал 3.8.6.

$y'' = f(x)$, $y(-1) = y(0) = 0$, $-1 \leq x \leq 0$ четтик маселе үчүн Грин функциясын тургузтуу.

Чыгаруу. $y'' = 0$ тенденесинин жалпы чыгарылышы:

$y = c_1 + c_2x$. $y(-1) = 0$ шарттын, мисалы $y_1(s) = 1 + s$ чыгарылышы, ал эми экинчи четтик шартты $y_2(x) = x$ чыгарылыш канааттандырат.

(3.8.11) формуласын колдонообуз

$$G(x,s) = \begin{cases} \varphi(s)(1+s), & -1 \leq x \leq s, \\ \psi(s)x, & s \leq x \leq 0, \end{cases}$$

мында $\varphi(x)$ жана $\psi(x)$ функциялары

$$\begin{cases} \psi(s)s = \varphi(s)(1+s), \\ \psi(s) - \varphi(s) = I \end{cases}$$

шарттарынан аныкталат. Мында $\varphi(s) = s$, $\psi(s) = (1+s)$. Ошен тип, изделген Грин функциясы төмөнкү түрдө болот

$$G(x,s) = \begin{cases} (1+s)s, & -1 \leq x \leq s, \\ x(1+s), & s \leq x \leq 0. \end{cases}$$

$G(x,s)$ функциясын түзүп, берилген четтик маселенин чыгарылышын төмөнкүдөй жазабыз:

$$y(x) = \int_{-1}^0 G(s, x) f(s) ds = x \int_{-1}^x (1+s) f(s) ds + (1+x) \int_x^0 s f(s) ds.$$

Чындығында, дифференциалдан төмөнкүнү алабыз

$$y' = x(1+x)f(x) - (1+x)xf(x) + \int_{-1}^x (1+s) ds + \int_x^0 s f(s) ds.$$

Мындан дагы бир жолу дифференциалдан төмөнкүгө ээ болобуз

$$y'' = x(1+x)f(x) - xf(x) = f(x).$$

Өз алдынча иштөө үчүн көнүгүүлөр

Четтик маселелерди чыгаргыла:

№ 139. $y'' - y' = 0, \quad y'(0) = 0, \quad y(1) = 1.$

№ 140. $y'' + y = 0, \quad y(0) = 0, \quad y\left(\frac{\pi}{2}\right) = \alpha.$

№ 141. $y'' - 2y' + 2y = 0, \quad y(0), \quad y'(\pi) = e^\pi.$

№ 142. $y'' + \lambda^2 y = 0, \quad y'(0) = 0, \quad y'(\pi) = 0$

№ 143. $xy'' + y' = 0, \quad y(1) = \alpha, \quad y'(1), \quad y(x)$ функциясы $x \rightarrow 0$ учурда чектелген.

№ 144. $y'' + (\lambda - w^2)y = 0, \quad y(0) = y(1), \quad y'(0) = y'(1).$

$\lambda - w^2 < 0, \quad \lambda - w^2 = 0, \quad \lambda - w^2 > 0$ учурларын карагыла.

№ 145. Четтик маселенин өздүк маанилерин жсана өздүк функцияларын тапкыра

$$y'' = \lambda y, \quad y'(0) = y(l) = 0, \quad l > 0.$$

№ 146. Жалтыланган четтик маселе үчүн Грин функциясын тургузгула

$$y'' - y = f(x), \quad y(x) \text{ бардык } x \in (-\infty, \infty) \text{ да чектелген.}$$

№ 147. Четтик маселе үчүн Грин функциясын тургузгула

$$y'' = f(x), \quad y(0) = 0, \quad y(l) = 0, \quad 0 \leq x \leq l.$$

§ 3.9. Даражалуу катарлардын жардамы менен интегралдоо

Бул параграфта тенденциин коэффициенттери аналитикалык функциялар болгон учур үчүн, б.а. даражалуу катарлар түрүндө берилсе, анда даражалуу катарлар теориясынын жардамы менен дифференциалдык тенденмелерди чыгаруунун методдорун көрсөтөбүз.

1⁰. Чыгарылышты даражалуу катарга ажыратуу

Экинчи тартиптеги

$$y'' + a_1(x)y' + a_2(x)y = 0 \quad (3.9.1)$$

тенденциин мисалында даражалуу катарлар теориясынын колдонуулушун көргөзөбүз. Мында a_1 жана a_2 төмөнкү даражалуу катарларга ажыратылат:

$$a_1(x) = \sum_{r=0}^{\infty} p_r x^r, \quad a_2(x) = \sum_{r=0}^{\infty} q_r x^r. \quad (3.9.2)$$

Чыгарылышты ушундай эле даражалуу катар түрүндө издейли

$$y = \sum_{r=0}^{\infty} c_r x^r. \quad (3.9.3)$$

c_i коэффициенттери аныкталбаган коэффициенттер методу аркылуу табылат. y, y', y'' манилерин (3.9.1) тенденесине коюп жана x тин бирдей даражаларындагы коэффициенттерди нөлгө баралап; c_i коэффициенттерин аныктоо үчүн рекурренттүү тенденмелерди алабыз:

$$\begin{array}{l|l} x^0 & 2 \cdot 1 \cdot c_2 + p_0 c_1 + q_0 c_0 = 0, \\ x^1 & 3 \cdot 2 \cdot c_3 + 2p_0 c_2 + p_1 c_1 + q_0 c_2 + q_1 c_0 = 0, \\ x^2 & 4 \cdot 3 \cdot c_4 + 3p_0 c_3 + 2p_1 c_2 + p_2 c_1 + q_0 c_1 + q_1 c_1 + q_2 c_0 = 0, \end{array} \quad (3.9.4)$$

(3.9.4) тенденесинин ар бир кийинки тенденеси алдынкысынан бир изделүүчү коэффициентти ашыгыраак кармайт. c_0 жана c_1 коэффициенттери каалагандай сан боюнча кала берет жана эркин турактуу чондуктардын ролун аткарат. (3.9.4) тенденмелердин биринчиси c_2 ни берет, экинчиси c_3 ту, үчүнчүсү c_4 ту ж.б.у.с.

Жалпысынан c_0, c_1, \dots, c_{r-1} ди билип, $(r+1)$ -төндөмесинен c_{r-2} ни аныктоого болот.

$y_1(x), y_2(x)$ эки айрым чыгарылышты алуу үчүн, $y_1(x)$ үчүн $c_0 = 1, c_1 = 0$ маанилерин, ал эми $y_2(x)$ үчүн $c_0 = 0, c_1 = 1$ маанилерин кабыл алабыз, булар

$$y_1(0) = 1, y'_1(0) = 0, y_2(0) = 0, y'_2(0) = 1$$

баштапкы шарттары менен төн күчтө болот. Ал (3.9.1) төндөмесинин ар кандай башка чыгарылышы $y_1(x), y_2(x)$ чыгарылыштарынын сыйыктуу комбинациясы болот.

Эгерде баштапкы шарттар $y(0) = A, y'(0) = B$ түрүнө ээ болсо, анда

$$y = Ay_1(x) + By_2(x).$$

Төмөнкү теорема орун алат [7]:

Теорема 3.9.1. Эгерде (3.9.2) катарлары $|x| < d_0$ болгондо жыйналышса, анда жогоруда көрсөтүлгөн ыкма боюнча түзүлгөн (3.9.3) даражалуу катары x тин ушул эле маанилеринде жыйналат жана (3.9.1)дин чыгарылышы болот.

Айрым учурда, эгерде $a_1(x)$ жана $a_2(x) - x$ төн көп мүчө болсо, анда (3.9.3) катары x тин каалагандай маанилеринде жыйналат.

Мисал 3.9.1.

$$y'' + xy = 0 \quad (3.9.5)$$

төндөмесинин чыгарылыштарын даражалуу катар түрүндө тапкыла. (3.9.5) төндөмеси Эйри төндөмеси деп аталат жана математиканын ар кандай колдонулуштарында, ошонун ичинен, кванттык механикада кездешет.

(3.9.5) төндөмеси өзгөрүлмөлүү коэффициенттүү экинчи тартиптеги эң жөнөкөй төндөмө болуп саналат, бирок аны элементтардык методдор менен чыгарууга мүмкүн эмес.

Чыгаруу. (3.9.5) төндөмесинин чыгарылышын (3.9.3) катар түрүндө издейли.

Анда

$$y'(x) = \sum_{r=1}^{\infty} r c_r x^{r-1}, \quad y'' = \sum_{r=2}^{\infty} r(r-1) \cdot c_r x^{r-2}.$$

(3.9.5) ге y, y', y'' үчүн жогорку туюнталарды коуп, төмөнкүнү алабыз

$$\sum_{r=2}^{\infty} c_r r(r-1)x^{r-2} + \sum_{r=0}^{\infty} c_r x^{r+1} = 0.$$

Эми x тин бирдей даражаларынын алдындагы коэффициенттерин барабарлап, төмөнкүгө ээ болобуз:

$$\left. \begin{array}{l} x^0 \\ x^1 \\ \dots \\ x^{r-2} \end{array} \right| \begin{array}{l} c_2 \cdot 2 \cdot 1 = 0; \text{ мындан } c_2 = 0, \\ c_3 \cdot 3 \cdot 2 + c_0 = 0; \text{ мындан } c_3 = -\frac{c_0}{3 \cdot 2}, \\ \dots \\ c_r r(r-1) + c_{r-3} = 0; \text{ мындан } c_r = -\frac{c_{r-3}}{r(r-1)}. \end{array} \quad (3.9.6)$$

(3.9.6) дан көрүнүп тургандай

1) c_{3l} түрүндөгү коэффициенттери c_0 аркылуу аныкталат:

$$c_{3l} = -\frac{1}{3l(3l-1)} c_{3l-3} = \dots = \frac{(-1)^l}{3l \cdot (3l-1) \cdots 3 \cdot 2} c_0,$$

c_0 дун өзү аныкталбай калат;

2) c_{3l+1} коэффициенттер c_1 аркылуу аныкталат:

$$c_{3l+1} = \frac{(-1)^l}{(3l+1) \cdot 3l \cdots 4 \cdot 3} c_1,$$

c_1 өзү аныкталбай калат;

3) c_{3l+2} коэффициенттери c_2 аркылуу аныкталат:

$$c_{3l+2} = \frac{(-1)^l}{(3l+2) \cdot (3l+1) \cdots 5 \cdot 4} c_2 = 0,$$

себеби $c_2 = 0$;

$c_0 = 1, c_1 = 0$ деп алсак, төмөнкү катарды алабыз

$$y_1(x) = \sum_{l=0}^{\infty} c_{3l} x^{3l} = \sum_{l=0}^{\infty} \frac{(-1)^l}{3l(3l-1) \cdots 3 \cdot 2} \cdot x^{3l}.$$

Тескерисинче, $c_0 = 0, c_1 = 1$ деп алсак, төмөнкү катарды алабыз

$$y_2(x) = \sum_{l=0}^{\infty} c_{3l+1} x^{3l+1} = \sum_{l=0}^{\infty} \frac{(-1)^l}{(3l+1)3l \cdots 4 \cdot 3} \cdot x^{3l+1}.$$

$y_1(x), y_2(x)$ үчүн алынган катарлардын жыйналуучулугун каалагандай x үчүн мисалы Даламбердин белгиси боюнча оной эле аныкта-са болот. Ошентип, $y_1(x)$ жана $y_2(x)$ бардык $(-\infty, +\infty)$ де аныкталган жана ал жогоруда айтылган теореманы толук иллюстрациялайт.

2⁰. Чыгарылышты жалпыланган даражалуу катарга ажыратуу. Бесселдин тенденеси

Аныктама.

$$x^\rho \sum_{r=0}^{\infty} c_r x^r \quad (c_0 \neq 0), \quad (3.9.7)$$

түрүндөгү катар, мында ρ – берилген сан; ал эми даражалуу катар $\sum_{r=0}^{\infty} c_r x^r$ кандайдыр бир $|x| < d_0$ областында жыйналат, жалпыланган даражалуу катар деп аталат.

Эгерде ρ бүтүн терс эмес сан болсо, анда жалпыланган даражалуу (3.7.9) катары кадимки даражалуу катарга айланат.

Аныктама. $\varphi(x)$ функциясы $|x - x_0| < d_0$ областында жыйналуучу даражалуу катар

$$\varphi(x) = \sum_{r=0}^{\infty} c_r (x - x_0)^r$$

түрүндө көрсөтүлсө, анда $\varphi(x)$ функциясы x_0 чекитинин кандайдыр бир $|x - x_0| < d_0$ аймагында голоморфтуу деп аталат.

Аныктама. Эгерде $a_1(x), a_2(x)$ коэффициенттери x_0 чекитинде голоморфтуу болушса, анда x_0 чекити (3.9.1) дифференциалдык тенденесинин кадимки чекити деп аталат; андай болбосо, x_0 чекити (3.9.1) дифференциалдык тенденесинин өзгөчө чекити деп аталат.

Теорема 3.9.2. Эгерде $x = 0$ чекити (3.9.1) тенденесинин өзгөчө чекити, тендененин $a_1(x)$ жана $a_2(x)$ коэффициенттери

$$a_1(x) = \frac{\sum_{r=0}^{\infty} p_r x^r}{x}, \quad a_2(x) = \frac{\sum_{r=0}^{\infty} q_r x^r}{x^2},$$

түрүндө болушса (мында алымындағы катарлар кандайдыр бир $|x| < d_0$ аймагында жыйналышат, ал эми p_0, q_0, q_1 коэффициенттери бир эле учурда нөлгө барабар эмес болушат), анда (3.9.1) тенденеси жалпыланган даражалуу катар

$$y = x^\rho \sum_{r=0}^{\infty} c_r x^r \quad (c_0 \neq 0) \quad (3.9.8)$$

түрүндөгү жок дегенде бир чыгарылышка ээ жана дагы бул чыгарылышка кирген даражалуу катар эн жок дегенде эле $|x| < d_0$ облас-тында жыйналат.

ρ көрсөткүчүн жана c_r коэффициенттерди аныктоо үчүн (3.9.1) тенденесине (3.9.8) катарын коюп, x^ρ го кыскартып жана x тин ар түрдүү даражаларындағы коэффициенттерин нөлгө барабарлаш керек (аныкталбаган коэффициенттер методу).

Мында ρ саны $x = 0$ өзгөчө чекитинде аныктоочу деп аталган тенденеден табылат:

$$\rho(\rho - 1) + p_0 \rho + q_0 = 0, \quad (3.9.9)$$

мында $p_0 = \lim_{x \rightarrow 0} x a_1(x)$, $q_0 = \lim_{x \rightarrow 0} x^2 a_2(x)$.

(3.9.9) аныктоочу тендененин ρ_1 жана ρ_2 тамырлары ар түрдүү болгон учурда (3.9.1) тенденеси (3.9.8) түрүндөгү чыгарылышка дайыма ээ, мында ρ_1 жана ρ_2 тамырларынын чоң чыныгы бөлүккө ээ болгонун ρ деп алабыз. Эгерде ρ_1 ушул тамыр болсо, анда чыгарылыш төмөнкү түргө ээ:

$$y_1 = x^{\rho_1} \sum_{r=0}^{\infty} c_r^{(1)} x^r \quad (c_0^{(1)} \neq 0).$$

Эгерде $\rho_1 - \rho_2$ айырмасы бүтүн санга же нөлгө барабар болбосо, анда ρ_2 экинчи тамырга туура келген чыгарылыш төмөнкү даражалуу катар түрүндө жашайт:

$$y_2 = x^{\rho_2} \sum_{r=0}^{\infty} c_r^{(2)} x^r \quad (c_0^{(2)} \neq 0).$$

Эгерде $\rho_1 - \rho_2$ бүтүн оң сан же нөл болсо, анда экинчи айрым чыгарылыш же (3.9.8) түрүн алат, же болбосо жалпыланган даражалуу катар менен кандайдыр бир жалпыланган даражалуу катардын $\ln x$ ке болгон көбөйтүндүсүнүн суммасынан турат:

$$y_2 = x^{\rho_2} \sum_{r=0}^{\infty} c_k^{(2)} x^k + A y_1 \ln x. \quad (3.9.10)$$

Эскертуу. (3.9.10) догу A туралтуусу нөлгө барабар болушу мүмкүн, анда y_2 үчүн жалпыланган даражалуу катар түрүндө туюнта алабыз.

Мисал 3.9.2. Бесселдин

$$x^2 y'' + xy' + (x^2 - v^2)y = 0 \quad (3.9.11)$$

тендемесин v бүтүн сан эмес болгон учурда чыгаргыла.

Чыгаруу. Жалгыз өзгөчө чекит $x = 0$. Ушул чекитке туура келген аныктоочу тендеме: $\rho(\rho - 1) + \rho - v^2 = 0$. Мындан $\rho_1 = v$, $\rho_2 = -v$. Бесселдин (3.9.11) тендемесинин биринчи айрым чыгарылышин жалпыланган даражалуу катар түрүндө издейли:

$$y = x^v \sum_{r=0}^{\infty} c_r x^r \quad (c_0 \neq 0)$$

(3.9.11) тендемесине y, y', y'' ди коюп, төмөнкүнү алабыз

$$\begin{aligned} & x^2 \sum_{r=0}^{\infty} c_r (r+v) \cdot (r+v-1) x^{r+v-2} + \\ & + x \sum_{r=0}^{\infty} c_r (r+v) \cdot x^{r+v-1} + (x^2 - v^2) \sum_{r=0}^{\infty} c_r x^{r+v} = 0. \end{aligned}$$

Же жөнөкөй өзгөртүүлөрдөн жана x^v ге кыскартуудан кийин:

$$\sum_{r=0}^{\infty} [(r+v)^2 - v^2] c_r x^r + \sum_{r=0}^{\infty} c_r x^{r+2} = 0.$$

Бул барабардык тендеш түрдө аткарылыши үчүн коэффициенттери

$$(v^2 - v^2) c_0 = 0, \quad [(v+1)^2 - v^2] c_1 = 0 \quad (3.9.12)$$

тендемелерин канааттандыруусу керек.

Булардын биринчиси тендеш аткарылат. Ал эми экинчиден $c_1 = 0$ ду алабыз жана $r = 2, 3, \dots$ үчүн төмөнкүгө ээ болобуз:

$$c_r = -\frac{c_{r-2}}{r(2\nu+r)}.$$

Мындан бардык $m = 0, 1, 2, \dots$ үчүн $c_{2m+1} = 0$

$$c_2 = -\frac{c_0}{2^2 \cdot 1 \cdot (\nu + 1)}, \quad c_4 = \frac{c_0}{2^4 \cdot 2! (\nu + 1)(\nu + 2)}, \dots,$$

$$c_{2r} = \frac{(-1)^r c_0}{2^{2r} \cdot r! (\nu + 1)(\nu + 2) \cdots (\nu + r)}.$$

Ошентип, бардык c_r коэффициенттер табылды, демек

$$y_l(x) = \sum_{r=0}^{\infty} \frac{(-1)^r c_0}{2^{2r} \cdot r! (\nu + 1)(\nu + 2) \cdots (\nu + r)} \cdot x^{2r+\nu}.$$

Даламбердин белгисин колдонуп, бул катардын каалагандай чектүү $[0; a]$ аралыкта бир калыпта жыйналышына ынанууга болот. Демек, $y_l(x)$ функциясы каалагандай c_0 үчүн Бесселдин (3.9.11) тенденесинин чыгарылышы болот. c_0 үчүн төмөнкү санды алуу ынгайлуу

$$c_0 = \frac{I}{2^\nu \cdot \Gamma(\nu + 1)},$$

мында I

$$\Gamma(\alpha) = \int_0^\infty e^{-x} x^{\alpha-1} dx, \quad \alpha > 0$$

формула менен аныкталган Эйлердин белгилүү гамма-функциясы.

$\Gamma(\nu + 1) = \nu \Gamma(\nu)$ болгондуктан, $y_l(x)$ ти төмөнкү түрдө көрсөтөбүз:

$$y_l(x) = \sum_{r=0}^{\infty} (-1)^r \frac{c_0 \cdot 2^\nu}{r! (\nu + 1)(\nu + 2) \cdots (\nu + r)} \left(\frac{x}{2}\right)^{2r+\nu} =$$

$$= \sum_{r=0}^{\infty} (-1)^r \frac{2^\nu}{2^\nu \cdot r! \cdot \Gamma(\nu + 1) \cdot (\nu + 1)(\nu + 2) \cdots (\nu + r)} \left(\frac{x}{2}\right)^{2r+\nu}$$

$$= \sum_{r=0}^{\infty} (-1)^r \frac{1}{r! \cdot \Gamma(\nu + r + 1)} \left(\frac{x}{2}\right)^{2r+\nu}.$$

$$J_\nu(x) = \sum_{r=0}^{\infty} (-1)^r \frac{1}{r! \cdot \Gamma(\nu + r + 1)} \left(\frac{x}{2}\right)^{2r+\nu} \quad (3.9.13)$$

функциясы Бесселдин v -тартыптеги биринчи түрдөгү функциясы деп аталат.

Бесселдин (3.9.11) тенденесинин экинчи айрым чыгарылышын төмөнкү түрдө издейли:

$$y_2 = x^{-v} \sum_{r=0}^{\infty} c_r x^r.$$

(3.9.11) тенденеси v нын жуп даражасын камтыгандыктан, v ны – v га алмаштырууда өзгөрбөйт. Ошондуктан y_2 чыгарылышы v ну – v га алмаштыруу жолу менен (3.9.13) чыгарылышынан алынаары ачык көрүнүп турат.

$$\text{Демек, } J_{-v}(x) = \sum_{r=0}^{\infty} \frac{(-1)^r}{r! \Gamma(r+1-v)} \left(\frac{x}{2}\right)^{2r-v}$$

Бул функцияны Бесселдин тескери тартыптеги биринчи түрдөгү функциясы деп аташат.

Ошентип, эгерде v бүтүн сан болбосо, анда Бесселдин (3.9.11) тенденесинин бардык чыгарылыштары $J_v(x)$ жана $J_{-v}(x)$ функцияларынын сыйыктуу комбинациялары болушат:

$$y = c_1 J_v(x) + c_2 J_{-v}(x).$$

Өз алдынча иштөө үчүн көнүгүүлөр

Даражалуу катар түрүндө чыгарылыштардын фундаменталдык системасын тапкыла:

№ 148. $y'' - xy = 0$.

№ 149. $y'' + x^2 y = 0$.

№ 150. $y'' + xy' - (2x^2 + 1)y = 0$.

Бесселдин тенденесинин жалпы чыгарылыштарын тапкыла:

№ 151. $x^2 y'' + xy' + \left(x^2 - \frac{1}{4}\right)y = 0$.

№ 152. $x^2 y'' + xy' + \left(4x^2 - \frac{1}{9}\right)y = 0$.

№ 153. $x^2 y'' + xy' + (k^2 x^2 - n^2)y = 0$, ($k \neq 0$) тендересин көз каранды эмес өзгөрмөнү тийшиттүү түрдө алмаштыруу жолу менен Бесселдин тендересине келтиргиле.

§ 3.10. Термелүү теориясынан маселелер

1⁰. Механикалык термелүүлөр

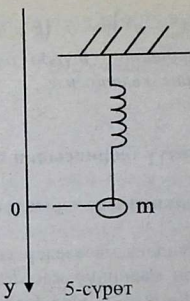
Термелүүлөр жөнүндөгү маселелер азыркы мезгилдеги техника менен физиканын эң маанилүү маселелеринин арасында орчуундуу орунду ээлейт. Көпчүлүк учурларда термелүү кубулушу экинчи тартиптеги сыйыктуу дифференциалдык тендереслер (сыйыктую термелүүлөр) менен жазылат жана бул тендереслер эң жөнөкөй учурларда турактуу коэффициенттүү болушат. Алгач механикалык термелүүлөрдү карайбыз.

Шариктін координаталык оқ катары караптап вертикальдык түз сыйык боюнча болгон кыймылын карайлы. Бул координаталык оқтогу, шариктін өзүнүн салмагы менен пружинанын серпилгичтик күчү тен салмакта болуп кандайдыр башка күчтөр жок болгондогу кыймылсыз турган чекитти координата башталмасы O деп кабыл алабыз (5-сүрөт). Октун оң багытын төмөн көздөй багыттайбыз.

Эгерде шарикті O чекитинен жогору же төмөн көздөй кысып (керип) кое берсек, анда ал кыймылга келет.

У менен шариктін O чекитинен убакыттын t моменттindеги четтеп кетүүсүн белгилейли: $y = y(t)$.

Биз шариктін O чекитинен болгон четтеп кетүүлөрү, пружинанын серпилгичтик күчүнө пропорциялуу болгон областтан чыкпай турган болуусуна гана жол беребиз. Мындаш шартта, шарикті O чекитине кайтарып келүүчү пружинанын серпилгичтик күчү анын четтеп кетүүсүнө пропорционалдуу жана вертикаль боюнча жантанууга карама – каршы багытталган. Чындыгында эле, эгерде шарик O дөн төмөн көздөй четтеп кетсе, анда у оң маанини кабыл алат, ал эми серпилгич күч жогору көздөй таасир кылат. Эгерде шарик O чекитинен жогору көздөй четтеп кетсе, анда у терс маанини кабыл алат, ал эми серпилгич күч төмөн көздөй багытталат.



Ошентип, бул серпилгич күчтүн вертикалдык окко болгон проекциясы төмөнкүдөй түонтулат:

$$f_{\text{сепн}} = -\alpha y.$$

Мында оң маанидеги турактуу сан α пружинанын серпилгичтигинен (табиятынан) көз каранды.

y' жана y'' шариктин вертикаль огуна болгон ылдамдыгынын жана ылдамданусунун проекциялары болоорун эске сала кетели. Шарикке, анын кыймылына тоскоол болгон вертикалдык күч аракет кылып жана анын чондугу анын ылдамдыгына пропорционалдуу болсун. Бул күч кыймылдын ылдамдыгына карама-каршы бағытталган, ошондуктан анын вертикалга болгон проекциясы төмөндөгүдөй түонтулат:

$$f_{\text{карии}} = -\beta y',$$

мында β – оң турактуу сан. α , β , турактуу сандары белгилүү деп эсептелет. Шариктин ылдамдыгынын жана ылдадамданусунун жана ага таасир кылган күчтөрдүн векторлору вертикаль боюнча бағытталгандыктан, шариктин кыймылнын төндемесин түзүүдө, биз бул векторлордун арасындағы катыштардан түз эле алардын проекцияларынын катыштарына өтөбүз.

Ошентип, Ньютондун экинчи законунун негизинде шариктин кыймылнынын төндемеси төмөнкү түрдө болот:

$$my'' = f_{\text{сепн}} + f_{\text{карии}}, \text{ б.а. } my'' = -\alpha y - \beta y'.$$

Же мындан

$$y'' + \frac{\beta}{m} y' + \frac{\alpha}{m} y = 0.$$

$\frac{\alpha}{m} = \omega^2$ ($\omega > 0$), $\frac{\beta}{m} = 2k$ белгилөөлөрүн киргизели. Анда кыймылдын тенденеси

$$y'' + 2k y' + \omega^2 y = 0 \quad (3.10.1)$$

түрүнө келет.

Бул тенденеме, шариктин вертикальдик түз сзызык боюнча кыймылынын (биздин болжолдоолордогу) математикалык модели болот.

Шариктин кыймылынын конкреттүү законун аныктоо үчүн төмөнкү баштапкы шарттарды беребиз:

$$y(0) = y_0, \quad y'(0) = y'_0.$$

$\lambda^2 + 2k\lambda + \omega^2 = 0$ мүнөздөгүч тенденеси $-k \pm \sqrt{k^2 - \omega^2}$ тамырларына ээ.

Төмөнкү учурларды карайлыш:

$$1) \Delta = k^2 - \omega^2 < 0.$$

Анда

a) $k = 0$ болсо

$$y(x) = y_0 \cos \omega t + \frac{y'_0}{\omega} \sin \omega t; \quad (3.10.2)$$

б) $k > 0$ болсо

$$y(x) = e^{-kt} \left(y_0 \cos vt + \frac{y'_0 + ky_0}{v} \sin vt \right), \quad (3.10.3)$$

мында $v = \sqrt{\omega^2 - k^2}$.

(3.10.2), (3.10.3) төн $k = 0$ болсо, материалдык чекит (шарик) Oy огу боюнча O чекитинин айланасында, мезгили

$$\frac{2\pi}{\omega} = 2\pi \sqrt{\frac{m}{\alpha}}$$

боюнча термелээри (гармониялык термелүү процесси), ал эми $k > 0$ болсо, ал O чекитинин айланасында мезгили $\frac{2\pi}{v} = \frac{2\pi}{\sqrt{w^2 - k^2}}$ бол-

гон басандоочу термелүүнү жасаары келип чыгат. Термелүүлөрдүн амплитудасы экспоненциалдык закон боюнча кемийт.

$$2) \Delta = k^2 - \omega^2 = 0.$$

Анда

$$y(t) = e^{-kt} [y_0 + (y'_0 + ky_0)t]. \quad (3.10.4)$$

(3.10.4) төн материалдык чекит убакыттын өтүшү менен O чекитине умтулаары келип чыгат. $x(t)$ чондугу t нын бир гана маанинде нөлгө айланы алгандаңтан, кыймыл термелүүсү жок эле болот (басандоочу мезгили жок процесс)

$$3) \Delta = k^2 - \omega^2 > 0.$$

Анда

$$y(t) = \frac{y_0(k+v) + y'_0}{2v} e^{-(k-v)t} - \frac{y_0(k-v) + y'_0}{2v} e^{-(k+v)t}, \quad (3.10.5)$$

мында $k - v > 0$, $k + v > 0$ $v = \sqrt{k^2 - \omega^2} < k$.

$k - v > 0$, $k + v > 0$ болгондуктан, (3.10.5) төн материалдык чекит убакыттын өтүшү менен 0 гө умтулаары келип чыгат. Мындан мурункудай эле $y(t)$ чондугу t нын бир эле маанинде нөлгө барабар боло алат. Ошондуктан кыймыл термелүүсү жок эле болот (өтүүчү мезгили жок процесс).

(3.10.1) тенденесинин жалпы чыгарылышын

$$y = e^{-kt} (c_1 \cos vt + c_2 \sin vt)$$

түрүндө жазса болот, мында c_1 , c_2 – каалагандай турактуу сандар, же 3.4.4 мисалынын негизинде:

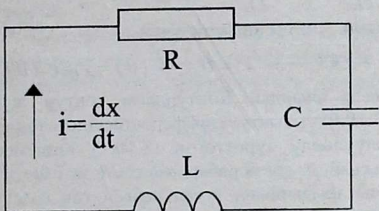
$$y = A e^{-kt} \sin(vt + \varphi). \quad (3.10.6)$$

Мындан, (3.10.6) классын түзгөн кыймыл – бул жыштыгы γ , баштапкы фазасы φ жана өзгөрмө амплитудасы $A e^{-kt}$ болгон термелүү кыймылдары болоору көрүнүп турат.

Эгерде $k > 0$ болсо, анда $A e^{-kt}$ амплитудасы убакыттын өтүшү менен тез кемийт, ошондуктан $k > 0$ болгондо (3.10.6) классынын кыймылы басандоочу гармоникалык термелүү болуп саналат.

2⁰. Электр чынжырындагы термелүүлөр

Электр чынжырында өтүүчү процесстердин сүрөттөлүштөрү механикалык термелүүлөргө толук оқшош болот.



6-сүрөт

6-сүрөттө, үч удаалаш туташтырылган звено: активдүү R каршылык, өздүк индукциясы L болгон индуктивдүүлүк жана сыйымдуулугу C болгон конденсатор түзгөн электр чынжырынын схемасы келтирилген.

Сыйымдуулугу C болгон конденсатор каршылыгы R жана өздүк индукция коэффициенти L болгон чынжыр аркылуу разряддалат.

$V = V(t)$ конденсаторунун обкадкаларындагы чыналуу болсун. Эгерде убакыттын баштапкы моментинде $V(t_0) = V_0$, ал ошол чынжырдагы токтун күчү $i(t_0) = I_0$ экени белгилүү болсо, анда $V = V(t)$ нын өзгөрүү законун табуу керек.

Электроникада берилген аныктама боюнча L , R , C чондуктар он мааниге ээ. L , R , C - берилген турактуу чондуктар болсун. 6 - сүрөттө көрсөтүлгөн чынжырды жөнөкөй контур деп аташат жана контурдагы токтун багытыса жебеси боюнча багытталат деп эсептешет. Кирхгоффтун законунун негизинде:

$$I = -CV', \quad (3.10.7)$$

$$V = RI + LI'. \quad (3.10.8)$$

(3.10.7) ни (3.10.8) ге коюп, $V = R(-CV') + L(-CV')'$ экенин ала-быз же

$$V'' + 2KV' + w^2V = 0, \quad (3.10.9)$$

мында $K = \frac{R}{2L}$, $w^2 = \frac{1}{LC}$.

Ошентип, $V(t)$ ны аныктоо үчүн

$$V'' + 2KV' + w^2V = 0, \quad V(0) = V_0, V'(0) = V'_0$$

Коши маселеси алынды. Контурдагы токтун агуу кубулушун сүрөттөгөн (3.10.9) сызыктую дифференциалдык теңдемеси, механикалык термелүүлөрдү сүрөттөгөн (3.10.1) теңдемеси менен дал келет. Каршылык 0 гө барабар эмес ($R \neq 0$) болгон учурда теңдеменин чыгарылышина туура келген ток сөзсүз басандоочу болот. Электротехникада ал өткөөл ток деп аталат. Механикалык

термелүүлөргө болгон окшоштуктарды кенитип, $\frac{R}{2L} < \sqrt{\frac{1}{CL}}$ бол-

гон учурда бул ток чынжырдын (контурдун) өздүк термелүүсүн берет деп айта алабыз.

Эгерде $\frac{R}{2L} \geq \sqrt{\frac{1}{CL}}$ болсо, анда чынжырда термелүү бол-

бийт, мында ток мезгилдүү эмес, басандоочу болот. Андан аркы майда – чүйдөсүнө биз киришпейбиз, себеби математикалык жактан караганда бул процесс механикалык термелүүлөр процессине окшош.

Өз алдынча иштөө үчүн маселелер

№ 154*. Математикалык маятник деп узундугу l болгон керилбес жипке илинген жана оордук күчүнүн таасири астында кыймылдаган массасы m болгон M материалдык чекитти айтабыз. Маятник вертикальдан кичине четтөөлөрдү жасайт (четтөө бурчунун синусу четтөө бурчуна дээрлик барабар) жана чойрөнүн каршылыгы - ылдамдыкка пропорционалдуу деп эсептөп, маятниктин кыймылышынын законун тапкыла.

№ 155*. Пружинанын бир учу О чекитине кыймылсыз кадалган, ал эми экинчи учунча башка пружина аркылуу массасы $2m$ болгон жүк менен байланыштырылган массасы $3m$ болгон жүк бекитилген. Эки жүк төң х чондугуна $F = a^2 \cdot m \cdot x$ күчүнүн таасири астында кыймылдашат. Системанын мүмкүн болгон мезгилдүү кыймылдарын тапкыла.

№ 156*. Электр чынжыры удаалаш туташтырылган ЭКК $e(t) = E \sin \omega t$ болгон ток булагынан, L индуктивдүүлүгүнөн, R каршылыгынан жана C сыйымдуулугунунан турат жана дагы $R^2C - 4L < 0$, $\omega \neq \sqrt{\frac{1}{LC} - \frac{R^2}{4L^2}}$. Эгерде $I|_{t=0} = \frac{dI}{dt}|_{t=0} = 0$ болсо, анда чынжырдагы I тогун t убактысынан болгон функция катары карап тапкыла.

№ 157*. Электр чынжыры удаалаш туташтырылган ЭКК $e(t) = E \sin \omega t$ болгон ток булагынан, L индуктивдүүлүгүнөн, R каршылыгынан жана C сыйымдуулугунан турат жана дагы $\omega = \frac{1}{\sqrt{LC}}$

(резонанс учур). Эгерде $I|_{t=0} = \frac{dI}{dt}|_{t=0} = 0$ болсо, анда чынжырдагы I тогу t убактысынан болгон функция катары карап тапкыла

№ 158*. k нын кандай маанилеринде $y'' + 2ky' + y = 0$ тенденесинин бардык нөлдүк эмес чыгарылыштары басаңдоочу гармоникалык термелүлөрдү көрсөттөт?

IV Глава. Дифференциалдық тенденциалдер системасы

§ 4.1. Негизги түшүнүктөр. Жогорку тартилтеги дифференциалдық тенденциалдер менен байланыш

Кээ бир процесстерди окуп үйрөнүүдө аларды жазып сүрөттөш үчүн бир эле функция жетишсиз болуп калганда дифференциалдық тенденциалдер системасы менен кездешебиз.

Эгерде көз каранды эмес x өзгөрмөсү менен k даана $y_1(x), \dots, y_k(x)$ функцияны байланыштырган дифференциалдық тенденциалдердин k системасы ушул функциялардын $y_1^{(p_1)}(x), \dots, y_k^{(p_k)}(x)$ жогорку туундуларына карата чечилген болсо, б.а.

$$\begin{cases} y_1^{(p_1)}(x) = f_1(x, y_1, \dots, y_1^{(p_1-1)}, \dots, y_k, \dots, y_k^{(p_k-1)}) \\ y_2^{(p_2)}(x) = f_2(x, y_1, \dots, y_1^{(p_1-1)}, \dots, y_k, \dots, y_k^{(p_k-1)}) \\ \dots \\ y_k^{(p_k)}(x) = f_k(x, y_1, \dots, y_1^{(p_1-1)}, \dots, y_k, \dots, y_k^{(p_k-1)}), \end{cases} \quad (4.1.1)$$

түрүндө ээ болсо, анда ал каноникалык деп аталат, мында $n = p_1 + p_2 + \dots + p_k$ саны системанын тартиби деп аталат. (4.1.1) каноникалык система $p_1 = p_2 = \dots = p_k = 1$ болгондо, б.а. 1-тартилтеги дифференциалдық тенденциалдердин

$$\begin{cases} y'_1(x) = f_1(x, y_1, \dots, y_n) \\ y'_2(x) = f_2(x, y_1, \dots, y_n) \\ \dots \\ y'_n(x) = f_n(x, y_1, \dots, y_n), \end{cases} \quad (4.1.2)$$

системасы нормалдуу система деп аталат.

$x \in (a, b)$ ке карата (4.1.2) тенденциалдер системасын тенденциалдардың айланырыгандар жана (a, b) да үзгүлтүксүз дифференциалдануучу $y_i = \varphi_i(x), \dots, y_n = \varphi_n(x)$ функцияларынын жыйындысы

$a < x < b$ интервалында (4.1.2) системасынын чыгарылышы деп аталаат.

Эгерде $\phi(x, y_1, \dots, y_n)$ функциясы кандайдыр бир D обласында аныкталып, үзгүлтүксүз $\partial\phi/\partial x, \partial\phi/\partial y_1, \dots, \partial\phi/\partial y_n$ айрым туундуларына ээ болсо жана $y_i, i = 1, 2, \dots, n$ өзгөрмөлөрүнүн ордуна системанын каалагандай $y_i(x), i = 1, 2, \dots, n$ чыгарылышын койгондо ар кандай $x \in (a, b)$ үчүн туралктуу маанини кабыл алса, анда $\phi(x, y_1, \dots, y_n)$ функциясы (4.1.2) нормалдуу системасынын интегралы деп аталаат.

$$\Phi[x, y_1(x), \dots, y_n(x)] \equiv c$$

барабардыгы, мында $\phi(x, y_1, \dots, y_n)$ – нормалдуу системанын интегралы, ал эми c – каалагандай туралктуу сан болсо, (4.1.2) системанын биринчи интегралы деп аталаат.

Эгерде (4.1.2) системасынын көз каранды эмес n биринчи интегралдары $\varphi_1(x, y_1, \dots, y_n), \varphi_n(x, y_1, \dots, y_n)$ белгилүү болсо, анда

$$\varphi_i(x, y_1, \dots, y_n) = c_i \quad (i = 1, \dots, n)$$

барабардыктардын жыйындысы, мында c_i – туралктуу сандар, бул системанын жалпы интегралын аныктайт.

n -тартылтеги дифференциалдык тенденции (4.1.2) түрүндөгү нормалдуу системага алып келүүгө болот. Тескерисинче, (4.1.1) же (4.1.2) системалары көпчүлүк учурларда n -тартылтеги дифференциалдык тендендеге алынып келинет, жана аны чыгаруу менен алгачкы системанын чыгарылышын да табууга болот.

Мисал 4.1.1. Дифференциалдык тенденмелердин

$$\begin{cases} y_1'' + xy_2 = 0 \\ y_2'' + 2y_1' - y_2 = 0 \end{cases}$$

каноникалык системасын нормалдуу системага келтиргилие.

Чыгаруу. Жаны $y_1' = y_3$, $y_2' = y_4$ жардамчы функцияларды киргизели. Анда $y_1'' = y_3'$, $y_2'' = y_4'$ болот жана берилген система төмөнкүдөй 4-тартылтеги нормалдуу система менен алмашат:

$$\begin{cases} y'_1 = y_3 \\ y'_2 = y_4 \\ y'_3 = -xy_2 \\ y'_4 = y_2 - 2y_3. \end{cases}$$

Мисал 4.1.2.

$$y''(x) + \omega^2 y(x) = 0$$

дифференциалдык тенденциясын нормалдуу системага алып келгиле.

Чыгаруу. $y' = z$ деп алсак, анда $y'' = z'$ жана тенденциялердин

$$\begin{cases} y' = z \\ z' = -\omega^2 y \end{cases}$$

нормалдуу системасына келет.

Мисал 4.1.3. $y'_1 = y_2$, $y'_2 = y_3$, $y'_3 = y_1 - y_2 + y_3$, мында $y_i = y_i(x)$, $i = 1..3$, тенденциялар системасын 3-тартыптечи тенденцияге келтиргиле жана системанын чыгарылышын тапкыла.

Чыгаруу. Биринчи тенденции x өзгөрмөсү боюнча дифференциалдан жана y'_2 туундусун экинчи тенденциядеги туунтмадан алмаштырабыз: $y''_1 = y'_2 = y$. Бул тенденции дагы бир жолу дифференциалдан жана үчүнчү тенденциеден y'_3 туундусун анын туунтмасы менен алмаштырабыз: $y''_1 = y'_3 = y_1 - y_2 + y_3$, $y_2 = y'_1$, ал эми $y_3 = y''_1$ болгондуктан, ақырында алабыз: $y''_1 - y'_1 + y'_1 - y_1 = 0$.

Алынган үчүнчү тартыптечи тенденции чыгаралы. Ага туура келген $\lambda^3 - \lambda^2 + \lambda - 1 = (\lambda^2 + 1)(\lambda - 1) = 0$ мүнөздөгүч тенденциясы $\lambda_1 = 1$, $\lambda_{2,3} = \pm i$ тамырларына ээ. Демек, $y_1 = c_1 e^t + c_2 \cos t + c_3 \sin t$. y_2 жана y_3 түбиз кароодон алып салууда $y_2 = y'_1$ жана $y_3 = y''_1$ ти алгандыктан,

$$y_2 = c_1 e^t - c_2 \sin t + c_3 \cos t, \quad y_3 = c_1 e^t - c_2 \cos t - c_3 \sin t.$$

4.1.3 мисалында биз нормалдуу системаларды интегралдоо методу – системаны бир белгисиз функциялуу бир дифференциалдык тенденцияге алып келген белгисиздерди жооп салуу методу менен тааныштык. Дифференциалдык тенденциялар системасынын чыгарылышынын башка методу болуп интегралдануучу

комбинацияларды бөлүп чыгуу методу, б.а. (4.1.2) системасынан интегралдоого жана системанын биринчи интегралын алууга мүмкүн боло турган тенденции алуу саналат. Эгерде (4.1.2) системанын көз каранды эмес n биринчи интегралдары табылса, анда алардын жыйындысы ушул системанын жалпы интегралын берет.

Мисал 4.1.4.

$\frac{dy}{dx} = (z + e^y)/(z + e^x)$, $\frac{dz}{dx} = (z^2 - e^{x+y})/(z + e^x)$ дифференциалдык тенденмелер системасынын жалпы интегралын тапкыла.

Чыгаруу. Экинчи тенденменин эки жагын e^{-x} ка көбөйтүп жана аларды биринчи тенденменин тиешелүү бөлүктөрү жана $-e^{-x}z \equiv -e^{-x}z$ тенденштиги менен бириктирип, $(e^{-x}z)' + y' = 0$ дү алабыз, мындан $e^{-x}z + y = c_1$. Бул системанын биринчи интегралы. Эми экинчи тенденменин эки жагын e^{-y} ке көбөйтүп, $-e^{-y}zy' = -e^{-y}z(z + e^y)/(z + e^x)$ жана $x' = 1$ барабардыктары менен кошуп, $(e^{-y}z)' + x' = 0$ дү алабыз. Бул да системанын биринчи интегралы.

$$\begin{cases} e^{-x}z + y = c_1 \\ e^{-y}z + x = c_2 \end{cases}$$

системасынын якобианы нөлдөн айырмалангандыктан (текшергиле), биринчи интегралдардын экөө өз ара көз каранды эмес, ошондуктан алардын жыйындысы берилген тенденмелер системасынын жалпы чыгарылышын айкын эмес аныктайт.

Өз алдынча иштөө үчүн көнүгүүлөр

№ 159. Төмөнкү дифференциалдык тенденмелердин каноникалык системасын нормалдуу түргө келтиргиле:

a) $\begin{cases} y_1'' = 2y_1 - 3y_2 \\ y_2'' = y_1 - 2y_2; \end{cases}$

б) $\begin{cases} y'' = y' + z' \\ z'' = z' + u' \\ u'' = u' + y'. \end{cases}$

№ 160. Төмөнкү дифференциалдык тендерлерди нормалдуу системага келтиргиле (x – көз каранды эмес өзгөрмө):

$$\text{а)} \quad y''' - xyy' + y'^3 = 0; \quad \text{б)} \quad y'''' - y^2 = 0.$$

№ 161.

$$\begin{cases} y' = y - z \\ z' = -4y + z \end{cases}$$

тендерлер системасын (мында $y = y(x)$, $z = z(x)$), экинчи тартигеге келтиргиле жана системанын чыгарылышын тапкыла.

№ 162.

$$y' = 1 - 1/z, \quad z' = 1/(y - x)$$

системасы үчүн жалты чыгарылышты тапкыла жана

$$y|_{x=0} = -1, \quad z|_{x=0} = 1$$

баштапкы шарттарды канааттандырган чыгарылышты бөлүп алгыла.

№ 163. Интегралдануучу комбинациялар жана система-нын тартибин төмөндөтүү методу менен жалты интегралды тапкыла:

$$\begin{cases} dy/dx = y \\ dz/dx = -x. \end{cases}$$

№ 164. Төмөнкү дифференциалдык тендерлер системасын интегралдагыла:

$$\text{а)} \quad \begin{cases} dy/dx = 2xy^2 \\ dz/dy = (z - x)/x. \end{cases} \quad \text{б)} \quad \begin{cases} dy/dx = e^{x-y} \\ dz/dx = 2z/(2x - z^2). \end{cases}$$

§ 4.2. Бир тектүү сыйыктуу дифференциалдык тенденмелер системалары

n -тартылтеги бир тектүү сыйыктуу нормалдуу система

$$\begin{cases} y'_1 = a_{11}(x)y_1 + a_{12}(x)y_2 + \dots + a_{1n}(x)y_n \\ y'_2 = a_{21}(x)y_1 + a_{22}(x)y_2 + \dots + a_{2n}(x)y_n \\ \dots \\ y'_n = a_{n1}(x)y_1 + a_{n2}(x)y_2 + \dots + a_{nn}(x)y_n \end{cases}$$

түрүндө болот же матрицалык формада

$$Y'(x) = A(x)Y(x), \quad (4.2.1)$$

$$\text{мында } A(x) = \begin{pmatrix} a_{11}(x) & a_{12}(x) & \dots & a_{1n}(x) \\ a_{21}(x) & a_{22}(x) & \dots & a_{2n}(x) \\ \dots & \dots & \dots & \dots \\ a_{n1}(x) & a_{n2}(x) & \dots & a_{nn}(x) \end{pmatrix}, \quad Y(x) = \begin{pmatrix} y_1(x) \\ y_2(x) \\ \dots \\ y_n(x) \end{pmatrix},$$

$a_{ij}(x)$ ($i, j = 1, \dots, n$) функциялары $I = [a, b]$ интервалында үзгүлтүксүз болушат. (4.2.1) системасынын чыгарылыштарынын фундаменталдуу системасы деп (4.2.1) каалагандай n сыйыктуу көз каранды эмес $Y_k(t) = (y_1^{(k)}(t), y_2^{(k)}(t), \dots, y_n^{(k)}(t))^T$, $k = 1, 2, \dots, n$ чыгарылыштарынын жыйындысын айтабыз. Каалагандай (4.2.1) тенденме чыгарылыштардын $Y_1(t), Y_2(t), \dots, Y_n(t)$ фундаменталдык системасына ээ.

(4.2.1) системасынын каалагандай чыгарылышы фундаменталдык системанын чыгарылыштарынын сыйыктуу комбинациясы болуп саналат:

$$Y(t) = \sum_{k=1}^n C_k Y_k(t),$$

мында C_1, C_2, \dots, C_n – каалагандай турактуулар. (4.2.1) система-сынын каалагандай $n+1$ чыгарылыштары сыйыктуу көз каранды болушат.

Мисал 4.2.1. $dx/dt = y$, $dy/dt = (2/t^2)x$ тенденциелер системасынын $x(-1) = 1$, $y(-1) = -2$ шарттарын канааттандырган чыгарылышын тапкыла.

Чыгаруу. Берилген тенденциелер системасы Эйлердин

$$d^2x/dt^2 = dy/dt = (2/t^2)x, t^2(d^2x/dt^2) - 2x = 0 \quad (4.2.2)$$

тенденциесине алдынап келинет. Алынган тенденциин чыгарылышын $x = t^\lambda$ түрүндө издейли. (4.2.2) тенденциесине t^λ ны коюп жана t^λ га кыскартып, λ саны үчүн $\lambda(\lambda-1)-2=0$ тенденциесин алабыз, мындан $\lambda_1 = 2$, $\lambda_2 = -1$. Демек, (4.2.2) тенденциесинин жалпы чыгарылышы $x = c_1 t^2 + c_2 / t$ болот. Системанын биринчи тенденциесинен $y = 2c_1 t - c_2 / t^2$ ка ээ болобуз. Баштапкы шарттарды эске алып, $1 = c_1 - c_2$, $-2 = -2c_1 - c_2$ системасынан c_1 жана c_2 ни аныктайбыз. $c_1 = 1$, $c_2 = 0$ дү табабыз. Демек, изделген чыгарылыш $x = t^2$, $y = 2t$ түрүнө ээ болот.

Мисал 4.2.2.

$$\begin{cases} dx/dt = x \cos^2 t - (1 - \sin t \cdot \cos t)y \\ dy/dt = (1 + \sin t \cdot \cos t)x + y \sin^2 t \end{cases}$$

тенденциелер системасынын $x_1 = -\sin t$, $y_1 = \cos t$ деген бир чыгарылышы белгилүү. Бул системанын бардык чыгарылыштарын тапкыла.

Чыгаруу. Берилген системанын $\varphi(0) = 1$, $\phi(0) = 0$ шартын канааттандырган чыгарылышы $x = \varphi(t)$, $y = \phi(t)$ болсун дейли.

Остроградский-Лиувиллдин (3.5.13) формуласына ылайык

$$\begin{vmatrix} \varphi(t) & -\sin t \\ \phi(t) & \cos t \end{vmatrix} = \begin{vmatrix} 1 & 0 \\ 0 & 1 \end{vmatrix} \exp\left(\int_0^t (\sin^2 \tau + \cos^2 \tau) d\tau\right) = e^t \text{ ны}$$

алабыз же болбосо

$$\varphi(t) \cos t + \phi(t) \sin t = e^t. \quad (4.2.3)$$

$(\varphi(t), \phi(t))$ – алгачкы бир системанын чыгарылышы болгондуктан, (4.2.3) барабардыгын эсепке алуу менен

$$d\varphi / dt = -\phi + \cos t (\varphi \cos t + \phi \sin t) = -\phi + e^t \cos t,$$

$$d\phi / dt = \varphi + \sin t (\varphi \cos t + \phi \sin t) = \varphi + e^t \sin t$$

га ээ болобуз же

$$d(\varphi - e^t \cos t) / dt = -\phi - e^t \sin t,$$

$$d(\phi - e^t \sin t) / dt = \varphi - e^t \cos t).$$

Мындан $\varphi = e^t \cos t$, $\phi = e^t \sin t$. Изделүүчү системанын чыгарылышынын фундаменталдык системасы төмөнкү түрдө болот:

$$e^t \begin{pmatrix} \cos t \\ \sin t \end{pmatrix}, \begin{pmatrix} -\sin t \\ \cos t \end{pmatrix}.$$

Тенденциалардын алгачкы системасынын жалпы чыгарылышы

$$x = c_1 e^t \cos t - c_2 \sin t, \quad y = c_1 e^t \sin t + c_2 \cos t$$
 формулалары менен аныкталат.

Өз алдынча иштөө үчүн көнүгүүлөр

Төмөнкү сыйыктуу дифференциалдык тенденциалар системасын чыгарыла:

$$\text{№ 165. } dy / dx = -y / x + zx, \quad dz / dx = -2y / x^2 + z / x.$$

$$\text{№ 166. } dx / dt = -y / t, \quad dy / dt = -x / t.$$

$$\text{№ 167. } dx / dt = -(2 / t)x, \quad dy / dt = y + ((t + 2) / t)x.$$

Көрсөтмө: Жооп салуу методун колдонгула.

№ 168. $dx / dt = x \sin t + y$, $dy / dt = x - y \sin t$ тенденциалар системасынын

$$\begin{pmatrix} x_1(t) \\ y_1(t) \end{pmatrix}, \quad x_1(0) = 1, \quad y_1(0) = 1,$$

$$\begin{pmatrix} x_2(t) \\ y_2(t) \end{pmatrix}, \quad x_2(0) = -1, \quad y_2(0) = 1$$

чыгарылыштарынан түзүлгөн Вронскийдин аныктагышынын $t = 2\pi$ болгондогу маанисин эсептегиле.

Көрсөтмө: Остроградский – Лиувилдин формуласын колдонгула.

№ 169.

$$\begin{pmatrix} x \\ y \end{pmatrix}_1 = e^{-cost} \begin{pmatrix} 1 \\ -1 \end{pmatrix}, \quad \begin{pmatrix} x \\ y \end{pmatrix}_2 = e^{sint} \begin{pmatrix} -1 \\ 2 \end{pmatrix}$$

вектор-функциялары

$$\begin{cases} \frac{dx}{dt} = (2sint - cost)x + (sint - cost)y \\ \frac{dy}{dt} = 2(cost - sint)x + (2cost - sint)y \end{cases}$$

тендемелер системасынын чыгарылыштарынын фундаменталдык системасын түзөбү?

Көрсөтмө: Берилген функциялар берилген системанын чыгарылышы болоорун текшергиле. Вронскийдин аныктагычын колдонугула.

§ 4.3. Турактуу коэффициенттүү сзыыктуу системалар

$A(x) = const$ болгондогу (4.2.1) түрүндөгү турактуу коэффициенттүү

$$dy/dx = A y(t) \quad (4.3.1)$$

сзыыктуу дифференциалдык тендемелер системасын (мында $y = (y_1, \dots, y_n)$ – n өлчөмдүү вектор, A – $n \times n$ өлчөмүндөгү турактуу квадраттык матрица), белгисиздерди жооп салуу методу менен бир белгисиз функциясы бар жогорку тартиптеги тендемеге алып келүүгө болот. Бирок, көрсөтүлгөн тендемелер системасын чыгаруунун мындан башка методдору да бар.

Турактуу коэффициенттүү бир текстүү сзыыктуу системаларды интегралдоо үчүн Эйлердин методу кенири колдонулат. (4.3.1) системасынын чыгарылышын

$$y = e^{\lambda x} a, \quad a = (a_1, \dots, a_n). \quad (4.3.2)$$

түрүндө издейли: Эгерде λ – матрицанын өздүк мааниси болсо, б.а.

$$\det(A - \lambda E) = 0,$$

мүнөздөгүч тендеменин тамыры болсо, (мында $a = \lambda$ санына дал келген A матрицанын өздүк вектору), анда (4.3.2) функциясы (4.3.1) системасынын чыгарылышы болот.

Эгерде A матрицанын $\lambda_1, \lambda_2, \dots, \lambda_n$ өздүк маанилери эки-экиден ар башка жана аларга дал келген ушул матрицанын a_1, a_2, \dots, a_n – өздүк векторлору болсо, анда (4.3.1) тенденциелер системасынын жалпы чыгарылышы

$$y = c_1 e^{\lambda_1 x} a_1 + c_2 e^{\lambda_2 x} a_2 + \dots + c_n e^{\lambda_n x} a_n,$$

(мында c_1, c_2, \dots, c_n – эркин сандар) формуласы менен аныкталат.

Эгерде A матрицасынын эселүү өздүк мааниси λ үчүн анын зесилиги канча болсо, ошондо сызыктуу көз каранды эмес a_1, a_2, \dots, a_n векторуна ээ болсо, анда ага изделүүчүү системанын k сызыктуу көз каранды эмес чыгарылыштары дал келет: $e^{\lambda x} a_1, e^{\lambda x} a_2, \dots, e^{\lambda x} a_k$.

Эгерде k эселүү өздүк мааниси λ үчүн m ($m < k$) сызыктуу көз каранды эмес өздүк векторлорго гана ээ болсо, анда λ га дал келген чыгарылышты $k - m$ даражасындагы вектордук көп мүчөсүнүн $e^{\lambda t}$ га көбөйтүндүсү түрүндө издеөгө болот, б.а. төмөнкү түрдө

$$y = (a_0 + a_1 x + \dots + a_{k-m} x^{k-m}) e^{\lambda x}.$$

a_0, a_1, \dots, a_{k-m} векторлорун табуу үчүн системага (4.3.2) туюнтмасын коюу керек. Системанын он жана сол бөлүктөрүнүн окошош мүчөлөрүнүн коэффициенттерин барабарлап, a_0, a_1, \dots, a_{k-m} векторлорун табуу үчүн тенденце алабыз.

Эгерде A матрицанын өздүк маанилеринин арасында комплексгүй сандар болсо, анда (4.3.1) системасынын чыгарылышы жогоруда көрсөтүлгөн метод боюнча ушундай өздүк санга дал келген комплекстүү функциялар аркылуу тургузулат. Чыныгы функциялар аркылуу (A анык матрицасы учурунда) чыгарылышты көрсөтүү үчүн $\lambda = \alpha \pm i\beta$ ($\beta \neq 0$) өздүк санына дал келген комплекстүү чыгарылыштын чыныгы жана мнимый бөлүктөрү сызыктуу көз каранды эмес чыгарылыштар болгонун пайдалануу керек.

Мисал 4.3.1. $y(0) = -1, z(0) = 2$ шартын канааттандырган

$$\begin{cases} dy / dx = -y - 2z \\ dz / dx = 3y + 4z, \end{cases} \quad (4.3.3)$$

бир тектүү системасынын айрым чыгарылышын тапкыла.

Чыгаруу. Эйлердин методу боюнча жалпы чыгарылышты табабыз. (4.3.3) системасынын айрым чыгарылышын

$$y = \gamma_1 e^{\lambda x}, \quad z = \gamma_2 e^{\lambda x} \quad (4.3.4)$$

түрүндө издейли. Мұнәздөгүч тендендемени түзөбүз:

$$\begin{vmatrix} -1 - \lambda & -2 \\ 3 & 4 - \lambda \end{vmatrix} = 0, \quad \lambda^2 - 3\lambda + 2 = 0.$$

Ал $\lambda_1 = 1, \lambda_2 = 2$ тамырларына ээ. $\lambda_1 = 1$ тамырына туура келген (4.3.4) түрүндөгү айрым чыгарылышты тургузабыз:

$$\begin{cases} (-1 - 1)\gamma_1 - 2\gamma_2 = 0 \\ 3\gamma_1 + (4 - 1)\gamma_2 = 0 \end{cases} \quad \text{же } \gamma_1 + \gamma_2 = 0.$$

γ_1, γ_2 сандарынын бирин каалагандай тандап алууга болот. $\gamma_1 = 1$ деп алсак, $\gamma_2 = -1$. Ошондуктан $\lambda_1 = 1$ мұнәздөгүч санына дал келген :

$$y_1 = e^x, \quad z_1 = -e^x$$

айрым чыгарылышы. Ушуга оқшош $\lambda_2 = 2$ мұнәздөгүч санына дал келген айрым чыгарылышты табабыз: $y_2 = 2e^{2x}, z_2 = -3e^{2x}$. (4.3.3) системасынын жалпы чыгарылышы төмөнкүчө болот

$$y = c_1 e^x + 2c_2 e^{2x}, \quad z = -c_1 e^x - 3c_2 e^{2x}. \quad (4.3.5)$$

Берилген баштапкы шартты канааттандырган айрым чыгарылышты табабыз. (4.3.5) де $x = 0, y = -1, z = 2$ деп алып, төмөнкүгө ээ болобуз:

$$\begin{cases} -1 = c_1 + 2c_2 \\ 2 = -c_1 - 3c_2. \end{cases}$$

Мындан $c_1 = 1, c_2 = -1$. Ошондуктан, изделген чыгарылыш:

$$\begin{cases} y = e^x - 2e^{2x} \\ z = -e^x + 3e^{2x} \end{cases}$$

Мисал 4.3.2. Төмөнкү берилген системасынын жалпы чыгарылышын тапкыла

$$\begin{cases} dy / dx = 2y - z \\ dz / dx = y + 2z. \end{cases} \quad (4.3.6)$$

$$\text{Чыгаруу.} \quad \begin{vmatrix} 2-\lambda & -1 \\ 1 & 2-\lambda \end{vmatrix} = 0 \quad \text{же} \quad \lambda^2 - 4\lambda + 5 = 0$$

мүнөздөгүч тенденеси $\lambda_1 = 2+i$, $\lambda_2 = 2-i$ тамырларына ээ.

$y = \gamma_1 e^{(2+i)x}$, $z = \gamma_2 e^{(2+i)x}$ түрүндөгү комплекстүү чыгарылышты $\lambda_1 = 2+i$ мүнөздөгүч санына туура келгендей тургубаиз

$$-i\gamma_1 - \gamma_2 = 0$$

тенденмеден γ_1, γ_2 сандарын аныктайбыз.

$\gamma_1 = 1$ деп алып

$$y = e^{(2+i)x} = e^{2x}(\cos x + i \sin x), z = -ie^{(2+i)x} = e^{2x}(\sin x - i \cos x) \quad (4.3.7)$$

болов турган $\gamma_2 = -i$ ни табабыз. Бул жерде Эйлердин $e^{i\varphi} = \cos \varphi + i \sin \varphi$, $i = \sqrt{-1}$ формуласын колдондук. (4.3.7) дөн анык жана мнимый бөлүктөрүн ажыратып, эки көз каранды эмес айрым чыгарылыштарды алабыз:

$$y_1 = e^{2x} \cos x, \quad z_1 = e^{2x} \sin x; \quad y_2 = e^{2x} \sin x, \quad z_2 = -e^{2x} \cos x.$$

(4.3.6) системасынын жалпы чыгарылышы төмөнкүч болот

$$y = e^{2x}(c_1 \cos x + c_2 \sin x), \quad z = e^{2x}(c_1 \sin x - c_2 \cos x).$$

Мисал 4.3.3.

$$\begin{cases} y'(x) = 2y - z \\ z'(x) = 4y + 6z \end{cases}$$

системанын жалпы чыгарылышын тапкыла.

Чыгаруу.

$$\begin{vmatrix} 2-\lambda & -1 \\ 4 & 6-\lambda \end{vmatrix} = (\lambda - 4)^2 = 0$$

мүнөздөгүч тенденеси эселүүлүгү $k = 2$ болгон $\lambda = 4$ деген тамырга ээ. Ошондуктан системанын чыгарылышын

$$\begin{cases} y = (A_1 + B_1 x) e^{4x} \\ z = (A_2 + B_2 x) e^{4x} \end{cases}$$

түрүндө издейбиз. Бул туюнтманы изделүүчү системага коёбуз жана e^{4x} га кыскартабыз:

$$\begin{pmatrix} B_1 \\ B_2 \end{pmatrix} + 4 \begin{pmatrix} A_1 \\ A_2 \end{pmatrix} + 4 \begin{pmatrix} B_1 \\ B_2 \end{pmatrix} x = \begin{pmatrix} 2A_1 - A_2 \\ 4A_1 + 6A_2 \end{pmatrix} + \begin{pmatrix} 2B_1 - B_2 \\ 4B_1 + 6B_2 \end{pmatrix} x.$$

x тин бирдей даражасын алдындагы коэффициенттерди барабарлап:

$$B_1 + 2A_1 + A_2 = 0, \quad B_2 - 4A_1 - 2A_2 = 0,$$

$$2B_1 + B_2 = 0, \quad -2B_2 - 4B_1 = 0$$

дү алабыз. $A_1 = c_1$ жана $B_1 = c_2$ деп алсак, $B_2 = -2c_2$ жана $A_2 = -2c_1 - c_2$ ни алабыз. Ошентип, системанын жалпы чыгарылышы

$$y = (c_1 + c_2 x) e^{4t}, \quad z = (-2c_1 + c_2) - 2c_2 x e^{4t}$$

болот.

Өз алдынча иштөө үчүн көнүгүүлөр

Эйлердин методу болонча жалты чыгарылышты тапкыра жана көрсөтүлгөн баштапкы шартты какнааттандырган чыгарылышты бөлүп алгыла:

$$\text{№ 170. } y' = y + z, \quad z' = -2y + 4z; \quad y(0) = 0, \quad z(0) = -1.$$

$$\text{№ 171. } \begin{cases} y' = 2y - 3z \\ z' = 3y + 2z \end{cases} \quad \text{№ 172. } \begin{cases} y' = y - 2z \\ z' = 6y - 5z \end{cases}$$

$$\text{№ 173. } \begin{cases} x' = x - y \\ y' = 4x - 3y \end{cases} \quad \text{№ 174. } \begin{cases} dy / dx = -y + z \\ dz / dx = -y - 3z \end{cases}$$

$$\text{№ 175. } \begin{cases} dx / dt = -y + z \\ dy / dt = z \\ dz / dt = -x + z; x = 1, y = 1/2, z = 1/2 \end{cases} \quad t = 0 \text{ болгондо}$$

§ 4.4. Бир тектүү эмес сыйыктуу системалар

Нормалдуу бир тектүү эмес сыйыктуу дифференциалдык тенденмелер системасы

$dy_i / dt = a_{i1}(x)y_1 + a_{i2}(x)y_2 + \dots + a_{in}y_n + f_i(x), \quad i = 1, \dots, n,$
түргө же вектордук жазылышта

$$dy / dx = A(x)y + f(x), \quad (4.4.1)$$

түргө ээ, мында y – компоненттери y_1, \dots, y_n болгон вектор; $A(x) = \{a_{ij}(x)\}$ – компоненттери $a_{ij}(x)$ функциялары болгон матрица; $f(x)$ – компоненттери $f_i(x)$ болгон вектор-функция жана дагы $f_i(x)$ функцияларынын жок дегенде бири нөлгө тендеш барабар эмес. (4.4.1) системасын интегралдоону жоюп салуу методу боюнча жүргүзө болот, бирок кээде (4.2.1) бир тектүү системасына туура келген

$$dy / dx = A(x)y \quad (4.4.2)$$

системасынын чыгарылышын жана (4.4.1) системанын кандайтыр бир $\tilde{y}(x)$ айрым чыгарылышын алдын-ала табуу артыкча. Эгерде (4.4.2) бир тектүү системасынын чыгарылыштарынын фундаменталдык системасы $Y(x)$ белгилүү болсо, анда $y(x)$ жалпы чыгарылышын турактуу чондуктарды вариациялоо методу аркылуу табууга болот. Так эле

$$y(x) = Y(x) c(x) \quad (4.4.3)$$

деп болжолдоп, (4.4.3) тү (4.4.1) системасына ордуна коюу жолу менен $c(x)$ вектор-функциясын аныктайбыз. Мындан $dy/dx = A(x)Y(x)$ барабардыгын эске алып, төмөнкү тенденмелер системасына келебиз

$$Y(x) dc / dx = f(x) \quad (4.4.4)$$

Ушул системадан $dc/dx = \phi(x)$ табабыз жана интегралдан, турактуу чондукка чейин тактыкта $c(x)$ вектор-функциясын алаңыз. (4.4.3) кө аларды коюп, (4.4.1) бир тектүү эмес системанын изделген жалпы чыгарылышын алабыз.

Турактуу коэффициенттүү бир тектүү эмес сыйыктуу система (мында $A(x) = A$ – турактуу), б.а. (4.4.1) системасы үчүн кээ бир учурларда айрым чыгарылыш аныкталбаган коэффициенттер методу аркылуу да табылышы мүмкүн. Муну эгерде $f_k(x)$

төмөнкү функциялардын суммасынан жана көбөйтүндүсүнөн турган учурда аткарууга болот:

$$b = b_1 x + \dots + b_m x^m, e^{\alpha x}, \cos \beta x, \sin \beta x.$$

$f_k(x) = P_{m_k}(x) e^{\gamma x}$, (мында $P_{m_k}(x)$ – m_k даражасындагы көп мүчө), болгон учурунда (4.4.1) системасынын айрым чыгарылышын төмөнкү түрдө издейбиз:

$$y_k = Q_{m+s}^k(x) e^{\gamma x}, k = 1..n, \quad (4.4.5)$$

мында Q_{m+s}^k – белгисиз коэффициенттери менен $m+s$ даражасындагы көп мүчө, $m = \max m_k$, $s = 0$, эгерде γ саны A матрицасынын өздүк саны болбосо, а эгерде γ саны A матрицасынын өздүк саны болсо, анда s ти ушул сандын эсесине барабар алууга болот (же болбосо, б.а. бир тектүү системанын жалпы чыгарылышында $e^{\gamma t}$ га көбөйтүлгөн көп мүчөлөрдүн эң чон даражасынан s бирдигине көп).

Q_{m+s}^k көп мүчөлөрдүн белгисиз коэффициенттери берилген системага (4.4.5) туонтасын коюу жолу менен жана окошо мүчөлөрдүн коэффициенттерин салыштыруу менен аныкталат.

$$f_k(x) = P_{m_k}(x) e^{\alpha x} \cos \beta x + R_{m_k}(x) e^{\alpha x} \sin \beta x$$

(мында $v = \alpha + i \beta A$ матрицасынын өздүк саны), болгон учурда да көп мүчөлөрдүн даражалары ушуга окошо аныкталат.

Мисал 4.4.1. $\begin{cases} \dot{x}_1 = 6x_1 + x_2 \\ \dot{x}_2 = 5x_1 + 2x_2, \end{cases}$

бир тектүү системанын $X_1(x) = \begin{pmatrix} I \\ I \end{pmatrix} e^{\gamma t}$, $X_2(x) = \begin{pmatrix} -1 \\ 5 \end{pmatrix} e^{\gamma t}$

чыгарылыштарынын фундаменталдуу системасын билип туруп, бир тектүү эмес

$$\begin{cases} \dot{x}_1 = 6x_1 + x_2 + t \\ \dot{x}_2 = 5x_1 + 2x_2 + 1 \end{cases} \quad (4.4.6)$$

системанын жалпы чыгарылышын тапкыла.

Чыгаруу. Турактуу чондуктарды вариациялоо методун колдонообуз. $c_1(t)$ жана $c_2(t)$ үчүн (4.4.4) системасын түзөлүп:

$$\begin{pmatrix} e^{7t} & -e^t \\ e^{7t} & 5e^t \end{pmatrix} \begin{pmatrix} c_1'(t) \\ c_2'(t) \end{pmatrix} = \begin{pmatrix} t \\ 1 \end{pmatrix}.$$

$c_1'(t) = (5t + 1) / 6e^{-7t}$, $c_2'(t) = (1-t) / 6e^{-t}$ ды таап жана интегралдап $c_1(t) = -(5/42)t^2 + 2/49e^{-7t} + c_1$, $c_2(t) = 1/6te^{-t} + c_2$ ни алабыз. Ошентип, (4.4.6) системасынын жалпы чыгарылышы төмөнкү түрдө жазылат

$$x(t) = [0 - ((5/42)t + 2/49)e^{-7t} + c_1] \begin{pmatrix} 1 \\ 1 \end{pmatrix} e^{7t} + (1/6te^{-t} + c_2) \begin{pmatrix} -1 \\ 5 \end{pmatrix} e^{-t} = \\ = c_1 \begin{pmatrix} 1 \\ 1 \end{pmatrix} e^{7t} + c_2 \begin{pmatrix} -1 \\ 5 \end{pmatrix} e^{-t} + \begin{pmatrix} -2/7t & -2/49 \\ 5/7t & -2/49 \end{pmatrix}.$$

Мисал 4.4.2. Берилген системанын жалпы чыгарылышын тапкыла

$$\begin{cases} dy/dx = y - 2z + 3 \\ dz/dx = y - z + 1. \end{cases} \quad (4.4.7)$$

Чыгаруу.

$$\begin{vmatrix} 1-\lambda & -2 \\ 1 & -1-\lambda \end{vmatrix} = 0, \quad \lambda^2 + 1 = 0$$

мұноздөгүч тенденеси $\lambda_1 = i$, $\lambda_2 = -i$ мнимый тамырларга ээ.

$$y = \gamma_1 e^{ix}, \quad z = \gamma_2 e^{ix}$$

комплекстүү чыгарылышты тургузабыз.

$(1-i)\gamma_1 - 2\gamma_2 = 0$ тенденесинен γ_1 жана γ_2 сандарын аныктайлы, б.а. $\gamma_1 = 2$, $\gamma_2 = 1-i$.

$y = 2e^{ix}$, $z = (1-i)e^{ix}$ чыгарылыштарынан анық жана мнимый бөлүктөрүн бөлүп алалы

$$y_1 = 2\cos x, \quad y_2 = 2\sin x,$$

$$z_1 = \cos x + \sin x, \quad z_2 = \sin x - \cos x.$$

Тиешелүү бир тектүү системанын дал келген жалпы чыгарылышы төмөнкүчө болот

$$\begin{cases} y = 2C_1 \cos x + 2C_2 \sin x \\ z = (C_1 - C_2) \cos x + (C_1 + C_2) \sin x. \end{cases}$$

Алгачкы системанын айрым чыгарылышын

$$y = A, \quad z = B \quad (4.4.8)$$

түрүндө издейли. Анда (4.4.7) ге (4.4.8) ди коелу:

$$\begin{cases} A - 2B + 3 = 0 \\ A - B + 1 = 0, \end{cases}$$

мындан $A = 1, B = 2$. Ошондуктан $y = 1, z = 2$ чыгарылышы (4.4.7) системасынын айрым чыгарылышы болуп саналат жана жалпы чыгарылыш төмөнкү түрдө болот

$$\begin{cases} y = 1 + 2C_1 \cos x + 2C_2 \sin x \\ z = 2 + (C_1 - C_2) \cos x + (C_1 + C_2) \sin x. \end{cases}$$

Мисал 4.4.3.

$$\begin{cases} \dot{x}_1 = -x_2 + t^2 \\ \dot{x}_2 = x_1 + e^t \end{cases}$$

системанын айрым чыгарылышын тапкыла.

Чыгаруу. $\begin{vmatrix} -\lambda & -1 \\ 1 & -\lambda \end{vmatrix} = 0$ мүнөздөгүч тенденеси $\lambda_{1,2} = \pm i$

тамырларына ээ болгондуктан, системанын айрым чыгарылышын экинчи даражадагы көп мүчө менен De^t түрүндөгү функциянын

$$x_1 = A_1 t^2 + B_1 t + C_1 + D_1 e^t, \quad x_2 = A_2 t^2 + B_2 t + C_2 + D_2 e^t$$

суммасы түрүндө издейбиз. Ушул функцияларды берилген системага коюп, төмөнкү барабардыктарды алабыз

$$\begin{cases} 2A_1 t + B_1 + D_1 e^t = -A_2 t^2 - B_2 t - C_2 - D_2 e^t + t^2 \\ 2A_2 t + B_2 + D_2 e^t = A_1 t^2 + B_1 t + C_1 + D_1 e^t + e^t. \end{cases}$$

t нын бирдей дарражаларынын жана e^t нын алдындағы коэффициенттерин барабарлап, төмөнкү системаны алабыз

$$\begin{cases} 2A_1 = -B_2, \quad B_1 \equiv C_2, \quad D_1 = -D_2, \quad 1 - A_2 = 0 \\ 2A_2 = B_1, \quad B_2 \equiv C_1, \quad D_2 = D_1 + 1, \quad A_1 = 0. \end{cases}$$

Мындан

$A_1 = B_2 = C_1 = 0, A_2 = I, B_1 = 2, C_2 = -2, D_2 = 1/2, D_1 = -1/2$
жана изделген чыгарылыш $x_1 = 2t - (1/2)e^t, x_2 = t^2 - 2 + (1/2)e^t$
түрүндө болот.

Мисал 4.4.4. Берилген бир тектүү эмес системанын жалпы чыгарылышын тапкыла

$$\begin{cases} dx/dt = x - 2y + e^t \\ dy/dt = x + 4y + e^{2t} \end{cases} \quad (4.4.9)$$

Чыгаруу. Адегенде тиешелүү бир тектүү

$$\begin{cases} dx/dt = x - 2y \\ dy/dt = x + 4y \end{cases} \quad (4.4.10)$$

системасынын жалпы чыгарылышын табабыз. Мүнөздөгүч тенденме

$$\begin{vmatrix} 1-\lambda & -2 \\ 1 & 4-\lambda \end{vmatrix} = 0 \text{ түрүнө ээ же болбосо } \lambda^2 - 5\lambda + 6 = 0.$$

Бул тендененин тамырлары: $\lambda_1 = 2, \lambda_2 = 3$. $\lambda_1 = 2$ тамырына $x_1 = \gamma_1 e^{2t}, y_1 = \gamma_2 e^{2t}$ айрым чыгарылыштары туура келет.

(4.4.10) го x_1 жана y_1 ди кооп, γ_1 жана γ_2 ни табуу үчүн
 $-\gamma_1 - 2\gamma_2 = 0, \gamma_1 + 2\gamma_2 = 0$

системасын алабыз. Мындан, мисалы $\gamma_1 = 2, \gamma_2 = -1$ ге ээ болбуз, ошондуктан (4.4.10) бир тектүү системасынын биринчи айрым чыгарылышы: $x_1 = 2e^{2t}, y_1 = -e^{2t}$. $\lambda_2 = 3$ тамырына $x_2 = \mu_1 e^{3t}, y_2 = \mu_2 e^{3t}$ айрым чыгарылышы туура келет. μ_1 жана μ_2 сандарын

$$\begin{cases} -2\mu_1 - 2\mu_2 = 0 \\ \mu_1 + \mu_2 = 0 \end{cases}$$

системасынан табабыз. Бул системаны, мисалы, $\mu_1 = 1, \mu_2 = -1$ сандары канааттандырат. Анда (4.4.10) системасынын экинчи айрым чыгарылышы: $x_2 = e^{3t}, y_2 = -e^{3t}$. (4.4.10) бир тектүү системасынын жалпы чыгарылышы:

$x = 2c_1 e^{2t} + c_2 e^{3t}$, $y = -c_1 e^{2t} - c_2 e^{3t}$. Аныкталбаган коэффициенттер методу аркылуу (4.4.9) бир тектүү системасынын айрым чыгарылышын табабыз. Мұнәздөгүч тенденциин тамыры $x=2$ жана он жактарынын түрү $f_1(t) = e^t$, $f_2(t) = e^{2t}$ болгондуктан, айрым чыгарылышты

$$x = Ke^t + (Lt + M)e^{2t}, \quad y = Ne^t + (Pt + Q)e^{2t}, \quad (4.4.11)$$

түрүндө жазабыз.

(4.4.10) го (4.4.11) ди кооп, төмөнкүгө зә болобуз:

$$\begin{aligned} Ke^t + 2(Lt + M)e^{2t} + Le^{2t} &= Ke^t + (Lt + M)e^{2t} - 2Ne^t - 2(Pt + Q)e^{2t} + e^t, \\ Ne^t + 2(Pt + Q)e^{2t} + Pe^{2t} &= Ke^t + (Lt + M)e^{2t} + 4Ne^t + 4(Pt + Q)e^{2t} + e^{2t} \end{aligned}$$

Бул тенденштикердин эки жактарындагы e^t , e^{2t} , te^{2t} нин алдындағы коэффициенттерди барабарлап, бириңчи туынтмадан:

$$\left. \begin{array}{l} e^t \\ e^{2t} \\ te^{2t} \end{array} \right| \begin{array}{l} K = K - 2N + 1, \\ 2M + L = M - 2Q, \\ 2L = L - 2P, \end{array}$$

екинчи туынтмадан:

$$\left. \begin{array}{l} e^t \\ e^{2t} \\ te^{2t} \end{array} \right| \begin{array}{l} N = K + 4N, \\ 2Q + P = M + 4Q + 1, \\ 2P = L + 4P \end{array}$$

барабардықтарын алабыз. Тенденмелердин бул системасын чыгарып, $K = -3/2$, $L = 2$, $M = 0$, $N = 1/2$, $P = -1$, $Q = -1$ ди табабыз.

Демек, (4.4.9) бир тектүү эмес системасынын айрым чыгарылышы

$$\tilde{x} = -\frac{3}{2}e^t + 2te^{2t}, \quad \tilde{y} = \frac{1}{2}e^t - (t+1)e^{2t}$$

болот.

Мисал 4.4.5. Төмөнкү системаны чыгаргыла

$$\begin{cases} \frac{dx}{dt} = x + 2y \\ \frac{dy}{dt} = x - 5 \sin t. \end{cases} \quad (4.4.12)$$

Чыгаруу. Мұнәздөгүч теңдеме

$$\begin{vmatrix} 1-\lambda & -2 \\ 1 & -\lambda \end{vmatrix} = 0 \quad \text{же} \quad \lambda^2 - \lambda - 2 = 0 \quad \text{түрүнө ээ болот.}$$

Мұнәздөгүч теңдеменин тамырлары: $\lambda_1 = -1$, $\lambda_2 = 2$. Тиешелүү бир тектүү системанын жалпы чыгарылышы: $x = c_1 e^{-t} + c_2 e^{2t}$, $y = -c_1 e^{-t} + 2c_2 e^{2t}$. (4.4.12) бир тектүү эмес системасынын айрым чыгарылышын табууда $f_1(t) = 0$, $f_2(t) = -5 \sin t$ экенин эске алабыз. Аны жазалы:

$$\tilde{x} = A \cos t + B \sin t, \quad \tilde{y} = M \cos t + N \sin t.$$

Аларды (4.4.12) системасына көлу:

$$-A \sin t + B \cos t = A \cos t + B \sin t + 2M \cos t + 2N \sin t,$$

$$-M \sin t + N \cos t = A \cos t + B \sin t - 5 \sin t$$

жана барабардыктын эки жагындагы $\sin t$ жана $\cos t$ нын коэффициенттерин барабарлап, төмөнкүнү алабыз:

$$-A = B + 2N, \quad B = A + 2M,$$

$$-M = B - 5, \quad N = A,$$

мында $A = -1$, $B = 3$, $M = 2$, $N = -1$, ошондуктан

$$\tilde{x} = -\cos t + 3 \sin t, \quad \tilde{y} = 2 \cos t - \sin t.$$

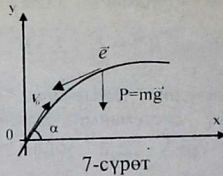
Алгачкы системанын жалпы чыгарылышы төмөнкүчө болот:

$$x = c_1 e^{-t} + c_2 e^{2t} - \cos t + 3 \sin t,$$

$$y = -c_1 e^{-t} + 2c_2 e^{2t} + 2 \cos t - \sin t.$$

Мисал 4.4.6. V_0 баштапкы ылдамдығы менен горизонтко α бурчу менен тело ыргытылган. Абанын каршылығын кыймылдын ылдамдығына пропорциялаш деп эсептеп, кыймылдын убакыттан көз каранды болгон законун жана телонун кыймылышынын траекториясын тапкыла.

Чыгаруу. Тело Oxy тегиздигинде кыймылдайт дейли, мында Ox -горизонталдық, ал эми Oy -вертикалдық оқ (7-сүрөт.). Координаталар башталышы О чекити телонун кыймылышынын башталышы болсун.



Телого эки күч таасир этет: телонун төмөн багытталган $\vec{P} = m\vec{g}$ оордук күчү жана кыймылдын ылдамдыгынын векторуна карама-карши багытталган абанын каршылык күчү \vec{Q} : $\vec{Q} = -km\vec{V}$

Ньютондун экинчи законуна ылайык, телонун кыймыл тенденесин жазабыз:

$$m \frac{d^2x}{dt^2} = -mk \frac{dx}{dt}, \quad m \frac{d^2y}{dt^2} = -mg - mk \frac{dy}{dt},$$

жес

$$\frac{d^2x}{dt^2} = -k \frac{dx}{dt}, \quad \frac{d^2y}{dt^2} = -g - k \frac{dy}{dt}.$$

Бул тенденмелерди интегралдан төмөнкүнү табабыз:

$$x = \frac{c_1}{k} e^{-kt} + c_2, \quad y = -\frac{g}{k} t - \frac{c_3}{k^2} e^{-kt} + c_4.$$

V_0 баштапкы ылдамдыгынын ox жана oy оқторуна проекцияларын тиешелүү түрдө p жана q аркылуу белгилен, б.а. $p = V_0 \cos \alpha, q = V_0 \sin \alpha$ деп $x(0) = y(0) = 0$ баштапкы шарттардан төмөнкүнү алабыз

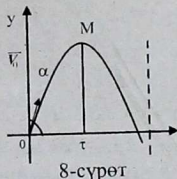
$$dx/dt(0) = p, dy/dt(0) = q.$$

Интегралдоонун туралтуу чондуктарын табабыз:

$$c_1 = p, \quad c_2 = p/k, \quad c_3 = g + kq, \quad c_4 = 1/k(g/k + q).$$

Ошентип, телонун координаталары убакыттын өтүшү менен $x = p/k(1 - e^{-kt}), \quad y = 1/k(g/k + q)(1 - e^{-kt}) - gt/k$. (4.4.13) формуулалары боюнча өзгөрүштөт. Ушул тенденмелерден көрүнүп тургандай x абсиссасы жана убакыттын өтүшү менен p/k пре-делине асимптотикалык жакындап чоңоёт, ордината болсо $y \rightarrow -\infty$.

dy/dt туундусу $t = \tau$ да нөлгө айланат, мында τ саны $(g/k + q)e^{-kt} - g/k = 0$ тенденмесин канаатандырат, б.а. $\tau = 1/k \ln(1 + qk/g)$.



Убакыттын τ моментинде траектория эң чоң M бийиктигине жетет (8-сүрөт.), анан ылдый көздөй түштөт да $x = p/k$ веरтикальдык асимптотага жакындайт. (4.4.13) тенденмелеринен t көз каранды эмес өзгөрмөсүн чыгарып салып, телонун кыймыл траекториясынын тенденмесин табабыз:

$$y = (g/k + q)x/p + g/k^2 \ln(1 - kx/p).$$

x, y координаталары убакыттан көз карандылыкта

$$x = (V_0 \cos \alpha)/k (1 - e^{-kt}), \quad y = 1/k (g/k + V_0 \sin \alpha) (1 - e^{-kt}) - gt/k$$

закону боюнча өзгөрүштөт. Телонун кыймыл траекториясы

$$y = (g/k + V_0 \sin \alpha)x/(V_0 \cos \alpha) + g/k^2 \ln(1 - kx/(V_0 \cos \alpha))$$

формула менен аныкталат.

Өз алдынча иштөө үчүн көнүгүүлөр

Төмөнкү тенденмелер системаларынын чыгарылыштарын аныкталбаган коэффициенттер методу аркылуу тапкыла:

$$\text{№ 176. } \dot{x} = 3x - 2y + t, \quad \dot{y} = 3x - 4y.$$

$$\text{№ 177. } \dot{x} = x - y, \quad y = x + \dot{y} + e^t.$$

$$\text{№ 178. } \dot{x} = 5x - 3y + te^{2t}, \quad \dot{y} = 3x - y + e^{3t}.$$

$$\text{№ 179. } \dot{x} = x + y - \cos t, \quad \dot{y} = -2x - y + \sin t + \cos t.$$

Берилген системанын жалты чыгарылышын туректүү чондуктарды вариациялоо методу аркылуу тапкыла жана

коюлган баштапкы шарттарды (алар көрсөтүлгөн болсо) канааттандырган чыгарылышты бөлүп алғыла:

$$\text{№ 180. } \begin{cases} y'_1 = y_1 + y - x^2 + x - 2, \\ y'_2 = -2y_1 + 4y + 2x^3 - 4x - 7; \end{cases} \quad y_1(0) = 0, y_2(0) = 2.$$

$$\text{№ 181. } \begin{cases} y' = -2y + z - e^{2x} \\ z' = -3y + 2z + 6e^{2x}. \end{cases}$$

$$\text{№ 182. } \begin{cases} dx/dt = x - y + 4 \cos 2t \\ dy/dt = 3x - 2y + 8 \cos 2t + 5 \sin 2t. \end{cases}$$

№ 183*. А заты P жана Q заттарына ажырайт. Алардын ар бириншін пайда болуу ылдамдыгы Анын бөлүнбөгөн заттыннын массасына пропорционалдуу. Эгерде ажыроо процесси башталгандан бир сааттан кийин $x = a/8$, $y = 3a/8$ болсо, алда P жана Q заттарынын x жана у массаларынын 1 убакыттан көз каранды болгон өзгөрүү закондорун тапкыла (A заттынын баштапкы массасы a).

№ 184*. Массасы m болгон материалдык чекит O борборуна аралыкка пропорционалдуу болгон күч менен тартылат. Кыймыл борбордон и аралыгында турган A чекитинен OA кесиндине перпендикуляр болгон V_0 баштапкы ылдамдыгы менен башталат. Кыймылдын траекториясын тапкыла.

§ 4.5. Дифференциалдык тенденмелер системасынын чыгарылыштарынын геометриялык жана механикалык иллюстрациясы. Фазалык мейкиндик

Жөнөкейлүк үчүн эки дифференциалдык тенденменин

$$x' = f_1(t, x, y), \quad y' = f_2(t, x, y) \quad (4.5.1)$$

нормалдуу системасын карайлы.

x жана y өзгөрмөлөрүн физикалык маанилерине көз карандысыз эле Oxy тегиздигиндеги чекиттин координаталары деп эсептейбиз жана бул тегиздикти фазалык тегиздик деп атайдыз. Системанын каалагандай

$$x = x(t), \quad y = y(t) \quad (4.5.2)$$

чыгарылышын фазалык тегиздиктеги сыйыктын параметрдик берилиши катары караса болот. Механиканын терминологияларын пайдаланып жана t – убакыт деп эсептеп, $x(t)$ жана $y(t)$ функциялары, кыймылдоочу чекиттин координата оқторуна болгон проекцияларынын кыймыл закондорун туонтат, ал эми (4.5.2) сыйыгын кыймылдын траекториясы болуп саналат деп айтабыз. x' жана y' туундулары бул учурда кыймылдоочу чекиттин ылдамдыгынын координата оқторуна болгон проекциясын көрсөттөт.

Ушул айтылгандардын баары бизге ынгайлуу геометриялык же, тагыраак айтканда, механикалык иллюстрация экени түшүнүктүү. Конкреттүү маселелерде x жана y өзгөрмөлөрү чекиттин кыймылы менен эч кандай байланышпаган чоңдуктарды белгилеши мүмкүн, мисалы, электр чынжырындагы ток болушу мүмкүн.

Эгерде (4.5.1) системасына кошумча

$$x|_{t=t_0} = \alpha, y|_{t=t_0} = \beta$$

баштапкы шарттарын берсек, анда аларга кандайдыр бир L_0 траектория боюнча кыймыл законун аныктаган $x(t_0), y(t_0)$ айрым чыгарылыштар туура келет. Эми, убакыттын баштапкы моменттин өзгөртүп, бирок x жана y фазалык координаталардын мүрүнүкү

$$x|_{t=t_1} = \alpha, y|_{t=t_1} = \beta$$

маанилерин калтырып жаңы баштапкы шартты алалы. Биз жаңы $x_1(t), y_1(t)$ чыгарылышты алабыз жана ага туура келген жаңы L_1 траекториясын алабыз, сөзсүз эле L_0 менен дал келиши мильттүү эмес. Чындыгында эле, (4.5.1) тенденмелеринен алынган x', y' дин маанилерин, убакыттын баштапкы моменттерине t_0 жана t_1 коюп, ар түрдүү чоңдуктарды алабыз. Бул болсо, төмөнкүнү түшүндүрөт. Эгерде кыймыл (α, β) чекитинен убакыттын t_0 моментинде башталса, анда ылдамдыктын вектору бир болот, а эгерде убакыттын t_1 моментинде башталса, анда вектор башка болот; ушуну менен бирге чекиттер ар түрдүү багытта кыймыл башташат. Ошентип, фазалык тегиздиктин бир

жана ошол эле чекити аркылуу ар түрдүү траекториялар кыймылдай алат. Мисал келтирели.

Мисал 4.5.1. $\dot{x} = 1$, $\dot{y} = 2t$ системасын карайлы. Мындан $x = t + c_1$, $y = t^2 + c_2$. $x|_{t=0} = 0$, $y|_{t=0} = 0$ баштапкы шарттарында $x = t$, $y = t^2$ функциясы чыгарылыш болот; $y = x^2$ параболасы ага дал келген траектория болот. Эгерде x жана y тин ошол эле маанилерин $t=1$ болгондо алсак, анда тиешелүү түрдө $x = t - 1$, $y = t^2 - 1$ келип чыгат. t ны жоуп салып, жаны траекториянын $y = (x+1)^2 - 1$ тенденесин табабыз, бул да парабола, бирок жогорудагы менен дал келбейт.

(4.5.1) тенденмелеринин он жагына көз каранды эмес t чондугу кирбекен учур колдонулуштар үчүн өзгөчө маанилүү болот. Дифференциалдык тенденмелердин мындай системасы автономдуу деп аталат жана ал

$$dx/dt = f_1(x, y), \quad dy/dt = f_2(x, y) \quad (4.5.3)$$

түрүнө ээ болот.

Эгерде кыймыл автономдуу система менен жазылса, анда фиксацияланган (α, β) чекитинен убакыттын кандай гана моменттинге кыймылды баштасак деле ылдамдыктын вектору бир гана болот. Ошондуктан автономдуу системалар үчүн (α, β) чекитинен башталған бардык кыймылдар убакыттын ар түрдүү моменттеринде ошол эле бир траектория боюнча өтүшөт. Бул ырастоонун механикалык мааниси бир топ эле түшүнүктүү. Кыймылды траектория боюнча тоголонуп жүргөн шарик түрүндө элестетели. Убакыттын ар түрдүү моменттеринде берилген чекиттен коюп жиберилген шариктер бири-бири менен кагылышпай, бирин бири кууп өтпөй ошол эле бир траектория боюнча кыймылдайт деп айтса болот (траекториялар туук сызык түрүндө, мисалы, айлана же эллипс түрүндө болуп калышын эскерте кетели). Анын үстүнө, автономдуу система үчүн фазалык тегиздиктиң ар бир чекити аркылуу жалгыз бир гана траектория өтөт.

Мисал 4.5.2.

$$dx/dt = y, \quad dy/dt = -x \quad (4.5.4)$$

системасын карайлышты ти жооп салып, $\dot{x} = \dot{y} = -x$, б.а.

$\ddot{x} + x = 0$ экенин алабыз. Чыгарылыш $x = A \sin(t + \varphi)$ түрүндө болот; анда $y = A \cos(t + \varphi)$. Борбору координата башталышында жаткан радиусу A болгон $x^2 + y^2 = A^2$ айланалар траекториялар болуп кызмат кылышат.

Кайрадан (4.5.3) жалпы системаны карайлышты жана (x_0, y_0) чекитинде он жактарынын экөөн тенг нөлгө барабар болсун дейли:

$$f_1(x_0, y_0) = 0, \quad f_2(x_0, y_0) = 0.$$

Анда $x=x_0, y=y_0$ функциялары (б.а. турактуулары) (4.5.3) системасынын чыгарылыштары болушат. Бул болсо, (x_0, y_0) чекитине жайгаштырылган шарик бардык убакытта кыймылдабайт дегенди билдириет. Мындаи чекиттер тынчтык чекиттери деп аталышат. Маселен, 4.5.2 мисалындағы система үчүн координаталар башталышы тынчтык чекити болот.

(4.5.3) системасы үчүн фазалык траекториялардын 3 тиби болушу мүмкүн: чекит; туюк ийри сызық; туюк эмес ийри сызық. (x_0, y_0) чекити (тен салмактуулук абалы) траектория болгон чыгарылыш турактуу: $x(t) = x_0, \quad y(t) = y_0, \quad \forall t \in R$. Туюк ийри сызық мезгилдүү, ал эми туюк эмес ийри сызық мезгилдүү эмес чыгарылышка туура келишет.

dt чондугун жооп салынгандан алынган $dy/dx = f_1(x, y)/f_2(x, y)$ тенденеси үчүн бул чекиттер өзгөчө чекиттер болушат ($\S 2.7$ ды кара). Мындан бул тендененин өзгөчө чекитке жакын жердеги интегралдык ийри сызыктарынын жайланишуусу жөнүндөгү маселе автономдуу системанын тынчтык чекитине жакын жердеги траекторияларынын жайланишуусу жөнүндөгү маселе менен тыгыз байланышта экени көрүнүп турат.

Көпчүлүк учурларда (4.5.3) сызыктуу эмес автономдуу системасынын өзгөчө чекиттердин айланасында траекторияларынын жайланишууларынын тиби сызыкташтырылган системанын траекторияларынын жайланишуусуна оқшош экенин белгилеп кетели. Адатта, (4.5.3) системасын сызыкташтырууну анын он жагын өзгөчө чекиттердин айланасында Тейлор катарына ажыраттуу жана анын сызыктуу бөлүгүн бөлүп алуу жолу менен өткөрүшөт.

Бардык жогоруда көрсөтүлгөндөр эч кандай өзгөрүүсүз эле үч жана андан көп тенденциелер системасы үчүн да көчүрүлөт. $n = 3$ болгондо бизде белгисиз үч функция: $x(t)$, $y(t)$ жана $z(t)$ бар жана ушуга тиешелүү түрдө биз Oxy фазалык мейкиндикте траекторияларды карайбыз.

Аларды бул учурда геометриялык сүрөттөө көбүрөөк татаал экени өзүнөн өзү эле түшүнүктүү. $n > 3$ болгон учурда геометриялык сүрөттөө дегеле мүмкүн эмес болуп калат; терминологияны сактап, биз n -өлчөмдүү фазалык мейкиндик жөнүндө сөз кылабыз.

Мисал 4.5.3.

$$a) \begin{cases} dx/dt = -y \\ dy/dt = x - 3x^2 \end{cases} \quad b) \begin{cases} dx/dt = y \\ dy/dt = -\sin x \end{cases}$$

системалардын төң салмактуулук абалын жана төң салмактуулук абалдарынын айланасындагы сызыкташтырылган системаларын тапкыла.

Чыгаруу. а) Берилген системанын төң салмактуулук абалын табабы:

$-y = 0$, $x - 3x^2 = 0$, мындан төң салмактуулуктун эки: $O(0,0)$ жана $O_1(1/3,0)$ абалын табабыз. Системаны O_1 чекитинин айланасында сызыкташтыралы. Тейлордун

$$f(x,y) = f(x_0, y_0) + f'_x(x_0, y_0)/1!(x - x_0) + \\ + f'_y(x_0, y_0)/1!(y - y_0) + \dots \quad (4.5.5)$$

формуласын колдонообуз, мында 1-тартиптен жогорку мүчөлөрү жазылган эмес. Анда (4.5.5) тин негизинде $O_1(1/3,0)$ чекитинин айланасында $x - 3x^2 = -(x - 1/3) + \dots$ га ээ болобуз.

Анда O_1 чекитинин айланасында сызыкташтырылган система төмөнкү түргө ээ:

$$\begin{cases} \frac{d(x - 1/3)}{dt} = -y \\ dy/dt = -(x - 1/3) \end{cases}$$

б) Бул система маятниктүндөн $x - \sin x = 0$ тенденциелердин сүрөттөөрүн белгилей кетели ([13]тү кара). Төң салмактуулук абал $y=0$ жана $\sin x=0$ тенденциелерден аныкталат. Бул тенденциелердин чыгарылыш болуп Ox огуунун абсциссалары

$x = k\pi$, $k \in Z$ болгон чекиттери саналышат. Берилген системанын он жактарынын мезгилдүүлүгүнүн негизинде, анын $x=0$, $y=0$ (чыгарылыш маятниктин тен салмактуулугунун төмөнкү абалына туура келет) жана $x = \pi$, $y = 0$ (чыгарылыш маятниктин тен салмактуулугунун жогорку абалына туура келет) эки чыгарылышын кароо жетиштүү. $O(0,0)$ чекитинин айланасында берилген

$$\frac{dx}{dt} = y, \quad \frac{dy}{dt} = -x$$

системасына сзыкташтырылат, анткени $\sin x$ функциясынан $x=0$ чекитинин айланасындагы $\sin x = x - \frac{x^3}{3!} + \dots$ сзыктуу

бөлүгүн бөлүп алса болот. Берилген системаны $O_1(\pi, 0)$ чекитинин айланасында сзыкташтыралы. (4.5.5) тин негизинде O_1 чекитинин айланасында

$$\sin x = -(x - \pi) + \dots$$

га ээ болобуз. Анда сзыкташтырылган система

$$\begin{cases} \frac{d(x-\pi)}{dt} = y \\ \frac{dy}{dt} = -(x-\pi) \end{cases}$$

түрүнө ээ болот.

Өз алдынча иштөө үчүн конүгүлөр

№ 185. Системалардын тен салмактуулук абалдарын тапкыла:

a) $\frac{dx}{dt} = 2y, \quad \frac{dy}{dt} = 4x - 4x^2$.

б) $\frac{dx}{dt} = 4x^2 - y^2, \quad \frac{dy}{dt} = -4x + 2xy - 8$.

в) $\begin{cases} \frac{dx}{dt} = \ln(1 - y + y^2) \\ \frac{dy}{dt} = 3 - \sqrt{x^2 + 8y} \end{cases}$

V Глава. Туруктуулук теориясынын элементтери

§ 5.1. Туруктуулук менен байланышкан түшүнүктөрдүн аныкталмалары

Көз каранды эмес өзгөрмө $x(t) = f(t, x)$ убактысы болуп саналат, бардык $t \geq t_0$ үчүн аныкталган

$$\begin{cases} \dot{x}_1(t) = f_1(t, x_1, \dots, x_n) \\ \dot{x}_2(t) = f_2(t, x_1, \dots, x_n) \\ \dots \dots \dots \\ \dot{x}_n(t) = f_n(t, x_1, \dots, x_n) \end{cases} \quad (5.1.1)$$

координаталык жазууда деген болжолдоо менен дифференциалдык тенденциялардин (4.1.2) түрүндөгү нормалдык системасын карайбыз бардык до аныкталган нормалдуу системасын карайбыз.

(5.1.1) системанын кандайдыр бир $x = \varphi(t) = (\varphi_1(t), \dots, \varphi_n(t))^T$ чыгарылышын бөлүп алабыз жана анны толкунданбаган кыймыл деп атайды. Эгерде каалагандай $\varepsilon > 0$ саны үчүн баштапкы учурдагы

$$|x_k(t_0) - \varphi_k(t_0)| < \delta, \quad k = 1..n \quad (5.1.2)$$

барабарсыздыгынан бардык $t > t_0$ үчүн

$$|x_k(t) - \varphi_k(t)| < \varepsilon, \quad k = 1..n \quad (5.1.3)$$

барабарсыздыгы келип чыга турган $\delta > 0$ санын көрсөтүүгө мүмкүн болсо, анда $x = \varphi(t)$ кыймылын Ляпунов маанисинде туруктуу деп атайды. Бул жерде $x(t) = (x_1(t), \dots, x_n(t))^T$ аркылуу (5.1.1) системанын $x(t_0) = (x_1(t_0), \dots, x_n(t_0))^T$ баштапкы шарттары менен аныкталган каалагандай башка чыгарылышы белгиленген.

Эгерде жетишээрлик кичине $\delta > 0$ саны үчүн да (5.1.3) барабарсыздыгы жок дегенде бир $x(t)$ чыгарылыш үчүн аткарылбаса, анда $\varphi(t)$ кыймылы туруктуу эмес деп аталаат.

Эгерде $\varphi(t)$ кыймылы Ляпунов маанисинде түрүктуу болсо жана андан сырткары (5.1.2) шартында

$$\lim_{t \rightarrow +\infty} |x_k(t) - \varphi_k(t)| = 0, \quad k = 1, \dots, n$$

катышын канааттандырса, анда ал Ляпунов маанисинде асимптотикалык түрүктуу деп аталац.

Мисал 5.1.1. $x = ax$ ($a \in R$) дифференциалдык төндемесинин $\varphi(t_0) = c_0$ баштапкы шарты менен аныкталган $\varphi(t)$ чыгарылышын түрүктуулукка изилдегилем.

Чыгаруу. Баштапкы маселенин чыгарылышы: $\varphi(t) = c_0 e^{a(t-t_0)}$. $|c - c_0| < \delta = \varepsilon$ шартын канааттандырган бул төндеменин каалагандай чыгарылышы $x(t) = ce^{a(t-t_0)}$ болсун дейли. Анда $a < 0$ болгондо, төмөнкүнү алабыз

$$|x(t) - \varphi(t)| = |ce^{a(t-t_0)} - c_0 e^{a(t-t_0)}| = e^{a(t-t_0)} |c - c_0| < \varepsilon,$$

мындан

$$\lim_{t \rightarrow +\infty} |x(t) - \varphi(t)| = |c - c_0| \lim_{t \rightarrow +\infty} e^{a(t-t_0)} = 0,$$

б.а. чыгарылыш асимптотикалык түрүктуу.

$a > 0$ болгондо $|x(t) - \varphi(t)| = e^{a(t-t_0)} |c - c_0|$ айырмасы жетишээрлик чоң t лар үчүн абдан чоң сан болушу мүмкүн. Демек, $a > 0$ болгондо чыгарылыш түрүктуу эмес.

Эгерде $a = 0$ болсо, анда чыгарылыш $\varphi(t) = c_0$ түрүндө болот.

$|c - c_0| < \delta = \varepsilon$ шарты менен ар кандай $x(t) = c$ чыгарылышы үчүн төмөнкүнү алабыз

$$|x(t) - \varphi(t)| = |c - c_0| < \varepsilon.$$

Бирок $\lim_{t \rightarrow +\infty} |x(t) - \varphi(t)| = |c - c_0| \neq 0$, ошондуктан чыгарылыш түрүктуу, бирок асимптотикалык түрүктуу эмес.

(5.1.1) системасынын толкунданбаган $x = \varphi(t)$ кыймылын түрүктуулукка изилдөө (5.1.1) системасына окшош башка системасынын тынчтык чекитин - тривиалдык (нөлдүк) чыгарылышын түрүктуулукка изилдөөгө алыш келиниши мүмкүн.

Чындығында эле, (5.1.1) системасында өзгөрмөлөрдү $y = x - \phi(t)$ алмаштыруу жүргүзөлү. Жаңы система

$$\frac{dy}{dt} = f(t, y + \phi(t)) - f(t, \phi(t))$$

түрүнө әэ болот. $F(t, y) \equiv f(t, y + \phi(t)) - f(t, \phi(t))$ белгилөө киргизүү менен

$$\frac{dy}{dt} = F(t, y) \quad (5.1.4)$$

системасын алабыз. Мында $t \geq t_0$ болгондо $F(t, 0) = 0$.

$y = \phi(t)$ толкунданбаган чыгарылыш карапып жаткан өзгөрмөлөрдү алмаштырууда жаңы системанын $y = 0$ тынчтык чекитине өттү, ошентип, $x = \phi(t)$ чыгарылышынын туруктуулук маселеси (5.1.4) системасынын нөлдүк чыгарылышынын туруктуулук маселесине өттөт.

Мисал 5.1.2. Ляпунов маанисинде туруктуулук аныкта-
масына таянып,

$$\frac{dx}{dt} = \frac{\alpha}{t} x, \quad t \geq 1$$

тендемесинин $x(1) = 0$ баштапкы шарты менен аныкталган чыгарылышынын туруктуулугун аныктагыла.

Чыгаруу. Берилген тендемени чыгарып, анын каалагандай $x(t)$, $x(1) = x_0$ чыгарылышы $x(t) = t^\alpha x_0$ түрүнө әэ экенин табабыз. $x(1) = 0$ шартын канааттандырган чыгарылыш $x_0(t) = 0$. Айырмасы $|x(t) - x_0(t)| = t^\alpha x_0$. Ошондуктан $t \rightarrow +\infty$ болгондо, әгерде $\alpha = 0$ болсо, $|x(t) - x_0(t)| = |x_0|$; әгерде $\alpha < 0$ болсо, $|x(t) - x_0(t)| = t^\alpha x_0 \rightarrow 0$ жана әгерде $\alpha > 0$ болсо, $x_0 \neq 0$ абсолюттук чоңдугу боюнча канчалык кичине болсо да $t \rightarrow +\infty$ болгондо $|x(t) - x_0(t)| \rightarrow \infty$. Демек, $x=0$ чыгарылышы $\alpha \leq 0$ болгондо туруктуу, анын үстүнө $\alpha < 0$ болгондо асимптотикалык туруктуу жана $\alpha > 0$ болгондо туруктуу эмес.

Өз алдынча иштөө үчүн көнүгүүлөр

№ 186. Төмөнкү төндемелердин жана төндемелер системаларынын көрсөтүлгөн баштапкы шарттарды канааттандырган чыгарылыштарын туруктуулукка изилдегиле:

a) $\frac{dx}{dt} = 1 + t - x, \quad x(0) = 0;$

б) $\frac{dx}{dt} = \sin^2 x, \quad x(0) = 0;$

в) $\dot{x} = t(x - 1), \quad x(0) = 1;$

г) $\dot{x} = t - 1, \quad x(0) = -1;$

д) $\dot{x} = x + y, \dot{y} = x - y; x(0) = y(0) = 0;$

е) $\dot{x} = -2x - 3y, \dot{y} = x + y; x(0) = y(0) = 0.$

§ 5.2. Тынчтык чекиттердин жөнөкөй типтери

Көпчүлүк маселелерде фазалык мейкиндиктин $(0, \dots, 0)$ чекитин туруктуулукка изилдөөдөн башка да траекториялардын был чекиттин аймагында жайгашуусун аныктап билүү керек болот. Биз $n=2$ (фазалык тегиздик) учурду жана турактуу коэффициенттүү бир тектүү сзызыктуу

$$\frac{dx}{dt} = Ax, \quad A = \begin{pmatrix} a_{11} & a_{12} \\ a_{21} & a_{22} \end{pmatrix} \quad (5.2.1)$$

системаны (4.3.1) кароо менен чектелебиз, мында

$$\Delta = \begin{vmatrix} a_{11} & a_{12} \\ a_{21} & a_{22} \end{vmatrix} \neq 0.$$

(5.2.1) системасы төндемелер системасынын он жактары нөлгө айланы турган $x_1 = 0, x_2 = 0$ тривиалдуу чыгарылышына ээ, б.а. $(0, 0)$ чекити тынчтык чекити болуп саналат.

(5.2.1) системасынын фазалык траекториясын

$$\frac{dx_1}{dx_2} = \frac{a_{11}x_1 + a_{12}x_2}{a_{21}x_1 + a_{22}x_2} \quad (5.2.2)$$

тендемесинин интегралдык ийри сыйыгы катары кароого болоорун белгилей кетели.

(5.2.2) тенденесинин оң жагы $(0, 0)$ чекитинде үзгүлтүктүү б.а. жашоо жана жалгыздык теоремасынын шарты бузулган. 2 гл. терминологиясына ылайык, $(0, 0)$ чекити өзгөчө чекит болуп саналат. Ошондуктан, $(0, 0)$ чекити аркылуу (5.2.2) тенденесинин бир да интегралдык ийри сыйыгы өтпөшү жана ошондой эле бирден көп же чексиз көп интегралдык ийри сыйыктар өтүшү мүмкүн деп алдын-ала айтабыз.

$(0, 0)$ чекитинин айланасында траекториялардын жайгашуусу жана ошондой эле, алардын туруктуу же туруктуу эместики касиети A матрицанын мүнөздөгүч сандары, б.а.

$$\begin{vmatrix} a_{11} - \lambda & a_{12} \\ a_{21} & a_{22} - \lambda \end{vmatrix} = 0. \quad (5.2.3)$$

мүнөздөгүч тендененин λ_1, λ_2 тамырлары аркылуу аныкталат.

Төмөнкүдөй учурлар болушу мүмкүн:

1⁰. (5.2.3) мүнөздөгүч тенденесинин λ_1, λ_2 тамырлары чыныгы жана ар түрдүү:

а) $\lambda_1 < 0, \lambda_2 < 0$. Тынчтык чекити асимптотикалык туруктуу (“туруктуу түйүн”, 9-сүрөт.).

б) $\lambda_1 > 0, \lambda_2 > 0$. Тынчтык чекити туруктуу эмес (“туруктуу эмес түйүн”, 10-сүрөт.).

в) $\lambda_1 > 0, \lambda_2 < 0$. Тынчтык чекити туруктуу эмес (“ээрче”, 11-сүрөт.).

2⁰. (5.2.3) мүнөздөгүч тендененин тамырлары комплекстүү сандар: $\lambda_1 = \alpha + i\beta, \lambda_2 = \alpha - i\beta$;

а) $\alpha < 0, \beta \neq 0$. Тынчтык чекити асимптотикалык туруктуу (“туруктуу фокус”, 12-сүрөт.).

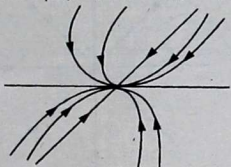
б) $\alpha > 0, \beta \neq 0$. Тынчтык чекити туруктуу эмес (“туруктуу эмес фокус”, 13-сүрөт.).

в) $\alpha = 0, \beta \neq 0$. Тынчтык чекити туруктуу (“борбор”, 14-сүрөт.).

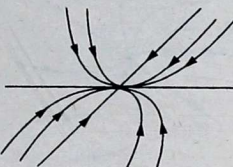
3⁰. $\lambda_1 = \lambda_2$ тамырлары анык жана эки эселүү:

a) $\lambda_1 = \lambda_2 < 0$. Тынчтык чекити асимптотикалык түрүктуу (“туруктуу түйүн”, 15, 16-сүрөт.).

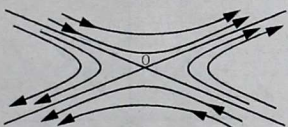
б) $\lambda_1 = \lambda_2 > 0$. Тынчтык чекити түрүктуу эмес (“туруктуу эмес түйүн”, 17, 18-сүрөт.).



9-сүрөт



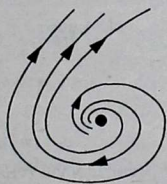
10-сүрөт



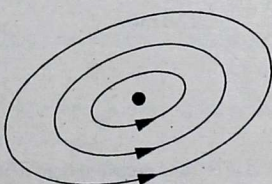
11-сүрөт



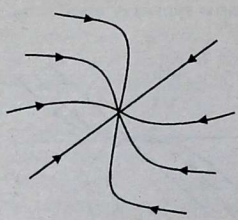
12-сүрөт



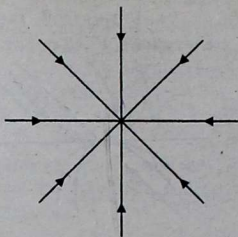
13-сүрөт



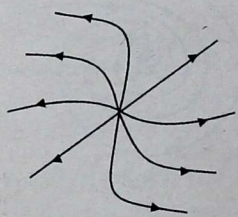
14-сүрөт



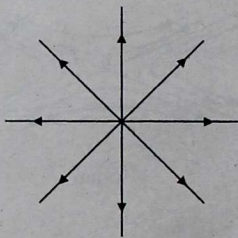
15-сүрөт



16-сүрөт



17-сүрөт



18-сүрөт

$\Delta \neq 0$ деп болжолдоонун негизинде мұнәздәгүч тенденцияның жок дегендеге бир тамыры нөлгө барабар болушу мүмкүн эмес.

Белгилей кетели, көрсөтүлгөн сүрөттөрдөгү траекториялардың схематикалық көрсөтүлүштерүндө жебелер аркылуу t нын өсүү бағыты белгиленген.

(5.2.1) системасы үчүн чекиттердин мындаи классификациясы А. Пуанкареге тиешелүү. *p* өлчөмүнүн жогорулашы менен фазалык сүрөт өтө татаалданат, изилдөө үчүн көптөгөн методдор өнүккөн [2] жаны кубулуштар пайдаланып болот.

Дифференциалдык тенденциилер системасынын фазалык портретин изилдөө дифференциалдык тенденциилердин сапаттык теориясы деп аталган маселелеринин бири болуп саналат.

Мисал 5.2.1. *p* заттык параметрине карата

$$\begin{cases} x = -x + py \\ y = x + 2y \end{cases}$$

системасынын мүнөзүн аныктагыла жана тынчтык чекитин туруктуулукка изилдегиле.

Чыгаруу.

$$\begin{vmatrix} -1-\lambda & p \\ 1 & 2-\lambda \end{vmatrix} = \lambda^2 - \lambda - (p+2) = 0$$

мүнөздөгүч тенденции $\lambda_{1,2} = \frac{1}{2} \pm \frac{1}{2}\sqrt{9+4p}$ тамырларына ээ. *p* параметрине карата λ_1 жана λ_2 тамырларынын мүнөзүн изилдеп, төмөнкүлөрдү алабыз:

эгерде $p < -\frac{9}{4}$ болсо (тамырлары комплекстүү $\operatorname{Re} \lambda_{1,2} > 0$)

– туруктуу эмес фокус;

эгерде $-\frac{9}{4} \leq p < -2$ болсо (тамырлары чыныгы жана он)

– туруктуу эмес түйүн;

эгерде $-2 < p$ болсо (тамырлары чыныгы жана ар түрдүү)

– ээрче, тынчтык чекити туруктуу эмес.

Мисал 5.2.2. Сүрүлүгүнү жана чойрөнүн каршылыгы *K* ны эсепке алып, серпилгич термелүүлөрдүн

$$\frac{d^2x}{dt^2} + 2K \frac{dx}{dt} + \omega^2 x = 0 \quad (5.2.4)$$

тенденциин туруктуулукка изилдегиле ((3.10.1) тенденциин карагыла).

Чыгаруу. (5.2.4) тенденесинен ага эквиваленттүү

$$\begin{cases} \frac{dx}{dt} = y \\ \frac{dy}{dt} = -2Ky - \omega^2 x \end{cases} \quad (5.2.5)$$

тенденмелер системасына өтөбүз.

(5.2.5) системасынын $(0, 0)$ тынчтык чекитинин мүнөзүн аныктоо үчүн

$$\begin{vmatrix} -\lambda & 1 \\ -\omega^2 & -2K - \lambda \end{vmatrix} = 0 \quad \text{же} \quad \lambda^2 + 2K\lambda + \omega^2 = 0$$

мүнөздөгүч тенденме түзөбүз, мындандай

$$\lambda_{1,2} = -K \pm \sqrt{K^2 - \omega^2}. \quad (5.2.6)$$

Төмөнкү учурларды карайбыз:

а) $K=0$ (чөйрөнүн каршылыгы жок). (5.2.6) дан $\lambda_{1,2} = \pm i\omega$ ны алабыз. Тынчтык чекити-борбор туруктуу (бардык кыймылдар мезгилдүү болуп саналат);

б) $K > 0, K^2 - \omega^2 < 0$. λ_1 жана λ_2 тамырлары түйүндөш комплекстүү, $\operatorname{Re} \lambda_{1,2} < 0$. Тынчтык чекити – туруктуу фокус (термелүү басандайт);

в) $K > 0, K^2 - \omega^2 \geq 0$ (чөйрөнүн каршылыгы өтө чоң $K \geq \omega$). λ_1 жана λ_2 тамырлары чыныгы жана терс. Тынчтык чекити – туруктуу түйүн (бардык чыгарылыштар басандоочу жана термелбөөчү).

Өз алдынча иштөө үчүн көнүгүүлөр

Төмөнкү системалардын тынчтык чекиттеринин мүнөзүн аныктагыла:

$$\text{№ 187. } x = x + 2y, \quad y = -3x + y.$$

$$\text{№ 188. } x = -2x + \frac{1}{3}y, \quad y = -2x + \frac{1}{2}y.$$

$$\text{№ 189. } x = -x + 3y, \quad y = -x + 2y.$$

$$\text{№ 190. } x = -y, \quad y = x - 2y.$$

$$\text{№ 191. } \dot{x} = -6x - 5y, \quad \dot{y} = -2x - 5y.$$

Р параметринин кандай маанилеринде системанын тыңчтык чекити туруктуу экенин аныктагыла:

$$\text{№ 192. } \dot{x} = px - y, \quad \dot{y} = x + 2y.$$

$$\text{№ 193. } \dot{x} = -3x - py, \quad \dot{y} = -px + y.$$

§5.3. Ляпунов функцияларынын методу

Ляпунов функцияларынын методу - (5.1.1) системасынын төн салмактуулук абалынын туруктуулугун ылайыктуу түрдө тандап алынган $V(t, x_1, \dots, x_n)$ функциясынын - Ляпунов функциясынын жардамы менен түздөн-түз изилдөөдө турат, бул анын үстүнө системанын чыгарылышын алдын ала таппастан эле жүргүзүлөт.

Тыңчтык чекити $x_k = 0, k = 1, 2, \dots, n$, б.а. $f_k(0, \dots, 0) = 0$ болгон

$$x_k = f_k(x_1, \dots, x_n), \quad k = 1, 2, \dots, n \quad (5.3.1)$$

автономдуу системаларды кароо менен чектелебиз.

Эгерде координаталар башталышынын кандайдыр бир аймагында аныкталган $V(x_1, \dots, x_n)$ функциясы

$$|x_k| \leq h, \quad k = 1, 2, \dots, n \quad (5.3.2)$$

областында (мында h – жетишээрлик кичине он сан) бир гана аныкталган белгидеги маанилерди кабыл ала алса жана $x_1 = x_2 = \dots = x_n = 0$ болгондо гана нөлгө айланса, анда ал белгиси аныкталган (он-аныкталган же терс-аныкталган) функция деп аталац. Мисалы, $n = 3$ болгон учурда $V = x_1^2 + x_2^2 + x_3^2$ же $V = x_1^2 + 2x_2^2 + 2x_2x_3 + x_3^2$ функциялары он аныкталган болушат, мында $h > 0$ чондугу каалаганчалык чоң кылып алынышы мүмкүн.

Эгерде $V(x_1, x_2, \dots, x_n)$ функциясы (5.3.2) областында бир гана аныкталган белгидеги маанилерди кабыл ала алса, бирок

$x_1^2 + x_2^2 + \dots + x_n^2 \neq 0$ болгондо да нөлгө айланышы мүмкүн болсо, анда ал белгиси турактуу (он же терс) деп аталац.

Маселен,

$$V(x_1, x_2, x_3) = x_1^2 + x_2^2 + 2x_2x_3 + x_3^2$$

функциясынын белгиси турактуу (он) болот. Чындыгында эле, $V(x_1, x_2, x_3)$ функциясын $V(x_1, x_2, x_3) = x_1^2 + (x_2 + x_3)^2$ деп жазууга болот, мындан көрүнүп тургандай, ал $x_1^2 + x_2^2 + x_3^2 \neq 0$ болгондо да, атап айтканда, $x_1 = 0$ жана $x_2 = -x_3$ барабардыгын аткарган каалагандай x_2, x_3 үчүн нөлгө айланат.

$V(x_1, x_2, \dots, x_n)$ өз аргументтеринин дифференциалдануучу функциясы болсун жана x_1, x_2, \dots, x_n (5.3.1) дифференциалдык тенденмелер система-сын канааттандырган убакыттан көз каранды кандайдыр бир функциялар болушсун. Анда V функциясынын убакыт боюнча толук туундусу үчүн төмөнкүгө ээ болобуз:

$$\frac{dV}{dt} = \sum_{k=1}^n \frac{dV}{dx_k} \cdot \frac{dx_k}{dt} = \sum_{k=1}^n \frac{dV}{dx_k} \cdot f_k(x_1, x_2, \dots, x_n). \quad (5.3.3)$$

(5.3.3) формуласы боюнча аныкталган $\frac{dV}{dt}$ чондугу - (5.3.1)

тенденмелер системасынын жардамы аркасында түзүлгөн V функциясынын убакыт боюнча толук туундусу деп аталац.

Ляпуновдун төмөнкү теоремалары аткарылат:

Теорема 5.3.1 (туруктуулук жөнүндө). Эгерде (5.3.1) дифференциалдык тенденмелер системасы үчүн белгиси аныкталган $V(x_1, x_2, \dots, x_n)$ функциясы (Ляпунов функциясы) жашаса жана (5.3.1) системасынын жардамы аркасында түзүлгөн убакыт боюнча $\frac{dV}{dt}$ толук туундусу, V га карама-каршы белгиге

ээ же нөлгө тенденш барабар болгон белгиси турактуу функция болсо, анда (5.3.1) системасынын $x_k = 0, k = 1, 2, \dots, n$ тынчтык чекити туруктуу.

Теорема 5.3.2 (асимптотикалык туроктуулук жөнүндө). Эгерде (5.3.1) дифференциалдык тенденмелер системалары үчүн

$V(x_1, x_2, \dots, x_n)$ белгиси аныкталган функция табылса жана (5.3.1) системасынын жардамы аркасында түзүлгөн убакыт боюнча толук туундусу, V га карама-карши белгидеги белгиси аныкталган функция болсо, анда (5.3.1) системасынын $x_k = 0, k = 1, 2, \dots, n$ тынчтык чекити асимптотикалык туроктуу.

Теорема 5.3.3 (туроктуу эместик жөнүндө). (5.3.1) дифференциалдык тенденмелер системасы үчүн $V(0, 0, 0) = 0$ шартын аткарған координаталар башталышынын аймагында дифференциалдануучу $V(x_1, x_2, \dots, x_n)$ функциясы табылсын дейли. Эгерде (5.3.1) системасынын жардамы аркасында түзүлгөн анын $\frac{dV}{dt}$ толук туундусу он аныкталган функция болсо жана

$V(x_1, x_2, \dots, x_n)$ функциясы он маанилерди ала тургандай координаталар башталышына жетишээрлик жакын чекиттер бар болсо, анда $x_k = 0, k = 1, 2, \dots, n$ тынчтык чекиттери туроктуу эмес.

Кыстырма. Ляпуновдун функциясы траектория чекитинен координаталар башталышына чейинки «жалпыланган аралыктын» ролун ойнот. Ляпунов функциялары методунун мазмуну мындай: бул «жалпыланган аралык» системанын жардамы аркасында гарантиялуу түрдө кичиреет же чоноёт.

Мисал 5.3.1. Ляпунов функциясынын жардамы аркасында

$$\dot{x} = -x + y, \quad \dot{y} = -2y^3 - x$$

системасынын тынчтык чекитин туроктуулукка изилдегиле.

Чыгаруу. Ляпунов функциясы катары $V(x, y) = x^2 + y^2$ функциясын алабыз. Анда $\frac{dV}{dt} = 2x(-x+y) + 2y(-2y^3-x) = -2(x^2 + 2y^4)$,

жана V функциясы $\frac{dV}{dt}$ менен бирдикте 5.3.2. теоремасынын шарттарын канааттандырат. Демек, системанын тынчтык чекити асимптотикалык туроктуу.

Мисал 5.3.2.

$$\dot{x} = x(2 + \cos x), \quad \dot{y} = -y$$

системасынын тынчтык чекитин туроктуулукка изилдегиле.

Чыгаруу. $V = x^2 - y^2$ функциясын алабыз. Анда координаталар башталышынан башка бардык жерде

$$\frac{dV}{dt} = 2x^2(2 + \cos x) + 2y^2 = \\ 2(2x^2 + y^2 + x^2 \cos x) = 2\left(x^2 + 2x^2 \cos^2\left(\frac{x}{2}\right) + y^2\right) > 0.$$

Мындан сырткары, $V > 0$ болгон (мисалы, $y=0$ түз сыйында $V = x^2 > 0$), координаталар башталышына жетишээрлик жакын чекиттер табылат. Демек, 5.3.3 теоремасынын бардык шарттары аткарылды жана $O(0, 0)$ тынчтык чекити туруктуу эмес (ээрче).

Мисал 5.3.3. (4.5.4) системасынын тынчтык чекитин туруктуулукка изилдегиле.

Чыгаруу. $V(x, y)$ функциясы катары $V(x, y) = x^2 + y^2$ функциясын тандап алабыз. Бул функция он аныкталган. V функциясынын туундусу (4.5.4) системасынын негизинде төмөнкүгө барабар:

$$\frac{dV}{dt} = 2x \frac{dx}{dt} + 2y \frac{dy}{dt} = 2xy - 2xy = 0.$$

5.3.1 теоремасынан $O(0, 0)$ тынчтык чекити туруктуу экени келип чыгат. Бирок, асимптотикалык туруктуулук жок: берилген системанын траекториясы –айланалар жана алар $t \rightarrow +\infty$ болгондо $O(0, 0)$ чекитине умтулбайт («борбор» тибиндеги учур).

Ляпунов функциясын түзүүнүн жалпы методу жок. Жөнөкөй учурларда аны

$$V = ax^2 + by^2, V = ax^4 + by^4, V = ax^2 + bx^4$$

түрүндө издөөгө болот, мында $a > 0, b > 0$ тиражтуулары тиешелүү түрдө тандап алынат.

Мисал 5.3.4.

$$\begin{cases} \dot{x} = -x + \frac{3}{2}y + 3xy^3 \\ \dot{y} = -x - \frac{1}{3}y + 2x^2y^2 \end{cases}$$

сыйыктуу эмес системанын тынчтык чекитин туруктуулукка изилдегиле.

Чыгаруу. Ляпуновдун функциясын $V = ax^2 + by^2$, $a > 0$, $b > 0$ түрүндө издейли. Анда төмөнкүгө ээ болобуз:

$$\begin{aligned}\frac{dV}{dt} &= 2ax\left(-x + \frac{3}{2}y + 3xy^3\right) + 2by\left(-x - \frac{1}{3}y + 2x^2y^2\right) = \\ &= -\left(2ax^2 + \frac{2}{3}by^2\right) + (xy + 2x^2y^2) \cdot (3a - 2b).\end{aligned}$$

$$b = \frac{3}{2}a \text{ деп алсак, ар кандай } a > 0 \text{ үчүн } \frac{dV}{dt} = -a(2x^2 + y^2) \leq 0$$

дү алабыз. **5.3.2** теоремасынан системанын тынчтык чекити асимптотикалык туруктуу экени келип чыгат.

Мисал 5.3.5.

$$\frac{dx}{dt} = ax^m + g(x)$$

тендемесинин нөлдүк чыгарылышын туруктуулукка изилдегиле, мында m - натуралдык сан, $a \neq 0$, ал эми $g(0) = 0$ жана $g(x)$ функциясынын $x = 0$ чекитинин аймагында Тейлордун катарына ажыратылышы $k \geq m + 1$ - даражалуу мүчөлөрдөн башталат.

Чыгаруу. Оң аныкталган $V(x) = x^2$ функциясын карайлы. Анын туундусу алгачкы тендеменин жардамы аркасында

$$\frac{dV}{dt} = 2x \frac{dx}{dt} = 2ax^{m+1} + 2xg(x).$$

Эгерде m - так сан ($m = 2p + 1$) болсо, анда $\frac{dV}{dt}$

функциясы $x = 0$ чекитинин жетишээрлик кичине аймагында белгиси аныкталган болуп саналат, себеби $2ax^{m+1}$ функциясы ушундай, ал эми $xg(x)$ функциясынын Тейлор катарына $x = 0$ чекитинин аймагында ажыратылышы $m+2$ ден төмөн эмес даражалуу мүчөлөрдөн башталат. Ошондуктан $a < 0$ болгондо, **5.3.2** теоремасынын шарттары аткарылат, ал эми $a > 0$ болгондо, $V(x) = x^2$ функциясы **5.3.3.** теоремасынын шарттарын канааттандырат.

Эми m -жуп сан ($m = 2p$) болсун. $V(x) = x$ функциясын карайлы жана анын t боюнча туундусун алгачкы тенденциянин жардамы аркасында эсептейли

$$\frac{dV}{dt} = \frac{dV}{dx} \cdot \frac{dx}{dt} = ax^{2p} + g(x).$$

$x = 0$ чекитинин жетишээрлик кичине аймагында dV/dt туундусунун белгиси аныкталган болору көрүнүп турат. $V(x)$ функциясынын белгиси туралтуу болбойт ($V(x)$ – белгиси өзгөрмөлүү функция, анын белгиси dV/dt нын белгисине карама-каршы). Анда 5.3.3. теоремасына ылайык алгачкы тенденциянин нөлдүк чыгарылышы туралтуу эмес.

Өз алдынча иштөө үчүн көнүгүүлөр

Төмөнкү системалардын тынчтык чекиттерин түрүк-туулукка изилдегиле:

$$\text{№ 194. } \dot{x} = x - y - x^3 - y^2, \quad \dot{y} = x - y + xy.$$

$$\text{№ 195. } \dot{x} = y + x^3, \quad \dot{y} = -x + y^3.$$

$$\text{№ 196. } \dot{x} = xy^4, \quad \dot{y} = -x^4y.$$

$$\text{№ 197. } \dot{x} = -y + x^5, \quad \dot{y} = x + y^5.$$

$$\text{№ 198. } \dot{x} = y + x^2y^2 - \frac{1}{4}x^5, \quad \dot{y} = -2x - 2x^3y - \frac{1}{2}y^3.$$

$$\text{№ 199. } \dot{x} = -2x + 4xy^2, \quad \dot{y} = y + 2x^2y.$$

$$\text{№ 200. } \dot{x} = -3y - 2x^3, \quad \dot{y} = 2x - 3y^3.$$

§5.4. Биринчи жакыннатуу боюнча түрүктуулук

(5.3.1) системасынын он жактары, б.а. $f_i(x_1, \dots, x_n)$, $i = 1, 2, \dots, n$ функциялары координаталар башталышында каалаганчалык сандагы туундууга ээ болсун дейли. f_i функцияларын координаталар башталышынын аймагында Тейлордун формуласы боюнча ажыраталы:

$$f_i(x_1, \dots, x_n) = \sum_{j=1}^n a_{ij} x_j + R_i(x_1, \dots, x_n),$$

мында $a_{ij} = \frac{\partial f_i(0, \dots, 0)}{\partial x_j}$, ал эми $R_i = x_1, \dots, x_n$ ге карата кичинеллиги экинчи тартилтеги мүчөлөр. Анда алгачкы (5.3.1) системасы төмөнкүдөй жазылат:

$$\frac{dx_i}{dt} = \sum_{j=1}^n a_{ij} x_j + R_i(x_1, \dots, x_n), \quad i = 1, 2, \dots, n.$$

(5.3.1) системасы үчүн биринчи жакыннатуу системасы деп аталган

$$\frac{dx_i}{dt} = \sum_{j=1}^n a_{ij} x_j, \quad (i = 1, 2, \dots, n), \quad a_{ij} = \text{const} \quad (5.4.1)$$

системасын карайлы.

Төмөнкү теорема туура:

Теорема 5.4.1. Эгерде

$$\begin{vmatrix} a_{11} - \lambda & a_{12} & \dots & a_{1n} \\ a_{21} & a_{22} - \lambda & \dots & a_{2n} \\ \dots & \dots & \dots & \dots \\ a_{n1} & a_{n2} & \dots & a_{nn} - \lambda \end{vmatrix} = 0 \quad (5.4.2)$$

мүнөздөгүч тенденциин бардык тамырлары терс заттык бөлүккө ээ болсо, анда (5.4.1) системасынын жана (5.3.1) системасынын нөлдүк чыгарылышы $x_i \equiv 0, (i = 1, 2, n)$ асимптотикалык туруктуу.

Теорема 5.4.2. Эгерде (5.4.2) мүнөздөгүч тенденесинин жок дегенде бир тамыры он заттык бөлүккө ээ болсо, анда (5.4.1) системасынын жана (5.3.1) системасынын нөлдүк чыгарылышы туруктуу эмес.

5.4.1 жана **5.4.2** теоремалары учурларында (5.3.1) системасын биринчи жакыннатуу боюнча туруктуулукка изилдөө мүмкүн деп айтышат.

Критикалык учурларда, б.а. (5.4.2) мұнәздөгүч тенденесинин бардық тамырларының заттық бөлүктөрү он эмес болушса, жана дагы жок дегенде бир тамырдын заттық бөлүгү нөлгө барабар болсо, анда жалпысынан айтканда, биринчи жакыннатуу боюнча туруктуулукка изилдөө мүмкүн эмес (R , нин кичинелиги экинчи тартиптеги мүчөлөрү таасир кыла баштайды).

Мисал 5.4.1. $\dot{x} = 2x + y + 3y^2$, $\dot{y} = 3x + y + \frac{x^3}{3}$ система-сынын $x = 0, y = 0$ тынчтық чекитин биринчи жакыннатуу боюнча туруктуулукка изилдегиле.

Чыгаруу. Биринчи жакыннатуу системасы $\dot{x} = 2x + y$, $\dot{y} = 3x + y$ болот. Сызықтуу система үчүн

$$\begin{vmatrix} 2 - \lambda & 1 \\ 3 & 1 - \lambda \end{vmatrix} = 0 \text{ же } \lambda^2 - 3\lambda - 1 = 0$$

мұнәздөгүч тенденесин түзөлү. Мұнәздөгүч тендененин тамырлары $\lambda_1 = \frac{3 + \sqrt{13}}{3}$, $\lambda_2 = \frac{3 - \sqrt{13}}{3}$ заттық сандар болушат жана $\lambda_1 > 0$. Демек, алгачкы системанын $x = 0, y = 0$ нөлдүк чыгарылышы туруктуу эмес.

Мисал 5.4.2.

$$\begin{cases} \dot{x} = \frac{1}{4}(e^x - 1) - 9y \\ \dot{y} = \frac{1}{5}x - \sin y \end{cases}$$

системасынын $x = 0, y = 0$ тынчтық чекитин туруктуулукка изилдегиле.

Чыгаруу. $e^x = 1 + x + \dots$, $\sin y = y - \dots$ функцияларын Тейлордун катарына ажыратып жана андан кичинелиги 1-тартиптеги мүчөлөрүн бөлүп алып, алгачкы системаны

$$\begin{cases} \dot{x} = \frac{1}{4}x - 9y + R_1(x, y) \\ \dot{y} = \frac{1}{5}x - y + R_2(x, y) \end{cases}$$

түрүндө жаза алабыз, мында R_1 , R_2 – x жана y ке салыштырмалуу кичинелиги 2-тартылтеги мүчөлөр. Алгачкы система үчүн тиешелүү биринчи жакыннатуу тенденциелеринин системасы

$$\begin{cases} \dot{x} = \frac{1}{4}x - 9y \\ \dot{y} = \frac{1}{5}x - y. \end{cases}$$

Анын мүнөздөгүч тенденциесинин тамырлары $\lambda_{1,2} = \frac{3}{8} \pm \frac{i}{2\sqrt{80}}$

терс заттык бөлүккө ээ. Ошентип, бул системанын жана да алгачкы системанын тынчтык чекити асимптотикалык туруктуу.

Мисал 5.4.3. Эгерде $\alpha\beta > -1$ болсо, анда

$$\begin{cases} \frac{dx}{dt} = -\sin(x + \alpha y) \\ \frac{dy}{dt} = \beta x + \ln(1 - y) \end{cases},$$

системасынын нөлдүк чыгарылышы асимптотикалык туруктуу экенин далилдегиле.

Чыгаруу. $\sin z$ жана $\ln(1-y)$ функцияларынын

$$\sin z = z - \frac{z^3}{3!} + \dots, \quad \ln(1-y) = -y + \frac{y^2}{2} + \dots$$

Тейлор катарына ажыратылыштарын эске алып, биринчи жакыннатуу системасын жазалы:

$$\begin{cases} \frac{dx}{dt} = -x - \alpha y \\ \frac{dy}{dt} = \beta x - y. \end{cases}$$

Ага туура келген мүнөздөгүч тенденция: $\lambda^2 + 2\lambda + 1 + \alpha\beta = 0$.

Эгерде $1 + \alpha\beta > 0$, б.а. $\alpha\beta > -1$ болсо, анда анын эки тамыры тен терс заттык мааниге ээ. Ошентип, берилүү шарты аткарылганда берилген системанын нөлдүк чыгарылышы асимптотикалык туруктуу болот.

Мисал 5.4.4.

$$\begin{cases} \frac{dx}{dt} = 3y - x \sin^2 x \\ \frac{dy}{dt} = -x - y^3 \end{cases}$$

тенденмелер системасынын тынчтык чекитин туруктуулукка изилдегиле.

Чыгаруу. Биринчи жакындуатуу системасы

$$\begin{cases} \frac{dx}{dt} = 3y \\ \frac{dy}{dt} = -x \end{cases}$$

түрүнө ээ.

Мүнөздөгүч тамырлары $\lambda_{1,2} = \pm i\sqrt{3}$. Демек, биз критикалык учурга жолуктук. Ошондуктан $V = x^2 + 3y^2$ функциясын киргизели.

Анда $\frac{dV}{dt} = 2x(3y - x \sin^2 x) + 6y(-x - y^3) = -(2x^2 \sin^2 x + 6y^4) \leq 0$.

Анын үстүнө $O(0, 0)$ чекитинин айланасында $x=y=0$ болгон учурда гана, $\frac{dV}{dt} = 0$.

Демек, 5.3.2 теоремасы боюнча берилген системанын нөлдүк чыгарылышы асимптотикалык туруктуу.

Өз алдынча иштөө үчүн көнүгүүлөр

Төмөнкү берилген төндемелер системаларынын тынчтык чекитинин биринчи жакындаатуу боюнча туруктуулукка изилдегиле:

$$\begin{array}{l} \text{№ 201. } \begin{cases} \dot{x} = 2x + 8\sin y \\ \dot{y} = 2 - e^x - 3y - \cos y. \end{cases} \end{array}$$

$$\begin{array}{l} \text{№ 203. } \begin{cases} \dot{x} = 7x + 2 \sin y \\ \dot{y} = e^x - 3y - 1. \end{cases} \end{array}$$

$$\begin{array}{l} \text{№ 205. } \begin{cases} \dot{x} = -x + 1 - \cos y \\ \dot{y} = \sin^2 x + 1 - e^y. \end{cases} \end{array}$$

$$\begin{array}{l} \text{№ 202. } \begin{cases} \dot{x} = 5x + y \cos y \\ \dot{y} = 3x + 2y - y^3 e^y. \end{cases} \end{array}$$

$$\begin{array}{l} \text{№ 204. } \begin{cases} \dot{x} = -\frac{3}{2}x + \frac{1}{2} \sin y \\ \dot{y} = -y - 2x. \end{cases} \end{array}$$

$$\begin{array}{l} \text{№ 206. } \begin{cases} \dot{x} = 4 \sin x + \ln(1+y) \\ \dot{y} = x + y + x^2 y. \end{cases} \end{array}$$

№ 207. Төмөнкү төндемелер системаларынын тынчтык чекиттерин биринчи жакындаатуу боюнча туруктуулукка изилдөөгө мүмкүн эмес экенин көргөзгүлө. Изилдөөнү Ляпунов функциялары методу менен жүргүзгүлө.

$$\text{а) } \begin{cases} \dot{x} = -4y - x^3 \\ \dot{y} = 3x - y^3. \end{cases}$$

$$\text{б) } \begin{cases} \dot{x} = 2y - x^3 \sin^2 x \\ \dot{y} = -3x - y^5. \end{cases}$$

VI Глава. Кадимки дифференциалдык тенденциилерди чыгаруунун сандық методдору

§ 6.1. Багыттар талаасы (изоклиның методы)

$y'(x) = f(x, y(x))$ (2.1.1) кадимки дифференциалдык тенденмеси $f(x, y)$ функциясы жашаган ар бир (x, y) чекитинде y' тин маанин б.а. интегралдык ийри сызыктар жүргүзүлгөн жаныманын бурчук коэффициентин аныктайт.

Егерде D областынын ар бир чекитинде кандайдыр бир чондуктун мааниси берилсе, анда D областында ушул чондуктун талаасы берилген деп айтышат.

$(x; y; y')$ үчүлүк сандары (x, y) чекити аркылуу өтүүчү түз сызыктын багытын аныктайт. Бул түз сызыктардың кесиндилиеринин жыйындысы багыттар талаасынын геометриялык сүрөттөлүшүн берет.

(2.1.1) дифференциалдык тенденмесин интегралдоо маселеси төмөндөгүдөй түшүндүрүлүшү мүмкүн: ар бир чекитиндеги жанымасы бул чекиттеги талаанын багыты менен дал келген багытка ээ болгон ийри сызыкты тапкыла.

Интегралдык ийри сызыкты түзүү маселеси көбүнчө изоклини киргизүү менен чечилет.

Аныктама. Изделүүчү интегралдык ийри сызыктарга жүргүзүлгөн жанымалар бирдей багытка ээ болгон чекиттердин геометриялык орду изоклина деп аталат (б.а. изоклина деп бардык чекиттеринде талаанын багыттары бирдей ийри сызыкты айтабыз).

Берилген изоклинаны кесип өтүүчү бардык интегралдык ийри сызыктар кесилишүү чекиттеринде абсцисса огуна бирдей бурч менен жантайышат.

(2.1.1) дифференциалдык тенденмесинин изоклинеринин түркүмү
$$f(x, y) = k \quad (6.1.1)$$

тенденме менен аныкталат, мында k – параметр. k параметрине бири-бирине жакын сандық маанилерди берүү менен жетишээрлик жыш изоклина торчолорун алабыз, алынган изоклина торчолорунун жардамы менен (2.1.1) дифференциалдык тенденмесинин интегралдык ийри сызыктарын жакындастып түзүүгө мүмкүн болот.

Эскертуу 1. Нөлдүк изоклина $f(x, y) = 0$ интегралдык ийрии сызыктардын максимум жана минимум чекиттери жайгашып кала турган сызыктардын тенденесин берет.

Интегралдык ийрии сызыктарды тактап тургузуу үчүн ийрилүү чекиттеринин геометриялык ордун да табышат. Бул үчүн (2.1.1) тенденесинин негизинде y'' ти табышат:

$$y'' = \frac{\partial f}{\partial x} + \left(\frac{\partial f}{\partial y} \right) y' = \frac{\partial f}{\partial x} + f(x, y) \frac{\partial f}{\partial y} \quad (6.1.2)$$

жана аны нөлгө барабарлайт.

$$\frac{\partial f}{\partial x} + f(x, y) \frac{\partial f}{\partial y} = 0 \quad (6.1.3)$$

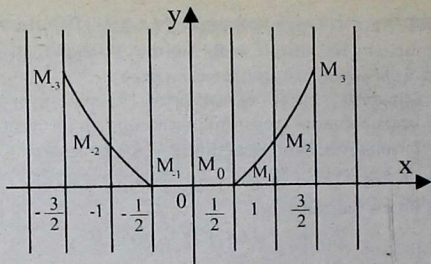
тенденеси менен аныкталуучу сызык – мүмкүн болгон ийрилүү чекиттеринин көптүгү болот.

Эскертуу 2. Эки же бир нече изоклиналардын кесилиш чекиттери (2.1.1) дифференциалдык тенденесинин өзгөчө чекиттери болушу мүмкүн.

Эгерде (x_0, y_0) чекитинде $f(x, y)$ функциясы чексизге айланса, анда талаанын багыты ордината огуна параллель болот. Бул учурда «оодарылган» $dx / dy = 1 / f(x, y)$ дифференциалдык тенденесин пайдалануу керек.

Эгерде (x_0, y_0) чекитинде $f(x, y)$ функциясы аныксыздыкты берсе (мисалы, $\frac{0}{0}$ түрүндөгү), анда бул чекитте талаа аныкталган жок деп айтышат. Мындай чекитти (2.1.1) дифференциалдык тенденесинин өзгөчө чекити деп атайбыз.

$y' = f(x, y)$ тенденесин жакындашып (графикалык) чыгаруу үчүн k нын бир нече маанилери үчүн тегиздикте изоклиналарды тургузабыз. $M_0(x_0, y_0)$ кандайдыр бир баштапкы чекит болсун. Бул чекит аркылуу өткөн L_0 изоклинасы k нын $k \equiv k_0 = f(x_0, y_0)$ гө барабар маанисине туура келет. Бурчтук коэффициенти k_0 болгон M_0M_1 кесиндинесин анын жанымасынын кесиндинесине чейин жүргүзөбүз. Андан ары, $M_1(x_1, y_1)$ чекитинен бурчтук коэффициенти $k_1 = f(x_1, y_1)$ болгон M_1M_2 жаңы кесиндини кийинки изоклина L_2 менен M_2 чекитинде кесишикенге чейин жүргүзөбүз д.у.с.



19-сүрөт

Мындаи тургuzuунун натыйжасында, M_0 баштапкы чекити аркылуу өткөн интегралдык ийри сызыктын жакындатылган сүрөттөлүшү болуп саналган сынык сызыкты алабыз. Изоклиналардын торчосун канчалык жыш алсак, интегралдык ийри сызыкты ошончолук тагыраак алабыз.

M_0 баштапкы чекитинин абалын өзгөртүп, башка интегралдык ийри сызыктарды ушуга окшош жакындатып түзсө болот.

Мисал 6.1.1. $y' = 2x$ теңдемесинин координата башталышы аркылуу өткөн интегралдык ийри сызыгын изоклиналар методу менен тургузгула.

Чыгаруу. Берилген теңдеменин изоклиналары – вертикальдык жарыш түз сызыктар: $2x = k$. $k = 0, \pm 1, \pm 2, \pm 3, \dots$ деп эсептеп, $x = 0$, $x = \pm 1/2$; $x = \pm 1$; $x = \pm 3/2$ д.у.с. изоклиналарын алабыз. Графигин түзөлү (координата октору жана вертикальдык түз сызыктар).

Координаталар башталышынан солго жана онго багыт алып, ... M_{-3} M_{-2} M_{-1} M_0 M_1 M_2 M_3 ... сынык сызыгын түзөбүз, анын звенолору тиешелүү түрдө $-2, -1, 0, 1, 2, \dots$ ге барабар болгон бурчтук коэффициенттерге ээ болушат. Бул сынык интегралдык ийри сызыктын жакындатылган сүрөттөлүшү болот (19- сүрөт).

Өз алдынча иштөө үчүн маселелер

Изоклиналар методу менен төмөнкү дифференциалдык тендерлердин интегралдык ийри сыйыктарынын түркүмүн жасындатып түргузугула:

$$\text{№ 208. } y' = x + y;$$

$$\text{№ 211. } y' = y - x^2;$$

$$\text{№ 209. } y' = 1 + y;$$

$$\text{№ 212. } y' = y/(x + y);$$

$$\text{№ 210. } y' = -y/x;$$

$$\text{№ 213. } y' = (y - 3x)/(x + 3y).$$

§ 6.2. Баштапкы маселени чыгаруунун сандық методдору

(2.1.1) тендереси үчүн

$$y(a) = y_0 \quad (6.2.1)$$

Коши маселесинин сандық чыгарылышы изделген $\varphi(x)$ чыгарылышты x , аргументинин кандайдыр бир $[a, b]$ кесиндисинде берилген

$$x_0 = a < x_1 < x_2 < \dots < x_m = b \quad (6.2.2)$$

маанилери үчүн анын жакындағылган маанилеринин таблицасы түрүндө алууда турат. (6.2.2) чекиттерин түйүндүк чекиттери деп, ал эми бул чекиттердин көптүгүн $[a, b]$ кесиндисинде торчо деп аташат. Биз

$h = (b - a) / m$; $x_i - x_{i-1} = h$ же $x_i = x_0 + i h$ ($i = 1, \dots, m$) (6.2.3)
түрүндөгү кадамы h болгон бирдей өлчөмдөгү торчону пайдаланбайз.

Коши маселесинин сандық чыгарылыштарынын x_i чекиттеринде жакындағылган маанилерин y_i аркылуу белгилейбиз; ошентип, $y_i \approx \varphi(x_i)$ ($i = 1, 2, \dots, m$). Коши маселесинин каалагандай сандық чыгарылышы үчүн баштапкы шарт так аткарылат, б. а. $y_0 = \varphi(x_0)$.

y_1, \dots, y_m сандарын алуунун кандайдыр бир методу берилсін. Коши маселесин $[a, b]$ кесиндисинин торчосунда чыгаруунун мындаидай методунун катасты

$$d = \max \{ |y_k - \varphi(x_k)| \mid 1 \leq k \leq m \}$$

чоңдугу менен б.а. жакындағылган чыгарылыш (y_0, y_1, \dots, y_m) жана так чыгарылыш $(\varphi(x_0), \varphi(x_1), \dots, \varphi(x_m))$ векторунун орто-

сундагы аралыкты торчодогу m - норма боюнча аралык менен бааланат.

Эгерде d аралыгын h тан даражалуу $d < Ch^p$, $p > 0$ функция менен чектегенге мүмкүн болсо, мында C - (2.1.1) теңдемесинин он жагынан жана караптадон көз каранды болгон қандайдыр бир он турактуу сан, анда метод торчодо h кадамы боюнча p - тактыкка ээ деп айтышат. Эгерде бул (эсептөө каталыгын эске албаганда) барабарсыздык аткарылса, анда h кадамы нөлгө умтулаары менен эле d катасты дагы нөлгө умтулаары көрүнүп турат.

1⁰. Эйлердин методу

Коши маселесин чыгаруунун эң жөнөкөй сандык методу Эйлердин, кәэде аны Эйлердин сынык сыйыктар методу деп аталган методу саналат.

$M_0(x_0, y_0)$ чекитинде интегралдык ийри сыйыктын жанымасынын бурчтук коэффициенти

$$y'_0 = f(x_0, y_0)$$

болсун.

Жаныманын $x_1 = x_0 + h$ абциссасына туура келген y_1 ординатасын табалы. M_0 чекитиндеги ийри сыйыктын жанымасынын теңдемеси $y - y_0 = y'_0(x - x_0)$ болгондуктан, $y_1 = y_0 + h f(x_0, y_0)$. $M_1(x_1, y_1)$ чекитиндеги бурчтук коэффициент дагы берилген дифференциалдык теңдемеден табылат: $y'_1 = f(x_1, y_1)$. Кийинки кадамда жаңы $M_2(x_2, y_2)$ чекитин алабыз, мында $x_2 = x_1 + h$, $y_2 = y_1 + h f(x_1, y_1)$. Ушундай схемадагы эсептөөлөрдү улантуу менен, $[a, b]$ кесиндинсинин торчосунун (x_0, y_0) баштапкы маанилери жана h кадамы боюнча Коши маселесинин чыгарылышынын жакындастылган m маанилери учун Эйлердин формуласын алабыз:

$$x_i = x_{i-1} + h, \quad y_i = y_{i-1} + h f(x_{i-1}, y_{i-1}) \quad (i=1, 2, \dots, m). \quad (6.2.4)$$

Жакындаатылган чыгарылыштын графикалык көрсөтүлүшү болуп $M_0, M_1, M_2, \dots, M_m$ чекиттерин удаалаш бириктире турган сынык сыйык эсептелет. Ал сынык сыйык Эйлер сынык сыйыгы деп аталаат. Эйлер методунун катастын

$$d \leq \frac{1}{2} \max_{a \leq x \leq b} |h \varphi''(x)| \cdot h^2 m = \frac{1}{2} \max_{a \leq x \leq b} |\varphi''(x)| (b-a) h$$

барабарсыздығы менен баалоого болот, б.а. бул метод 1-тартылған тақтықка әз.

$h/2$ кадамы менен $x_i \in [a, b]$ чекитинде торчодо табылған чыгарылыштын каталығын практикалық баалоону төмөнкү жақындастылған барабардық б.а. Рунге әрежесинин жардамы менен жүргүзсө болот:

$$|\varphi(x_i) - y_i(h/2)| \approx \frac{|y_i(h) - y_i(h/2)|}{2^p - 1}, \quad (6.2.5)$$

мында p – сандық методдун тақтық тартиби. Ошентип, (6.2.5) формуласы боюнча алынган натыйжанын баалануусу эсептөөнү әки жолу: бир жолу h кадамы менен, әкинчи жолу $h/2$ кадамы менен жүргүзүүгө мажбур кылат.

Мисал 6.2.1. $y'' = x + y$, $y|_{x=0} = 1$ Коши маселесин $[0; 0.4]$ кесиндинде Эйлер методу менен чыгарыла. Чыгарылышты бирдей өлчөмдөгү кадамы $h = 0.1$ болгон торчодо төрт чекитте тапкыла. Чыгарылышты ошол эле түйүндөрдө кадамды әки эзе азайтып, программанын жардамы менен (Тиркемени кара) тапкыла. Эсептөөнү $h = 0.05$ кадамы менен жүргүзүп, жакындатуу каталарын төмөнкү учурларда тапкыла:

- а) (6.2.5) формуласынын жардамы менен;
- б) так мааниси менен салыштырып;

Маселенин аналитикалық чыгарылышы

$$\varphi(x) = 2e^x - x - 1$$

түрүнө әз.

Чыгаруу. Бул жерде $f(x, y) = x + y$; $m = 4$; $a = 0$; $h = (b - a) / m = 0.4 / 4 = 0.1$. Рекурренттик формулаларды колдонуп

$x_0 = 0$; $y_0 = 1$; $x_i = x_{i-1} + 0.1$; $y_i = y_{i-1} + 0.1 \cdot (x_{i-1} + y_{i-1})$ ($i = 1, 2, 3, 4$), төмөнкүлөрдү удаалаш түрдө табабыз:

$i = 1$ болгондо $x_1 = 0.1$; $y_1 = 1 + 0.1 \cdot (0 + 1) = 1.1$;

$i = 2$ болгондо $x_2 = 0.2$; $y_2 = 1.1 + 0.1 \cdot (0.1 + 1.1) = 1.22$;

$i = 3$ болгондо $x_3 = 0.3$; $y_3 = 1.22 + 0.1 \cdot (0.2 + 1.22) = 1.362$

$i = 4$ болгондо $x_4 = 0.4$; $y_4 = 1.362 + 0.1(0.3 + 1.362) = 1.5282$

 $\tilde{d}_i = |y_{i-h} - y_{i+h/2}|$, $d_i = |\varphi(x_i) - y_i(h/2)|$ деп белгилейли жана эсептөөнүн натыйжаларын таблицада көрсөтөбүз:

i	y_i/h	$y_i/h/2$	$\varphi(x_i)$	\tilde{d}_i	d_i
1 .1	1.1	1.105	1.110342	0.005	0.005342
2 .2	1.22	1.231012	1.242805	0.011012	0.011793
3 .3	1.362	1.380191	1.399718	0.018191	0.019527
4 .4	1.5282	1.554911	1.583649	0.026711	0.028738

(6.2.5) формуласы боюнча эсептелген $y_i(h/2)$ чыгарылышынын каталарынын \tilde{d}_i баалоолору d_i четтөөлөрүнө жакын жана бул эки чондук $d \approx 0.03$ маанисине, 0.05 кадамы менен Эйлердин методу боюнча эсептөөдө алынган катага жетет. Салыштыруу үчүн: 0.1 кадамы менен эсептегендеги ката $d = |y_i - \varphi(x_i)| = 0.06$ ны түзөөрүн белгилеп кетели.

2⁰. Рунге-Кутт методу

Эгерде бир өлчөмдүү (6.2.3) торчодо (2.1.1) – (6.2.1) Коши маселесин чыгаруунун сандык методу төмөнкүдөй жол менен жүргүзүлсө, анда ал Рунге – Кутт методу болуп калат: эсептөө берилген (x_0, y_0) , чекитинен башталат дагы:

$$x_i = x_{i-1} + h, \quad y_i = y_{i-1} + \Delta y_{i-1},$$

$$\Delta y_{i-1} = \sum_{j=1}^p d_j k_j^{[i-1]}, \quad k_j^{[i-1]} = hf(x_{i-1} + c_j h, y_{i-1} + c_j k_{j-1}^{[i-1]}), \quad i=1..m. \quad (6.2.6)$$

рекуренттик формулалары менен чыгарылыш табылат.

h кадамы боюнча торчодо p -тартиптеги тактыкка ээ болгон метод p -тартиптеги Рунге – Кутт методу деп аталат. (6.2.6) фор-

мұласының жардамы менен c_j жана d_j ($j = 1, 2, \dots, p$) коэфициенттеринин белгилүү маанилеринде гана p -тартылған тақтыкты алышат; мында c_j ди дайыма нөлгө барабар деп коюшат.

Бул коэфициенттерди төмөнкү схема боюнча эсептешет:

1) $f(x, y)$ функциясы талап кылған тартылған тақтыкке чейин туундуга ээ деп божомолдоп, $\varphi(x_0 + h)$ так чыгарылышты жана анын жакындаштыруусун борбору x_0 болгон Тейлордун формуласы боюнча $h^{(p)}$ тартылған тақтыкке кошулуучуга чейин ажыратылыш түрүндө көрсөтүшөт.

2) еки ажыратылыштагы h тын бирдей даражалуу окшош мүчөлөрүнүн барабарлап c_j жана d_j коэфициенттери табыла турган тәндемелерди алышат.

Эйлердин методун Рунге – Куттун 1-тартылған методу деп атоого болоорун белгилеп кетели. Чындығында эле, $p = 1$, $c_1 = 0$, $d_1 = 1$ үчүн (6.2.6) формуналары (6.2.4) катыштарына өзгөртүп түзүлөт:

$$x_i = x_{i-1} + h, y_i = y_{i-1} + \Delta y_{i-1} \quad (i = 1, 2, \dots, m),$$

$$\Delta y_{i-1} = d_1 k_1^{(i-1)} = k_1^{(i-1)}, k_1^{(i-1)} = h f(x_{i-1}, y_{i-1})$$

же

$$x_i = x_{i-1} + h, y_i = y_{i-1} + h f(x_{i-1}, y_{i-1}).$$

Эгерде $p = 2$, $c_1 = 0$, $c_2 = 1$, $d_1 = d_2 = 1/2$ болсо, Рунге – Куттун экинчи тартылған методун Эйлер – Кошинин методу деп аташат. Эйлер – Коши методунун алгоритми (6.2.6) формуналарынан келип чыгат:

$$x_i = x_{i-1} + h, y_i = y_{i-1} + \Delta y_{i-1}, \Delta y_{i-1} = 1/2 [k_1^{(i-1)} + k_2^{(i-1)}] \quad (i = 1, \dots, m),$$

$$k_1^{(i-1)} = h f(x_{i-1}, y_{i-1}), k_2^{(i-1)} = h f(x_{i-1} + h, y_{i-1} + h f(x_{i-1}, y_{i-1})). \quad (6.2.7)$$

Практика жүзүндө чыгарылыштын каталығын баалоо үчүн (6.2.5) формуласынан $p = 2$ деп алып, Рунге эрежесин колдонсо болот.

$p = 4$, $c_1 = 0$, $c_2 = c_3 = 1/2$, $c_4 = 1$, $d_1 = d_4 = 1/6$, $d_2 = d_3 = 1/3$ болондогу Рунге – Куттун төртүнчү тартылған методун – Рунге – Куттун классикалық методу деп аташат.

(6.2.6) рекуренттик формулаларынан Коши маселесинин чыгарылыш алгоритмин Рунге – Куттун классикалық методу боюнча алабыз:

$$\begin{aligned}
 x_i &= x_{i-1} + h, \quad y_i = y_{i-1} + \Delta y_{i-1} \quad (i = 1, 2, \dots, m), \\
 \Delta y_{i-1} &= [k_1^{(i-1)} + 2k_2^{(i-1)} + 2k_3^{(i-1)} + k_4^{(i-1)}], \\
 k_1^{(i-1)} &= hf(x_{i-1}, y_{i-1}), \\
 k_2^{(i-1)} &= hf(x_{i-1} + 1/2 h, y_{i-1} + 1/2 k_1^{(i-1)}), \\
 k_3^{(i-1)} &= hf(x_{i-1} + 1/2 h, y_{i-1} + 1/2 k_2^{(i-1)}), \\
 k_4^{(i-1)} &= hf(x_{i-1} + h, y_{i-1} + k_3^{(i-1)}). \tag{6.2.8}
 \end{aligned}$$

Дифференциалдык тәндемениң жақындастылган чыгарылышынын графиги болуп, $p_i(x_i, y_i)$ ($i = 0, 1, 2, \dots, m$) чекиттерин удаалаш туташтырган сынык сыйык саналат. Сандык методдун тартиби чоңойгон сайын, сынык сыйыктын звенолору - интегралдык ийри сыйыктагы ($x_i, \varphi(x_i)$) чекиттерин удаалаш туташтырган $y = \varphi(x)$ интегралдык ийри сыйыгынын хордалары түзгөн сынык сыйыкка жақындей берет.

Төртүнчү тартиптеги сандык метод үчүн чыгарылыштын каталығын практикалык бааоочу Рунге–Куттун (6.2.5) эрежеси төмөнкү түрге әэ:

$$|\varphi(x_i) - y_i(h/2)| \approx 1/15 |y_i(h) - y_i(h/2)|.$$

Мисал 6.2.2. 6.2.1 мисалындағы Коши маселесин $[0; 0,4]$ кесиндинде Рунге – Куттун классикалық методу менен чыгарыла. 0,1 кадамы менен бир өлчөмдүү торчодогу чыгарылышын төрт түйүн чекитинде тапкыла.

Чыгаруу. $f(x, y) = x + y$ болгондуктан, (6.2.8) формуулалары боюнча $i = 1, 2, 3, 4$ маанилери үчүн төмөнкүлөрдү алабыз:

$$\begin{aligned}
 k_1^{(i-1)} &= h(x_{i-1} + y_{i-1}), \quad k_2^{(i-1)} = h\left(x_{i-1} + \frac{1}{2}h + y_{i-1} + \frac{1}{2}k_1^{(i-1)}\right), \\
 k_3^{(i-1)} &= h\left(x_{i-1} + \frac{h}{2} + y_{i-1} + \frac{1}{2}k_2^{(i-1)}\right), \quad k_4^{(i-1)} = h\left(x_{i-1} + h + y_{i-1} + k_3^{(i-1)}\right), \\
 x_i &= x_{i-1} + h, \quad y_i = y_{i-1} + \frac{1}{6}[k_1^{(i-1)} + 2k_2^{(i-1)} + 2k_3^{(i-1)} + k_4^{(i-1)}].
 \end{aligned}$$

$x_0 = 0, y_0 = 1$ деп алып, төмөндөгүлөрдү удаалаш табалы:

$i=1$ болсо:

$$k_1^{(0)} = 0.1(0+1) = 0.1;$$

$$k_2^{(0)} = 0.1(0+0.05+1+0.05) = 0.11;$$

$$k_3^{(0)} = 0.1(0 + 0.05 + 1 + 0.055) = 0.1105;$$

$$k_4^{(0)} = 0.1(0 + 0.1 + 1 + 0.1105) = 0.121050;$$

$$\begin{aligned}x_1 &= 0 + 0.1 = 0.1; \quad y_1 = 1 + 1/6(0.1 + 2 \cdot 0.11 + \\&+ 2 \cdot 0.1105 + 0.12105) = 1.110342;\end{aligned}$$

$i = 2$ болсо:

$$k_1^{(1)} = 0.1 \cdot (0.1 + 1.110342) = 0.1210342;$$

$$k_2^{(1)} = 0.1 \cdot (0.1 + 0.05 + 1.110342 + 0.0605171) = 0.1320859;$$

$$k_3^{(1)} = 0.1 \cdot (0.1 + 0.05 + 1.110342 + 0.06604295) = 0.1326385;$$

$$k_4^{(1)} = 0.1 \cdot (0.1 + 0.1 + 1.110342 + 0.1326385) = 0.1442980;$$

$$\begin{aligned}x_2 &= 0.1 + 0.1 = 0.2; \quad y_2 = y_1 + 1/6(k_1^{(1)} + 2k_2^{(1)} + 2k_3^{(1)} + k_4^{(1)}) = \\&= 1.242805.\end{aligned}$$

Андан ары төмөнкүлөрдү алабыз:

$$i = 3 \text{ болсо: } x_3 = 0.3; \quad y_3 = 1.399717;$$

$$i = 4 \text{ болсо: } x_4 = 0.4; \quad y_4 = 1.583640.$$

Алынган чыгарылыштын каталығы $|y_4 - \varphi(x_4)| \approx 0.00000$ чоңдугунаң ашпайт.

Жогоруда караптап берилген Коши маселесинин сандық чыгарылыштары даана түшүнүктүү болуш үчүн төмөнкү бир таблицига келтирели:

i	x_i	Эйлердин	Эйлер-Кошинин	Рунге-Куттун	Так чыгарылышы $\varphi(x_i) = 2 \exp(x_i) - x_i - 1$
		методу менен табылган y_i нин маанилери			
0	0.0	1.0	1.0	1.0	1.0
1	0.1	1.1	1.11	1.110342	1.110342
2	0.2	1.22	1.24205	1.242805	1.242805
3	0.3	1.362	1.398465	1.399717	1.399718
4	0.4	1.5282	1.581804	1.583648	1.583649

Программанын жардамы менен (Тиркемени кара) ошол эле түйүндөрдө чыгарылышты тапса болот.

Өз алдынча иштөө үчүн маселелер

Биринчи тартигатеги дифференциалдык төндеме үчүн Коши маселесинин чыгарылышын $[a, b]$ кесиндиндеги бир калыптағы торчодо – бир ирет $h = 0.2$ кадамы менен экинчи ирет 0.1 кадамы менен Эйлердин методу жана Рунге–Куттун классикалық методу менен таптыла. Сандык чыгарылыштын каталығын Рунге ережеси боюнча баалагыла. Сандык чыгарылышты так чыгарылыш менен салыштыргыла, натыйжаларын таблица тұрғында көрсөткүлө.

$$\text{№ 214. } y' = (1 + x y) / x^2 \quad y|_{x=1} = 0, \quad 1 \leq x \leq 2,$$

$$\varphi(x) = 1/2 (x - (1/x)).$$

$$\text{№ 215. } y' = y - 2x/y, \quad y|_{x=0} = 1, \quad 0 \leq x \leq 1,$$

$$\varphi(x) = \sqrt(2x + 1).$$

$$\text{№ 216. } y' = x + 3y/x, \quad y|_{x=1} = 0, \quad 1 \leq x \leq 2,$$

$$\varphi(x) = x^2 (x - 1).$$

$$\text{№ 217. } y' = xy, \quad y|_{x=0} = 1, \quad 0 \leq x \leq 1,$$

$$\varphi(x) = \exp(x^2/2).$$

$$\text{№ 218. } y' = (y^2 + xy) / x^2, \quad y|_{x=1} = 1, \quad 1 \leq x \leq 2,$$

$$\varphi(x) = x / (1 - \ln x).$$

$$\text{№ 219. } y' = (1 - y + \ln x) / x, \quad y|_{x=1} = 0, \quad 1 \leq x \leq 2,$$

$$\varphi(x) = \ln x.$$

$$\text{№ 220. } y' = (x + y) / x, \quad y|_{x=1} = 0, \quad 1 \leq x \leq 2,$$

$$\varphi(x) = x \ln x.$$

$$\text{№ 221. } y' + 2xy = x \exp(x^2), \quad y|_{x=0} = 0, \quad 0 \leq x \leq 1,$$

$$\varphi(x) = 1/2 (x^2 \exp(x^2)).$$

$$\text{№ 222. } y' y + y \operatorname{tg} x = \sin 2x, \quad y|_{x=0} = -1, \quad 0 \leq x \leq 1,$$

$$\varphi(x) = (1 - 2 \cos x) \cos x.$$

$$\text{№ 223. } x y' - y^2 \ln x + y = 0, \quad y|_{x=1} = 1, \quad 0 \leq x \leq 2,$$

$$\varphi(x) = 1/(1 + \ln x).$$

$$\text{№ 224. } x y' = x + y + x \exp(y/x), \quad y|_{x=1} = 0, \quad 1 \leq x \leq 1.9,$$

$$\varphi(x) = x \ln x / (2 - x).$$

$$\text{№ 225. } x^2 y' - y = x^2 \exp(x - 1/x), \quad y|_{x=1} = 1, \quad 1 \leq x \leq 2,$$

$$\varphi(x) = \exp((x^2 - 1) / x).$$

$$\text{№ 226. } (x^2 + 1) y' + xy - 1 = 0, \quad y|_{x=0} = 0, \quad 0 \leq x \leq 1,$$

$$\varphi(x) = \ln(x + \sqrt{x^2 + 1}) / \sqrt{x^2 + 1}.$$

§ 6.3. Четтик маселелер (прогонка методу)

Кесиндинин эки учунда берилген

$$y(a) = p, y(b) = q \quad (6.3.1)$$

четтик шарттары менен

$$y''(x) = f(x, y(x)), a \leq x \leq b \quad (6.3.2)$$

дифференциалдык тенденциянин $y = y(x)$ чыгарылышын табуу көрек болсун. Бул маселенин сандык чыгарылышынын эң жөнөкөй ыкмасын көрсөтөлү.

Жогоруда көлтирилген $\{y_i\}$ белгилөөлөрдүн негизинде берилген кесиндиде дифференциалдык тенденме айырмалар тенденмелери деп аталган алгебралык тенденмелердин системасын чыгарууга алып келет деп айттууга болот. Жогоруда көлтирилген методдордо мындай системаларды чыгаруу жолу өзүнөн өзү белгилүү болчу. Ал эми четтик маселелер үчүн ал жол белгисиз.

Биринчи жана экинчи тартиптеги дифференциалдык операторлордун чектүү-айырмалар боюнча аппроксимацияланышынын формулаларын жазып алалы.

$x = x_i$, болгондо $y(x)$ функциясынын $y'(x)$ биринчи туундуусун болжолдуу түрдө төмөнкүчө алмаштырсак болот:

оң бөлүнгөн айырма менен

$$y'(x_i) \approx (y(x_i + h) - y(x_i)) / h \approx (y_{i+1} - y_i) / h; \quad (6.3.3a)$$

сол бөлүнгөн айырма менен

$$y'(x_i) \approx (y_i - y_{i-1}) / h; \quad (6.3.3c)$$

борбордук бөлүнгөн айырма менен

$$y'(x_i) \approx (y_{i+1} - y_{i-1}) / (2h). \quad (6.3.3b)$$

Экинчи туунду үчүн болжолдуу формуласы алыш үчүн жартылай кадам менен борбордук бөлүнгөн айырманын формуласын эки жолу колдонуу ынгайлуу:

$$\begin{aligned} y''(x_i) &= [(y'(x_i))' x = x_i \text{ болгондо}] \approx \\ &\approx (y'(x_i + h/2) - y'(x_i - h/2)) / h \approx \\ &\approx ((y(x_i + h/2 + h/2) - y(x_i + h/2 - h/2)) / h - \\ &- (y(x_i - h/2 + h/2) - y(x_i - h/2 - h/2)) / h) / h = \\ &= ((y(x_i + h) - y(x_i)) / h - (y(x_i) - y(x_i - h)) / h) / h = \\ &= ((y(x_{i+1}) - y(x_i)) - (y(x_i) - y(x_{i-1}))) / h^2 = \\ &= (y_{i+1} - 2y_i + y_{i-1}) / h^2. \end{aligned} \quad (6.3.4)$$

Эми (6.3.1) – (6.3.2) маселесине кайрылалы. $x = x_1, \dots, x = x_{n-1}$ үчүн (6.3.4) формуласын колдонуп жана болжолдуу түрдөгү барабар белгисин так барабар белгисине алмаштырып, төмөнкү тенденции алабыз:

$$y_{i+1} - 2y_i + y_{i-1} = h^2 f(x_i, y_i), \quad i = 1 \dots n-1. \quad (6.3.5)$$

Маселенин маңызы - математикалык формализм менен төп келишине көнүл бургула: бир жагынан (6.3.4) формуласын $x = x_0$ жана $x = x_n$ үчүн колдонууга болбайт, себеби, y_{-1} жана y_{n+1} жашабайт, ал эми экинчи жагынан (6.3.2) четтик шарттары ошол же-тишпеген эки тенденции берет

$$y_0 = p, \quad y_n = q, \quad (6.3.6)$$

жана (6.3.5) менен бирге n белгисизи бар n тенденден турган системаны берет.

Мындан ары жөнөкөйүрөөк болсун үчүн, $f(x, y)$ функциясын у боюнча сыйыктуу болсун деп алабыз:

$$f(x, y) = A(x) + B(x)y.$$

Анда (6.3.5) тенденмелери сыйыктуу болушат.

$A_i := A(x_i)$; $B_i := B(x_i)$ деп белгилейли.

Системанын структурасын даана көрсөтүш үчүн, аны $n = 4$ үчүн жазып алалы:

$$\begin{aligned} y_0 &= p, \\ y_0 - 2y_1 + y_2 &= h^2 (A_1 + B_1 y_1), \\ y_1 - 2y_2 + y_3 &= h^2 (A_2 + B_2 y_2), \\ y_2 - 2y_3 + y_4 &= h^2 (A_3 + B_3 y_3), \\ y_4 &= q. \end{aligned} \quad (6.3.7)$$

Аны көнөйтилген матрица түрүндө жазып алалы («Сыйыктуу алгебралык тенденмелердин системаларын чыгаруу» темасын эске салгыла):

I	0	0	0	0	$ p$
I	$-2 - h^2 B_1$	I	0	0	$ h^2 A_1$
0	I	$-2 - h^2 B_2$	I	0	$ h^2 A_2$
0	0	I	$-2 - h^2 B_3$	I	$ h^2 A_3$
0	0	0	0	I	$ q$

Мындаи система үч диагоналдуу деп аталат: башкы диагоналынан тышкы, нөлдүк эмес коэффициенттер ага жакынкы диагоналдарда дагы турушат. Силерге белгилүү болгон Гаусстун методун ушундай системага колдонуу прогонка методу деп аталат.

Эгерде n анча чоң болбосо, анда Гаусстун методун ишке ашырган стандарттык программаларды колдонсо болот. Эгерде n чоң болсо (мисалы, 100 дөн чоң жана $(n+1)(n+2)$ эки өлчөмдүү массив компютердин оперативдик эсине сыйбайт), анда прогонка методун түзден-түз эле программаласак болот. Ал үчүн $(n-1)$ элементтен турган эки массив керек болот.

2 -саптан биринчи сапты жана $(n-1)$ -саптан n -сапты кемители жана төмөнкү белгилөөлөрдү жүргүзөлү:

$$w_1 := h^2 A_1 - p, w_2 := h^2 A_2, \dots w_{n-2} := h^2 A_{n-2}, w_{n-1} := h^2 A_{n-1} - q,$$

$$\alpha_k := 2 + h^2 B_k, k = 1..n-1,$$

$(n-1)$ белгисизи бар $(n-1)$ тендермелер системасын алабыз. Кайрадан аны $n = 4$ болгондо жазып алалы:

$-\alpha_1$	1	0	$ w_1$
1	$-\alpha_2$	1	$ w_2$
0	1	$-\alpha_3$	$ w_3$

h жетишшээрлик кичине болсо α_k саны 2 ге жакын, б.а. он болот.

Ар бир сапты биринчисинен баштап, α_k га бөлүп жана кийинки саптарга кошуп, эки диагоналдуу коэффициенттер матрицасын алабыз:

$-\alpha'_1$	1	0	$ w'_1$
0	$-\alpha'_2$	1	$ w'_2$
0	0	$-\alpha'_3$	$ w'_3$

Мында

$$\begin{aligned} \alpha'_1 &= \alpha_1, w'_1 = w_1, \alpha'_k := \alpha_k - 1 / \alpha'_{k-1}, \\ w'_k &= w_k + w'_{k-1} / \alpha'_{k-1}, k = 2..n-1 \end{aligned} \quad (6.3.8)$$

Бул ыкма түз прогонка деп аталат.

Ар бир сапты ақыркысынан баштап α_k га бөлүп жана алдыңкы саптарга кошуп, коэффициенттердин диагоналдуу матрицасын алабыз:

$-\alpha'_1$	0	0	$ w''_1$
0	$-\alpha'_2$	0	$ w''_2$
0	0	$-\alpha'_3$	$ w''_3$

Бул жерде

$$w''_{k-1} = w'_{k-1}, \quad w''_k := w'_k + w''_{k-1}/\alpha'_{k-1}, \\ k = n-2..1 \text{ (кемүү тартибинде).} \quad (6.3.9)$$

Бул операция тескери прогонка деп аталац.

Акыркы матрицадан (6.3.7) алгачкы системасынын чыгарышын алып калабыз:

$$y_k = -w''_k / \alpha'_k, \quad k = 1..n-1.$$

(Берилген процесстин $h \rightarrow 0$ болгондо жыйналуучулугун бере турган шарттарды карабайбыз.)

§ 6.4. Даилилдөөчү - сандык методдор.

Далил боло алуучу эсептөөлөрдүн жана интервалдык анализдин негиздері

Жогоруда жазылган жакындастылган методдорду колдонууда алар кандай («Рунге эрежеси» тибиндеги жакындастылган баалоолордон айырмаланган) тактыкты камсыз кылат деген суроо туулат. Бул үчүн эсептөө катасын так баалоо керек, бирок тажрийба көрсөткөндөй, жетишээрлик татаал маселелер үчүн андай баалоо такыр эле мүмкүн эмес.

Ошондуктан «далил боло алуучу эсептөө» - «доказательные вычисления» [24] - “validating computations” деген термин киргизилген. Бул методдо ылайык, дифференциалдык тенденмелер үчүн кандайдыр бир ырастоону далилдөө - бир нече так барабарсызыктарды чектелген областтарда далилдөөгө алып келинет. Өз кезегинде, бул барабарсызыктар компьютерде багытталып төгеректелген эсептөөлөр менен далилденет. Төмөндө мындай эсептөөлөрдү жүргүзүү жолдорунун бири көрсөтүлгөн.

Математикалык тактык менен компьютерде иштөөнүн ыңгайлуулугун айкалыштыруу үчүн интервалдык анализ келип чыккан (анын негиздерин жана дифференциалдык тенденмелерге колдонууну [17] де кара).

Аныктама. Интервалдык сан (төмөндө қыскача – интервал) деп $A = [a_-, a]$ жабык инервалы аталат (бул терминология математиканың башка белгімдөрүндөгү кабыл алынгандан айырмаланат). Эгерде A интервалын (a_-, a сандар түгөйүн) компьютерде көрсөтүгө мүмкүн болсо, анда ал машиналык интервал деп аталат.

$\text{wid}(A) := a - a_-$ чондугу интервалдын туурасы деп аталат. Интервалдык вектордун (интервалдардын тобунун) туурасы деп анын компоненттеринин туураларынын максимумуму аталат. Интервалдардан андан татаал интервалдык объекттерди түзсө да болот.

Аныктама. Эгерде f саны (же башка объект) A интервалында (тиешелүү түрдө интервалдык объектте) жатса, анда A интервалы f санынын сырткы көрсөтүлүшү (машиналык сырткы көрсөтүлүшкө окшош) деп аталат.

Кыстырма. Сандык көптүктөрдөгү «так жогорку жана так төмөнкү грандарынын» белгиленишин колдонуп, сандардан турган ар түрдүү (чектелген) объекттин «эн жакшы» (эн ичке) сырткы көрсөтүлүштөрү үчүн - туунтма жазууга мүмкүн. Бирок, же тишилдүрлик татаал болсо, анда андай түзүү мүмкүн эмес. Ошону менен бирге, маселелердин бардык шарттарын колдонуу андан кененирээк көрсөтүлүштөрдү түзүү мүмкүн жана ал жаңы жыйынтыктарды берет.

Мисал 6.4.1. $[3.1, 3.2]$ жана $[3^{10/7}, 3^{1/7}]$ интервалдары (Архимеддин натыйжасы) π саны үчүн сырткы көрсөтүлүштөрү болуп эсептелет; $[1.7, 1.8]$ жана $[1.73, 1.74]$ интервалдары $\sqrt{3}$ саны үчүн сырткы көрсөтүлүштөр.

Ар кандай сандык көптүктөр үчүн ушундай сырткы көрсөтүлүштөрдү түзүү бизге эсептөөлөрдүн далил боло ала турганын камсыз кылат.

Аныктама. f функциясынын аныкталуу областына киргэн ар кандай (машиналык) интервалдык объект X боюнча: $x \in X$ шартынан $f(x) \in F$ келип чыга турган, F (машиналык) интервалдык объекттин берген алгоритм - f функциясынын (машиналык) интервалдык көрсөтүлүшү деп аталат.

Бул аныктама, маселенин өзгөчөлүгүнө карата ар кандай түрдө колдонулат. Скалярдык учур үчүн келтирели:

$$X = [x_-, x_+], F = [F_-, F_+]:$$

$$x_- \leq x \leq x_+ \text{ден } F_-(x_-, x_+) \leq f(x) \leq F_+(x_-, x_+);$$

$$x \in X \text{ден } f(x) \in [F_-(X), F_+(X)], \text{ ж.б.}$$

Бул аныктааманың арифметикалық амалдарға колдонулушу төмөнкү алгоритмдерди берет:

$$[x_-, x_+] + [y_-, y_+] = [x_- + y_-, x_+ + y_+], \quad (6.4.1)$$

$$[x_-, x_+] - [y_-, y_+] = [x_- - y_-, x_+ - y_+], \quad (6.4.2)$$

$$\begin{aligned} [x_-, x_+] \cdot [y_-, y_+] &= [\min(x_- y_-, x_+ y_-, x_- y_+, x_+ y_+), \\ &\quad \max(x_- y_-, x_+ y_-, x_- y_+, x_+ y_+)], \end{aligned} \quad (6.4.3)$$

$$\begin{aligned} [x_-, x_+] / [y_-, y_+] &= [\min(x_- / y_-, x_+ / y_-, x_- / y_+, x_+ / y_+), \\ &\quad \max(x_- / y_-, x_+ / y_-, x_- / y_+, x_+ / y_+)], \\ &\text{әгерде } 0 \notin [y_-, y_+]. \end{aligned} \quad (6.4.4)$$

Кыстырма 1. Эгерде операнддардың белгилүү болсо, анда (6.4.3) жана (6.4.4) формулаларын жөнөкөйлөтсө болот.

Кыстырма 2. Интервалды бүтүн даражага көтөрүү үчүн (6.4.3)–(6.4.4) төн алынган формулаларга караганда тагыраак формулаларды жазып алууга болот.

Машиналық интервалдар менен болгон арифметикалық амалдарды аткарууда, жалпы жонунан айтканда, өтө эле ичке интервалды алуу мүмкүн эмес, себеби алар машиналық эмес болуп калышы мүмкүн. Даилиденишти камсыз кылуу үчүн бардык төмөнкү чектерин кеми менен, ал эми жогорку чектерин ашыгы менен төгеректеш керек. Мындай программалық жабдылыш, мисалы, [29] да түзүлүп чыккан. Жөнөкөйүрөөк маселелер үчүн бүтүн сандар менен болгон эсептөөлөрдү колдонсо болот.

Далил боло алуучу эсептөөлөрдүн төмөнкү маселеге колдонулушун көрсөтөбүз.

Мисал 6.4.2.

$$x^3 + 60/x > 40 \quad (3 \leq x \leq 5) \quad (6.4.5)$$

барабарсыздыкты далилдөө талап кылынат.

Чыгаруу. $f(x) = x^3 + 60/x$ ($x > 0$) функциясы үчүн интервалдык көнөйүүнү түзөбүз:

$$F([x_-, x_+]) := [x_-, x_+]^3 + 60/[x_-, x_+] = [x_-^3 + 60/x_-, x_+^3 + 60/x_+].$$

(6.4.5) барабарсыздыгын бардык кесиндиде далилдеп көрөбүз. Эсептейли:

$$F_-(3, 5) = 3^3 + 60/5 = 39 < 40 - \text{далилдене элек.}$$

Кесиндини экиге бөлөбүз:

$$F_{-}([3, 4]) = 3^3 + 60/4 = 42 > 40 - \text{далилденди};$$

$$F_{-}([4, 5]) = 4^3 + 60/5 = 76 > 40 - \text{далилденди}.$$

(6.4.5) барабарсыздығы толугу менен далилденди. (Башка жол менен далилдей аласыңарбы?)

Барабарсыздыктарды далилдөөлөр жөнүндө, маселен, [31] ни карасак болот.

Бул мисалдан биз интервалдық анализдин артыкчылығын көрсөк болот – татаал математикалық маселелерди чыгарууну көп сандаган жөнөкөй арифметикалық амалдарга алып келүү – компьютер менен айкалышылганда өзүн көрсөтөт.

Дифференциалдық теңдемелерди изилдеш үчүн, көпчүлүк учурда, алгебралық теңдемелердин жана алардын системаларынын гарантияланган чыгарылыштары зарыл болот.

$f(x)$ үзгүлтүксүз функциясы менен берилген

$$f(x) = 0 \quad (6.4.6)$$

бир алгебралық теңдеме үчүн төмөнкү теорема аткарылат.

Теорема 6.4.1. Эгерде $F([x_{-}, x_{+}]) F([x_{-}, x_{+}]) > 0$ болгондой $x < x_{-}$ табылса (же табууга мүмкүн болсо), анда (6.4.6) теңдемеси $[x_{-}, x_{+}]$ интервалында жок дегенде бир чыгарылышка ээ. Эгерде $f(x)$ функциясы $f'(x)$ үзгүлтүксүз туундусуна ээ болсо жана ал туунду үчүн $G(x)$ интервалдық көзөйиши белгилүү болсо, анда $0 \notin G([x_{-}, x_{+}])$ шартынан бул чыгарылыштын жалғыздығы келип чыгат.

Эки теңдемеден турган

$$F_1(x_1, x_2) = 0, F_2(x_1, x_2) = 0 \quad (6.4.7)$$

система үчүн нөлдүк эмес айландыруу принцибин колдонсо болот.

Теорема 6.4.2. Төмөнкү шарттар аткарылсын дейли:

1) (6.4.7) системасынын рационалдық чектери бар C обласында чектүү сандагы чыгарылыштары бар жана бардык чыгарылыштары туруктуу болуп эсептелет;

2) F_1 жана F_2 функцияларынын интервалдық көзөйиштерин каалаганчалық так эсептөөчү алгоритм берилсін.

Анда (6.4.7) системасынын бардык чыгарылыштары каалаганчалық ичке чектерге төмөнкүдөй мааниде камалышы мүмкүн: каалагандай рационалдық $\varepsilon > 0$ үчүн, диагоналдары ε дон кичине болгон тик бурчуктардын чектүү сандагы тобун түзүүгө мүмкүн жана бул тик бурчуктардын ар бири жок дегенде бир чыгарылышты кармайт жана бул тик бурчуктардын сыртында чыгарылыш жок.

§ 6.5. Баштапкы маселени чыгаруунун далил боло алуучу сандық методдору

(2.1.1), (6.2.1) баштапкы маселени чыгарууда далил боло алуучу эсептөөлөрдү колдонууну карайлы.

$f(x, y)$ үзгүлтүксүз функциясы менен бирге анын $F(X, Y)$ интервалдык кеңеиши берилсін деп эсептейли.

$y(a) \in Y_0 = [y_{0-}, y_{0+}]$ экендиги далилденген болсун жана $y(b), b > a$ үчүн чектерди табуу талап кылышат.

Чыгарылышты жасаңында тургузуу менен бирге компьютердин жардамы менен анын жашашын жалпы далилдөө үчүн эки метод колдонулат жана жөнөкөй түрдө алар төмөнкүдөй болот.

Теорема 6.5.1. (Чыгарылыш үчүн областты тандап алуу)

Эгерде $Y_0 + [0, b - a] F([a, b], Y) \subseteq Y$ болгондой $Y = [y_{-}, y_{+}]$ интервалын тандап ала алсак, анда (2.1.1) тенденесинин $[a, b]$ кесиндинде жок дегенде бир $y = y(x)$ чыгарылышы жашайт жана $y(b) \in y_0 + (b - a) F([a, b], Y)$.

Теорема 6.5.2. (Чыгарылыш үчүн чектерди тандоо).

Эгерде $f(x, y_{-} + k_{-}(x-a)) > k_{-}, (x, y_{+} + k_{+}(x-a)) < k_{+}$ ($x \in [a, b]$) эки барабарсыздыгы (траекториялар областтан чыкпайт) орун алгандай $Y_0 = [y_{-}, y_{+}]$ жана k_{-}, k_{+} , сандарын тандап ала алсак, анда (2.2.1) тенденесинин $[a, b]$ кесиндинде жок дегенде бир $y = y(x)$ чыгарылышы жашайт жана $y(b) \in [y_{-} + k_{-}(b-a), y_{+} + k_{+}(b-a)]$.

Биздин пикир боюнча, 6.5.2 теореманын методу эффективдүүрөк. Ошону менен бирге, эгерде $f(x, y)$ функциясынын аныкталғандагы жана бардык жерде үзгүлтүксүз экендиги алдын ала белгисиз болсо, анда областтын ичинде өзгөчө чекиттеринин жоктугун текшерүү керек, б. а. $F([a, b], Y)$ функциясын эсептөө керек.

§ 6.6. Автономдуу дифференциалдык тенденциелер үчүн функциялардын белгилери аныкталган областтарынын, жана туруктуулук областтарынын чектерин издеө

Көпчүлүк маселелерде автономдуу системалардын ((5.1.1) дин айрым учуру) фазалык мейкиндигин туруктуулукка изилдөө керек болот:

$$\dot{x}_i = f_i(x_1, \dots, x_n), \quad i = 1, \dots, n, \quad (6.6.1)$$

анткени (6.6.1) системасын кандайдыр – бир чыгарылышын сандык методдорду колдонуп издеөө зарыл шарт болуп, анын туруктуулугу эсептелет. Ошондуктан бирден бир негизги суропордун болуп туруктуу областтарды (же он инварианттууларды), б.а. $((x_1(t_0), \dots, x_n(t_0)) \in C)$ дан $((\forall t > t_0)(x_1(t), \dots, x_n(t)) \in C)$ келип чыга тургандарды издеө эсептелет. Мындай издеө үчүн

$$0 = f_i(x), \quad i = 1, 2, \dots, n, \quad i = 1, 2, \dots, n, \quad x \in R^n \quad (6.6.2)$$

түрүндөгү тенденциелердин системаларынан адегенде критикалык чекиттерди издеө мүмкүн.

Бир өлчөмдүү учурда критикалык чекиттердин жыйындысы ($f_i(x_i)$) функциясынын алардын ортосундагы белгилери менен кошо толук фазалык сүрөттөлүштү берет (**теорема 6.4.1 ди кара**).

Эки өлчөмдүү учурда стационардык чекиттерди табуу татаалырак. Ал чекиттерди билүү ар дайым эле туруктуу областтарды бере бербейт. Ал эми үч жана андан ашык тенденциелерден турган системалар үчүн стационардык чекиттер эч бир жарытаарлык нерсе бербейт. Андан башка, аларды издең табууну жана алардын ар биригин тибин аныктоону алгоритмдештируү татаал. Ошондуктан, мындай областтарды түздөн–түз издеө маселеси коюлган. Биз $n = 2$ (фазалык тегиздик) учурда менен чектелебиз.

[25]те тик бурчтуу туруктуу областтарды издеө алгоритми сунуш кылышкан. (6.4.1) системасынын чыгарылышын гарантиялуу түрдө камтыган бардык жетишээрлик тар камтылган областтар үчүн, чыгарылышты камтыган жок дегенде бир жетишээрлик тар камтылган областты издеө үчүн [24]дө алгоритмдин тезде-тилген варианты сунуш кылышкан.

Мисал 6.6.1. $\dot{x}_i = f_i(x_1, x_2), \quad i = 1, 2, \quad (x_1, x_2) \in D$ (6.6.3)

дифференциалдык тенденциялар системасы үчүн он жакка туруктуу (он инварианттуу) жок дегенде бир областын табуу керек.

Чыгаруу. ([26] дагы алгоритмди колдонообуз).

L ийри сыйыгы менен чектелген область туруктуу болуш үчүн жана бул касиети f_i функциясынын кичине өзгөрүүсүндө дагы сакталышы үчүн L ийри сыйыгына областтын ичин карай багытталган нормалдын вектору менен $(x_1, x_2) = (f_1, f_2)$ вектору нун арасындагы бурч 90^0 тан кичине болушу жетишээрлик жана зарыл болот. Эгерде L ийри сыйыгында область сол жагында калгандай кылып багытты тандап алсак, анда $l = (l_1, l_2)$ жаныма вектору үчүн нормалдын вектору $(-l_2, l_1)$ болот жана

$F_D(x_1, x_2, l_1, l_2) = -l_2 f_1(x_1, x_2) + l_1 f_2(x_1, x_2) > 0 \quad (6.6.4)$

шартты алабыз. f_1, f_2 функциялары кандайдыр бир тик бурчтуу C областында аныкталган дейли жана H кадамы берилсөн: $H = 1, 0 \leq x_1 \leq T_1, 0 \leq x_2 \leq T_2$, мында T_1, T_2 – натуралдык сандар. (6.6.3) системасы үчүн туруктуу область көп бурчтук D ны издейбиз, анын жактары $l^{(0)}$ векторлоруна параллель, мында $l^{(0)}$ – (сааттын жебесине карши номерленген) x чекитиндеги ийри сыйыкка жаныма вектор.

Ушуга дал келген алгоритмди жазалы:

Алгоритм үчүн алгачкы маалыматтар катары тик бурчтуу областтарда (б.а. интервалдык векторлордо) аныкталган индикатордук (бүтүн сандык маанилерди кабыл алган) функцияларды алабыз. Ушуга байланыштырылып алардын кандайдыр бир касиеттери: маанилүүлүгүнүн сакталышы жана туруктуулугу формулировкаланат. Индикатордук функциялардын маанилери конкреттүү маселелердин талаптарына жарааша тандалып алынат.

Алгоритм 6.6.1. Алгачкы маалыматтар: индикатордук функция:

$$I_D(x, l) = \begin{cases} -1, & \text{эгерде } (x, x + l_1 H) \text{ кесиндинде } F_D < 0 \text{ болсо;} \\ 0, & \text{эгерде аныкталбаса;} \\ 1, & \text{эгерде } (x, x + l_1 H) \text{ кесидисинде } F_D > 0 \text{ болсо;} \\ 100, & \text{аныкталуу областынан чыгып кетсе;} \end{cases}$$

жана T_1, T_2 натуралдык сандар.

а) Төмөнкү C областында бүтүн сандуу чекиттерди $x^{(0)}$ тандайлы:

$$0 \leq x_1 \leq T_1 - 1, \quad 0 \leq x_2 \leq T_2 - 1.$$

б) $k := 0$ деп алабыз.

в) $I_D(x^{(k)}, l^{(k)}, H) > 0$ жана $l^{(k)} \neq -l^{(k-1)}$, ($k > 0$) шарттарын канааттандырган $l^{(k)}$ векторлорун тандайлы (эгерде мындай векторлор жашабаса, анда з) пункттуна өтөбүз).

Кыстырма: Мында жана төмөндө C областынын чегинен чыкпай турган векторлорду гана алабыз.

г) Мындай векторлордун ар бири үчүн төмөнкүнү текшеребиз: эгерде ал $x^{(0)}, x^{(1)}, \dots, x^{(k-1)}$ сыйык сызыгын солдон онго кесип өтсө, анда табылган областтан ЧЫГУУ. Эгерде кесип өтпөсө, анда ж) пункттуна өтөбүз. Эгерде ондан солго кесип өтсө, анда:

д) Эгерде в) пунктундагы тандоо аяктабаса, анда ошол пунктка өтөбүз, андай болбосо

е) $k := k-1$ деп алабыз. Эгерде $k > 0$ болсо, анда в) пунктuna, андай болбосо з) пункттуна өтөбүз.

ж) $x^{(k+1)} := x^{(k)} + l_k$, $k := k+1$ деп алып, в) пунктuna өтөбүз.

з) Эгерде в) пунктундагы тандоо аяктабаса, анда ага өтөбүз, антпесе, эгерде а) пунктундагы тандоо бүтпесө анда ага өтөбүз, андай болбосо «область табылган жок» деген маалымат менен ЧЫГУУ.

Мисал 6.6.2. Вируска карши иммундук реакцияны сүрөттөгөн дифференциалдык тенденмелер системасынын стационардык чекиттерин издеөөгө далил боло алуучу эсептөөлөрдү колдонуу.

[33] тө вируска карши иммундук реакцияны сүрөттөгөн, өлчөмү жок өзгөрмөлөрү бар он тенденмеден турган система чыгарылган. Бардык туундуларды нөлгө барабарлоо төмөнкү алгебралык тенденмелердин системасын берет:

- 1) $(h_1 + h_2 x_5)x_9 - h_3 x_1 x_8 - h_4 x_1 - (1 - x_{10} - x_9)x_1 = 0,$
- 2) $h_6 x_1 - (h_7 + h_8 x_5)x_2 = 0,$
- 3) $(h_9 \xi_{10} - h_{11} - h_{12} x_5)x_2 x_3 + h_{23}(1 - x_3) = 0,$
- 4) $(h_{14} \xi_{10} - h_{16} - h_{17} x_6)x_2 x_4 + h_{18}(1 - x_4) = 0,$
- 5) $((h_{19} \xi_{10} - h_{21})x_2 x_3 - h_{23} x_2 - h_{22} x_9)x_5 + h_{24}(1 - x_5) = 0,$ (6.6.5)
- 6) $(h_{25} \xi_{10} - h_{27})x_2 x_4 x_6 + h_{28}(1 - x_6) = 0,$
- 7) $h_{29} \xi_{10} x_2 x_4 x_6 + h_{31}(1 - x_7) = 0,$
- 8) $h_{32} x_7 - h_{33} x_1 x_8 - h_{34} x_8 = 0,$
- 9) $h_{35} x_1 (1 - x_{10} - x_9) - (h_{36} x_5 + h_{37})x_9 = 0,$
- 10) $(h_{36} x_5 + h_{37})x_9 - h_{38} x_{10} = 0,$

мында $\xi_{10} = 1 - x_{10}$ жана h_i коэффициенттери төмөнкү сандык маанилерге ээ ([33], 1176.):

0.1	10^{-4}	0.1	10^{-4}	10^{-4}	0.5	0.02	10^{-4}	10^{-2}	1.0
10^{-3}	10^{-4}	0.05	10^{-2}	1.0	10^{-3}	10^{-4}	0.05	0.8	1.0
0.08	0.0005	10^{-4}	0.1	0.8	1.0	0.08	0.1	0.5	1.0
0.16	0.17	0.2	0.17	0.4	0.002	0.12.			

Тургузулусу боюнча бул система, организмдин дени чындыгына туура келген стационардык чыгарылышка ээ (өзгөрмөлөрдүн маанилери 0 же 1 ге барабар):

$$\begin{aligned} x_1 &= 0, x_2 = 0, x_3 = 1, x_4 = 1, x_5 = 1, \\ x_6 &= 1, x_7 = 1, x_8 = 1, x_9 = 0, x_{10} = 0. \end{aligned} \quad (6.6.6)$$

Башка стационардык чыгарылыштарды табуу үчүн далил боло алуучу издеөнү жүргүзөбүз.

Чыгаруу. Бул максат менен адегендө өлчөмдү кичирейтүү үчүн, кандайдыр бир өзгөртүп түзүүлөрдү жүргүзөбүз.

Эгерде $x_2 = 0$ ду койсок, (6.6.6) нын чыгарылышы пайда боллоорун көрөбүз. Ошондуктан, $x_2 \rightarrow 0$ болгондо аныксыздыктар келип чыкпагандай өзгөртүүнү жүргүзөбүз жана $x_2 = 0$ деп ала-быз. $d_i = 1 / h_i$, $i = 1..38$ деп белгилеп алып, (6.6.5) системадагы тенденмелерге койсок, $x_2 = v_1$, $x_5 = v_2$ эки белгисизи бар, эки тенденмеден турган системаны алабыз:

$$F_1(v_1, v_2) = 0, F_2(v_1, v_2) = 0. \quad (6.6.7)$$

(6.6.5) тенденмелер системасы $[0, 1] \times X_5$ областында берилген шартты (мисалы, $x_7 \geq 1$) канааттандырган чыгарылышка ээ экендигин же болбосо мындай чыгарылышы жок экендигин далилдөө талап кылышат.

[24]төгү $[0, 1] \times [0, 20]$ областында алгоритм (**теорема 6.4.2**) боюнча эсептөө $0.132 < v_1 < 0.133$, $17.50 < v_2 < 17.58$ областында жок дегендө бир чыгарылышы жашайт деген жыйынтыкты берген.

Ошондой эле, чыгарылыштын калган сегиз компоненттери
үчүн гарантияланган чектер алынган:

$$0.0057 < x_1 < 0.0061 \quad 0.1321 < x_2 \equiv v_1 < 0.1392 \quad 1.0094 < x_3 < 1.0100$$

$$0.9594 < x_4 < 1.0307 \quad 17.5040 < x_5 \equiv v_2 < 17.5741 \quad 20.3871 < x_6 < 20.6050$$

$$9.4410 < x_7 < 9.5175 \quad 9.3776 < x_8 < 9.4502 \quad 0.0530 < x_9 < 0.0563$$

$$0.0177 < x_{10} < 0.0188.$$

VII Глава. Кичи параметр боюнча дифференциалдык тенденциилердин чыгарылыштарынын асимптотикасы

§7.1. Регулярдуу токундануулар

Окуп-үйрөнүлүчү дифференциалдык тенденмеме же ушундай тенденмелиер системасында ар башка туралтуу маанилерди кабыл ала турган бир же бир нече параметрлер камтылыши көп кездешет. Жөнөкөйлүк үчүн биринчи тартиптеги тенденме үчүн баштапкы маселени карайлыш:

$$\frac{dy}{dx} = f(y, x, \varepsilon), \quad 0 \leq x \leq a, \quad y(0, \varepsilon) = y_0 \quad (7.1.1)$$

(мында ε – параметр). $(0, y_0)$ чекитин өзгөчө эмес деп эсептейбиз, б.а. берилген шарттар үчүн (7.1.1) маселесинин жалгыз чыгарылышы жашайт. Анда (7.1.1) тенденмесинин геометриялык маанисинен төмөндөгүлөр келип чыгат: эгерде (7.1.1) дин он жагы ε дон үзгүлтүксүз көз каранды болсо, анда ε дун кичи өзгөрүүсү менен бағыт талаасы аз эле өзгөрөт, ошондуктан $y(x, \varepsilon)$ чыгарылышы ε дон үзгүлтүксүз көз каранды болот.

(7.1.1) маселеси менен бирге төмөнкү маселени карайлыш. Эгерде формалдуу түрдө $\varepsilon = 0$ десек, анда (7.1.1) маселесинен төмөнкү маселе келип чыгат.

$$\frac{dy}{dx} = f(x, y, 0), \quad y(0) = y_0. \quad (7.1.2)$$

Жалпысынан айтканда, (7.1.2) маселеси алгачкы (7.1.1) маселесинен жөнөкөй жана анын чыгарылышын $\bar{y}(x)$ деп белгилесек, изилдөө жөнөкөй болот.

Теорема 7.1.1. Кандайдыр бир D областында жаткан y, x, ε өзгөрмөлөрү үчүн $f(y, x, \varepsilon)$ функциясы у жана ε боюнча $(n+1)$ тартипке чейин $((n+1)$ -кошо) үзгүлтүксүз жана бир калыпта чектелген айрым туундуларга ээ болсун дейли. Анда (7.1.1) маселесинин $y(x, \varepsilon)$ чыгарылышы үчүн

$$y(x, \varepsilon) = \bar{y}(x) + \varepsilon \frac{\partial y}{\partial \varepsilon}(x, 0) + \dots + \frac{\varepsilon^n}{n!} \frac{\partial^n y}{\partial \varepsilon^n}(x, 0) + \varepsilon_{n+1}(x, \varepsilon) \quad (7.1.3)$$

барабардыгы туура болгон $[0, h]$, $h > 0$ сегменти жашайт, мында $\varepsilon \rightarrow 0$, $0 \leq x \leq h$ болгондо, $\varepsilon_{n+1}(x, \varepsilon) \rightarrow 0$, анын үстүнө, $\varepsilon_{n+1}(x, \varepsilon) = O(\varepsilon^{n+1})$, $\varepsilon \rightarrow 0$ ($f(x) = O(x^\alpha)$) жазуусу $x \rightarrow 0$ болгондо $\frac{f(x)}{x^\alpha}$ катышы чектелген боюнча калат дегенди билдирет).

(7.1.3) формуласы $y(x, \varepsilon)$ чыгарылышынын ε кичи параметри боюнча ассимптотикалык формуласы (же асимптотикалык көрсөтүлүшү) болуп саналат. Кичи параметр боюнча асимптотикалык формулалар деп төмөнкү шартты канаттандырган формулаларды айтабыз: формуланын калдык мүчөлөрү деп аталган кээ бир мүчөлөрү так эмес жазылат, алардын $\varepsilon \rightarrow 0$ болгондогу касиеттери гана көрсөтүлөт, мисалы, $\varepsilon \rightarrow 0$ болгондогу нелгө умтулуу тартиби.

7.1.1 теоремасы тендендеги кичи мүчөлөрдү алып салуунун физика жана техника үчүн «кадыресе» операциясынын математикалык негиздөөсүн берет. Бул кичи мүчөлөр көп учурда толкундануулар деп аталат. Ушуга байланыштуу (7.1.2) тенденеси толкунданбаган тенденме деп аталат, ал эми (7.1.1) тенденеси толкунданган тенденме деп аталат. ε кичи параметри боюнча асимптотиканы негиздөө теориясы - толкундануулар теориясы деп аталат:

7.1.1. теоремасы (7.1.1) дин он жагынын у жана ε боюнча жетишээрлик жылмакайлых шарттары учурунда туура. **7.1.1.** теоремасынын талабына баш ийген толкундануулар регулярдуу толкундануулар деп аталат. Ушуну менен бул параграфтын атالышы да түшүндүрүлөт.

Практикада (7.1.3) түрүндөгү көрсөтүлүштү алуу үчүн $y(x, \varepsilon)$ функциясынын айрым туундусун эсептешпейт (бул үчүн адегенде ушул функцияны табуу керек болор эле), бирок чыгарылышты төмөнкү түрдө издешет:

$$y(x, \varepsilon) = \bar{y}(x) + \varepsilon y_1(x) + \varepsilon^2 y_2(x) + \dots \quad (7.1.4)$$

мында $y_i = y_i(x)$ $i = 1, 2, \dots$ – азырынча x тен белгисиз функциялар.

(7.1.4) түркілген (7.1.2) нин экінчи барабардығына коюп, y_1 функциясы үчүн баштапкы шартты алабыз:

$$\bar{y}(0) + \varepsilon y_1(0) + \varepsilon^2 y_2(0) + \dots = y_0,$$

мындан

$$\bar{y}(0) = y_0, \quad y_1(0) = y_2(0) = \dots = 0. \quad (7.1.5)$$

Андан ары (7.1.4) түркілген (7.1.1)ге коюп, он жағын ε дун даражалары боюнча ажыратып жана ε дун бирдей даражалуу мүчөлөрүн барабарлап, $y_1(x)$, $y_2(x), \dots$ ды аныкташ үчүн, баштапкы шарттары (7.1.5) болгон сызыктую дифференциалдык тенденцелердин тизмегин алабыз.

Мисал 7.1.1.

$$\frac{dy}{dx} = a(x)y + b(x) + \varepsilon c(x)y^2, \quad y(0) = 0 \quad (7.1.6)$$

маселесинин $y(x, \varepsilon)$ чыгарылышынын асимптотикалык формуласынын эки мүчөсүн тапкыла.

Чыгаруу. (7.1.6) Рикаттинин тенденцеси жана анын чыгарылышын эффективдүү алууга мүмкүн эмес. Ошондуктан (7.1.6) маселесинин чыгарылышын

$$y(x, \varepsilon) = y_0(x) + \varepsilon y_1(x) + \dots$$

түрүндө издейбиз, мында $y_0(x)$, $y_1(x)$ азырынча x тен белгисиз функциялар. Бул барабардыкты (7.1.6)га коюп, төмөнкүгө ээ болобуз:

$$y'_0(x) + \varepsilon y'_1(x) + \dots = a(x)[y_0(x) + \varepsilon y_1(x) + \dots] + b(x) + \varepsilon c(x)[y_0(x) + \varepsilon y_1(x) + \dots]^2, \quad y_0(0) + \varepsilon y_1(0) + \dots = 0.$$

Мындан $y_0(x)$ жана $y_1(x)$ функцияларын аныктоо үчүн ε дун бирдей даражалуу мүчөлөрүн барабарлап, төмөнкү катыштарга ээ болобуз:

$$\frac{dy_0}{dx} = a(x)y_0 + b(x), \quad y_0(0) = 0,$$

демек,

$$y_0(x) = \int_0^x b(\tau) \exp\left(\int_\tau^x a(\tau) d\tau\right) d\tau;$$

$$\frac{dy_1}{dx} = a_1(x)y_1 + c(t)y_0^2, \quad y_1(0) = 0$$

жана

$$y_1(x) = \int_0^x c(\tau) y_\theta^2(\tau) \exp\left(\int_\tau^x a(s) ds\right) d\tau;$$

$$y(x, \varepsilon) = y_\theta(x) + \varepsilon y_1(x) + \varepsilon y_2(x, \varepsilon),$$

мында $y_2(x, \varepsilon) \rightarrow 0$ жана $y_2(x, \varepsilon) = O(\varepsilon^2)$, $\varepsilon \rightarrow 0$.

Мисал 7.1.2.

$$y' = \frac{x}{1 + \varepsilon xy}, \quad y(0) = 0 \quad (7.1.7)$$

баштапкы маселенин чыгарылышынын ε кичи параметринин даражалары боюнча асимптотикалык көрсөтүлүшүн тапкыла.

Чыгаруу. $\varepsilon=0$ болгондо (7.1.7) маселеси оной эле чыгат, анда $\bar{y} = \frac{x^2}{2}$ алынат. Ошондуктан маселенин чыгарылышын (7.1.4) түрүндө издейбиз

$$y = \frac{x^2}{2} + \varepsilon y_1 + \varepsilon^2 y_2 + \varepsilon^3 y_3 + \dots,$$

(7.1.7)ге коюу, тенденциин эки жагын бөлүмүнө көбөйткөндөн кийин төмөнкүнү берет:

$$\left(x + \varepsilon y'_1 + \varepsilon^2 y'_2 + \varepsilon^3 y'_3 + \dots\right) \cdot \left(1 + \frac{\varepsilon}{2} x^3 + \varepsilon^2 xy_1 + \varepsilon^3 xy_2 + \dots\right) = x \quad (7.1.8)$$

$$y(0) = \varepsilon y'_1(0) + \varepsilon^2 y'_2(0) + \dots = 0. \quad (7.1.9)$$

(7.1.8) дин кашааларын ачып ε дун бирдей даражаларынын алдындағы туяңтмаларды нөлгө барабарлап удаалаш түрдө төмөнкүлөрдү алабыз:

$$y'_1 + \frac{1}{2} x^4 = 0, \quad y'_2 + \frac{x^3}{2} y'_1 + x^2 y_1 = 0,$$

$$y'_3 + \frac{x^3}{2} y'_2 + xy_1 y'_2 + x^2 y_2 = 0,$$

Мындан (7.1.9) барабардыгын эске алып, төмөнкүнү табабыз:

$$y_1 = -\frac{x^5}{10}, \quad y_2 = \frac{7}{160} x^3, \quad y_3 = \frac{-71}{1760} x^{11} \dots$$

Ошондуктан (7.1.4) формуласы төмөнкүнү берет:

$$y = \frac{x^2}{2} - \frac{\varepsilon}{10}x^5 + \frac{7\varepsilon^2}{160}x^8 - \frac{71\varepsilon^3}{1760}x^{11} + \dots$$

Тургузулган катар 7.1.1 теоремасынын негизинде (7.1.7) маселесинин чыгарылышынын ε кичи параметри боюнча асимптотикалық көрсөтүлүшү болуп саналат. Мында $n=1$ деп эсептөө мүмкүн.

Мисал 7.1.3.

$$y' = \sin(xy), \quad y(0) = \varepsilon \quad (7.1.10)$$

баштапкы маселенин чыгарылышынын ε кичи параметринин даражалары боюнча асимптотикалық көрсөтүлүшүн тапкыла.

Чыгаруу. (7.1.1) жалпы маселесинен айырмаланып, мында параметр баштапкы шартка кирет. $\varepsilon=0$ болгондо (7.1.9) маселеси $y=0$ деген чыгарылышка ээ болору анык. Ошондуктан кичи $|\varepsilon|$ үчүн чыгарылышты төмөнкү түрдө издейбиз:

$$\begin{aligned} y &= \varepsilon y_1 + \varepsilon^2 y_2 + \dots \\ (y_i &= y_i(x), i = 1, 2, \dots). \end{aligned} \quad (7.1.11)$$

$x = 0$ маанисин коюу, төмөнкүлөрдү берет:

$$y_1(0) = 1, \quad y_2(0) = 0, \quad y_3(0) = 0, \dots \quad (7.1.12)$$

Экинчи жагынан, (7.1.11)ди дифференциалдык тендемеге койсөк, синустун даражалуу катарын эске алыш, төмөнкү барабардыкты алабыз:

$$\begin{aligned} \varepsilon y'_1 + \varepsilon^2 y'_2 + \varepsilon^3 y'_3 + \dots &= \frac{(\varepsilon xy_1 + \varepsilon^2 xy_2 + \varepsilon^3 xy_3 + \dots)}{1!} - \\ &\quad \frac{(\varepsilon xy_1 + \varepsilon^2 xy_2 + \varepsilon^3 xy_3 + \dots)^3}{3!} + \dots \end{aligned}$$

ε дун бирдей даражаларынын коэффициенттерин барабарлоо төмөнкүнү берет:

$$y'_1 = xy_1, \quad y'_2 = xy_2, \quad y'_3 = xy_3 - \frac{x^3 y_1^3}{3!} \dots$$

Бул рекурренттүү сызыктуу тендемелерди интегралдап, (7.1.12) баштапкы шартты эске алыш, төмөнкүнү табабыз:

$$y_1 = e^{\frac{x^2}{2}}, \quad y_2 = 0, \quad y_3 = \frac{1}{12} (1 - x^2) e^{\frac{3}{2}x^2} - \frac{1}{2} e^{\frac{x^2}{2}}.$$

Бул туонтмаларды (7.1.11) ге коюу (7.1.10) маселесинин чоң эмес $|x|$ жана $|\varepsilon|$ үчүн жарамдуу ажыратылышын берет.

Өз алдынча иштөө үчүн көнүгүүлөр

Төмөнкү баштапкы маселелердин чыгарылыштарынын кичи параметр ε дун даражалары боюнча ажыралышынын эки-үч мүчөсүн тапкыла

$$\text{№ 227. } y' = 4\varepsilon x - y^2, \quad y(1) = 1.$$

$$\text{№ 228. } y' = 2/y - 5\varepsilon x, \quad y(1) = 2.$$

$$\text{№ 229. } xy' = \varepsilon x^2 + \ln y, \quad y(1) = 1.$$

$$\text{№ 230. } y' = 6\varepsilon/x - y^2, \quad y(1) = 1 + 3\varepsilon.$$

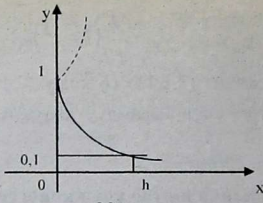
$$\text{№ 231. } y' = e^{y-x} + \varepsilon y, \quad y(0) = -\varepsilon.$$

§7.2. Сингулярдуу толкундануулар

Колдонууларда, тенденеге кирген ε параметринин кээ бир маанилеринде тенденме өз тартибин төмөндөтүп жибериши, б.а. кулпурушу көп кездешет. Ушуну менен бирге жаны кырдаал келип чыгат. Аны мисал менен түшүндүрөбүз.

$$\varepsilon y' + y = 0, \quad y|_{x=0} = 1 \quad (7.2.1)$$

маселесин карайлы. Маселенин чыгарылышы $y = \exp(-x/\varepsilon)$. $\varepsilon = 0$ болгондо тенденменин кулпурушу келип чыгат. Чыгарылыш $x \geq 0$ жана $\varepsilon \rightarrow +0$ учурда каралсын дейли. Бул чыгарылыш 20-сүрөттө көрсөтүлгөн. (7.2.1) тенденмеси пределинде $y=0$ барабардыгына айланат. Бирок ε кичи саны үчүн чыгарылыш $x=0$ дөн эмес $x=h$ тан кийин гана нөлгө жакын экенин көрөбүз. «Чектик катмар» деп аталган $0 \leq x < h$ аралык (7.2.1)дин бирдик чыгарылышынын баштапкы шартынан нөлгө жакын мааниге өтүүсү үчүн керек.



20-сүрөт

«Чектик катмардын туурасы» түшүнүгү шарттуу, анткен теория боюнча чыгарылыш эч кайсы жерде нөлгө барабар болбойт. Мисалы, эгерде чектик катмардын туурасы үчүн алгачкы маанилери менен салыштырганда чыгарылыштын маанициси 10 эсे кичирейген $x = h$ мааницисин алсак, төмөнкүгө ээ болобуз

$$\exp(-h/\varepsilon) = 0.1; \quad h = \ln 10 \cdot \varepsilon,$$

б.а. чектик катмардын туурасы ε дун мааницине пропорционалдуу.

Эгерде $\varepsilon \rightarrow -0$ болсо, анда 20-сүрөттө пунктир менен көрсөтүлгөндөй келип чыккан чыгарылыш каалаган $x > 0$ үчүн чексизге умтулат. Бул учур бизди аз кызыктырат.

Мындан, мурунку параграфтан айырмаланып, ε кичи параметринин белгиси чечүүчү маанигэ ээ экени көрүнүп турат. Ошондуктан главанын аягына чейин $\varepsilon > 0$ деп алабыз.

(7.2.1) тенденмесин төмөнкү түрдө жазууга болот

$$y' = -\frac{y}{\varepsilon} \tag{7.2.2}$$

мындан (7.2.2)нин он жагы $\varepsilon = 0$ болгондо үзгүлтүккө учурары көрүнүп турат. Ошол үчүн мурунку параграфтын негизги талабы - он жактарынын үзгүлтүксүздүгү аткарылган жок. Башка сөз менен айтканда бул учурда он жак ε дон регулярдуу эмес б.а. сингулярдуу түрдө көз каранды. Ошондуктан ε y' типтеги толкундануулар адабиятта сингулярдуу толкундануу деген атты алган.

$$\varepsilon \frac{dy}{dx} = f(x, y) \tag{7.2.3}$$

дифференциалдык тенденциясын караңыз. Суроо төмөнкүдөй коюлат: кандай шарттарда $|\varepsilon|$ дун кичи мааниси үчүн (7.2.3) дифференциалдык тенденциядан $\varepsilon(dy/dx)$ мүчөсүн алыш таштап, (7.2.3) түн чыгарылышынын жакындатылган чыгарылышы катары

$$f(x, y) = 0 \quad (7.2.4)$$

«кулпурулган тенденция» чыгарылышын кароого болот. Аныктых үчүн $\varepsilon > 0$ болсун жана (7.2.4) кулпурган тенденция бир гана $y = \varphi(x)$ чыгарылышына ээ жана ал жылмакай болсун дейли. $f(x, y)$ функциясынын (7.2.4) тенденциясинин $y = \varphi(x)$ чыгарылышына жакын жердеги мүнөзүнө жараша: (7.2.3) дифференциалдык тенденциясинин $y(x, \varepsilon)$ чыгарылышы $\varepsilon \rightarrow 0$ болгондо кулпурган тенденция $y = \varphi(x)$ чыгарылышына жакындаит, же болбосо андан тез алыштайт.

(7.2.4) тенденциясинин $y = \varphi(x)$ чыгарылышы биринчи учурда туруктуу, ал эми экинчи учурда туруктуу эмес деп аташат.

Атап айтканда, эгерде (7.2.4) кулпурган тенденция $y = \varphi(x)$ чыгарылышынын графиги аркылуу өткөндө $f(x, y)$ функциясы у тин өсүшү менен x фиксиленген болгондо, (+) белгисинен (-) белгисине өзгөрсө, анда кулпурган тенденция чыгарылышы туруктуу жана (7.2.3) дифференциалдык тенденциясинин $y(x, \varepsilon)$ чыгарылышын аны менен жакындатып алмаштыраса болот (21-сүрөт.).

Эгерде $f(x, y)$ функциясы (-) тан (+) ка белгисин өзгөртсө, анда (7.2.4) кулпурган тенденциясинин $y = \varphi(x)$ чыгарылышы туруктуу эмес жана (7.2.3) тенденциясинин $y(x, \varepsilon)$ чыгарылышын (7.2.4) кулпурган тенденциянын чыгарылышы менен алмаштырууга болбайт. (22-сүрөт.).

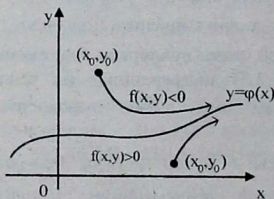
Төмөнкү теоремаларда туруктуулук жана туруктуу эместикин жетиштүү шарттары берилген.

Теорема 7.2.1. 1) Эгерде (7.2.4) тенденциясинин $y = \varphi(x)$ чыгарылышында $\frac{\partial f(x, y)}{\partial y} < 0$ болсо, анда кулпурган тенденция $y = \varphi(x)$ чыгарылышы туруктуу .

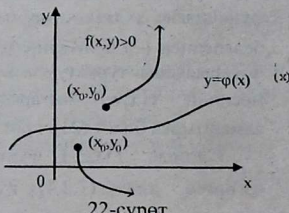
2) Эгерде (7.2.4) тендемесинин $y=\varphi(x)$ чыгарылышында $\frac{\partial f(x,y)}{\partial y} > 0$ болсо, анда културган тендеменин $y=\varphi(x)$ чыгарылышы туруктуу эмес.

Эгерде $f(x, y) = 0$ културган тендеме бир нече $y=\varphi_i(x)$, $i = 1, 2, \dots, n$ чыгарылышка ээ болсо, анда алардын ар бири туруктуулукка карата изилденүүсү тийиш. (x_0, y_0) баштапкы чекитке, б.а. баштапкы шартты тандаганга карата (7.2.3) дифференциалдык тендемесинин интегралдык ийри сзыгынын мүнөзү $\varepsilon \rightarrow 0$ болгондо ар түрдүү болушу мүмкүн.

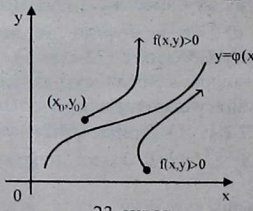
Жарым туруктуу учур да кездешет. Мында $f(x,y)$ функциясы ийри сзызык аркылуу өткөндө белгисин өзгөртпейт (мисалы, эгерде $y=\varphi(x)$ - (7.2.4) културган тендеменин жуп эселүү тамыры болсо). Бул учурда ε кичи саны үчүн (7.2.3) тендемесинин интегралдык ийри сзыктары бир жагынан $y=\varphi(x)$ ийри сзыгына жакындайт, ал эми экинчи жагынан андан алыстайт (23-сүрөт).



21-сүрөт



22-сүрөт



23-сүрөт

Биринчи учурда (x_0, y_0) баштапкы чекити жарым туруктуу $y = \varphi(x)$ чыгарылыштын өзүнө тартуу областына, ал эми экинчи учурда түртүү областына таандык деп айтабыз.

Жарым туруктуу учурда, эреже катары, (7.2.3) алгачкы тенденесинин чыгарылышын (7.2.4) културган тендененин чыгарылышы менен алмаштырууга болбайт.

(7.2.3) тенденесинин интегралдык ийри сыйыктары (x_0, y_0) баштапкы чекитин ылайыктуу тандап алганда, културган тендененин $y = \varphi(x)$ чыгарылышына умтула турган жана $x > x_0$ болгондо анын аймагында кала турган критерийлерди көрсөтүү мүмкүн, бирок бул (7.2.3) тенденесинде толкундандуу болбогон кезде гана туура болот.

Бул критерийлерди келтирели.

Теорема 7.2.2. (7.2.4) културган тенденесинин жарым туруктуу $y = \varphi(x)$ чыгарылышынын айланасында $f(x,y) \geq 0$ дейли. Эгерде $\varphi'(x) > 0$ болсо, анда (7.2.3) тенденесинин $y = \varphi(x)$ ийри сыйыгына жакындаган интегралдык ийри сыйыктары бул ийри сыйыкты кесип өтпөйт жана $x > x_0$ болгондо, анын аймагында калат. (Мында (x_0, y_0) баштапкы чекити $y = \varphi(x)$ жарым туруктуу чыгарылышынын тартуу областында жайгашуусу тишиш, эгерде (x_0, y_0) баштапкы чекити түртүү областында жатса, (7.2.3) тенденесинин тиешелүү интегралдык ийри сыйыгы $y = \varphi(x)$ ийри сыйыгынан тез алыстайт (22-сүрөт)).

Эгерде $\varphi'(x) < 0$ болсо, анда $y = \varphi(x)$ функциянын графигине жакындаган интегралдык ийри сыйыктар аны кесип өтөт жана $y = \varphi(x)$ ийри сыйыгынын экинчи жагынан тез алыстайт. Эгерде $x_0 < x < x_1$, болгондо $\varphi'(x) > 0$ жана $x > x_1$, болгондо $\varphi'(x) < 0$ болсо, анда жетишээрлик кичи ε саны үчүн $y = \varphi(x)$ тамырынын тартуу областында жайгашкан (x_0, y_0) чекитинен чыккан интегралдык ийри сыйыктар $x_0 + \delta < x < x_1 + \delta$ болгондо, $y = \varphi(x)$ ийри сыйыгына жакын кала берет; $x = x_1$ чекитинин айланасында алар $y = \varphi(x)$ ийри сыйыгын кесиштөт, анан андан алыстайт.

Эгерде $y = \varphi(x)$ жарым туруктуу чыгарылышынын айланасында $f(x,y) \leq 0$ болсо, анда жогоруда айтылган ырастоолордун аткарылышы үчүн $\varphi'(x)$ туундусундагы белгилерди карама-карши белгилер менен алмаштыруу керек.

Мисал 7.2.1.

$$\varepsilon \frac{dy}{dx} = x^2 - y, \quad \varepsilon > 0 \quad (7.2.5)$$

тендемесинин $y|_{x=x_0} = y_0$ баштапкы шартты канааттандырган $y = y(x, \varepsilon)$ чыгарылышы $y = x^2$ кулпурган тенденциин $x > x_0$ жана $\varepsilon > 0$ болгондогу чыгарылышына умтулушун аныктагыла.

Чыгаруу. Кулпурган тенденциин чыгарылышы $y = x^2$ туруктуу, себеби $\frac{\partial f(x, y)}{\partial y} = \frac{\partial(x^2 - y)}{\partial y} = -1 < 0$. Демек алгачкы тенденциин (x_0, y_0) каалаган баштапкы чекиттен чыккан $y = y(x, \varepsilon)$ чыгарылышы $\varepsilon \rightarrow 0$ жана $x > x_0$ болгондо кулпурган тенденциин чыгарылышына умтулат.

(7.2.5) дифференциалдык тенденмесин сыйыктуу бир тектүү эмес тенденме катары чыгарып, түздөн-түз текшерүү аркылуу ишенүү мүмкүн. Берилген $y|_{x=x_0} = y_0$ баштапкы шарты боюнча төмөнкүнү табабыз:

$$y(x, \varepsilon) = (y_0 - x_0^2 + 2\varepsilon x_0 - 2\varepsilon^2) e^{-\frac{x-x_0}{\varepsilon}} + x^2 - 2\varepsilon x + 2\varepsilon^2,$$

мындан $x > x_0$ жана $\varepsilon \rightarrow 0$ болгондо, $y(x, \varepsilon) \rightarrow x^2$ болоору түздөн-түз көрүнүп турат.

Мисал 7.2.2.

$$\varepsilon \frac{dy}{dx} = y(e^y - 2)$$

дифференциалдык тенденме үчүн кулпурган тенденциин чыгарылышынын туруктуулугун изилдегиле.

Чыгаруу. $y(e^y - 2) = 0$ кулпурган тенденме эки чыгарылышка ээ

$$1) y = 0, \quad 2) y = \ln 2.$$

$$\left. \frac{\partial f(x, y)}{\partial y} \right|_{y=0} = \left. (e^y - 2 + ye^y) \right|_{y=0} = -1 \text{ ге ээ болобуз, ошондуктан } y \equiv 0 \text{ чыгарылышы туруктуу;}$$

$$\frac{\partial f(x, y)}{\partial y} \Big|_{y=\ln 2} = (e^y - 2 + y e^y) \Big|_{y=\ln 2} = 2 \ln 2 > 0,$$

демек, културган тенденциин $y \equiv \ln 2$ чыгарылышы туруктуу эмес.

Мисал 7.2.3.

$$\varepsilon \frac{dy}{dx} = (y - x)^2$$

тенденмеге жооп берген културган тенденциин чыгарылышын туруктуулукка изилдегиле.

Чыгаруу. $(y - x)^2 = 0$ културган тенденме $y = x$ эки эселүү тамырга ээ. Бул тамырдын айланасында $f(x, y) = (y - x)^2 > 0$, $\varphi(x) = x$ жана $\varphi'(x) = 1 > 0$.

Демек, $y = x$ чыгарылышы жарым туруктуу жана эгерде (x_0, y_0) баштапкы чекити $y = x$ түз сыйыгынын астындагы жарым тегиздикте жатса ($y > x$ тамырынын тартылуу областы), анда (x_0, y_0) чекитинен чыккан $y = y(x, \mu)$ интегралдык ийри сыйыгы, $x > x_0$ болгондо, $y = x$ сыйыгынын аймагында калат.

Өз алдынча иштөө үчүн көнүгүүлөр

Төмөнкү дифференциалдык тенденмелер үчүн културган тенденмелердин чыгарылышын туруктуулукка изилдегиле (жогорудагы (7.2.4) културган тенденциин чыгарылыштарын туруктуулукка изилдөөсүн карагыла):

$$\text{№ 232. } \varepsilon \frac{dy}{dx} = y - x^2. \quad \text{№ 233. } \varepsilon \frac{dy}{dx} = y(x^4 + 1 - y).$$

$$\text{№ 234. } \varepsilon \frac{dy}{dx} = (y - x)(y - e^x). \quad \text{№ 235. } \varepsilon \frac{dy}{dx} = y^2 - x^2.$$

$$\text{№ 236. } \varepsilon \frac{dy}{dx} = yx. \quad \text{№ 237. } \varepsilon \frac{dy}{dx} = (y + x)^2.$$

$$\text{№ 238. } \varepsilon \frac{dy}{dx} = y - x + 1.$$

7.3. Сингулярдык толкундануулар үчүн далил боло алуучу эсептөөлөр

1⁰ Бир сингулярдык тенденце учур

(7.2.3) сингулярдык - толкунданган тенденмелерди жана системаларды изилдөө үчүн аналитикалык методдорду колдонуу белгилүү функциялардын айрым класстары үчүн гана мүмкүн. Адаттагы сандык методдор (**VI** гл. кара) параметри “кичи” маанилерге ээ болсо дагы жакындатылган чыгарылыштарды чектүү маанилер үчүн гана берет, б.а. чыгарылыштардын асимптотикасын тапканга мүмкүнчүлүк бербейт, ошондуктан бир калыптагы сандык методдор иштелип чыккан (мис. [16]дагы обзорду кара).

$h > 0$ кадамы жана кичи параметри ε үчүн:

$$\exp\left(-\frac{h}{\varepsilon}\right) \in \left[0, \exp\left(-\frac{h}{\varepsilon_0}\right)\right] \quad (0 < \varepsilon \leq \varepsilon_0) \quad \text{негизги катнашын}$$

пайдалануу менен интервалдык анализдин негизинде болу мүмкүн, бирок ал өтө татаалашкан жана белгилүү функциялар үчүн бир далай чектөөлөрдү талап кылат. Биз [20] траекториялардын өздөрүн тургубай туруп сингулярдык толкунданган системалардын чыгарылыштынын асимптотикаларын түзүү үчүн, областтарды далилдеп издөөчү методдорду [26] колдондук, анда эсептөөлөрдүн көлөмү параметрдин маанисинен көз каранды болбайт.

Кайрадан (7.2.3) тенденесин баштапкы шарты менен карайлыш:

$$\varepsilon y'(t) = f(t, y(t)), \quad t_0 \leq t \leq T, \quad (7.3.1)$$

$$y(t_0) = y_0, \quad (7.3.2)$$

мында t_0, T, y_0 – берилген сандар, $f(t, y)$ – берилген функция.

ε жетишээрлик кичи болгондо, бул маселенин $y(t, \varepsilon)$ чыгарылышы үчүн, ε -дон көз каранды эмес жетишээрлик тар чектерди табуу талап кылынат.

Аныктама. (t, y) тегиздигиндеи он жана сол жагынан $t = t_0, t = T$ түз сыйыктары менен, ал эми жогору жана төмөн жагынан сыйык сыйыктар менен чектелген жана t огу менен сыйык сыйыктардын вектор - кесиндилеринин арасындагы бурч 90° дан чоң эмес болгон эки өлчөмдүү областты t боюнча функционалдык деп атайдыз.

Лемма 7.3.1. Эгерде f функциясы

$D = [t_0, T] \times [y_1, y_2]$, $(\forall t \in [t_0, T]) (f(t, y_1) > 0, f(t, y_2) < 0)$ тик бурчтугунда аныкталган жана үзгүлтүксүз болгондой $y_1 < y_2$ жашаса жана $y_0 \in [y_1, y_2]$ болсо, анда (7.3.1) – (7.3.2) маселеси каалаган ε үчүн чыгарылышка ээ (жалғыздығы милдеттүү түрдө эмес).

Далилдөө. f функциясынын үзгүлтүксүздүгүнөн чыгарылыштын локалдык жашашы (узартылышы) орун алат (**3.1.1 теоремасын** кара), ал эми **лемманын** шартынан чыгарылыштын траекториясы $y = y_2$ (өсүү учурунда) жана $y = y_1$ (кемүү учурунда) түз сыйыктарын кесип өтө албайт.

Теорема 7.3.1. Эгерде $y(t_-) \in [y_-, y_+]$ болсо, P нын жогорку жана он чекитеринде $f(t, y) < 0$ болсо, мында $P = [t_-, t_+] \times [y_-, y_+] \subset D$ (интервалдык вектор) тик бурчтук, анда жетишээрлик кичи ε үчүн чыгарылыштын траекториясы P нын он чегин кесип өтпөйт (б.а. P нын төмөнкү чегин кесип өтөт).

Ушундай эле, эгерде P нын төмөнкү жана он чекте-ринде $f(t, y) > 0$ болсо, анда траектория P нын жогорку чегин кесип өтөт.

Далилдөө (теореманын биринчи бөлүгү үчүн). Үзгүлтүксүздүктүн негизинде, төмөнкү касиетке ээ болгон δ жана ω он сандары жашайт ($0 < \delta \ll 1$ жана $0 < \omega \ll 1$):
 1) $y_+ - \delta \leq y \leq y_+$ болсо жана да $t_+ - \delta \leq t \leq t_+$ болсо, $f(t, y) < -\omega$; жана 2) бул областта $y(s_+) < y(s_-) - \omega(s_+ - s_-)/\varepsilon$, $s_- < s_+$ катнаштары орун алат.

Эгерде траектория $[t_-, t_+] \times [y_+ - \delta, y_+]$ кесиндисин кесип отсө, анда $\varepsilon < \omega(t_+ - \delta - t_-)$ үчүн ал $[t_-, t_+ - \delta] \times [y_+ - \delta, y_+ - \delta]$ кесиндисин да кесип өтөт. Демек, траектория $[t_+ - \delta, t_+ - \delta] \times [y_+ - \delta, y_+]$ кесиндисин кесип өтө албайт. Эгерде ал $[t_+ - \delta, t_+ - \delta] \times [y_+ - \delta, y_-]$ кесиндисин кесип өтсө, анда $\varepsilon < \omega\delta / (y_+ - y_-)$ үчүн ал $[t_+ - \delta, t_+] \times [y_-, y_-]$ кесиндисин кесип өтөт, б.а. $[t_+, t_+] \times [y_+, y_-]$ кесиндисин кесип өтпейт.

Бул теоремадан түздөн -түз төмөнкү теорема келип чыгат.

Теорема 7.3.2. $P = [t_-, t_+] \times [y_-, y_+]$, $\varepsilon \ll 1$, $y(t_-) \in [y_-, y_+]$ болсун. Эгерде $[t_+, t_+] \times [y_+, y_+]$ жогорку чегинде жана он чегинин жогоркуга жандаш $[t_+, t_+] \times [y_{p+}, y_+]$ бөлүгүндө $f(t, y) < 0$ болсо жана $[t_-, t_+] \times [y_-, y_-]$ төмөнкү чегинде жана $[t_+, t_+] \times [y_-, y_{p-}]$ он чегинин төмөнкү жандаш бөлүгүндө $f(t, y) > 0$ болсо, анда $y(t_+) \in [y_{p-}, y_{p+}]$.

Төмөнкү далил боло алуучу эсептөөлөрдүн алгоритми лемманын шартында аракет кылат.

Алгачкы берилген маалыматтар: $[t_0, T]$ - аргументтин өзгөрүү интервалы (рационалдык); баштапкы маанилери үчүн $[y_{0-}, y_{0+}]$ интервалы (рационалдык); $f(t, y)$ функция-сынын $F([t_-, t_+] \times [y_-, y_+])$ интервалдык көнөйишин эсептөө үчүн алгоритм; y боюнча кадам h_y он рационалдык сандары, t боюнча кадам h_t он рационалдык сандары.

Функционалдык областтын чегинин бөлүгүн түзгөн болжолдонгон вектор кесиндисинин багыт индикатору болгон N санын киргизебиз.

Жогорку чекти издөөнүн алгоритми:

- $t_+ := t_0$; $y_+ := y_{0+}$; $N := -1$ деп алабыз.
- Эгерде $N := -1$ болсо. анда $t_{l+} := t_+$; $y_{l+} := y_+ - h_y$ деп алабыз.

Эгерде $N := 0$ болсо, анда $t_{1+} := t_+ + h_t$ деп алабыз.

Эгерде $N := 1$ болсо, анда $t_{1+} := t_+$; $y_{1+} := y_+ + h_y$ деп алабыз жана “г” пунктуна өтөбүз.

в) $t_- := t_+$; $y_- := y_+$; $t_+ := t_{1+}$; $y_+ := y_{1+}$; деп алабыз.

$f_+ := F_+([t_-, t_+] \times [y_-, y_+])$ функциясын эсептейбиз.

Эгер-де $f_+ < 0$ болсо, анда “г” пунктуна өтөбүз, же болбосо

$N := N + 1$ жана кайрадан “б” пунктуна өтөбүз.

г) $t_+ := t_{1+}$; $y_+ := y_{1+}$; $N := -1$ деп алабыз.

е) ($t = T$ маанисін тапканга чейин кыймымылды улантабыз).

Эгерде $t_+ < T$ болсо, анда “б” пунктуна өтөбүз, же болбосо y_{1+} натыйжасы менен ЧЫГУУ. ($y(T, \varepsilon \leq y_{1+})$ деп далилденди).

Ушунун өзүндөй эле төмөнкү чегин табабыз.

Эгерде h_y жана h_t жетишээрлик кичине сандар болсо, анда алгоритм кадамдардын чектүү санында токтоору көрүнүп турат.

Анча татаал эмес тенденциелер үчүн бул алгоритмди колдо да эсептесе болот.

[$t_- \leq t_+$, $y_- \leq y \leq y_+$] болсо, $f(t, y) < 0$ болоорун далилдөө мүмкүн экендигине тиешелүү барабарсыздыктарды окурман в) пунктуна текшерет.

Бул алгоритм төмөндөгү мисалга колдонулган.

Мисал 7.3.1.

$$\epsilon y'(t) = (y(t)(4 - t^2 - y^2(t))) \quad (0 \leq t \leq 3) \quad (7.3.3.)$$

тенденмесин

$$1 \leq y(0) \leq 3 \quad (7.3.4)$$

баштапкы шарты менен карайбыз.

Натыйжада төмөнкү теорема далилденген:

Теорема 7.3.3. (7.3.3) – (7.3.4) баштапкы маселенин чыгарылышы $-0,5 \leq y(3) \leq 0,5$ шартын канаттандырат.

2⁰. Тендемелер системасы болгон учур

Төмөнкү схема колдонулат.

$$F(y(t)y'(t), \varepsilon) = 0, 0 < \varepsilon \ll 1, y \in R^n \quad (7.3.5)$$

кичи параметрдүү автономдуу тендемелер системасы берилсин, мында F маанилери R^n де жаткан $(2m+1)$ өзгөрмөлүү үзгүлтүксүз функция (эгерде алгачкы система автономдуу болбосо, анда $y_{m+1} = t, y' = 1$ кошумча өзгөрмөнү киргизүү менен аны автономдууга алып келүүгө болот).

Лемма 7.3.2. Эгерде туюк көптүктөрдүн чектелген саны $H_0, H_{1,K}, H_k \subset R^n$ жана $\varepsilon_1, K, \varepsilon_k$ он сандары: $y(0, \varepsilon) \in H_{j-1}$, $\varepsilon < \varepsilon_j$ дөн кандайдыр бир $t_j > 0$ үчүн $y(t_j, \varepsilon) \in H_j$ келип чыккандай берилсе, анда жетишээрлик кичи $\varepsilon_0 > 0$ үчүн t_0 саны табылып $y(0, \varepsilon) \in H_0, \varepsilon < \varepsilon_0$ катнаштарынан $y(t_0, \varepsilon) \in H_k$ келип чыгат ($t_0 = t_1 + K + K + \dots + t_k, \varepsilon_0 = \min(\varepsilon_1, K, \varepsilon_k)$) деп алса болот).

3⁰. Биринчи тартилтеги тендемелер системалары үчүн маселенин коюлушу жана чыгарылыштарынын касиеттери

(7.3.1) жана (7.3.2) маселесин карайлы, мында t_0, T – сандары, $Y_0 \subset R^n$ – чектелген көптүк, $f(t, y): R \times R^n \rightarrow R^n$ – вектор функциясы, n – натурадык саны берилген. $f(t, y)$ -функциясы тууралуу болжолдоо ал бардык жерде эле аныкталада бербеси мүмкүн, бирок $f(t, y)$ өзү аныкталган бардык чекиттерде үзгүлтүксүз болуп саналат.

ε жетишээрлик кичи болгондо маселенин $y(t, \varepsilon)$ чыгарылышы үчүн, ε дон көз карандысыз жетишээрлик тар чектерди (Y_0 дун туурасына шайкеш келген) табуу талап кылышат.

Лемма 7.3.3. Эгерде $Y = [y_{-}, y_{+}] \times K \times [y_{n-}, y_{n+}] \subset R^n$ координаталык параллелепипеди жашаса жана

1) (7.3.1) – (7.3.2) маселесинин чыгарылышы $y(t_1, y_0) \in Y$ шартын канаттандырас;

2) f функциясы $D = [t_1, t_2] \times Y$ параллелепипединде аныкталса жана үзгүлтүксүз болсо;

3) t, y чекитинен $f(t, y)$ вектору, каалагандай $t \in [t_0, t_2]$ үчүн жана Y чегинин каалагандай у чекити үчүн D областынын ичине карай багытталган (б.а. $f_k(t, y_1, K, y_{k-}, K, y_n) > 0, f_k(t, y_1, K, y_{k+}, K, y_n) < 0$).

Анда (7.1.12) – (7.1.13) маселеси каалаган ε үчүн чыгарылышка ээ болот (жалғыз болбой калышы мүмкүн).

f функциясынын үзгүлтүксүздүгүнүн негизинде чыгарылыштын локалдык жашашы (узартылыши) орун алат, ал эми (7.3.3) лемманын шартынын негизинде чыгарылыштын траекториясы D параллелепипединин капитал грандарын кесип өтө албайт.

Теорема 7.3.4. Эгерде

1. 7.3.3 лемманын 1) жана 2) шарттары аткарылса;
2. ε жетишэрлик кичи болсо;
3. k нын кандайдыр номери үчүн, $t = t_2, y \in Y$ (D нын он гранында) болгондо, $f_k(t, y_1, K, y_{k-}, K, y_n) \neq 0$ шарты аткарылса, анда чыгарылыштын траекториясы кандайдыр бир $t < t_2$ де D нын капитал гранынын бирөөсүн кесип өтөт (бул жерде 7.3.3 леммасынын 3) шарты аткарылбайт).

Далилдөө (карама каршылыкка келүү методу менен).

Траектория D нын капитал жактарын кесип өтпөйт деп болжолдойлу. D да $y_i(t, \varepsilon), i = 1, K, n$ менен чыгарылыштын компонентерин белгилейли. (7.3.1.) системасынын k (скалярдык) тенденмесин өзүнчө карайлы;

$$\varepsilon y'_k(t) = g(t, y_k(t), \varepsilon), t \in [t_1, t_2], y_k(t) \in Y_k, \quad (7.3.6)$$

мында $t = t_2, v \in Y_k$ болгондо

$$g(t, v, \varepsilon) = f_k(t, y_1(t, \varepsilon), K, y_{k-1}(t, \varepsilon), v, y_{k+1}(t, \varepsilon), K, y_n(t, \varepsilon)) \neq 0.$$

7.3.6 тенденции үчүн 7.3.4 теоремасынын бардык шарттары аткарылат [20], демек, анын чыгарылышынын траекториясы $[t_1, t_2] \times Y_k$ тик бурчтугунун он жагын кесип өтпөйт, андай болушу мүмкүн да эмес. Теорема далилденди.

Кыстырмалы I. Скалярдык учурда “траектория, $f(t, y)$ функциясынын он грандагы белгисине ылайык, кептал (жогорку же төмөнкү) грандарынын бирөөсүн кесип өтөт” жана “траектория, $f(t, y) \neq 0$ болгондо он гранын кесип өтпөйт” ырастоолору эквиваленттүү, анткени $[t_1, t_2] \times Y_k$ тик бурчтугу $[t_1, t_2] \times R$ тилкесин эки бөлүкке бөлөт, ал эми жалпы (вектордук) учур үчүн эквиваленттүү эмес.

Кыстырмалы II. Эки өлчөмдүү учурда 7.3.4 теоремасынын 3) шартын төмөнкү, бошураак шартка алмаштырса болот: “он гранында $f(t, y) \neq 0$ ”, анткени бул учурда: эгерде “тондуруулган” автономдуу тенденме $\dot{y}(t) = f(t, y(t))$, мында t_3 саны t_2 ге жетишээрлик жакын болгондо чектелген чыгарылышка ээ болсо, анда ал дагы стационардык чекитке да ээ, б.а. он гранында $f(t, y) = 0$ болсо.

Эми, качан (7.1.12) ге дал келген културган $f(t, \omega) = 0$ тенденмесинин чекиттик чыгарылыштарынын көптүгү обочолонгон байланган тартуучу компонентке ээ болсо жана Y_0 анын тартуу областында жатса, (7.3.1)-(7.3.2) чыгарылышынын траекториясынын биригүүсүн кармаган параллелепипедди түзүүнүн алгоритмин жазалы (бул учур көбүнчө сингулярдык толкундануу теориясында колдонулат).

Мисал 7.3.2. Сингулярдуу - толкунданган кадимки дифференциалдык тенденмелер системасынын чыгарылыштарынын гарантияланган чектерин түзүү алгоритми.

Алгачкы берилген маалыматтар: аргументтин өзгөрүү интервалы (рационалдык) $[t_0, T]$; баштапкы маанилер үчүн интервалдык (рационалдык) вектор $Y_0 = [y_{0L}, y_{0H}] \times K \times [y_{0nL}, y_{0nH}]$; $f(t, y)$ функциясынын $F([t_-, t_+], Y)$ интервалдык көнөйүүсүн

эсептөөнүн алгоритми; (кичине рационалдуу) h_y сандары – у боюнча кадам, h_t сандары – t боюнча кадам (мында $n_t = (T - t_0)/h_t$ – бүтүн сан).

$t_k = t_0 + jh_t$, $k = 1, K$, k деп белгилейли. Жагы h_t болгон Y_0 – көптүгү гиперкубдардан турат деп эсептейбиз.

Каалагандай t үчүн T - көптүгү деп, чыгарылыштын траекторияларын гарантиялуу кесип өткөн R^n деги көптүктү (гиперкубдардын биригүүсүн) айтабыз жана тиешелүү түрдө Y_0 – көптүгү деп чыгарылыштардын траекториялары кесип өтпөгөн көптүктү белгилейбиз.

Берилген далил боло алуучу эсептөөлөрдүн алгоритми 7.3.4 теоремасынын шарттарында аракет кылат жана 7.3.2 леммасына ылайык түзүлгөн.

Алгоритм. $t = t_0$ болгондо берилген Y_0 көптүгү T - көптүк болуп саналат.

T -көптүк түзүлгөн дейли, $Y_k = n$ - өлчөмдүү координаталык гиперкубдардын биригүүсү болсун. $D_k = Y_k \times [t_k, t_{k+1}]$ параллелепипеддеринин жыйындысын карайлышы. Бул параллелепипеддердин, башка параллелепипеддердин грандары болбогон капитал грандарын “сырткы” деп, калгандарын “ички” деп атайды. Бул гранды (7.3.2) леммасына ылайык параллелепипеддердин капитал гранындагы берилген ($F([t_-, t_+]Y)$ менен эсептелүүчү) $f(t, y)$ функциясынын компонентинин белгисине жараша “чыгуучу”, “кирүүчү” же “анык эмес” деп атайдыз.

D_k жыйындысына, “чыгуучу” жана “анык эмес” грандарына жандаш болгон ушул түрдөгү бардык параллелепипеддерди кошобуз (бул учурда кандайдыр бир “сырткы” грандар “ички” болуп калышы мүмкүн) жана бул процессти “сырткы” грандарынын баары “кирүүчү” болуп калмайынча кайталайбыз (төмөнкү болжолдоолордун негизинде, бул түзүүлөр h_t жетишээрлик кичине жана эсептөөлөр

жетишээрлик так болгондо културган системанын чыгарылышынын тартуучу компонентасынын аймагында ишке ашкандыктан процесс токтойт). Андан кийин, (7.3.4) теоремасына ылайык бардык каптал грандары же “сырткы” же “чыгуучу” болгон Y – параллелепипеддерин аныктайбыз. Калган параллелепипеддердин биригүүсү (t – компонентсиз) $T - Y_{k+1}$ көптүгүн берет.

Кыстырма III. (7.1.12)-(7.1.13) баштапкы маселенин чыгарылышы бардык $[t_0, T]$ аралыгында аныкталышы, бирок алгоритм бир канча кадамдан кийин Y – көптүгүн гана берип калган учуру кездешиши мүмкүн.

Мисал 7.3.3. $n=1$ дейли

$$\varepsilon y'(t) = y(t), \quad 0 \leq t \leq 1$$

$$y(0) = 1 \in [0.9, 1.1], \quad h_t = 0.1, \quad h_y = 0.2$$

тендемеси берилсін.

Анда, адегенде $D_0 = \{[0.0, 0.1] \times [0.9, 1.1]\}, [0.0, 0.1] \times [0.9, 0.9]$ – киругы граны, $[0.0, 0.1] \times [1.1, 1.1]$ – чыгуу граны, $[0.1, 0.1] \times [0.9, 1.1]$ он гранында $f(t, y) = y > 0$ экенине ээ болобуз. Кийинки кадамда $D_0 = \{[0.0, 0.1] \times [0.9, 1.1], [0.0, 0.1] \times [1.1, 1.3]\}$, экин-чи тик бурчтуктун $[0.1, 0.1] \times [1.1, 1.3]$ он гранында $f(t, y) > 0$, ж.б.

Бул мисалда Y – тик бурчтуктарынын гана болушу төмөндөгүдөй түшүндүрүлөт. Каалаган ε үчүн траектория $t = 0.1$ түз сыйыгын кесип етет, бирок ар бир y_+ саны үчүн траектория $t=0.1, y \leq y_+$ шооласын $\varepsilon < \varepsilon_0$ болгондо кесип етпөй турган ε_0 санын табууга мүмкүн.

§ 7.4. Сингулярдуу толкунданган системалардын траекторияларынын практикалык ажыратылыш кубулуштары

1⁰ Сингулярдык толкундануулар теориясынан кошумча маалыматтар жана траекториянын “практикалык бифуркация” кубулушунун аныктамасы

Аныктама 1. Эгерде каалагандай $t \in \Delta$ да

$$\lim\{x(t, x_0, \varepsilon) \mid \varepsilon \rightarrow 0\}$$

чектүү предели жашаса, анда (7.2.3) үчүн $x(t_0) = x_0$. Коши массесин асимптоталык аныкталган деп атайдыз (чектик катмардын айлануу кубулушунда асимптотикалык аныксыздык табылган [19]). Эгерде бардык t_0 үчүн мындай пределдер жашаса, анда (7.2.3) тенденмесин асимптотикалык аныкталган деп атайдыз.

$$\lim\{x(t_1, t_0, \varepsilon) \mid \varepsilon \rightarrow 0\},$$

шартын канаатандырган (t_0, x_0) дун көптүгүн (t_1, x_1) маанисиин тартылуу областы деп атайдыз.

Биз көз караш менен Караганда [21] жумушуна чейин, баштапкы маанилердин мейкиндигиндеги ар түрдүү «ички» (t_1, x_1) маанилеринин тартылуу областтари бош кесилиштерге ээ болгонун же бирине бири кийиштирилген учурлар изилденгенин белгилей кетели. Ошону менен бирге бирине бири кийиштирилбegen, бирок тартылуу областарынын кесилиши бош эмес болуп калган тартылуу областтар да жашашы мүмкүн.

Мисал 7.4.1.

$$f(t, x) = \begin{cases} -t(t-1)(t-2)x(x-20)(x-40), & 0 \leq t \leq 3, \\ -(t-2)x(x-10)(x-20), & t > 3, \end{cases} \quad (7.4.1)$$

үзгүлтүксүз функция болгон

$$x'(t) = f(t, x(t)), \quad t \in [0, \infty)$$

тенденмесин

$$x(0) = x_0 \quad (7.4.2)$$

баштапкы шарты менен карайлыш.

$t = 2$ болгондо, $x(2) = x(0) = x_0$ ду алабыз.

$x < 20$ болгондо $t \in [0,1]$ кесиндинде $f_x(t,x) < 0$ го ээ болобуз, демек

$$\lim\{x(1, x_0, \varepsilon), |\varepsilon \rightarrow 0\} = 0, \quad x_0 \in (-\infty, 20). \quad (7.4.3)$$

$x = 20$ болгондо бардык $x, x(t, 20, \varepsilon) = 20$ үчүн $f(t, x) = 0$ го ээ болобуз. Демек, $x_0 = 20$ тартылуу областынын $t = 1, x = 0$ маанилерине кирбейт.

Андан ары, бардык x_0 үчүн $x(2, x_0, \varepsilon) = x(0, x_0, \varepsilon) = x_0$ го ээ болобуз. $t > 0$ учурунда кулпурган тенденце үч чыгарылышка ээ: $v_1(t) = 0, v_2(t) = 10, v_3 = 20$. $t = 2$ сызыгында $v_1(t)$ үчүн тартылуу областы $x_0 \in (10, \infty)$, $v_1(t)$ үчүн - $x_0 \in (10, \infty)$ болуп саналат. Демек $t = 3, x = 20$ маанисинин тартылуу областты болуп $x_0 \in (10, \infty)$ саналат. Бул областты (7.4.3) областы менен салыштыруу изделген натыйжаны берет. Ошого карабастан (7.4.1) тенденмеси асимптотикалык аныкталган болуп саналарын белгилей кетели.

Аныктама 2. Эгерде

$$\lim\{|X_1(\varepsilon) - X_2(\varepsilon)| / \varepsilon \rightarrow 0\}$$

шартын канааттандырган кандайдыр бир $X_1(\varepsilon)$ жана $X_2(\varepsilon)$ функциялары үчүн

$$(t \in [t_1, t_2] \quad | |x(t, x_1(\varepsilon), \varepsilon) - x(t, x_2(\varepsilon), \varepsilon)| > h) \quad (7.4.4)$$

катнашы аткарыла турган $[t_1, t_2] \subset \Delta$ кесиндиши жана $h > 0$ саны жашаса, анда $t = t_0$ до практикалык ажыратылыш кубулушу орун алат деп айтабыз [22].

(7.4.1) - (7.4.2) түрүндөгү баштапкы маселени чыгаруу үчүн жакындастылган методдун бириң аткарған кандайдыр бир компьютердик программаны карайлы. Абстракттуу түрдө айтканда, мындай программа машиналык сандардын көптүгүн (мисалы, [23] жумушун кара) өзүнө-өзү өзгөртүп түзөт (берилген $y(t_0)$ маанини жакындастылган $y(T)$ маанисine $P: M \rightarrow M$).

Аныктама 3. Эгерде төмөнкү шарттарды канааттан-дырган “жетишээрлик кең” $D \subset M$ кесиндиши жашаса:

- кандайдыр бир $y_- \in M$ үчүн, $P(y_-) < D_-;$
- кандайдыр бир $y_+ \in M$ үчүн, $P(y_+) > D_+;$

$P(y_0) \in D$ болгон, жок дегенде бирден көп эмес $y_0 \in M$ табылса, анда машиналык практикалык ажыратылыш кубулушу орун алат деп айтабыз.

2⁰. Алгоритмдерди түзүү үчүн маселенин қоюлушу жана теоремалар

$$\varepsilon y'(t) = f(t, y(t)), \quad t_0 \leq t \leq T \quad (7.4.5)$$

тендемени

$$y(t_0) = y_0 \quad (7.4.6)$$

баштапкы шарты менен карайлы, мында t_0, T, y_0 берилген сандар, $f(t, y)$ -берилген функция.

Теорема 7.4.1. Эгерде:

$$t_- \leq t \leq t_+, y_- \leq y \leq y_+ \text{ болсо, } df(t, y)/dy > 0;$$

$$t = t_-, y_- \leq y \leq y_+ \text{ болсо, } f(t, y) < 0 \quad (7.4.7)$$

$$t = t_+, y_- \leq y \leq y_+ \text{ болсо, } f(t, y) > 0$$

шарттары аткарылса, анда практикалык ажыратылыш кубулушу орун алат: $\|X_1(\varepsilon) - X_2(\varepsilon)\| = O(\varepsilon^{-c/\varepsilon})$, $\varepsilon > 0$.

Андан ары автономдук сингулярдуу толкунданган дифференциалдык тенденмелер системасын

$$\begin{cases} \varepsilon dx(t) = dt = f(x(t), y(t)), \\ dy(t)/dt = g(x(t), y(t)), \end{cases} \quad 0 \leq t \leq \infty \quad (7.4.8) \text{ баштапкы}$$

$$x(0) = x_0, y(0) = y_0 \quad (7.4.9)$$

шарты менен карайлы.

Бул маселенин, жетишээрлик кичи ε жана “дээрлик бардык” баштапкы маанилериндеги, $z(t, \varepsilon)$ чыгарылышы үчүн ε дон көз каранды эмес, жетишээрлик тар чектерди табуу талап кылышат.

Системанын чыгарылышын $z(t, \varepsilon) = \{x(t, \varepsilon), y(t, \varepsilon)\}$ деп белгилеп алалы. Ошондой эле $z(t, x_0, y_0, \varepsilon)$ белгилөөсүн да пайдаланабыз. $S(t) \subset R^2$ менен $z(t, \varepsilon)$ тин мүмкүн болгон маанилеринин көптүгүн, $z(t, x_0, y_0, \varepsilon)$ менен $\varepsilon \rightarrow 0$ болгондо пределдик чекиттеринин көптүгүн белгилейбиз.

$Z(t, x_0, y_0) = \lim\{z(t, x_0, y_0, \varepsilon) / \varepsilon \rightarrow 0\}$ (чексиз алыста-тылган чекиттерин кошо) пределдик функциясын аныктайбыз.

$Z(t, x_0, y_0)$ менен културган маселенин чыгарылышы z_0 ар башка болгон чекиттердин аймагында чектик катмарларды алаарабыз белгилүү.

Эгерде караптада $S(t)$ көптүгүү үчүн өзгөчөлүк жайгашкан болсо, анда бифуркациялык кубулуш пайда болушу мүмкүн. Бул мааниде, (7.4.8) системасынын фазалык чекити $S(t)$ нын кийинки участкаларына тез умтулат же болбосо чексизге кетет.

Төмөнкү болжолдоолордо алгоритм түзүлгөн:

1) системанын чыгарылышынын траекториясы бир эле убакытта $f = 0$ жана $g = 0$ болгон областтардан өтпейт.

2) каалагандай $x_- < x_+$ үчүн $y_- < y_+$ табылат жана бул сандар үчүн

$$f > 0 \quad (x \in [-\infty; x_0], y \in [y_{0-}, y_{0+}]),$$

$$f < 0 \quad (x \in [x_{0+}; \infty], y \in [y_{0-}, y_{0+}])$$

шарттары аткарылат.

$x_- \leq x \leq x_+, y_- \leq y \leq y_+$ интервалдык векторунда (тик бурчтугунда) практикалык бифуркациянын шарты $x=x_+, y_- \leq y \leq y_+$ төмөнкүдөй болот:

$$df(x, y)/dx > 0, \quad (7.4.10)$$

$$x = x_-, y_- \leq y \leq y_+ \text{ үчүн } f(x, y) < 0,$$

$$\text{же } x = x_-, y_- \leq y \leq y_+ \text{ үчүн } f(x, y) > 0.$$

[18]де көрсөтүлгөндөй J огуна перпендикулярдуу кесиндини ($J = 1, 2, K$) J -кесинди деп атайды.

Теорема 7.4.2. Эгерде (7.1.26) шарттары аткарылса, анда $z(t, x, y_1, \varepsilon)$ чыгарылышынын траекториясы $[x_-, x_+] \times [y_-, y_+]$ кесиндин кесип өткөн $y_- \in [y_-, y_+]$ сандарынын так жогорку граны - $y_{0-}(\varepsilon)$ жана $z(t, x, y_1, \varepsilon)$ чыгарылышынын траекториясы $[x_-, x_+] \times [y_-, y_+]$ кесиндин кесип өткөн $y_i \in [y_-, y_+]$ сандарынын так төмөнкү граны $y_{0+}(\varepsilon)$ табылышат.

Эгерде 7.4.1 же 7.4.2 теоремаларынын шарттары бир нече маанилер $t_{01} < t_{02} < K$ үчүн аткарылса, анда бул теоремалардан траекториялардын формасы жөнүндө түздөн-түз жыйынтык чыгарууга болбайт.

3⁰. Практикалык ажыратылыш кубулушун эксперименталдык изилдөө

Мисал 7.3.2. [30] да төмөнкү тенденме каралган:

$$\varepsilon y'(t) = (y(t) - t)(2 + t - y(t))(y(t) - (t - 2)), (0 \leq t < 2)$$

7.4.1 теоремасынын шарттары

$$t_- = 0, t_+ = 0,5; y_- = -1, y_+ = 1$$

$$(y(2,0, v_-) \approx 0; y(2,0, v_+) \approx 4) \text{ үчүн аткарылат.}$$

$v_- = -1, v_+ = +1$ баштапкы маанилери тандап алынган. $y(2,0, v)$ нун маанилери v нын ар түрдүү маанилери үчүн жана жок дегенде бир v_0 саны үчүн $y(2,0, v_0) \in [1,3]$ шарты аткарылгандай максатта эсептелген.

Алгоритм: $v_d = (v_- + v_+)/2$ $v_d := y(2,0, v_d)$ чондуктарын эсептейбиз. Эгерде $y_d < 1$ болсо, анда $v_- := v_d$ болот. Эгерде $y_d > 3$ болсо, анда $v_+ := v_d$ болот. Эгерде $y_d \in [1,3]$ болсо, анда v_0 ду аныктоо жөнүндө билдириүү берилет.

Машиналык практикалык ажыратылыш кубулушу Эйлердин сынык сзыктар методу боюнча PASCAL тилинде $y(0)$ дун, $[y(2)] \in [1,3]$ шартын канаатандырган маанилеринин жоктугу) эсептөөлөрүндө $\varepsilon < 0,5$ үчүн орун алган.

Төмөнкү проблемаларды айта кетели:

Проблема 1. Эгерде (t_+, y_-) жана (t_+, y_+) чекиттерине жандашкан $[t_+, t_{2+}] \times [y_{2-}, y_-]$ жана $[t_+, t_{2+}] \times [y_+, y_{2+}]$ тик бурчтуктары үчүн да **7.4.1 теоремасынын** шарттары аткарылса, анда практикалық ажыратылыш төрт багытта болушу мүмкүн. Бул багыттардың экиден көбүн эксперименталдык жол менен алууга болобу?

Проблема 2. 2 жана 3 аныктамаларды сингулярдык толкунданган тенденмелер системасына жалпылагыла.

VIII Глава. Социалдык-экономикалык илимдерден алынган мисалдар менен дифференциалдык тенденциилер

Биздин китепте дифференциалдык тенденциилер боюнча буга чейинки традициялуу колдонмолов сыйктуу эле, мисалдар геометрия, механика, электротехника, гидравлика, оптика жана башка маанилүү прикладдык илимдерден көлтирилген. Анткени окуу китептеринин көпчүлүгү негизинен техникалык жана табигый илимий багыттагы адистерге арналчы.

Бул главада экономика, экология, аскер илими жана башка социалдык илимдердин өзгөчөлүгүнө арналган дифференциалдык тенденциилерди түзүүгө жана чыгарууга багытталган мисалдарды карайбыз.

§ 8.1. Экономика

Мисал 8.1.1. Фирманын, рыноктун теориясы.

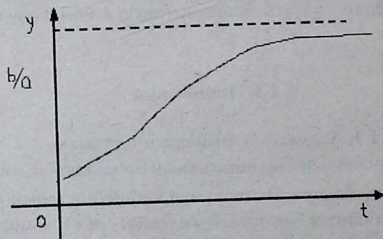
$y(t)$ – кандайдыр бир ишкананын продукция чыгаруусунун интенсивдүүлүгү болсун. Чыгаруунун көбөйүшү менен рыноктун толуусу пайда болот жана товардын баасы $p(y)$ төмөндөйт деп болжолдойлу. Мисалы, $p(y) = b - ay, (a, b > 0)$ болсун жана продукция чыгаруу интенсивдүүлүгүнүн көбөйүү ылдамдыгы кирешеден өсүүчү функция болуп саналсын.

$y(t)$ функциясы үчүн дифференциалдык тенденции түзгүлө жана аны чыгарып, бул функциянын графигин тургузгула.

Чыгаруу. Туундуунун механикалык маанисине ылайык $y' = \frac{dy}{dt}$ туундусу $y(t)$ функциясынын өзгөрүшүнүн ылдамдыгы болот. Шарт боюнча $\frac{dy}{dt} = k(b - ay)y$, мында $p(y)y$ көбөйтүндү - $y(t)$ чыгарууну $p(y)$ баа менен сатуудан киреше. Өзгөрмөлөрдүң ажыратып, $\frac{dy}{y(b - ay)} = kdt$ тенденмесин алабыз,

муну интегралдап, $y = \frac{cbe^{bkt}}{1 + Cae^{bkt}}$ ны табабыз. Интегралдоонун натыйжасында алынган $y(t)$ функциясы социалдық илимдердин ар түрдүү бөлүмдөрүндө пайда болуучу логистикалык ийри сыйзык деп аталған тенденции көрсөтөт (24-сүрөт.).

Берилген учурда логистикалык ийри сыйзык продукцияны чыгаруунун $y(t)$ маселенин шартына ылайык мүнөзүн чагылтат, атап айтканда, рыноктун убакыттын t өсүүсү менен товарга толуусу көрүнүп турат.



24-сүрөт.

Мисал 8.1.2. Активдин деңгээли боюнча бааларды текшилөөнүн экономикалык маселеси.

Активдин деңгээлинин q өзгөрүүсү s сунуш менен q суураонун ортосундагы айырмага $k(k > 0)$ пропорционалдык коэффициенти менен пропорциялаш болсун. Андан тышкары, p баанын өзгөрүүсү да q активдин кандайдыр бир фиксацияланган q_0 деңгээлинен четтөөсүнө $m(m > 0)$ пропорционалдык коэффициенти менен пропорциялаш болсун.

Жогоруда айтылган болжолдоолор учурунда бааларды q активдин деңгээли боюнча текшилөө маселесине туура келүүчү дифференциалдык тенденмелердин системасын жазгыла.

Чыгаруу. Маселенин шарттарын колдонуп тенденциалдык системасын жазуу мүмкүн, мында өзгөрмөнүн жаңындагы штрих убакыт боюнча туундуну билдирет.

$$\begin{cases} q' = k(s - d) \\ p' = -m(q - q_0) \end{cases}$$

Системасын жазуу мүмкүн, мында өзгөрмөнүн жаңындагы штрих убакыт боюнча туундуну билдирет.

s сунуш жана d суроонун экөө тен p баанын функциялары, б.а. $s(p), d(p)$ болуп саналаарын эске алып, натыйжада, төмөнкү дифференциалдык тенденциалдердин системасына ээ болобуз:

$$\begin{cases} q' = k[s(p) - d(p)] \\ p' = m(q_0 - q). \end{cases}$$

Алынган дифференциалдык тенденциалдердин системасы бааларды активдин денгээли боюнча текшилөөнүн динамикалык мөделин сүрөттөйт. Тенденциалдердин системасы ага кирген суроо жана сунуш функцияларына жараша сыйыктуу да, сыйыктуу эмес да болушу мүмкүн.

Суроо жана сунуш функцияларынын баадан көз карандылык функциясынын эң жөнөкөй сыйыктуу көз карандылык учурун карайбыз. Мындан кийин, эгерде талап кылышса, маселени татаалдаштыруу жана аталган функциялардын баадан башкача көз карандылыктарын кароо мүмкүн.

Ошентип, $s(p) = ap + s_0, d(p) = -cp + d_0, a > 0, c > 0$ болсун, анда дифференциалдык тенденциалдердин системасы

$$\begin{cases} q' = k[(a+c)p + (s_0 - d_0)] \\ p' = m(q_0 - q). \end{cases}$$

Түрүндө кайра жазылат.

Бынайида белгилөөлөрдү жана туундуларды башкача жазууну кийирип, тенденциалдердин системасын жөнөкөйлөштүрөбүз. Төмөнкүгө ээ болобуз:

$$\frac{dq}{dt} = A_{11}q + A_{12}p + A_{10}$$

$$\frac{dp}{dt} = A_{21}q + A_{22}p + A_{20}.$$

$$\begin{aligned}
 \text{мында } A_{11} &= 0, \\
 A_{12} &= k(c + a), \\
 A_{10} &= k(s_0 - d_0) \\
 A_{21} &= -m \\
 A_{22} &= 0 \\
 A_{20} &= mq_0.
 \end{aligned}$$

Ошентип, биз туралктуу коэффициенттүү экинчи тартиптеги сзыяктуу дифференциалдык төндемелердин системасын алдык. A_{10}, A_{20} коэффициенттери нөлгө барабар эмес болгондуктан система бир тектүү эмес болуп саналат.

Бирок, изилденүүчүү система стационардык чыгарылыштарга, туураараагы

$$\begin{aligned}
 \frac{dq}{dt} &= k[(a + c)p + (s_0 - d_0)] = 0 \\
 \frac{dp}{dt} &= m(q_0 - q) = 0
 \end{aligned}$$

төндемелерден табылуучу, координаталары $p = p_0 = \frac{d_0 - s_0}{a + c}$,

$q = q_0$ го барабар $q = q_0$, $p = p_0$ стационардык чекитке ээ болгондуктан, азыр эле алынган система бир тектүү дифференциалдык төндемелердин система түрүнө келтирүүсү мүмкүн. Бул учун төндемелерди стационардык чекитке салыштырмалуу вариацияларда жазуу жетиштүү, ал табылган стационардык чыгарылыштардын (стационардык чекиттердин) туруктуулугун андан ары изилдөөгө зарыл болот. Θ згөрмөлөрдү $x_1 = q - q_0, x_2 = p - \frac{(d_0 - s_0)}{(a + c)}$

алмаштырууну аткарабыз, мунун натыйжасында бир тектүү эмес дифференциалдык төндемелердин система

$$\begin{aligned}
 \frac{dx_1}{dt} &= a_{11}x_1 + a_{12}x_2 \\
 \frac{dx_2}{dt} &= a_{21}x_1 + a_{22}x_2
 \end{aligned}$$

бир тектүү системасынын түрүн алат, мында

$$\begin{aligned}a_{11} &= 0, \\a_{12} &= k(a+c), \\a_{21} &= -m, \\a_{22} &= 0.\end{aligned}$$

Дифференциалдык тенденциалердин ақыркы системасына дифференциалдык тенденциалер теориясынын, ошондой эле, та-былган стационардык чыгарылыштардын туруктуулук теориясынын бүт кубаттуу аппараты оңой эле колдонулушу мүмкүн, анткени туруктуу стационардык чыгарылыштар же режимдер гана сакталат.

Мисал 8.1.3. Монополисттин динамикалык оптимизациясы.

Жоготууларынын $C = dQ^2 + \beta Q + \gamma$, ($\alpha, \beta, \gamma > 0$) квадратикалык функциясына ээ бир тектүү продукцияны чыгаруучу фирмамонополист карапат.

Продукциянын запастары карапбагандыктан Q чыгаруу ардайым суроого барабар деп белгиленет. Демек, биз $Q(t)$ символду эки чондукту төң белгилөө үчүн пайдаланабыз. Суроо $P(t)$ баадан гана эмес, баанын $P'(t)$ өзгөрүү ылдамдыгы: $Q = a - bP(t) + hP'(t)$, ($a, b > 0; h \neq 0$) дөн да көз каранды деп болжолдоноат.

Ошентип, фирманин пайдасы P жана P' эки өзгөрүлмөсүнөн көз каранды, б.а.

$$\begin{aligned}\pi(P, P') &= PQ - C = P(a - bP + hP') - \\&- \alpha(a - bP + hP')^2 - \beta(a - bP + hP') - \gamma\end{aligned}$$

Фирманын максаты болуп, $P(t)$ баанын жалпы пайданы убакыттын $[0, T]$ чектүү аралыгында максималдаштыруучу оптималдык траекториясын табуу саналат. Бул аралык суроо жана жоготуулардын фиксацияланган функциялары жөнүндө болжолдоону жана, ошондой эле дисконттоо көбөйтүүчүсүнүн жоктуугун актай тургандай жетишерлик кыска болуусу болжолдоноат.

Фирма-монополисттин милдети, ошентип,

$\max \pi = \max \int_0^t \pi(P, P') dt$ ($P(0) = P_0, P(T) = P_T$) түрүндө жа-

зылуусу мүмкүн.

Чыгаруу. Максимумдун $\frac{d\pi}{dt} = 0$ зарыл шарты Эйлердин тенденеси деп аталган $\frac{\partial \pi}{\partial p} - \frac{d}{dt}(\frac{\partial \pi}{\partial P'}) = 0$ түрүндө жазылуусу мүмкүн, мында

$$\begin{aligned}\pi(P, P') - b(1+ab)P^2 + (a+2\alpha a + \beta b)P - \alpha h^2 P'^2 - \\ - h(2\alpha a + \beta)P' + h(1+2\alpha \beta)PP' - (\alpha a^2 + \beta a + \gamma).\end{aligned}$$

Айрым туундуларды табабыз:

$$\frac{\partial \pi}{\partial P} = -2b(1+\alpha \beta)P + (a+2\alpha ab + \beta b) + h(1+2\alpha b)P',$$

$$\frac{\partial \pi}{\partial P'} = -2\alpha h^2 P' - h(2\alpha a + \beta) + h(1+2\alpha b)P',$$

$$\frac{d}{dt}(\frac{\partial \pi}{\partial P'}) = \pi_{P't} + \pi_{P'P}P'(t) + \pi_{P'P'}P''(t),$$

$$\text{мында } \pi_{P't} = 0,$$

$$\pi_{P'P} = h(1+2\alpha b),$$

$$\pi_{P'P'} = -2\alpha h^2.$$

Окшош мүчөлөрдү келтиргенден кийин Эйлердин тенденеси: $P'' - \frac{b(1+\alpha b)}{\alpha h^2} P = -\frac{a+2\alpha ab + \beta b}{2\alpha}$ түрүн алат, б.а.

оптимизация маселеси турактуу коэффициенттүү экинчи тартип-теги бир тектүү сзыяктуу дифференциалдык тенденени чыгарууга келтирилди. Бул тендененин жалпы чыгарылышы каалагандай турактуулардын вариациясы методу аркылуу табылуусу мүмкүн жана $P(t) = c_1 e^{rt} + c_2 e^{-rt} + \bar{P}$ түрүнө ээ болот, мында

$$\bar{P} = \frac{a+2\alpha ab + \beta b}{2b(1+\alpha b)}, r = \sqrt{\frac{b(1+2b)}{\alpha h^2}},$$

$$c_1 = \frac{P_0 - \bar{P} - (P_T - \bar{P})e^{rT}}{1 - e^{2rT}}, \quad c_2 = \frac{P_0 - \bar{P} - (P_T - \bar{P})e^{-rT}}{1 - e^{-2rT}}.$$

Ошентип, $P^*(t)$ баанын оптималдык траекториясы жетишерлик татаал түргө ээ жана кошумча изилдөөнү талап кылат.

§8.2. Экология.

Экологияда изилдөөлөрдүн негизги методу болуп популяциянын динамикасы же эволюциясы саналат. Бир нече типтүү мисалдарды карайбыз.

Мисал 8.2.1. Популяциянын эволюциясы.

Популяциянын эволюциясын төмөнкү болжолдоолордо баяндап жазуучу дифференциалдык тенденции түзгүлө: A – популяциядагы убакыттын бирдигинде төрөлүүчү индивиддердин саны, ал эми B – убакыттын бирдигинде каза болуучу индивиддердин саны. Чыгаргыла жана алынган чыгарылышты талдагыла.

Чыгаруу. $x(t)$ аркылуу популяциядагы убакыттын каалагандай t моментиндеги индивиддердин санын белгилейбиз. Популяциядагы индивиддердин өзгөрүүсүнүн ылдамдыгы

$$\frac{dx}{dt} = A - B \quad (8.2.1)$$

формула менен берилерин жетишерлик негиз менен ырастоо мүмкүн.

1-учур. Индивиддердин төрөлүү жана каза болуу ылдамдыктары үчүн сыйыктуу көз карандылык.

Эн жөнөкөй учур болуп $A = ax$, $B = bx$ болгон жагдай саналат. Бул учурда (8.2.1) тенденце өзгөрүлмөлөрү ажыралуучу $\frac{dx}{dt} = (a - b)x$ дифференциалдык тенденце түрүндө кайра жазылат.

Өзгөрүлмөлөрдү ажыратып, $\frac{dx}{x} = (a - b)dt$ ны табабыз жана интегралдан, төмөнкүнү алабыз:

$$\int \frac{dx}{x} = (a-b) \int dt \rightarrow \ln|x| = (a-b)t + \ln|c| \rightarrow \ln \left| \frac{x}{c} \right| = (a-b)t \rightarrow x = ce^{(a-b)t}.$$

Алынган түрлүмдөмдөнүүлүштөрдөн көбүнчөлүк талдоо, эгерде $a > b$ болсо, анда $t \rightarrow \infty$ болгондо, индивиддердин саны $x \rightarrow \infty$ болорун көрсөттөт. $a < b$ болсо, $t \rightarrow \infty$ болгондо, $x \rightarrow 0$ жана популяция жоголуучу болот.

2-учур. Индивиддердин санынын өзгөрүү ылдамдыктары үчүн сыйыктуу эмес көз карандылык.

Популяциялардын эволюциясын баяндап жазуу үчүн реалдуурак учурлар болуп, балким, индивиддердин санынын өзгөрүү ылдамдыгы сыйыктуу эмес функция болуп саналарын болжолдогон моделдер саналат. Мындай учурда популяциядагы индивиддердин санынын кошулуу ылдамдыгы төмөндөгү түрдөгү дифференциалдык тенденце менен берилет:

$$\frac{dx}{dt} = f(x), \quad (8.2.2)$$

мында $f(x)$ - кандайдыр бир сыйыктуу эмес функция.

Маселен, $f(x) = ax - bx^2$ болсун, мында $a > 0, b > 0$.

Бул учурда (8.2.2) ни Бернуллинин дифференциалдык тенденмеси деп аталган

$$\frac{dx}{dt} = ax - bx^2 \quad (8.2.3)$$

тенденеге өзгөртүп түзөбүз (мындай тенденменин жалпы түрүн §2.4 төн караңыз).

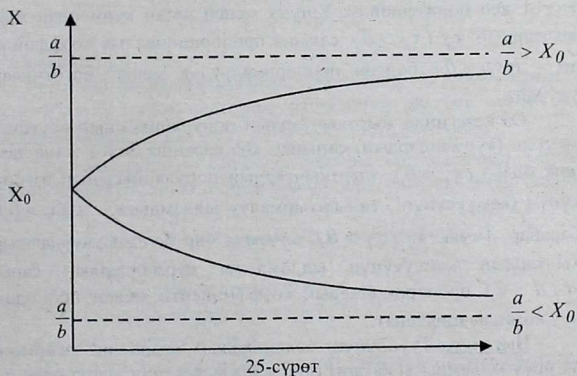
Биологияда бул тенденме Ферхюльст-Перлдин тенденмеси деп аталат. Тенденмеде популяциянын «өзүн өзү уулоо эффекти» деп аталган нерсе же башка сөз менен айтканда, түрдүн ички күрөшү эске алынат.

Популяциянын өсүшүн төмөндөтүүчү себептер болуп тамак үчүн, орун үчүн, инфекцияны таратуу, кысылгандык айынан ж.б. конкуренттик күрөш саналуусу мүмкүн. (8.2.3) тенденмени интегралдан, төмөнкүнү табабыз:

$$x(t) = \frac{\frac{a}{b} \cdot x_0}{x_0 + \left(\frac{a}{b} - x_0 \right) e^{-a(t-t_0)}}, \quad (8.2.4)$$

мында $x_0 = x(t_0)$.

(8.2.4) туяңтмадан $t \rightarrow \infty$ болгондо популяциядагы индивиддердин саны өзүнүн $\frac{a}{b}$ пределине, б.а. $x(t) \rightarrow \frac{a}{b}$ га ээ боло-ру көрүнүп турат. Ушуну менен биргэ $\frac{a}{b} > x_0$ жана $\frac{a}{b} < x_0$ эки учурду кароо керек болот. Алардын арасындагы айырма 25-сүрөттөн жакшы көрүнүп турат.



Караптган модель популяциянын динамикасын чектелген чөйрөдө сүрөттөйт. (7.2.3) тенденце социалдык экономикалык процесстерди моделдөөдө да, маселен, рекламаны жайылтууда пайдаланылат.

Мисал 8.2.2. Популяциялардын динамикасы. Вольтер-Лотктын «жырткыч-курмандық» модели.

Вольтер-Лотктун «жырткыч-курмандық» моделин баяндап жазуучу дифференциалдык тенденмелер системасын алуу.

Популяциялардын динамикасында көбүнчө жырткычтардын жана алардын табылгаларынын (курмандыктарынын) ар түрдүү, жетишерлик жалпы болжолдоолор учурундагы өз ара аракеттешүүлөрү изилденет.

Ошону менен катар, биз жырткычтардын жана алардын курмандыктарынын өз ара аракеттешүүлөрүнүн бир түрдөгү индивиддердин (жырткычтардын) арасында эргешүүлүк жок деп болжолдонгандогу моделин карайбыз. x_1, x_2 - тиешелүү түрдө курмандардын жана жырткычтардын саны болсун дейли.

Жырткычтар жок кезде ($x_2 = 0$) курмандардын салыштырмалуу өсүүсү турактуу ылдамдык, маселен, a ($a > 0$) менен жүрөт деп болжолдойлу. Ушуну менен катар курмандар жырткычтардын x_2 ($x_2 > 0$) санына пропорционалдык коэффициенти - b ($b > 0$) болгон пропорциялуулук менен жоготууларга учурайт.

Өз кезегинде жырткычтардын популяциясынын өсүүсү таңктын (курмандардын) санынан көз каранды болот жана тамак жок болсо ($x_1 = 0$), жырткычтардын популяциясынын өзгөрүүсүнүн (кемүүсүнүн!) салыштырмалуу ылдамдыгы - c ($c > 0$) га барабар. Тамак x_1 ($x_1 > 0$) өлчөмдө бар болгон учурда жырткычтардын кемүүсүнүн ылдамдыгы курмандардын санына d ($d > 0$) пропорционалдык коэффициенти менен пропорциялуу компенсацияланат.

Чыгаруу. Туундуунун механикалык маанисин өзгөрмөнүн өзгөрүү ылдамдыгы катары гана маселенин шарттарын пайдаланып, курмандардын (өсүүсүнүн) салыштырмалуу x_1 ылдамдыгы үчүн жырткычтар жок болгон учурда $\frac{x'_1}{x_1} = a - bx_2$ га жана алар

катышкан учурда $\frac{x'_1}{x_1} = a - bx_2$ ге ээ болобуз. Ушуга окшош элे

жырткычтар үчүн алардын өсүүсүнүн чынына келгенде кемүүсүнүн салыштырмалуу ылдамдыгы үчүн тамак жок болгондо $\frac{x'_2}{x_2} = -c$ га жана компенсация бар болгондо $\frac{x'_2}{x_2} = -c + dx_1$ ге ээ

боловбуз. Өзгөрмөгө коюолган штрих анын убакыт боюнча биринчи туундусун көрсөтөөрүн белгилей кетели. Эки барабардыкты бириктирип, эки белгисиздүү сыйыктуу эмес дифференциалдык тенденциялардин, б.а. Вольтерр-Лотк моделине туура келген экинчи тартиптеги

$$\begin{cases} x'_1 = (a - bx_2)x_1, \\ x'_2 = (-c + dx_1)x_2 \end{cases} \quad (8.2.5)$$

системасына ээ боловбуз.

Кошинин стандарттуу формасында жазып,

$$\begin{cases} \frac{dx_1}{dt} = ax_1 - bx_1x_2, \\ \frac{dx_2}{dt} = -cx_2 + dx_1x_2 \end{cases} \quad (8.2.6)$$

системасына ээ боловбуз.

Алынган дифференциалдык тенденциялар системасынын сыйыктуу бөлүгү мурда келтирип чыгарылган система менен дал келет, бирок эми $a_{11} = a$, $a_{12} = 0$, $a_{21} = 0$, $a_{22} = -c$.

Тенденциялардин алынган системасы көп сандаган башка колдонууларга ээ, анын ичинде төмөнкүлөр бар экендигин белгилей кетели:

- эргешүүчү фирмалардын өзүн алып жүрүүсү,
- калктын өсүүсү,
- согушуучу армиялардын саны,
- экологиялык абалдын өзгөрүүсү,
- илимдин өнүгүүсү ж.б.

Мисал 8.2.3. Вольтерра-Лотк моделинин сапаттык анализи.

Тенденциялардин алынган системасына кайрылалы.

Вольтерра-Лотктун тургuzган модели алынуучу чыгарылыштардын кызыктуу сапаттык анализин өткөрүүгө мүмкүндүк берет. Чындыгында, $x_1 = x$, $x_2 = y$ деп белгилесек, анда мурда алынган дифференциалдык тенденциялардин системасы

$$\begin{cases} \frac{dx}{dt} = ax - bxy, \\ \frac{dy}{dt} = cy - dxy \end{cases} \quad (8.2.7)$$

түрүн алат, мында $a, b, c, d > 0$. (8.2.7) системасынын чыгарылыштарын сапаттык изилдөөнү ынгайлаштыруу үчүн $u(\tau) = \frac{d}{c}x$,

$v(\tau) = \frac{b}{a}y$, $\tau = ct$, $\alpha = \frac{a}{c}$ өлчөмсүз өзгөрмөлөрүн кийиребиз, анда (8.2.7) системасы

$$\frac{du}{d\tau} = \alpha u(v - 1), \quad \frac{dv}{d\tau} = v(1 - u) \quad (8.2.8)$$

түрүн алат.

Биринчи тенденции экинчисине бөлөбүз:

$$\frac{du}{dv} = \frac{\alpha u(v - 1)}{v(1 - u)} \Rightarrow \frac{1 - u}{u} du = \alpha \frac{v - 1}{v} dv \Rightarrow \ln u - u = \alpha v - \alpha \ln v + c.$$

Убакыттын кандайдыр бир $\tau = \tau_0$ моментинде эки түрдүн төң индивиддеринин саны (баштапкы шарттары) белгилүү болсун деп болжолдойлуу, б.а.

$$u(\tau_0) = u_0, v(\tau_0) = v_0$$

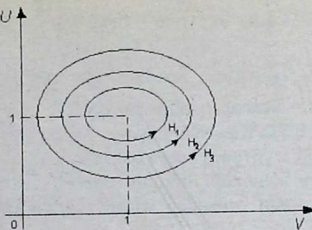
болсун дейли. Анда

$$c = \ln u_0 - u_0 - \alpha v_0 + \alpha \ln v_0 = \ln u_0 v_0^\alpha - u_0 - \alpha v_0. \text{ Натыйжада төмөнкүгө ээ болобуз:}$$

$$\alpha v + u - \ln u \cdot v^\alpha = H, \quad (8.2.9)$$

$$\text{мында } H = \alpha v_0 + u_0 - \ln u_0 \cdot v_0^\alpha = \text{const}.$$

(8.2.9) ийри сзыктарынын H тын ар түрдүү маанилерин-деги түрү 26-сүрөттө көрсөтүлгөн.



26-сүрөт.

Мында $u(\tau)$ өзгөрмөсү да, ошондой эле, $v(\tau)$ өзгөрмөсү да туюк траекторияны «басып өтөрү» көрүнүп турат. Бул болсо, чыгарылыштар убакыт боюнча мезгилдүү функциялар болушат дегенди билдирет.

§8.3. Демография

Мисал 8.3.1. Калктын санынын өзгөрүү закону.

Статистикалык маалыматтардан каралып жаткан региондор үчүн убакыттын бирдигиндеги жаңы төрөлгөндөрдүн саны менен каза болгондордун саны пропорционалдык коэффициенттери тиешелүү түрдө k_1, k_2 болгон калктын санына пропорциялаш.

Чыгаруу. $y(t)$ - убакыттын t моментиндеи региондордун тургундарынын саны болсун. Калктын Δt убакыт ичиндеги Δt есүшү төмөнкүгө барабар: $\Delta y = k_1 y \Delta t - k_2 y \Delta t \Rightarrow \frac{\Delta y}{\Delta t} = ky$, мында $k = k_1 - k_2$. $\Delta t \rightarrow 0$ болгондогу пределге өтүп, $\frac{dy}{dt} = ky$ ти ала-быз. Өзгөрмөлөрдү ажыратып эң жөнөкөй $\frac{dy}{y} = k dt$ дифференциалдык тенденциеге ээ болобуз. Интегралдан төмөнкүнү алабыз:

$$\int \frac{dy}{y} = k \int dt, \ln|y| = kt + \ln|c|, \ln\left|\frac{y}{c}\right| = kt, \left|\frac{y}{c}\right| = e^{kt},$$

$$|y| = |c|e^{kt}, y = \pm ce^{kt}, y = ce^{kt},$$

мында $c = \pm c$ - каалагандай туралтуу.

Мисал 8.3.2. Калктын өсүшү.

1-учур. Үзгүлтүксүз өсүү же кемүү.

Өсүүнүн жөнөкөй тибинин математикалык моделин тургутуу үчүн калктын санынын өзгөрүүсүнүн ылдамдыгы калктын санына пропорционалдуу: $\frac{dN}{dt} = kN$ деп кабыл алабыз, мында

$N = N(t)$ - t моментинде калктын саны, k - пропорционалдык коэффициенти.

Чыгаруу. Өзгөрмөлөрдү ажыратып, $\frac{dN}{N} = kdt$ ны алабыз.

Мындан $N(t) = ce^{kt} = N_0 e^{kt}$, мында $N_0 = N(0) = c$. Эгерде $k > 0$ болсо, анда алынган көз карандылык өсүү законун аныктайт. Эгерде $k < 0$ болсо, анда кемүү процесси орун алат.

2-учур. Үзгүлтүксүз өсүү.

Калктын саны N жасалма азаюучу ылдамдык менен өзгөрөт деп болжолдойлу. Калктын N өсүүсүнө тоскоолдук кылуучу жагдайлар анын $M (M < N)$ санын шарттайт деп эсептейбиз. Мындан сырткары, N санынын өсүүсүнүн ылдамдыгы N дин жана $M-N$ айрымасынын көбөйтүндүсүнө пропорционалдуу деп болжолдойбuz. Эгерде $M-N$ өсүү аз болсо, анда калктын өсүүсүнүн ылдамдыгы, албетте ақырындайт.

Чыгаруу. Болжолдоо боюнча $\frac{dN}{dt} = kN(M - N)$ орун алат.

Бул өзгөрмөлөрү ажыратылуучу дифференциалдык тенденмелер.

Өзгөрмөлөрдү ажыратып, $\frac{dN}{N(M - N)} = kdt$ тенденмени алабыз.

Өзгөрмөлөрдү ажыратуу аркылуу $\frac{dN}{N(M - N)} = kdt$ тенденмесин

алабыз. Түздөн-түз интегралдоо жакшы белгилүү

$$N(t) = \frac{MN_0}{N_0 + (M - N_0)e^{-Mt}}$$

функцияны берет, мында $N_0 = N(0)$. Ийри сзыктын өзгөрүү

мүнөзү 24-сүрөттө берилген. $\frac{b}{a}$ пределдик маанини M ге алмаш-

тыруу гана зарыл. Ошентип, калктын өсүүсүнүн жасалмалуу кемүүчү ылдамдыгы учурунда, б.а. калктын өсүүсүнө тоскоолдуң кылуучу жагдайлар бар болгон учурда (Кытайдагы төрөөнү чектөө), калктын саны кандайдыр бир фиксацияланган мааниге умтулат.

§ 8.4. Аскердик жана социалдык илимдер

Мисал 8.4.1. Аскердик илимдер. Курал – жарактарды көбөйтүү жөнүндө маселе.

Эки коншу өлкө, аныктык үчүн аларды X жана Y менен белгилейли, болуп калуучу кандайдыр бир конфликттик жагдайды карайлы $x = x(t)$ – X өлкөсүнүн t моменттеги куралданууга чыгымдары, ал эми $y = y(t)$ – Y өлкөсүнүн ошол эле t моменттеги чыгымдары болсун.

Төмөнкү эки болжолдоону эске алуу менен курал – жарактарды көбөйтүү моделин тургузалы:

1) X өлкөсү Y өлкөсү тарабынан согуштун потенциалдык коркунучунан чочулап куралданууда, ал болсо, өз кезегинде, X өлкөсүнүн куралданууга чыгымдарынын өсүүсү жөнүндө билип, куралданууга өз чыгымдарын көбөйтүүдө. Ушуну менен бирге, ар бир өлкө куралдануунун өсүү ылдамдыгын экинчи өлкөнүн чыгымдарынын дengээлине пропорциялаш $\alpha, \beta (\alpha > 0, \beta > 0)$ пропорционалдык коэффициенттери менен тиешелүү түрдө өзгөрттөт.

2) ар бир өлкөнүн коргонууга чыгымдарынын учурдагы дengээли канчалык көп болсо, анын өсүү ылдамдыгы (пропорционалдык коэффициенттери тиешелүү түрдө $\gamma, \delta (\gamma > 0, \delta > 0)$) ошончолук аз.

Чыгаруу. Туундуунун механикалык маанисин гана өзгөрүшүн ылдамдыгы же өзгөрмө чондуктун өсүүсү катары пайдала-

нып, ушул эле жерден, маселенин шарттарынан жана эки болжолдоодон пайдаланып, төмөнкүгө ээ болобуз:

$$\frac{dx}{dt} = \alpha x - \gamma x,$$

$$\frac{dy}{dt} = \beta x - \delta y.$$

Ошентип, кайрадан Кошинин стандарттык формасындагы ($n=2$) дифференциалдык тендерлеринин бир тектүү системаларын алдык.

Мисал 8.4.2. Реклама – «Сооданын кыймылдаткычы».

Кандайдыр бир фирма N потенциалдык сатып алуучулардан t моментте x гана сатып алуучу билген продукцияны сатсын дейли. Продукцияны сатууну ылдамдатуу үчүн радио жана телекөрсөтүү боюнча рекламалык кулактандыруулар берилсін деп болжолдойлу.

Продукция жөнүндө кийинки маалымат сатып алуучулар арасында алардын бири – бири менен мамилеси аркылуу тараалат деп эсептейбиз.

Убакыт товар жөнүндө $\frac{N}{g}$ ($g > 1$) б.а. $x(0) = \frac{N}{g}$ киши бил-

ген рекламалык кулактандыруулар чыккан моменттен баштап эсептелген шартта продукциянын сатылышы тууралуу билген сатып алуучулардын саны үчүн дифференциалдык тендерлерди түзгүлө.

Чыгаруу. Туундуунун механикалык маанисине ылайык, фирманнын продукциясы тууралуу билген сатып алуучулардын $x(t)$ санынын өзгөрүү ылдамдыгы $\frac{dx}{dt}$ га барабар. Маселенин шарт

ты боюнча $\frac{dx}{dt} = kx(N - x) \rightarrow \frac{ds}{x(N - x)} = kdt$ дифференциалдык

тендересин түзөбүз, мында k – пропорционалдык коэффициенти. Алынган тендер өзгөрмөлөрү ажыратылуучу дифференциалдык тендер болот. Анын сол жана он жактарын интегралдап,

түздөн-түз $\frac{1}{N} \ln \frac{x}{N - x} = kt + c$ ны табабыз, мында $x = \frac{N}{1 + \alpha e^{-Nkt}}$.

Алынган функция кайрадан эле $\alpha = \frac{1}{A}, A = e^{c_1}, c_1 = NC, C$

– каалагандай турактуу сан, болгон логистикалык ийри сызыктын тенденциясын берет. Эгерде убакытты санап бөлүү жөнүндөгү атап өтүлгөн (дифференциалдык тенденцелер теориясында баштапкы шарттар деп аталган) кошумча шартты пайдалансак, анда каалагандай C турактуу $C = \frac{1}{N} \ln \frac{g}{g-1}$ ге барабар экенин табууга болот.

Ошентип, товар жөнүндө билгендердин саны чексизге чейин өсө албайт, рекламанын санын канчалык көтөрбөгүнүн, бул сан кандаидыр бир каныккандык пределинен өйдө көтөрүле албайт.

Мисал 8.4.3. Маалымат теориясы. Гартмандын модели.

Бул моделге ылайык $I(t)$ маалыматтын өзгөрүү ылдамдыгын

өнүгүү процесинде $\frac{dI}{dt} = ALI$ тендендеси менен аныкталат, мында $A > 0$, ал эми L болсо, билимдин кандаидыр бир тармагында иштеген $L = L_0 e^{a_0 t}$, $a_0 > 0$ формуласы менен аныкталуучу окумуштуулардын саны.

Чыгаруу. Өзгөрмөлөрдү ажыратып,

$$\frac{dI}{I} = AL_0 e^{a_0 t} dt, \int \frac{dI}{I} = AL_0 \int e^{a_0 t} dt \text{ ны табабыз жана түздөн – түз}$$

$$\text{интегралдоо } \ln I = \frac{AL_0}{a_0} e^{a_0 t} + \ln C \Rightarrow I = C e^{\frac{AL_0}{a_0} e^{a_0 t}} \text{ ны берет.}$$

Ошентип, убакыттын етүүсү менен $I(t)$ функциясынын маалыматтын өзгөрүүсүн аныктоочу «эки эселенген» экспоненциалдык өсүүсү орун алат.

§ 8.5. Социалдык – экономикалык илимдер

Мисал 8.5.1. Рыноктук баанын динамикасы.

p баа менен канаттандырылбаган суроонун ортосундагы байланыш моделдештирилет: $d(p) - s(p)$, мында $d(p) = a - bp$, $s(p) = \alpha + \beta p$ тиешелүү түрдө $p(a, b, \alpha, \beta > 0)$ баа учурундагы суроо жана сунуш.

Самуэльсондун моделине ылайык баанын өзгөртүү ылдамдыгы пропорционалдык коэффициенти $k > 0$ болгон канааттандырылбаган суроого пропорциялаш, б.а.

$$\frac{dp}{dt} = k(d(p) - s(p)). \quad (8.5.1)$$

Берилген тенденце суроо жана сунуш функцияларынын ачык түрүн эске алуу менен

$$\frac{dp}{dt} + k(b + \beta)p = k(a - \alpha) \quad (8.5.2)$$

түрүн алат.

Чыгаруу. Алынган тенденце сзыяктуу дифференциалдык тенденце болуп саналат (\S 2.4 тү кара). Анын жалпы чыгарылышын $p(t) = p_0 + p_r$ суммасы түрүндө издейбиз, мында p_0 —

тишелүү бир тектүү $\frac{dp}{dt} + k(b + \beta)p = 0$ тенденесинин жалпы чыгарылышы. Акыркы тенденце үчүн өзгөрмөлөрдү ажыратып

$\frac{dp}{p} = -k(b + \beta)dt \Rightarrow p_0 = Ce^{-k(b+\beta)t}$ ны алабыз. (8.5.2) тенденесинин $p_r = \bar{p} = const$ тең салмактуулук чыгарылыштын пайдалануу мүмкүндүгүн оной эле «ойлоп табуу» мүмкүн, мында \bar{p} туралкуусу $d(p) = s(p)$ тенденесинин тамыры, б. а. $p = \bar{p}$ баанын (8.5.1) тенденесинин он жагын нөлгө айландыра турган мааниси. \bar{p} ны (8.5.2) тенденеге коюп, $\bar{p} = \frac{a - \alpha}{b + \beta}$ ны табабыз.

Ошентип, (8.5.2) тенденесинин жалпы чыгарылышы $p(t) = \frac{a - \alpha}{b + \beta} + Ce^{-k(b-\beta)t}$ түрүн алат. $b + \beta > 0$, $k > 0$ болгондо убакыттын өсүүсү менен (б. а. $t \rightarrow +\infty$ болгондо) $p(t)$ функциясы өзүнүн $p(t) = \bar{p} = \frac{a - \alpha}{b + \beta}$ стационардык маанисине умтулары көрүнүп турат.

Мисал 8.5.2. Фонддордун кыймылы.

K – фонддордун натуралдык же нарктык туюнтулушундагы чоңдугу, μ – фонддордун керектен чыгуусунун коэффициенти болсун дейли. Керектен чыгуу фонддордун жыл ичинде μK чоңдукка азаюсuna алып келет. Эгерде фонддордун керектен чыгуусу бир калыпта болот деп эсептесек, анда Δt убакыттын ичинде фонддор $\mu K \Delta t$ га азаят. Башка жагынан, инвестициялар фонддордун көбөйүүсүнө алып келет. i өлчөмдөгү инвестиациялар бир жыл ичинде фонддордун ρi чоңдукка көбөйүүсүн берет деп болжолдойлу, мында ρ, i – турактуулар. Анда Δt убакыттын ичинде инвестиациялар бир калыпта салынганда фонддордун $\rho I \Delta t$ чоңдукка көбөйүүсүн беришет.

Атап өтүлгөн болжолдоолорду эсепке алыш,

$$K(t + \Delta t) = K(t) - \mu K \Delta t + \rho I \Delta t \Rightarrow K(t + \Delta t) - K(t) + \mu K \Delta t = \rho I \Delta t$$

га ээ болобуз.

Сол жана он жактарын Δt га бөлүп,

$$\frac{\Delta K}{\Delta t} + \mu K = \rho I \quad (8.5.3)$$

ни алабыз.

$\Delta t \rightarrow 0$ болгондогу пределге өтүп, $\frac{\Delta K}{\Delta t} + \mu K = \rho I$ ни алабыз.

Чыгаруу. Алынган сзызыктуу тенденциин чыгарылышын $K(t) = K_0 + K_r$, түрүндө издейбиз, мында K_0 – бир тектүү $\frac{\Delta K}{\Delta t} + \mu K = 0$ тенденциин жалпы чыгарылышы, ал эми K_r – бир объектүү эмес тенденциин кандайдыр бир айрым чыгарылышы.

Өзгөрмөлөрдү ажыратып жана интегралдан,

$$\frac{\Delta K}{K} = -\mu dt \Rightarrow \ln K = \mu t + \ln C \text{ ны алабыз, мындан } K_0 = Ce^{-\mu t}.$$

Мурда келтирилген эскертуулөрдү эске алыш, айрым чыгарылышты $K_r = \bar{K} = const$ түрүндө тандап алабыз. (8.5.3)

тенденмесине койгондон кийин $\mu \bar{K} = \rho I \Rightarrow \bar{K} = \frac{\rho I}{\mu}$ ну алабыз.

Ошентип, фонддордун изделген чоңдугу
 $K(t) = \bar{K} + K_0 = \frac{\rho I}{\mu} + C e^{-\mu t}$ менен туонтулат.

Мисал 8.5.3. Баалары прогноздулуучу рыноктун модели.

Эгерде $d(t)$ суроонун жана $s(t)$ сунуштун прогнозу $dt = 3p'' - p' - 2p + 18$, $s(t) = 4p'' + p' + 3p + 3$ катнаштар менен сүрөттөлсө, анда товардын p баасынын динамикасын издегиле.

Чыгаруу. Рыноктун төң салмактуу абалы $d(p) = s(p)$ барабардык менен мүнөздөлөт. Эгерде бул барабарсыздыкты эсепке алсак, анда жөнөкөйлөштүр-гөндөн кийин $p'' + 2p' + 5p = 15$ ти алабыз. Экинчи тартиптеги турактуу коэффициентүү берилген дифференциалдык тенденциин жалпы чыгарылышы $p(t) = p_0 + p_r$ түзүлүшүнө ээ болот, мында p_0 – бир тектүү $p'' + 2p' + 5p = 0$ тенденциин жалпы чыгарылышы. $\lambda_{1,2} = -1 \pm 2i$ комплекстик тамырларга ээ болгон $\lambda^2 + 2\lambda + 5 = 0$ мүнөздөгүч тенденции түзөбүз. Демек, $p_0 = e^{-t}(c_1 \cos 2t + c_2 \sin 2t)$, мында c_1 жана c_2 – каалагандай турактуулар.

Он жагы $f(t) = 15$ болгондуктан, аны (8.5.3)түн атайдын он жагы менен салыштыруудан $\alpha = 0$, $\beta = 0$ келип чыгат, б. а. $\lambda = \alpha \pm \beta i = 0$ мүнөздөгүч тенденциин ($r=0$) тамыры болуп саналат. Ошондуктан p_r айрым чыгарылышты нөлүнчү даражалуу $p_r = \bar{p} = const$ көп мүчесү түрүндө издейбиз. \bar{p} ны алгачкы тенденмеге койгондон кийин $\bar{p} = 3$ тү алабыз.

Ошентип, баанын өзгөрүү мүнөзүн туонткан изделген чыгарылыш $p(t) = e^{-t}(c_1 \cos 2t + c_2 \sin 2t) + 3$ түрүнө ээ болот.

$t \rightarrow \infty$ болгондо $p(t) \rightarrow 3$ болгондуктан, алынган чығарылыш туруктуулукка ээ болорун белгилеп кетүү керек. Бул $p(t)$ баанын стационардык мааниге салыштырмалуу термелүүлөргө ээ болгон тен салмактуу мааницине умтулат дегенди билдирет. Анын үстүнө бул термелүүлөрдүн амплитудасы убакыттын өсүүсү менен азаят жана $t \rightarrow \infty$ болгондо нөлгө умтулат.

Мисал 8.5.4. Чалгынчы жөнүндө маселе.

Жашырындалган бир шаарчада туптуура 100 000 жумушчу жана кызматчы үч ири A , B жана C заводдо иштешкен (шаарда башка заводдор болгон эмес). Чалгынчыга кадрлардын алмашып турруусу тууралуу маалыматтарды алуу мүмкүн болгон. Бир жыл ичинде A заводунда иштеген ар бир миндик иштөөчүдөн 20 киши B заводуна жана 15 киши C заводуна өтө турган, ошол эле мезгилде B заводунан 7 киши A заводуна жана 10 киши C заводунан 10 киши B заводуна жана 8 киши A заводуна өтө турган болуп чыкты. Ошондой болсо да шаарча көп жылдан бери стабилдуу тынч турмушта жашап келген. Бул шарттарда чалгынчыга ар бир заводдо иштегендөрдин санын аныктоо мүмкүн болду. Анын пикирлерин жана эсептөөлөрүн дифференциалдык тенденцелердин теориясына таянып кайталоого аракет жасайбыз.

$x(t)$, $y(t)$, $z(t)$ – тиешелүү түрдө A , B жана C заводунда иштеп жаткандардын саны болсун дейли. Анда аталган заводдордогу кадрлардын санынын өзгөрүү ылдамдыгына туура келет жана, ошондуктан, $x(t)$, $y(t)$, $z(t)$ функцияларынын t боюнча бириңчи туундуларына барабар.

Кадрлардын алмашып турруусу жөнүндө жогоруда көлтийлген маалыматтарды пайдаланып, төмөндөгү дифференциалдык тенденцелердин системасын түзөбүз:

$$\left. \begin{array}{l} \frac{dx}{dt} = -0,035x + 0,007y + 0,008z, \\ \frac{dy}{dt} = 0,020x - 0,017y + 0,010z, \\ \frac{dz}{dt} = 0,015x + 0,010y - 0,018z, \\ x(0) + y(0) + z(0) = 100000. \end{array} \right\}$$

Кадрлардын алмашып турруусун сүрөттөгөн сыйыктуу үч дифференциалдык тенденциин системасына кошулган ақыркы барабардык нормаланган деп аталган тенденции көрсөтөт. Башка жагынан, бул катнаш көлтирилген системанын Коши маселесин чыгаруу үчүн баштапкы шарттарды аныктайт.

$$X^T = (x, y, z), \frac{dX^T}{dt} = \left(\frac{dx}{dt}, \frac{dy}{dt}, \frac{dz}{dt} \right)$$

белгилөөлөрдү кийирип (T – транспонировкалоо белгиси) жана системанын

$$A = \begin{pmatrix} -0,035 & 0,007 & 0,008 \\ 0,020 & -0,017 & 0,010 \\ 0,015 & 0,010 & -0,018 \end{pmatrix}$$

матриасын жазып, дифференциалдык тенденмелердин матрица түрүндөгү $\frac{dX}{dt} = AX$ системасына ээ болобуз. Дифференциалдык тенденмелер системасынын жалпы чыгарылышын алуу үчүн

$$(A - \lambda E) = \begin{pmatrix} -0,035 - \lambda & 0,007 & 0,008 \\ 0,020 & -0,017 - \lambda & 0,010 \\ 0,015 & 0,010 & -0,018 - \lambda \end{pmatrix}$$

мүнөздөгүч матрицасынын,

$$\det(A - \lambda E) = \begin{vmatrix} -0,035 - \lambda & 0,007 & 0,008 \\ 0,020 & -0,017 - \lambda & 0,010 \\ 0,015 & 0,010 & -0,018 - \lambda \end{vmatrix}$$

мүнөздөгүч аныктагычын жазабыз жана акыркыны нөлгө барабарлап, матрицанын $\lambda_1 = -0,0423$, $\lambda_2 = 0$, $\lambda_3 = -0,0276$ өздүк сандарын, ал эми андан кийин табылган λ_i , $i = 1, 2, 3$ өздүк сандарына туура келген B_i , $i = 1, 2, 3$ өздүк векторлорун табабыз:

$$B_1 = \begin{pmatrix} -0,8043 \\ 0,5240 \\ 0,2803 \end{pmatrix}, \quad B_2 = \begin{pmatrix} -0,2886 \\ -0,7145 \\ -0,6374 \end{pmatrix}, \quad B_3 = \begin{pmatrix} 0,0475 \\ -0,7296 \\ 0,6821 \end{pmatrix}$$

Натыйжада дифференциалдык тенденмелер системасынын жалпы чыгарылышы

$$X = \begin{pmatrix} x(t) \\ y(t) \\ z(t) \end{pmatrix} = C_1 B_1 e^{-0,0423t} + C_2 B_2 + C_3 B_3 e^{-0,0276t} =$$

$$+ C_1 \begin{pmatrix} -0,8043 \\ 0,5240 \\ 0,2803 \end{pmatrix} e^{-0,043t} + C_2 \begin{pmatrix} -0,2886 \\ -0,7145 \\ -0,6374 \end{pmatrix} + C_3 \begin{pmatrix} 0,0475 \\ -0,7296 \\ 0,6821 \end{pmatrix} e^{-0,0276t}$$

мында C_i – каалагандай турактуулар.

Дифференциалдык тенденмелер системасынын алынган жалпы чыгарылышынан дифференциалдык тенденмелердин келтирилген системасы $t \rightarrow \infty$ болгондо пределдик стационардык чыгарылыштарга ээ боловун көрүү кыйын эмес. Чындыганда, бул учурда келтирилген туонтмадагы биринчи жана экинчи кошулуучулар жок болуп кетет жана ортодогу турактуу кошулуучу гана калат.

Стационардык чыгарылыштардын өзүн дифференциалдык тенденмелер системасынын он жактарынын нөлгө барабар болуу шарттарынан, атап айтканда

$$\frac{dx}{dt} = -0,035x + 0,007y + 0,008z = 0,$$

$$\frac{dy}{dt} = 0,020x - 0,017y + 0,010z = 0,$$

$$\frac{dz}{dt} = 0,015x + 0,010y - 0,018z = 0,$$

$$x(0) + y(0) + z(0) = 100000,$$

б. а. кандайдыр бир сзыяктуу барабардык менен байланышкан үч белгисиздүү сзыяктуу үч алгебралык тенденменин системасын чыгаруу аркылуу табуу ынгайлдуу.

Натыйжада үч заводдо иштегендердин санынын белгиленген маанилерин көрсөткөн дифференциалдык тенденмелер системасынын стационардык чыгарылышын алабыз:
 $x = 17600, \quad y = 43600, \quad z = 38800.$

Корутундуу: математикалык анализди жана дифференциалдык тенденмелер теориясын билүү экономиктер үчүн гана эмес, чалгынчылар үчүн да пайдалуу.

Өз алдынча иштөө үчүн маселелер

№239. Кандайдыр товарга суроо жана сунуштун функциялары $d(p) = 70 + 2p - 5 \frac{dp}{dt}$ түрүнө ээ. Эгерде $p(0)=10$ болсо, тен салмактуу баанын убакыттан көз карандылыгын тапкыла.

№240. $y(t)$ – кандайдыр ишкананын продукция чыгаруу интенсивдүүлүгү болсун дейли. Чыгаруунун өсүүсү менен рыйноктун толуусу ишке ашат жана товардан $p(y)$ баасы төмөндөйт деп болжолдонот. Маселен, $p(y) = b - ay$ ($a, b > 0$) болсун дейли. Продукция чыгаруу интенсивдүүлүгүнүн өсүү ылдамдыгы кирешенин өсүүчү функциясы болуп саналат. $y(t)$ функциясы үчүн дифференциалдык тенденции түзгүлө жана аны чыгаргыла.

№241. Караптакан регион үчүн убакыттын бирдигинде төрөлгөндөрдүн саны жана каза болгондордун саны калктын санына пропорциялаш экендиги статистикалык маалыматтардан белгилүү, булардын пропорционалдык коэффициенттери тиешелүү түрдө k_1 жана k_2 ге барабар. Калктын санынын убакыттын өтүүсү менен өзгөрүү законун тапкыла.

№242. Суроо жана сунуш $d(p) = \alpha - \beta p - \eta \frac{dp}{dt}$, $s(p) = \delta p$

функциялары менен берилсин, мында $\alpha, \beta, \eta, \delta > 0$. Бардык t лар үчүн $d(t) = s(t)$ деп болжолдоп, $p(t)$ функциясын тапкыла.

№243. Суроо жана сунуш

$d(p) = \alpha - \beta p + \sigma \frac{dp}{dt}$, $s(p) = -\gamma + \delta p$ ($\alpha, \beta, \sigma, \gamma, \delta > 0$) функциялары аркылуу берилсин. Баанын өзгөрүү ылдамдыгын канааттанбаган $d(p) - s(p)$ суроого түз пропорциялаш деп болжолдоп, $p(t)$ функциясын тапкыла.

№244. Эгерде суроонун жана сунуштун прогнозу $d(p) = p'' - 2p' - 2p + 10$, $s(p) = 2p'' + 2p' + 4p + 4$ катнаштары менен сүрөттөлсө, анда товарга p баанын динамикасын тапкыла.

№245. Эгерде суроонун баага салыштырмалуу серпилмелүүлүгү $E_p(t) = -1$ болсо жана баанын $d = 2$ болгондогу

$p = 10$ мааниси берилсе, анда суроонун $d = d(p)$ функциясын тапкыла.

№246. Эгерде суроонун серпилмелүүлүгү $E_p(d) = \frac{d - 100}{d}$

түрүнө ээ болсо жана $d = 90$ ($0 < d < 100$) болгондо $p = 10$ болсо, анда суроонун $d = d(p)$ функциясын тапкыла.

№247. Кандайдыр бир тармактагы адистердин саны $y(t)$ болсун. Адистердин санынын өсүү ылдамдыгы төмөнкү факторлор менен аныкталат: бириңчиден, бул адистердин санынын өзү менен, экинчиден, адистер канчалык көп болсо, аларга жакшы жумушту табуу ошончолук кыйын болот жана, үчүнчүдөн, адистердин бөлүгү бул тармактан кетип калуусу мүмкүн. Бул факторлорду эсепке алып, $\frac{dy}{dt} = ay(1 - y) - Q$ тенденесин алуу мүмкүн, мында Q чондугу «мээлердин азаю» масштабын мүнөздөйт. Карапган тармактагы адистердин санынын динамикасын тапкыла.

№248. Экономиканын чыгаша жана киреше бөлүктөрүнүн динамикасынын негизги компоненттерин өз ичине алган эң жөнөкөй баланстык модель карапат. $Y(t), E(t), S(t), J(t)$ тиешелүү түрдө улуттук киреше, мамлекеттик чыгашалар, керектөө жана инвестициялар болушсун. Кейнстин динамикалык модели үчүн төмөнкү катнаштар туура болсун:

$$Y(t) = S(t) + J(t) + E(t),$$

$$S(t) = aY(t) + b, \quad 0 < a < 1,$$

$$J(t) = kY'(t),$$

мында a, b, k, E – берилген.

$Y(t)$ улуттук киреше үчүн дифференциалдык тенденемени түзгүлө.

№249. Харрод – Домардын модели $c(t)$ керектөө менен $J(t)$ инвестициялардын суммасы катары карапган $y(t)$ кирешенин динамикасын сүрөттөйт. Экономика жабык деп эсептөлөт, ошондуктан таза экспорт нөлгө барабар, ал эми мамлекеттик чыгашалар модёлде ажыратылбайт. Кирешенин өсүү ылдамдыгы инвестицияларга пропорциялаш деп болжолдонот.

Моделдин $c(t)=0$ учур үчүн дифференциалдык тенденцияның түзгүлө жана чыгаргыла.

№250. X жана Y өлкөлөрү деп аталган эки кошунан өлкөнүн конфликттик жағдайы каралат. $t \geq 0$ убакыт учурундагы X өлкөсүнүн куралданууга чыгаралары $x = x(t)$, ал эми Y өлкөсүнүн $y = y(t)$ болсун дейли.

X өлкөсү Y өлкөсү тарабынан согуштун потенциалдык коркунучунан чоочуп куралданат, ал эми Y өз учурунда X өлкөсү куралданууга чыгымдарды өстүрүп жатканын билип, куралданууга өз чыгараларын көбөйтөт деп болжолдоп, курал – жарактарды көбөйтүү моделин түзгүлө.

№251. «Инфляция – жумушсуздук» модели төмөнкү үч тенденциин системасы түрүндө көрсөтүлүшү мүмкүн:

$$\begin{cases} p = \alpha - T - \beta U + h\pi, (\alpha, \beta > 0, 0 < h \leq 1), \\ \frac{d\pi}{dt} = j(p - \pi), (0 < j \leq 1), \\ \frac{dU}{dt} = -k(m - p), (k > 0), \end{cases} \quad (8.5.4)$$

мында U – өсүү темпи, $p = \frac{\dot{P}}{P}$ – баалардын денгээлинин өсүү темпи (инфляциянын темпи), T – эмгек өндүрүмдүүлүгү, π – инфляциянын күтүлгөн темпи, $m = \frac{\dot{M}}{M}$ – номиналдык M акча балансынын өсүү темпи, $m - p = \frac{\dot{M}}{M} - \frac{\dot{P}}{P}$ – реалдык акчалардын өсүү темпи.

(8.5.4) системасын $\pi(t)$ жана $U(t)$ ларга салыштырмалуу эки дифференциалдык тенденциин системасына келтириүү жана алынган системаны параметрлердин

$\alpha - T = \frac{1}{6}; \beta = 3; h = 1; j = \frac{3}{4}; k = \frac{1}{2}$ маанилери үчүн чыгаруу талап кылышат.

№252. Акчалар рыногундагы тен салмактуулуктун төмөнкү спецификациясын карайбыз:

$$m(t) - p(t) = -\lambda \pi(t), \lambda > 0, \quad (8.5.5)$$

мында m – номиналдык акча камсыздоо логарифми, p – баалар денгээлинин логарифми, $\pi = p$ – инфляциянын темпи (чыныгы дагы, күтүлгөн дагы, б.а. инфляциянын алдын ала ачыктыгы болжолдонот).

(8.5.5)ти убакыт боюнча дифференциалдан, инфляциянын темпине салыштырмалуу дифференциалдык тенденемени алуу мүмкүн. Номиналдык акча камсыздоо турактуу $\dot{m} = \mu$ темп менен ёсөт деп болжолдоп, алынган тендененин жалпы чыгарылышын тапкыла.

Т и р к е м е

Эйлер, Эйлер-Коши жана Рунге-Кутта методдору аркылуу
I тартиптеги дифференциалдык тенденме үчүн
Коши маселесинин сандык
чыгарылышынын pascal тилиндеги программы

program DifEquationsofFirstOrder;

{*****}

Биринчи тартиптеги дифференциалдык тенденме үчүн
Коши маселесин Эйлер, Эйлер-Коши, Рунге-Кутта
методдору менен чыгаруу.

{*****}

uses Crt;

const c:array [1..4] of real=(0,0.5,0.5,1);

type

coef:=array [0..4] of real;

Var

i,j,m:integer;

a,b,h,x,y,y1,y2,y3, eps: real;

k0,k:coef;

ch:char;

Программалар

{ f(x,y) функциясы – дифференциалдык тенденменин оң жагы }.

function f(x,y:real):real;

BEGIN

f:=x+y;

END;

Негизги программа

BEGIN

ClrScr;

WRITELN (' [a,b] кесиндинин ақыркы маанилерин
киргизгиле');

READ (a,b);

WRITELN ('x=x0 болгондо y0 функциясынын баштапкы маанисин киргизгиле');
READ (y);

WRITELN ('(a,b] аралығында функциялардын маанилеринин санын киргизгиле');
READ (m);

WRITELN ('эпсилонду киргизгиле');
READLN (eps);
x:=a; h:=(b-a)/m; y1:=y; y2:=y; y3:=y;

WRITELN (' Эйлер методу, Эйлер-Коши методу, Рунге-Кутта методу');
WRITELN ('x=,'x:5:2,'y1=,'y1:9:6,'y2=,'y2:9:6,'y3=,'y3:9:6');

FOR i:=1 TO m DO

BEGIN

y1:=y1+h*f(x,y1); { <-----: Эйлер методу }

FOR j:=1 TO 2 DO

k0[j]:=h*f(x+2*c[j]*h, y2+2*c[j]*k0[j-1]);

y2:=y2+(k0[1]+k0[2])/2; { <----- : Эйлера-Коши методу }

FOR j:=1 TO 4 DO { <-----: Рунге-Кутта методу }

k[j]:=h*f(x+c[j]*h, y3+c[j]*k[j-1]) / eps;

y3:=y3+(k[1]+2*k[2]+2*k[3]+k[4])/6;

x:=x+h;

WRITELN ('x=,'x:5:2,'y1=,'y1:9:6,'y3=,'y3:9:6);

END;

READLN

END.

ЖООПТОР

№3. $y = ce^{kx}$. **№4.** $\frac{dT}{dt} = k(T - 20)$, $T = 20 + 80 \cdot 2^{-\frac{t}{20}}$, 1 саам.

№5. $\frac{dp}{dh} = -kp$, $p = 0,92^{\frac{h}{500}}$. **№6.** 1575 жылда.

№7. $y(x) = 2e^x - x - 1$. **№10.** $y^2 - x^2 = c$.

№11. $y^3 + x^3 - 3x = c$. **№12.** $y^2 + x^2 = c$. **№13.** $y = cx^2$.

№14. $y = c(x+1)e^{-x}$. **№15.** $e^x + e^{-y} = c$.

№16. $\arctgy + \frac{1}{2} \ln(1+x^2) = c$. **№17.** $y = ce^{\sqrt{1-x^2}}$, $x = \pm 1$.

№18. $y = \pm x \sqrt{2 \ln|x| + c}$. **№19.** $y = x \left(2 \operatorname{arctg} Cx + \frac{\pi}{2} + \pi(2n-1) \right)$,

$y = x \left(\frac{\pi}{2} + \pi k \right)$, $n, k \in Z$. **№20.** $x^2 - 2xy - y^2 = c$.

№21. $\arcsin \frac{y}{x} - \frac{1}{x} \sqrt{x^2 - y^2} - \ln|x| = c$, $y = \pm x$. **№22.** $xe^{\frac{y}{x}} = c$, $x = 0$.

№23. $e^{\frac{y}{x}} = cy$, $y = 0$. **№24.** $e^{-e^{-\frac{y}{x}}} = cx$. **№25.** $y = x \operatorname{arcsin} Cx$,
 $y = K\pi x$, $K \in Z - \{0\}$. **№26.** $y = x \sin(\ln|x| + c)$, $y = \pm x$.

№27. $y = c(y^2 - x^2)$, $y = \pm x$. **№28.** $y = \frac{a}{\lambda} + ce^{-\lambda x}$.

№29. $y = c(1+x^2)$. **№30.** $y = \frac{c}{x} + x^2$. **№31.** $y = x(c-x)$, $x = 0$

($y \neq 0$). **№32.** $y = \frac{1}{x} \ln \frac{1}{|x|} + \frac{c}{x}$. **№33.** $y = e^{x^2} \left(\int e^{-x^2} dx + c \right)$.

№34. $y = ce^{-2x} + \frac{1}{5} e^{3x}$. **№35.** $y = x \ln x + \frac{c}{x}$.

№36. $y = \frac{1}{ce^{2x} - e^x}$. **№37.** $\sqrt{y} = c \sqrt[4]{1-x^2} - \frac{1}{3}(1-x^2)$.

$$\text{№38. } x = \frac{1}{ce^{\frac{-y^2}{2}} - y^2 + 2} . \quad \text{№39. } x^2 + xy + y^2 = c .$$

$$\text{№40. } 5x^2y - 8xy + x + 3y = c . \quad \text{№41. } xy - \frac{2}{x} + \frac{3}{y} = c .$$

$$\text{№42. } x^2 + ye^{-x} = c . \quad \text{№43. } x^2 - y^2 + 2xy = c . \quad \text{№44. } x - \frac{y}{x} = c .$$

$$\text{№45. } \frac{x^2}{2} + \frac{x}{y} = c . \quad \text{№46. } x^2 y^2 + 2 \ln \frac{x}{y} = c . \quad \text{№47. } x^2 - y^2 - 1 = cx .$$

$$\text{№48. } x^2 + y^2 = c(y - 1)^2 . \quad \text{№49. } y^2 + x^2 y + 2xy^2 + \ln(x + y) = c .$$

$$\text{№50. } x = 2p + 6p^2 + c , \quad y = p^2 + 4p^3 ; \quad y = 0 .$$

$$\text{№51. } x = 2\sqrt{p^2 + 1} - \ln\left(1 + \sqrt{p^2 + 1}\right) + \ln p + c , \quad y = p\sqrt{1 + p^2} ;$$

$$y = 0 \quad (\text{өзгөчө чыгарылыш}). \quad \text{№52. } x = p^3 - p + 2 ,$$

$$y = \frac{3}{4}p^4 - \frac{p^2}{2} + c . \quad \text{№53. } x = p + \sin p , \quad y = \frac{1}{2}p^2 + p \sin p + \cos p + c .$$

$$\text{№54. } x = 2t + t^2 , \quad y = t^2 + \frac{2}{3}t^3 + c . \quad \text{№55. } x = p \cos p ,$$

$$y = p^2 \cos p - p \sin p - \cos p + c . \quad \text{№56. } x = \frac{c + \ln|p| - p}{(1-p)^2} ;$$

$$y = \frac{(c + \ln|p| - p)p^2}{(1-p)^2} + p \quad \text{жана} \quad y = 0 , \quad y = x + 1 \quad \text{өзгөчө чыгарылыштары.}$$

$$\text{№57. } y = cx^2 + \frac{1}{c} , \quad y = \pm 2x . \quad \text{№58. } y = cx - c^2 ,$$

$$y = \frac{x^2}{4} . \quad \text{№59. } x = \frac{c}{p} - p , \quad y = -xp + p^2 . \quad \text{№60. } y = cx + c + e^c ;$$

$$y = (x + 1)\ln(-x - 1) - x - 1 . \quad \text{№61. } y = -\frac{x^2}{4} . \quad \text{№62. } y = \pm 2x .$$

$$\text{№63. } y = 0 . \quad \text{№64. } y = cx \quad (x \neq 0) , \quad x = 0 \quad (y \neq 0) .$$

$$\text{№65. } \frac{x^2}{2} + y^2 = c. \quad \text{№66. } r = ce^\theta. \quad \text{№67. } r = c. \quad \text{№68. }$$

$$y^2 - x^2 = c. \quad \text{№70. } y = cx \quad (x \neq 0). \quad \text{№71. } y = cx^2. \quad \text{№72. } y' < x^2.$$

$$\text{№73. } y' > 0. \quad \text{№78. } y = \frac{x^3}{6} - \sin x + c_1 x + c_2.$$

$$\text{№79. } c_1^2 y = c_1 x - \ln|c_1 x + l| + c_2, \quad y = \frac{x^2}{2} + c, \quad y = c.$$

$$\text{№80. } \begin{cases} x = e^t - t^2, \\ y = \left(\frac{t}{2} - \frac{3}{4} \right) e^{2t} - \left(\frac{2}{3} t^3 - 2t + 2 - c_1 \right)^{e^t + \frac{4}{15} t^5 - c_1 t^2 + c_2} \end{cases}$$

$$\text{№81. } y = \pm \frac{4}{3} (x + c_1)^{\frac{3}{2}} + c_2 x + c_1. \quad \text{№82. } \int \frac{dy}{\sqrt{2 \int f(y) dy + c_1}} = \pm x + c_2.$$

$$\text{№83. } y = c_2 e^{\frac{c_1 x^2}{2}}. \quad \text{№84. } y'' - y' - 6y = 0, \quad y = c_1 e^{3x} + c_2 e^{-2x}.$$

$$\text{№85. } y'' - 2y' + y = 0, \quad y = (c_1 + c_2 x) e^x. \quad \text{№86. } y'' - 6y' + 13y = 0, \\ y = (c_1 \cos 2x + c_2 \sin 2x) e^{3x}. \quad \text{№87. } y = c_1 e^{2x} + c_2 e^{4x}.$$

$$\text{№88. } y = c_1 e^{2x} + c_2 e^{-x}. \quad \text{№89. } y = e^{\frac{x}{2}} \left(c_1 \cos \frac{\sqrt{3}}{2} x + c_2 \sin \frac{\sqrt{3}}{2} x \right).$$

$$\text{№90. } y = e^{-x} (c_1 \cos x + c_2 \sin x). \quad \text{№91. } y = c_1 \cos 2x + c_2 \sin 2x.$$

$$\text{№92. } y = e^{3x} (c_1 + c_2 x). \quad \text{№93. } y = c_1 e^{2x} + c_2 e^{-\frac{4x}{3}}.$$

$$\text{№94. } y = e^x \left(c_1 \cos \frac{x}{2} + c_2 \sin \frac{x}{2} \right). \quad \text{№95. } y = e^x. \quad \text{№96. } y = (7 - 3x) e^{x-2}.$$

$$\text{№97. } y = -x^2 + x - 3 + c_1 e^x + c_2 e^{-x}. \quad \text{№98. } y = \frac{1}{2} + c_1 e^{2x} + c_2 e^{3x}.$$

$$\text{№99. } y = 3x + c_1 + c_2 e^{-x}. \quad \text{№100. } y = -\sin x + 2 \cos x + c_1 e^x + c_2 e^{-x}.$$

$$\text{№101. } y = -\frac{1}{4} x \cos 2x + c_1 \cos 2x + c_2 \sin 2x.$$

$$\text{№102. } y = \frac{1}{2}x \sin x - \frac{1}{3} \cos 2x + c_1 \cos x + c_2 \sin x .$$

$$\text{№103. } y = e^x(x \cos x + \sin x) + c_1 e^{2x} + c_2 e^{-2x}. \quad \text{№104. } k \neq 0 \\ \text{болжандо } \tilde{y} = Ax + B; \quad k = 0 \text{ болжандо } \tilde{y} = x(Ax + B). \quad \text{№105. } \\ k \neq -a^2 \text{ болжандо } \tilde{y} = Ae^{ax}; \quad k = -a^2 \text{ болжандо } \tilde{y} = Axe^{ax}.$$

$$\text{№106. } \omega \neq k \text{ болжандо } \tilde{y} = A \cos \omega x + B \sin \omega x; \quad \omega = k \\ \text{болжандо } \tilde{y} = x(A \cos \omega x + B \sin \omega x). \quad \text{№107. } \tilde{y} = Axe^{-x} + x(Bx + c).$$

$$\text{№108. } \tilde{y} = e^x [(A_1 x + A_2) \cos x + (B_1 x + B_2) \sin x].$$

$$\text{№109. } \tilde{y} = x(Ax^2 + Bx + C). \quad \text{№110. } y = e^{2x-1} - 2e^x + e - 1.$$

$$\text{№111. } 2 \cos x - 5 \sin x + 2e^x.$$

$$\text{№112. } y = e^x ((2x - \pi - 1) \sin x - \pi \cos x).$$

$$\text{№113. } y = c_1 \cos x + c_2 \sin x - \sin x \cdot \cos x + \cos x \ln \operatorname{tg} \left| \frac{\pi}{4} - \frac{x}{2} \right|.$$

$$\text{№114. } y = c_1 \cos 2x + c_2 \sin 2x + \frac{1}{4} \cos 2x \ln |\cos 2x| + \frac{x}{2} \sin 2x.$$

$$\text{№115. } y = \frac{1}{2} e^x \int_{x_0}^x \frac{e^{-x}}{x} dx - \frac{1}{2} e^{-x} \int_{x_0}^x \frac{e^x}{x} dx + c_1 e^x + c_2 e^{-x}.$$

$$\text{№116. } y = \frac{1}{x} + e^x (c_1 + c_2 x). \quad \text{№117. } y = \frac{e^x}{x} + c_1 + c_2 e^x.$$

№118. а) ооба; б) ооба; в) ооба; г) жок; д) ооба. **№119.** а) I;

$$б) -\frac{2}{x}, \quad x \neq 0; \quad в) 0; \quad г) e^{-2x}. \quad \text{№120. } (x-1)y'' - xy' + y = 0. \quad \text{№121.}$$

$$y'' - y = 0. \quad \text{№122. } y''' = 0. \quad \text{№123. } xy''' - y'' + xy' - y = 0. \quad \text{№124.}$$

$a_0(x) = W(x), \quad a_1(x) = -W'(x), \quad a_2(x) = W(y'_1, y'_2),$ мында $W(x) \equiv W(y_1, y_2)$ - Вронский аныктагычы. **№125.** $\omega \neq 1.$

$$\text{№126. } k \neq \sqrt{2}. \quad \text{№127. } y = c_1 x^2 + c_2 x^{-\frac{1}{2}}. \quad \text{№128.}$$

$$y = c_1 e^{-x} + (c_2 + c_3 x) \cos x + (c_4 + c_5 x) \sin x. \quad \text{№129.}$$

$$y = c + c_1 e^{2x} + c_3 e^{3x}. \quad \text{№130. } y = c_1 e^{2x} + c_2 \cos 2x + c_3 \sin 2x.$$

№131. $y = c_1 e^{-x} + c_2 + c_3 e^x$. **№132.** а) $q \neq 0$ болгондо $y_1 = A$,

б) $q=0$ болгондо $y_1 = Ax$. б) $y_1 = (Ax^2 + Bx + C) \cos x + (Dx^2 + Ex + F) \sin x$.

в) $y_1 = e^x (A \cos x + B \sin x) + x (C x^2 + D x + F)$. **№133.** $y = c_1 x + c_2 x^3$.

№134. $c_1 \sqrt{x} + c_2 \frac{1}{\sqrt{x}}$. **№135.** $y = c_1 \cos(2 \ln x) + c_2 \sin(2 \ln x)$.

№136. $y = \sqrt{x} \left[c_1 \cos \left(\frac{\sqrt{3}}{2} \ln x \right) + c_2 \sin \left(\frac{\sqrt{3}}{2} \ln x \right) \right]$. **№137.**

$y = x \ln^3 x + x(c_1 + c_2 \ln x)$.

№138. $y = x \ln x + x(c_1 \cos \ln x + c_2 \sin \ln x)$. **№139.**

$y(x) = \frac{e^x + e^{-x}}{2 \operatorname{ch} l}$. **№140.** $y = \alpha \sin x$.

№141. $y = -e^x \sin x$. **№142.** $\lambda = n$. $y = \cos nx$, $n = 1, 2, \dots$

№143. $y = 0$.

№144. 1) $\lambda - \omega^2 < 0$, $y \equiv 0$; 2) $\lambda^2 - \omega^2 = 0$, $y \equiv c = \text{const}$; 3)

$\lambda - \omega^2 > 0$, $y = c_1 \cos 2n\pi x + c_2 \sin 2n\pi x$.

№145.

$\lambda = \lambda_k = -\left(\frac{l}{2} + k\right)^2 \frac{\pi^2}{l^2}$, $k = 0, 1, 2, \dots$ $y_k(x) = \cos\left(\frac{l}{2} + k\right) \frac{\pi x}{l}$,

$k = 0, 1, 2, \dots$ **№146.** $G(x, s) = \begin{cases} -\frac{l}{2} e^{x-s}, & -\infty \leq x \leq s \\ -\frac{l}{2} e^{s-x}, & s \leq x < +\infty. \end{cases}$

№147. $G(x, s) = \begin{cases} -x(1-s), & 0 \leq x \leq s \\ -(1-x)s, & s \leq x \leq 1. \end{cases}$

№148. $y_1 = 1 + \frac{x^3}{2 \cdot 3} + \frac{x^6}{2 \cdot 3 \cdot 5 \cdot 6} + \dots + \frac{x^{3r}}{2 \cdot 3 \cdot 5 \cdot 6 \cdots (r-1)3r} + \dots$,

$y_2 = x + \frac{x^4}{3 \cdot 4} + \frac{x^7}{3 \cdot 4 \cdot 6 \cdot 7} + \dots + \frac{x^{r+1}}{3 \cdot 4 \cdot 6 \cdot 7 \cdots 3r(3r+1)} + \dots$, $y = c_1 y_1 + c_2 y_2$.

$$\text{№149. } y_1 = 1 - \frac{x^4}{3 \cdot 4} + \frac{x^6}{3 \cdot 4 \cdot 7 \cdot 8} - \frac{x^{12}}{3 \cdot 4 \cdot 7 \cdot 8 \cdot 11 \cdot 12} + \dots, y = c_1 y_1 + c_2 y_2.$$

$$y_2 = x - \frac{x^5}{4 \cdot 5} + \frac{x^9}{4 \cdot 5 \cdot 8 \cdot 9} - \frac{x^{13}}{4 \cdot 5 \cdot 8 \cdot 9 \cdot 12 \cdot 13} + \dots, \text{№150.}$$

$$y_1 = 1 + \frac{x^2}{2!} + \frac{3x^4}{4!} + \dots, y_2 = x + \frac{12}{5!} x^5 + \dots, y = c_1 y_1 + c_2 y_2.$$

$$\text{№151. } y = c_1 J_{\frac{1}{2}}(x) + c_2 J_{-\frac{1}{2}}(x).$$

$$\text{№152. } y = c_1 J_{\frac{1}{3}}(2x) + c_2 J_{-\frac{1}{3}}(2x), \text{№153. } t = kx,$$

$$t^2 y'' + ty' + (t^2 - n^2)y = 0.$$

№154. $y'' + py' + qy = 0$, мында y - жиптин вертикалдан болгон жантаюу бурчу.

Көрсөтмө. M материалдык чекити радиусу l болгон айланы боюнча кыймылдайт. Ошондуктан, M чекитинин убакыттын t моментиндеи айланада болгон абалы, жиптин вертикалдан болгон $y = y(t)$ жантаюу бурчу менен бир маанилүү түрдө мүнөздөлөт, p коэффициенти чойрөнүн каршылыгын сүрөттөйт.

$$\text{№155. } x = c_1 \sin\left(\frac{at}{\sqrt{6}} + c_2\right), \quad y = \frac{3}{2} c_1 \sin\left(\frac{at}{\sqrt{6}} + c_2\right);$$

$$x = c_3 \sin(at + c_4), \quad y = -c_3 \sin(at + c_4).$$

№156.

$$I = e^{\frac{R}{2L}t} \frac{E}{\left(L\omega - \frac{1}{c\omega}\right)^2 + R^2} \left[\left(L\omega - \frac{1}{c\omega}\right) \cos\left(\sqrt{\frac{1}{Lc} - \frac{R^2}{4L^2}}t\right) - \frac{R}{2} \left(\omega + \frac{1}{Lc\omega}\right) \frac{1}{\sqrt{\frac{1}{Lc} - \frac{R^2}{4L^2}}} \times \right. \\ \left. \times \sin\left(\sqrt{\frac{1}{Lc} - \frac{R^2}{4L^2}}t\right) \right] + \frac{E}{\left(\frac{1}{c\omega} - L\omega\right)^2 + R^2} \left[\left(\frac{1}{c\omega} - L\omega\right) \cos\omega t + R \sin\omega t \right],$$

$$L \frac{d^2 I}{dt^2} + R \frac{dI}{dt} + \frac{1}{c} I = \frac{de}{dt} \quad \text{дифференциалдык тенденме. №157.}$$

$$I = \frac{E}{2L} t \sin \frac{1}{Lc} t. \quad \text{Чындыгында, } \frac{de}{dt} = E\omega \cos \omega t \quad \text{алабыз.}$$

Чынжырдагы дифференциалдык тенденме:

$$L \frac{d^2 I}{dt^2} + \frac{1}{c} I = E\omega \cos \omega t. \quad \text{Тиешелүү бир тектүү тенденменин}$$

жалпы чыгарылышы: $I_0 = c_1 \cos \frac{1}{Lc} t + c_2 \sin \frac{1}{Lc} t.$ Сызыктуу

бир тектүү эмес тенденменин айрым чыгарылышы
 $\tilde{I} = t(A \cos \omega t + B \sin \omega t)$ түрүнө

ЭЭ. Анда

$$\frac{d\tilde{I}}{dt} = t(-A\omega \sin \omega t + B\omega \cos \omega t) + A \cos \omega t + B \sin \omega t;$$

$$\frac{d^2 \tilde{I}}{dt^2} = t(-A\omega^2 \cos \omega t - B\omega^2 \sin \omega t) + (-2A \sin \omega t + 2B \cos \omega t).$$

Тенденеге \tilde{I} жана $\frac{d^2 \tilde{I}}{dt^2}$ ни кооп жана $L\omega^2 - \frac{1}{c} = 0$ экенин
 эсепке алыш $L(-2A \sin \omega t + 2B \cos \omega t) = E\omega \cos \omega t$

тенденштигин алабыз, мындан $A = 0, B = \frac{E}{2L}.$ Демек,

$$\tilde{I} = \frac{E}{2L} t \sin \frac{t}{\sqrt{Lc}}. \quad \text{Жалпы чыгарылыш:}$$

$$i = c_1 \cos \frac{1}{\sqrt{Lc}} t + c_2 \sin \frac{1}{\sqrt{Lc}} t + \frac{E}{2L} t \sin \frac{t}{\sqrt{Lc}}.$$

$\frac{di}{dt} = -\frac{c_1}{\sqrt{Lc}} \sin \frac{1}{\sqrt{Lc}} t + \frac{c_2}{\sqrt{Lc}} \cos \frac{1}{\sqrt{Lc}} t + \frac{E}{2L\sqrt{Lc}} \cos \frac{1}{\sqrt{Lc}} t + \frac{E}{\sqrt{Lc}} \sin \frac{1}{\sqrt{Lc}} t$
 ны эсептеп жана башталгыч шарттарды пайдаланып,
 $c_1 = c_2 = 0$ дү табабыз. Изделген айрым чыгарылыш:

$$I = \frac{E}{2L} t \sin \frac{1}{\sqrt{Lc}} t. \quad \text{№158. } 0 < k < 1. \quad \text{№159, a) } y'_1 = y_3, y'_2 = y_4,$$

$$y'_3 = 2y_1 - 3y_2, \quad y'_4 = y_1 - 2y_2; \quad \text{б) } y' = v, \quad z' = \omega, \quad u' = t,$$

$$v' = v + \omega, \quad \omega' = \omega + t, \quad t' = t + v. \quad \text{№160. а) } y'_1 = z, \quad z' = u,$$

$$u' = xyz - z^2;$$

$$\text{б) } y' = u, \quad u' = v, \quad v' = \omega, \quad \omega' = y^2. \quad \text{№161. } y'' - 2y' - 3y = 0;$$

$$y(x) = c_1 e^{-x} + c_2 e^{3x}, \quad z(x) = 2c_1 e^{-x} - 2c_2 e^{3x}. \quad \text{№162.}$$

$$y = x + \frac{1}{c_1 c_2} e^{-c_1 x}, \quad z = c_2 e^{c_1 x}; \quad y = x - e^x, \quad z = e^{-x}. \quad \text{№163.}$$

$$x^2 + y^2 = c_1^2, \quad \arcsin \frac{x}{\sqrt{x^2 + y^2}} - t = c_2. \quad \text{№164. а) } y = \frac{1}{x^2 + c_1^2},$$

$$z = x(c_2 - \ln|x|); \quad \text{б) } e^y - e^x = c_1, \quad x = z \left(c_2 - \frac{1}{2} z \right). \quad \text{№165.}$$

$$y = c_1 x^{1+\sqrt{2}} + c_2 x^{1-\sqrt{2}}, \quad z = x^{\sqrt{2}-1} c_1 (2 + \sqrt{2}) + x^{-\sqrt{2}-1} c_2 (2 - \sqrt{2}).$$

$$\text{№166. } x = c_1 t + \frac{c_2}{t}, \quad y = -c_1 t + \frac{c_2}{t}. \quad \text{№167. } x = \frac{c_2}{t^2},$$

$$y = c_1 e^t - \frac{c_2}{t^2}. \quad \text{№168. } W(2\pi) = W(0) = 2. \quad \text{№169. } \text{Ооба.}$$

$$\text{Системанын жалпы чыгарылышы: } x = c_1 e^{-\cos t} - c_2 e^{\sin t},$$

$$y = -c_1 e^{-\cos t} + 2c_2 e^{\sin t}. \quad \text{№170. } y = c_1 e^{2x} + c_2 e^{3x},$$

$$z = c_1 e^{2x} + 2c_2 e^{3x}; \quad y = e^{2x} - e^{3x}, \quad z = e^{2x} - 2e^{3x}. \quad \text{№171.}$$

$$y = e^{2x} (c_1 \cos 3x + c_2 \sin 3x), \quad z = e^{2x} (c_1 \sin 3x - c_2 \cos 3x).$$

$$\text{№172. } y = 2e^{-2x} (c_1 \cos \sqrt{3}x + c_2 \sin \sqrt{3}x),$$

$$z = e^{-2x} [(3c_1 - \sqrt{3}c_2) \cos \sqrt{3}x + (\sqrt{3}c_1 + 3c_2) \sin \sqrt{3}x]. \quad \text{№173.}$$

$$x = e^{-t} (c_1 + c_2 t), \quad y = e^{-t} [2c_1 + c_2 (2t - 1)]. \quad \text{№174.}$$

$$y = e^{-2x} (c_1 + c_2 x), \quad z = e^{-2x} [-c_1 + c_2 (1 - x)]. \quad \text{№175.}$$

$$x = (c_2 + c_3) \cos t + (-c_2 + c_3) \sin t, \quad y = c_1 e^t + c_2 \cos t + c_3 \sin t,$$

$$z = c_1 e^t - c_2 \sin t + c_3 \cos t; \quad x = \cos t, \quad y = \frac{1}{2} (\cos t + \sin t),$$

$$z = \frac{1}{2} (\cos t - \sin t).$$

$$\text{№176. } x = 2c_1 e^{2t} + c_2 e^{-3t} - \frac{2}{3} t - \frac{5}{18}, \quad y = c_1 e^{2t} + 3c_2 e^{-3t} - \frac{t}{2} - \frac{1}{12}.$$

$$\text{№177. } x = (c_1 \cos t + c_2 \sin t - 1)e^t, \quad y = (c_1 \sin t - c_2 \cos t)e^t.$$

$$\text{№178. } x = \left(c_1 + c_2 t + \frac{t^2}{2} + \frac{t^3}{2} - 3e^t \right) e^{2t}, \quad y = \left(c_1 - \frac{c_2}{3} + c_2 t + \frac{t^3}{2} - 2e^t \right) e^{2t}.$$

$$\text{№179. } x = c_1 \cos t + c_2 \sin t - t \cos t, \quad y = (c_2 - c_1) \cos t - (c_2 + c_1) \sin t + t (\cos t + \sin t). \quad \text{№180. } y_1 = x^2 + c_1 e^{2x} + c_2 e^{3x}, \\ y_2 = x + 2 + c_1 e^{2x} + 2c_2 e^{3x}; \quad y_1 = x^2, \quad y_2 = x + 2.$$

$$\text{№181. } y = 2e^{2x} + c_1 e^x + c_2 e^{-x}, \quad z = 5e^{2x} + 3c_1 e^x + c_2 e^{-x}.$$

$$\text{№182. } x = 2 \cos 2t + 3 \sin 2t + 2e^{-\frac{t}{2}} \left(c_1 \cos \frac{\sqrt{3}}{2}t + c_2 \sin \frac{\sqrt{3}}{2}t \right),$$

$$y = 7 \sin 2t + e^{-\frac{t}{2}} \left[(c_1 - \sqrt{3}c_2) \cos \frac{\sqrt{3}}{2}t + (\sqrt{3}c_1 + c_2) \sin \frac{\sqrt{3}}{2}t \right].$$

$$\text{№183. } x = \frac{a(I - 2^{-t})}{4}, \quad y = \frac{3a(I - 2^{-t})}{4}. \quad \text{Дифференциалдык}$$

тендемелер системасы: $\dot{x} = k_1(a - x - y), \quad \dot{y} = k_2(a - x - y)$.

$$\text{№184. } x = a \cos \frac{k}{\sqrt{m}} t, \quad y = \frac{v_0 \sqrt{m}}{k} \sin \frac{k}{\sqrt{m}} t; \quad \frac{x^2}{a^2} + \frac{k^2 y^2}{mv_0^2} = 1.$$

Кыймылдын дифференциалдык тендемелери: $\ddot{mx} = -k^2 x, \quad \ddot{my} = -k^2 y$.

№185. а) $O_1(-1;0), O(0;0), O_2(1;0);$ **б)** $O_1(2;4), O_2(-1;-2);$ **в)** $(3;0), (1;1), (-1;1)$ и $(-3;0).$ **№186. а)** асимптотикалык туруктуу; **б)** туруктуу эмес; **в)** туруктуу эмес; **г)** туруктуу; **д)** туруктуу эмес; **е)** асимптотикалык туруктуу.

№187. Туруктуу эмес фокус. **№188.** Ээрче. **№189.** Туруктуу эмес фокус.

№190. Туруктуу түйүн. **№191.** Туруктуу түйүн. **№192.** p нын эч кандай маанисинде. **№193.** $|p| \geq 2.$ **№194.** $V = x^2 + y^2$

туруктуу. **№195.** $V = x^2 + y^2$ туруктуу эмес. **№196.**

$V = x^4 + y^4$ туруктуу. **№197.** $V = x^2 + y^2$ туруктуу эмес.

№198. $V = 2x^2 + y^2$ асимптотикалык түрүктүү.

$V = y^2 - \frac{1}{2}x^2$; түрүктүү эмес. **№200.** $V = 2x^2 + 3y^2$

асимптотикалык түрүктүү.

№201. Түрүктүү. **№202.** Түрүктүү эмес. **№203.** Түрүктүү эмес.

№204. Түрүктүү.

№205. Асимптотикалык түрүктүү. **№206.** Түрүктүү эмес.

№207. а) $V = 3x^2 + 4y^2$ асимптотикалык түрүктүү. 6)

$V = 3x^2 + 2y^2$ асимптотикалык түрүктүү.

№227. $y = \frac{1}{x} + \varepsilon \left(x^2 - \frac{1}{x^2} \right) + \varepsilon^2 \left(-\frac{x^5}{7} + \frac{2x}{3} - \frac{32}{21x^2} + \frac{1}{x^3} \right) + \dots$

№228. $y = 2\sqrt{x} + 2\varepsilon \left(x^{-\frac{1}{2}} - x^2 \right) + \varepsilon^2 \left(\frac{1}{4}x^{\frac{7}{2}} - \frac{4}{3}x + \frac{25}{12}x^{-\frac{1}{2}} - x^{-\frac{3}{2}} \right) + \dots$

№229. $y = 1 + \varepsilon(x^2 - x) + \varepsilon^2 x(1-x)^3 / 6 + \dots$

№230. $y = \frac{1}{x} + 3\varepsilon + \varepsilon^2 \left(\frac{3}{x^2} - 3x \right) + \dots$

№231. $y = x - \varepsilon(x+1) + \left(\frac{\varepsilon^2}{2} \right) (e^x - x^2 - 2x - 1) + \dots$

№232. Түрүктүү эмес. **№233.** $y = 0$ түрүктүү эмес, $y = x^4 + 1$

түрүктүү. **№234.** $y = x$ түрүктүү, $y = e^x$ түрүктүү эмес. **№235.** $x < 0$ болгондо $y = x$ жана $x > 0$ болгондо $y = -x$ түрүктүү.

№236. $x < 0$ болгондо $y = 0$ түрүктүү. **№237.** Түрүктүү эмес.

№238. Түрүктүү эмес.

№239. $p(t) = 10e^{4t} - 5$. **№240.** $\frac{dy}{y(b-ay)} = kdt$, $y(t) = \frac{Cbe^{bkt}}{1+Cae^{bkt}}$,

мында C – каалаган түрәктүү. **№241.** $y(t) = Ce^{kt}$, $k = k_1 - k_2$.

№242. $p(t) = \frac{\alpha}{\beta + \delta} + Ce^{-\frac{\beta + \delta}{\eta}t}$. **243.** $p(t) = \frac{\alpha}{\beta + \sigma} + Ce^{\frac{k(\beta + \delta)}{l-k\sigma}t}$.

№244. $p(t) = p_0 + p_r = 1 + e^{12t} (C_1 \cos t\sqrt{2} + C_2 \sin t\sqrt{2})$.

$$\text{№245. } d(p) = \frac{20}{p} \quad \text{№246. } d(p) = 100 - \frac{100}{p}$$

$$\text{№247. } \frac{1}{2\sqrt{b}} \ln \left| \frac{y - \frac{1}{2} - \sqrt{b}}{y - \frac{1}{2} + \sqrt{b}} \right| = -at + c. \quad \text{№248. } \frac{dY}{dt} - \frac{1-a}{k} Y = \frac{b+E}{k}.$$

$$\text{№249. } \frac{dY}{dt} = by, y = ce^{bt}, c - \text{тұрактүү.}$$

$$\text{№250. } \frac{dx}{dt} = \alpha y, \frac{dy}{dt} = \beta x, (\alpha, \beta > 0).$$

$$\text{№251. } \pi(t) = e^{-\frac{3}{4}t} (c_1 \cos \frac{3}{4}t + c_2 \sin \frac{3}{4}t) + m$$

$$U(t) = \frac{e^{-\frac{3}{4}t}}{3} (c_1 - c_2) \cos \frac{3}{4}t + (c_1 + c_2) \sin \frac{3}{4}t + \frac{1}{18}.$$

$$\text{№252. } \pi(t) = \mu + ce^{\theta t}.$$

АДАБИЯТТАР

1. Иманалиев М.И., Байзаков А.Б., Кененбаева Г.М. Методы решения обыкновенных дифференциальных уравнений. – Бишкек: Туар, 2005. -227с.
2. Усубакунов Р. Дифференциалдык жана интегралдык эсептөөлөр 2-бөлүк. -Фрунзе: Мектеп, 1969. - 432 б.
3. Жаныбеков Ч.Д., Усубакунов Р. Математикалык терминдердин кыргызча-орусча сөздүгү –Бишкек: Илим, 1996ж. -140б.
4. Саадабаев А. «Дифференциалдык тәндемелер курсу» – Бишкек, 1999ж. -2006.
5. Бермант А.Ф., Арамонович И.Г. Краткий курс математического анализа. – М.: «Наука», 1967.
6. Богданов Ю.С. Лекции по дифференциальным уравнениям. – Минск: «Высшая школа», 1977.
7. Еругин Н.П. и др. Книга для чтения по общему курсу дифференциальных уравнений. – Минск: «Наука и техника», 1979.
8. Ефимов А.В., Демидович Б.П. Сборник задач по математике для вузов. Часть 2. Специальные разделы математического анализа. – М.: «Наука», 1986.
9. Краснов М.Л. и др. Сборник задач по обыкновенным дифференциальным уравнениям. – М.: «Высшая школа», 1978.
10. Матвеев Н.М. Сборник задач и упражнений по обыкновенным дифференциальным уравнениям. – Ленинград: Изд-во Ленинградского университета, 1960.
11. Мышкис А.Д. Лекции по высшей математике. – М.: «Наука», 1964.
12. Петровский И.Г. Лекции по теории обыкновенных дифференциальных уравнений. – М.: «Наука», 1970.
13. Самойленко А.М. и др. Дифференциальные уравнения: примеры и задачи. – М.: «Высшая школа», 1989.
14. Тихонов А.Н., Васильева А.Б., Свешников А.Г. Дифференциальные уравнения. – М.: «Наука», 1980.
15. Филиппов А.Ф. Сборник задач по дифференциальным уравнениям. – М.: Наука, 1973
16. Дулан Э., Миллер Дж., Шилдерс У. Равномерные численные методы решения задач с пограничным слоем. – Москва: Мир, 1983. -200с.

17. Калмыков С. А., Шокин Ю.И., Юлдашев З.Х. Методы интервального анализа. – Новосибирск: Наука, 1986. – 222с.
18. Иманалиев М.И., Панков П.С., Кененбаева Г.М. «Алгоритм качественного исследования сингулярно-возмущенных обыкновенных дифференциальных уравнений и автономных систем второго порядка, явление сингулярного цикла» // Доклады РАН , 1997, т.354, №6.
19. Иманалиев М.И., Панков П.С. Явление вращающегося пограничного слоя в теории сингулярно-возмущенных систем обыкновенных дифференциальных уравнений // Доклады АН. – 1986, том 289, - с.536-538.
20. Иманалиев М.И., Панков П.С., Кененбаева Г.М. Алгоритм построения гарантированных границ сингулярно-возмущенных дифференциальных уравнений // IV Республиканская конференция “Компьютеры в учебном процессе и современные проблемы математики”. Бишкек: КГПУ, 1996. – ЧастьI, с.43-46.
21. Иманалиев М.И., Панков П.С. Явление расщепления областей притяжения в теории сингулярно-возмущенных обыкновенных дифференциальных уравнений // Исслед. По интегро-дифференц. уравнениям. – Бишкек: Илим, - 1998. – Вып.27. – с.16-19.
22. Панков П.С., Кененбаева Г.М. Явление практической бифуркации траекторий решений сингулярно-возмущенных обыкновенных дифференциальных уравнений // Там же – с.200-204.
23. Панков П.С., Алтынникова Л.А, Джаналиева Ж.Р. Компьютерная математика (учебное пособие, часть II). – Ош: 2002.
24. Панков П.С., Кененбаева Г.М. Доказательные методы поиска устойчивых решений уравнений//Тр. Первого сов.-болгар. семинара по числовой обработке//ИПС АН СССР – Переславль-Залесский, 1988. – Деп. В ВИНИТИ 21.04.89, №2634-В89.-С. 127-136.
25. Кененбаева Г.М. Об одном приближенном способе поиска прямоугольных устойчивых областей для систем двух автономных дифференциальных уравнений. //Мат-лы VIII Межреспубл. научн. конф. молодых ученых АН Киргиз. ССР, Фрунзе 1986 г.: Тез. докл. - Фрунзе, май 1986.-С.106-107.
26. Кененбаева Г.М. Доказательная аппроксимация ломаными кривыми и границ двумерных областей // Препринт №16 СОАН

- СССР. Информационно-оперативный материал. Часть 1 (интервальный анализ), Красноярск, 1990 г. – с.15-18.
27. Воеводин В.В. Вычислительные методы линейной алгебры. - Москва: Наука, 1977. - Глава I "Математические основы машинной арифметики".
28. Панков П.С. Доказательные вычисления на электронных вычислительных машинах. - Фрунзе: Илим, 1978.
29. Панкова Г.Д. Разработка математического обеспечения для доказательных вычислений на ЕС ЭВМ (Автореферат дисс. ... к. ф.-м.н.). - Новосибирск, 1982.
30. Калмыков С.А., Шокин Ю.И., Юлдашев З.Х. Методы интервального анализа. - Новосибирск: Наука, 1986.
31. Абиев Н. Тенденмелер жана барабарсыздыктар. – Каракол: ИГУ, 2003.
32. Байзаков А.Б. О математической устойчивости равновесных уровней замкнутых водоемов (на примере озера Иссык-Куль). // Вестник КГНУ, - сер. 3, вып. 7. –Бишкек, 2001 г. – С.34-39.
33. Марчук Г.И. Математические модели в иммунологии. – М.: Наука, 1985. – 239 с.
34. Журавлев С.Г., Аниковский В.В. Дифференциальные уравнения. – Москва: Экзамен, 2005. -126 с.

МАЗМУНУ

КИРИШ СӨЗ	4
I Глава. Негизги жоболор	
§1.1. Негизги түшүнүктөр	6
§1.2. Дифференциалдык тенденциалерге алып келүүчү табигый-техникалык маселелер	8
II Глава. Биринчи тартилтеги дифференциалдык тенденциалер	
§2.1. Биринчи тартилтеги дифференциалдык тенденцие үчүн Коши маселесинин чыгарылышынын жашашы жана жалгыздыгы жөнүндөгү теорема	16
§2.2. Өзгөрмөлөрү ажыралуучу тенденциалер	24
§2.3. Бир тектүү тенденциалер	26
§2.4. Биринчи тартилтеги сыйыктуу тенденциалер.	
Бернулли и Риккати тенденциалер	29
1 ⁰ . Биринчи тартилтеги сыйыктуу тенденциалер	29
2 ⁰ . Бернулли тенденциалеси	31
§2.5. Толук дифференциалдардагы тенденцие. Интегралдоочу көбейтүүчү	33
1 ⁰ . Толук дифференциалдардагы тенденцие	33
2 ⁰ . Интегралдоочу көбейтүүчү	35
§2.6. Туундусуна карата чечилбegen тенденциалер	38
1 ⁰ . Өзгөрмөлөрүнө карата чечилген тенденциалер	38
2 ⁰ . у'ти гана камтыган тенденцие	40
3 ⁰ . Изделүүчү функцияны камтыбаган тенденцие	41
4 ⁰ . Көз каранды эмес өзгөрмөнү камтыбаган тенденцие	41
§2.7. Дифференциалдык тенденциалердин өзгөчө чыгарылыштары	43
§2.8. Изогоналдуу траекториялар үчүн дифференциалдык тенденциалер	47
1 ⁰ . Декарттык координаталар	47
2 ⁰ . Полярдык координаталар	48
III Глава. Экинчи жана жогорку тартилтеги дифференциалдык тенденциалер	
§3.1. Экинчи тартилтеги дифференциалдык тенденциалер	51
§3.2. Экинчи тартилтеги тенденциалердин айрым учурлары	54
1 ⁰ . Тенденциин он жагы у жана у'ти камтыбайт	55
2 ⁰ . Тенденциин он жагы у ти камтыбайт	56
3 ⁰ . Тенденциин он жагы x ти камтыбайт	56
§3.3. Жогорку тартилтеги дифференциалдык тенденциалер.	
Тартибин төмөндөтүүгө боло турган төндемелер	59

$1^0. y^{(n)} = f(x)$ түрүндөгү тенденме	60
$2^0.$ Туундусуна карата чыгарылбаган n -тартилтеги тенденмелер	61
$3^0.$ Изделүүчү функцияны жана алгачкы бир нече туундуларды камтыбаган тенденмелер	62
$4^0.$ Көз каранды эмес өзгөрмөнү камтыбаган тенденме	62
$5^0. y, y', y'', \dots, y^{(n)}$ аргументтерине карата бир тектүү $F(x, y, y', y'', \dots, y^{(n)}) = 0$ тенденме	63
§3.4. Экинчи тартилтеги сзыктуу дифференциалдык тенденмелер	63
$1^0.$ Аныктамалар жана жалпы касиеттер	64
$2^0.$ Турактуу коэффициенттүү экинчи тартилтеги бир тектүү тенденмелер	68
$3^0.$ Турактуу коэффициенттүү экинчи тартилтеги бир тектүү эмес тенденмелер	73
$4^0.$ Лагранждын каалагандай турактуу чондуктарды вариациялоо методу	79
§3.5. n-тартилтеги сзыктуу дифференциалдык тенденмелер	82
§3.6. Турактуу коэффициенттүү n-тартилтеги сзыктуу дифференциалдык тенденмелер	95
§3.7. Эйлердин дифференциалдык тенденмелери	97
§3.8. Четтик маселелер	100
§3.9. Даражалуу катарлардың жардамы менен интегралдоо	107
$1^0.$ Чыгарылыштарды даражалуу катарга ажыратуу	107
$2^0.$ Чыгарылыштарды жалпыланган катарга ажыратуу. Бесселдин тенденмези	110
§3.10. Термелүү теориясынан маселелер	115
$1^0.$ Механикалык термелүүлөр	115
$2^0.$ Электр чынжырындагы термелүүлөр	119
IV Глава. Дифференциалдык тенденмелердин системалары	
§4.1. Негизги түшүнүктөр. Жогорку тартилтеги дифференциалдык тенденмелер менен байланыш	122
§4.2. Бир тектүү сзыктуу дифференциалдык тенденмелер системалары	127
§4.3. Турактуу коэффициенттүү сзыктуу системалар	130
§4.4. Бир тектүү эмес сзыктуу системалар	135
§4.5. Дифференциалдык тенденмелеринин системаларынын чыгарылыштарынын геометриялык жана механикалык иллюстрациясы. Фазалык мейкиндик	144

V Глава. Туруктуулук теориясынын элементтери	
§5.1. Туруктуулук менен байланышкан түшүнүктөрдүн аныктаамалары	150
§5.2. Тынчтык чекиттердин жөнекөй типтери	153
§5.3. Ляпунов функцияларынын методу	159
§5.4. Биринчи жакыннатуу боюнча туруктуулук	164
VI Глава. Кадимки дифференциалдык тендемелерди чыгаруунун сандык методдору	
§6.1. Багыттар талаасы (изоклиндер методу)	170
§6.2. Баштапкы маселени чыгаруунун сандык методдору	173
1 ⁰ . Эйлердин методу	174
2 ⁰ . Рунге-Кутт методу	176
§6.3. Четтик маселелер (прогонка методу)	184
§6.4. Даиллдөөчү - сандык методдор. Даил боло алуучу эсептөөлөрдүн жана интервалдык анализдин негиздери	184
§6.5. Баштапкы маселенин чыгаруунун даил боло алуучу сандык методдору	188
§6.6. Автономдуу дифференциалдык тендемелер үчүн функциялардын белгилери аныкталган областтарынын жана туруктуулук областтарынын чектерин издөө	189
VII Глава. Кичи параметр боюнча дифференциалдык тендемелердин чыгарылышынын ассимптотикасы	
§7.1. Регулярдуу толкундануулар	194
§7.2. Сингулярдуу толкундануулар	199
§7.3. Сингулярдуу толкундануулар үчүн даил боло алуучу эсептөөлөр	206
1 ⁰ . Бир скалярдык тендеме болгон учур	206
2 ⁰ . Тендемелер системасы болгон учур	210
3 ⁰ . Биринчи тартиптеги тендемелер системалары үчүн маселенин коюлушу жана чыгарылыштарынын касиеттери	210
§7.4. Сингулярдуу толкунданган системалардын траекторияларынын практикалык ажыратылыш кубулуштары	215
1 ⁰ . Сингулярдык толкундануулар теориясынан кошумча маалыматтар жана траекториянын «практикалык бифуркация» кубулушунун аныктаамасы	215
2 ⁰ . Алгоритмдерди түзүү үчүн маселенин коюлушу жана теоремалар	217
3 ⁰ . Практикалык ажыратылыш кубулушун эксперименталдык изилдөө	219

VIII Глава. Социалдык – экономикалық илимдерден алынған мисалдар менен дифференциалдық тенденцелер	
§8.1. Экономика	221
§8.2. Экология	227
§8.3. Демография	233
§8.4. Аскердик жана социалдык илимдер	235
§8.5. Социалдык – экономикалық илимдер	237
Тиркеме	248
Жооптор	250
Адабияттар	261
Мазмуну	264

М.И.Иманалиев, А.Б.Байзаков,
Г.М.Кененбаева, М.Ж.Жураев.

**КАДИМКИ
ДИФФЕРЕНЦИАЛДЫК ТЕНДЕМЕЛЕР
ЖАНА АЛАРДЫН КОЛДОНУЛУШУ**

Басууга 06.10.2006-ж. кол коюлду.
Офсет кагазы. Кагаздын форматы 60x84 1/16.
Заказ № 161. Нускасы 500 даана.

«Турад» басмасынын басмаканасында басылды.
720054, Бишкек ш., Жибек-Жолу пр., 466.

